

MARINE BIOLOGICAL LABORATORY.

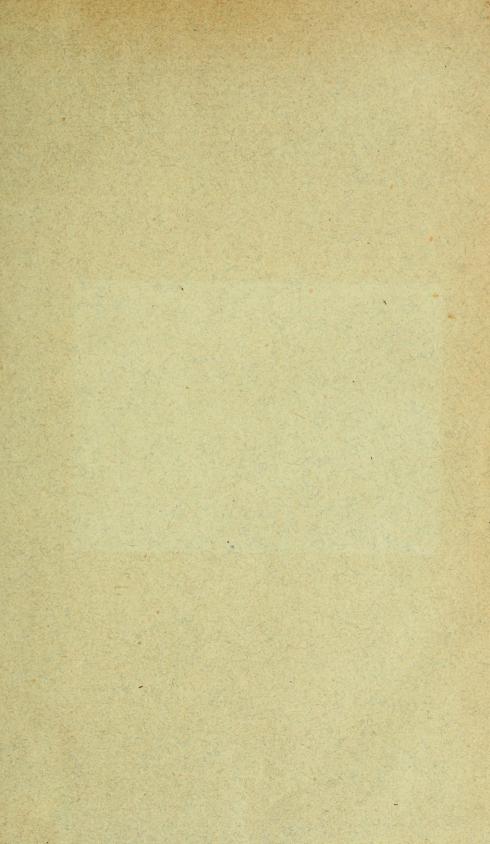
Received

Accession No.

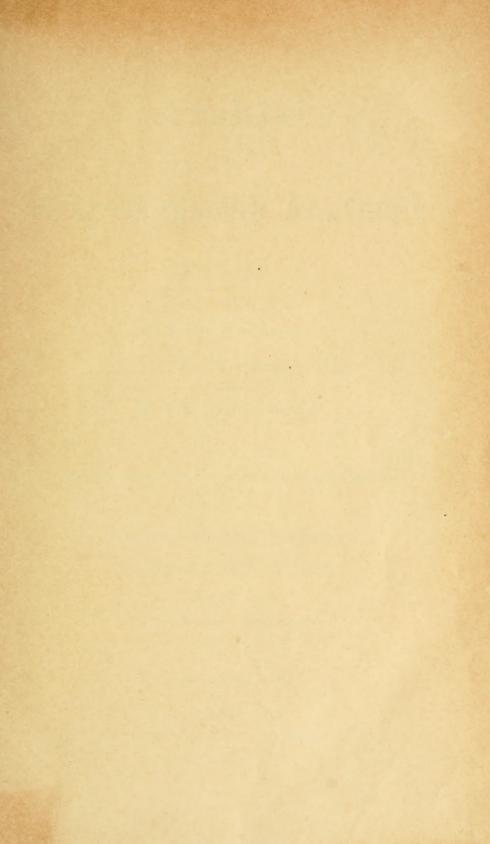
Given by

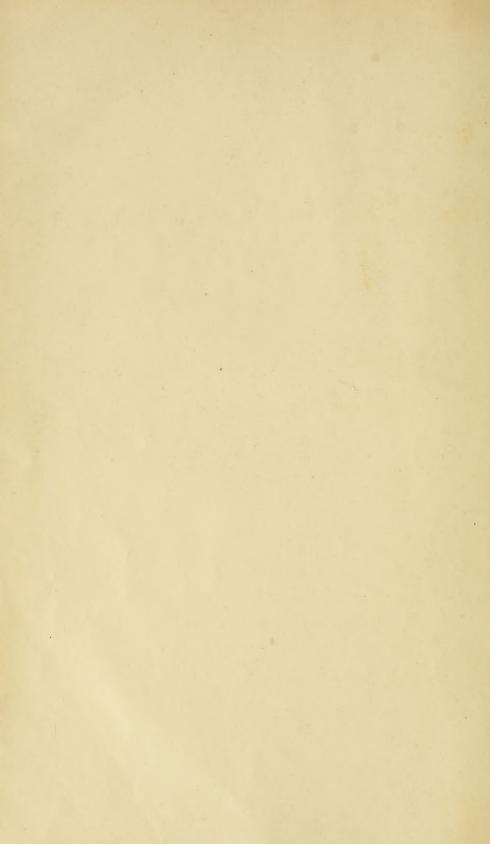
Place,

 $*_*$ *No book or pamphlet is to be removed from the Laboratory without the permission of the Trustees.









Archiv

für

Mikroskopische Anatomie

herausgegeben

von

O. Hertwig in Berlin,

v. la Valette St. George in Bonn

und

W. Waldeyer in Berlin.

Fortsetzung von Max Schultze's Archiv für mikroskopische Anatomie.

Namen- und Sachregister zu Band XXXI—XXXX

bearbeitet von

Dr. med. Ludwig Schirmeyer

in Gelsenkirchen, Westf.

Bonn

Verlag von Friedrich Cohen 1893. Archiv

Mikroskopische Anatomie

albeit at gischell dischin.

magni in again to the allocation in Same

W. Waldeyer in Barlin.

1438

National Matthewsisters and Matthewsisters

XXXX DIXX and or

response and a feeting of

month



Autoren-Verzeichniss.

Arnold, Prof. Dr. Jul., Weitere Mittheilungen über Kern- und Zelltheilung in der Milz; zugleich ein Beitrag zur Kenntniss der von der typischen Mitose abweichenden Kerntheilungsvorgänge. XXXI, 541.

Ballowitz, Dr. med. E., Untersuchungen über die Structur der Spermatozoen, zugleich ein Beitrag zur Lehre vom feineren Bau der contractilen Elemente. XXXII, 401.

Untersuchungen über die Structur der Spermatozoen. XXXVI, 225.

Ueber den feineren Bau der Muskelsubstanzen. 1) Die Muskelfasern der Cephalopoden, XXXIX, 291.

- Das Schmelzorgan der Edentaten, seine Ausbildung im Embryo und die Persistenz seines Keimrandes bei dem erwachsenen Thier. XXXX,
- Barfurth, D., Versuche zur functionellen Anpassung. XXXVII, 392. Zur Regeneration der Gewebe.

XXXVII, 406.

Ueber Zellbrücken glatter Mus-

kelfasern. XXXVIII, 38.
Baum, Dr. S., Ueber granuläre Einschlüsse in den Geschwulstzellen.
XXXIX, 137.

Baumgartner, Dr. med., Beiträge zur Entwickelungsgeschichte der Gehörknöchelchen. XXXX, 512.

Bannwarth, Dr., Untersuchungen über die Milz. 1) Die Milz der Katze. XXXVIII, 345.

Behn, Dr., Studien über die Ver-hornung der menschlichen Oberhaut. XXXIX, 581.

Biondi, Dr. B., Neue Methode der mikroskopischen Untersuchung des Blutes, XXXI, 105.

Bizzozero, Dr. Giulio, Ueber die schlauchförmigen Drüsen des Magendarmcanals und die Beziehungen ihres Epithels zu dem Oberflächenepithel der Schleimhaut. XXXIII, 216.

Desgl. XXXX, 325.

Ueber die Atrophie der Fettzellen des Knochenmarks. XXXIII, 247.

Neue Untersuchungen über den Bau des Knochenmarkes bei den Vögeln. XXXV, 424.

Blumenau, Dr. L., Zur Entwickelungsgeschichte u. feineren Anatomie des Hirnbalkens. XXXVII, 1.

Böhm, A. A., Ueber Reifung u. Befruchtung des Eies von Petromyzon Planeri. XXXII, 613.

Born, Prof. G., Beiträge zur Entwickelung des Säugethierherzens. XXXIII, 284.

Brunn, Dr. A. von, Beiträge zur Kenntniss der Zahnentwickelung. XXXVIII, 142.

Beiträge zur mikroskopischen Anatomie der menschlichen Rachenhöhle. XXXIX, 632.

- Die Endigung der Olfactoriusfasern im Jacobson'schen Organ. XXXIX, 651.

Burkhardt, Karl Rudolf, Histologische Untersuchungen am Rückenmark der Tritonen. XXXIV, 131.

Carrière, Justus, Ueber Mollusken-augen. XXXIII, 378.

Trichodina sp. (pediculus?) als Blut- und Lymphkörperchen fressender, gelegentlicher Schmarotzer im Seitenkanal von Cottus gobio. XXXIII, 402.

-- Die Entwickelung der Mauer-

biene (Chalicodoma muraria Fabr.)

im Ei. XXXV, 141.

Castronova, stud. med. A., Beitrag zur Kenntniss des Geruchsorgans des Hundes (mit Prof. Dr. Grassi). XXXIV. 385.

XXXIV, 385.
Corning, H. C., Ueber die Entwickelung der Substantia gelatinosa Rolandi beim Kaninchen. XXXI, 593.

Zur Frage der Blutbildung aus

dem Entoderm. XXXVI, 516. Cox, W. H., Imprägnation des centralen Nervensystems mit Queck-

silbersalzen. XXXVII, 16.

Czerny, Dr. Adalbert, Das Giraldésche Organ nach Untersuchungen an Kaninchen, Hunden u. Katzen. XXXIII, 445.

— Ueber Rückbildungsvorgänge an

der Leber. XXXV, 87.

Daae, Hans, Zur Kenntniss der Spinalganglienzellen beim Säugethier. XXXI, 223.

Dewitz, Dr. J., Gestell für Objectträger bei Serienschnitten. XXXIII, 416.

Disse, Dr. J., Ueber die Lymphbahnen der Säugethierleber. XXXVI,203.

Dogiel, A.S., Eine neue Injectionsmethode der Gewebe mittelst Methylenblau. XXXIII, 440.

— Methylenblautinction der motorischen Nervenendigungen in den Muskeln der Amphibien und Reptilien. XXXV, 305.

— Zur Frage über das Epithel der

Harnblase. XXXV, 389.

 Die Nervenendkörperchen (Endkolben, W. Krause) in der Cornea u. Conjunctiva bulbi des Menschen. XXXVII, 602.

 Ueber die nervösen Elemente in der Retina des Menschen. I. Mittheilung. XXXVIII, 317. Desgl. II. Mittheilung. XXXX, 29.

, Prof. Joh., Zur Lehre über das Nervensystem des Herzens (mit stud. med. Tumänczew), XXXVI, 483.

Ebner, V. von, Zur Spermatogenese bei den Säugethieren. XXXI, 236.

Nachtrag dazu XXX, 424. Eisler, Dr. P., Zur Kenntniss der Histologie des Alligatormagens. XXXIV. 1.

XXXIV, 1. Endres, H., Anatomisch-entwickelungsgeschichtliche Studien über die formbildende Bedeutung des Blutgefäss-Apparates unter besonderer Berücksichtigung der damit verbundenen mechanischen Einflüsse. XXXX, 435.

Flemming, W., Weitere Beobachtungen über die Entwickelung der Spermatosomen bei Salamandra maculosa. XXXI, 71.

Amitotische Kerntheilung im Blasenepithel des Salamanders.

XXXIV, 437.

Ueber die Theilung in Pigmentzellen und Capillarwandzellen. Ungleichzeitigkeit der Kerntheilung und Zelltrennung. XXXV, 275.

— Ueber die Theilung und Kernformen der Leucocyten und über deren Attractionssphären. XXXVII, 249

— Neue Beiträge zur Kenntniss der Zelle. II. Theil. XXXVII, 685.

Frenzel, Prof. Joh., Untersuchungen über die mikroskopische Fauna Argentiniens. XXXVIII, 1.

- Leydonella cordubensis nov. gen.

nov. spec. XXXVIII, 301.

— Die nucleoläre Kernhalbirung. Ein Beitrag zur Kenntniss des Zellkernes und der amitotischen Epithelregeneration. XXXIX, 1.

Freund, Paul, Beiträge zur Entwickelungsgeschichte der Zahnanlagen bei den Säugethieren. XXXIX,

525.

Fritsch, Gustav, Zur Anatomie der Bilharzia haematobia (Cobbold). XXXI, 192.

Giovannini, Dr. Sébastien, De la régénération des poils après l'épilation. XXXVI, 528.

Gmelin, Dr., Zur Morphologie der Papilla vallata u. foliata. XXXX, 1.

Göppert, Dr. E. Kerntheilung durch indirekte Fragmentirung in der lymphatischen Randschicht der Salamandrinenleber. XXXVIII, 375.

Goldberg, Max, Ueber die Entwickelung der Ganglien beim Hühnchen.

XXXVII, 587.

Grassi, Prof. Dr. Battisti, Beitrag zur Kenntniss des Geruchsorgans des Hundes (mit stud. med. Castronova). XXXIV, 385.

Griesbach, Dr. med. et phil. H., Beiträge zur Histologie des Blutes.

XXXVII, 22.

Gutmann, Dr. G. Ueber die Lymphbahnen der Cornea. XXXII, 593.

Häcker, V., Ueber die Farben der Vogelfedern. XXXV, 68.

Die Kerntheilungsvorgänge bei Mesoderm- und Entodermbildung

von Cyclops. XXXIX, 556.

— Die Furchung des Eies von Aequorea Forskalea. Mit besonderer Berücksichtigung der kerngeschichtlichen Vorgänge. XXXX, 263.

Hamburger, cand. med. Ernst, Beiträge zur Kenntniss der Zellen in den Magendrüsen. XXXIV, 225.

Hermann, Dr. F., Beiträge zur Histologie des Hodens. XXXIV, 58.

Die postfoetale Histiogenese des Hodens der Maus bis zur Pubertät. XXXIV, 429.

Beitrag zur Lehre von der Entstehung der karyokinetischen Spin-

del. XXXVII, 569. Heidenhain, Martin, Beiträge zur Kenntniss der Topographie und Histologie der Kloake und ihrer drüsigen Adnexa bei den einheimischen Tritonen. XXXV, 173. Heinricius, Prof. F., Ueber die Ent-

wickelung und Structur der Placenta

bei Katzen. XXXVII, 357. — Dr. G., Ueber die Entwickelung und Structur der Placenta beim

Hertwig, Oskar, Vergleich der Eiund Samenbildung der Nematoden. Eine Grundlage für celluläre Streit-

fragen. XXXVI, 1. — Urmund u. Spina bifida. Eine vergleichend-morphologische, teratologische Studie an missgebildeten Froscheiern, XXXIX, 353.

Herzfeld, Dr. J., Beiträge zur Anatomie des Schwellkörpers der Nasen-

schleimhaut. XXXIV, 197.

Hoyer, cand. med. H., Beitrag zur Kenntniss der Lymphdrüse. XXXIV, 208.

- Prof. H., Ueber den Nachweis des Mucins in Geweben mittelst der

Färbemethode. XXXVI, 310. Huber, Dr. G. Carl, Ueber das Verhalten der Kerne der Schwann'schen Scheide bei Nervendegeneration. XXXX, 409.

Janošik, Prof. Dr. J., Berichtigung zu Nagel's Arbeit: Ueber die Entwickelung des Urogenitalsystems des Menschen. XXXV, 101.

Karzandu, Dr. Julius, Ueber dic Pigmentation der Uterinschleimhaut des Schafes. XXXVI, 507.

Klebs, Prof. E., Zur vergleichenden Anatomie der Placenta.XXXVII, 335.

Koch, P. D., Untersuchungen über den Ursprung und die Verbindungen des Nervus hypoglossus in der Medulla oblongata. XXXI, 54.

Desgl. Verbesserungen. XXXI, 302. Kochs, Dr. W., Eine neue Beleuchtungsmethode mittelst eigenthümlich geformter Glaskörper. XXXII, 683.

Korotneff, A., Beiträge zur Sperma-

tologie. XXXI, 334.

Korybutt-Dackiewicz, Rohdau, Wird der thätige Zustand des Centralnervensystems von mikroskopisch wahrzunehmenden Veränderungen begleitet? XXXIII, 51.

Kostanecki, Kasimir v., Zur Kenntniss der Tubenmuskulatur u. ihrer

Fascien. XXXII, 479.

Krause, Rudolf, Entwickelungsgeschichte der häutigen Bogengänge XXXV, 287.

Kromayer, Dr. E., Die Protoplasmafaserung der Epithelzellen. XXXIX, 141.

Kultschitzky, Dr. med., Beitrag zur Frage über die Verbreitung der glatten Muskulatur in der Dünndarmschleimhaut. XXXI, 15.

Die Befruchtungsvorgänge bei Ascaris megalocephala. XXXI, 567. Ueber die Eireifung u. Befruchtungsvorgänge bei Ascaris megalo-

cephala. XXXII, 671.

Kupffer, C., Die Entwickelung von Petromyzon Planeri. XXXV, 469.

Lavdowsky, M., Vom Aufbau des Rückenmarkes. Histologisches über die Neuroglia und die Nervenstützsubstanz. XXXVIII, 264.

Lenhossék, Dr. Michael von, Untersuchungen über die Entwickelung der Markscheiden und den Faserverlauf im Rückenmark der Maus. XXXIII, 71.

Ueber den Verlauf der Hinterwurzeln im Rückenmark. XXXIV,

Ursprung, Verlauf und Endigung der sensiblen Nervenfasern bei Lumbricus. XXXIX, 102.

.

Leydig, F., Ueber Argulus foliaceus.

XXXIII, 1.

Liebreich, Oscar, Ist Keratin, spe-ziell das Mark von Hystrix, ein Glutinbildner? XXXX, 320.

Linstow, Dr. von, Beitrag zur Anatomie von Phylline Hendorffii. XXXIII,

163.

- Ueber die Entwickelungsgeschichte und die Anatomie von Gordius tolosanus Duj. = G. subbifurcus v. Sie-

bold. XXXIV, 248.

- Bemerkungen über Mermis. Nachtrag zu: Ueber die Entwickelungsgeschichte und die Anatomie von Gordius tolosanus. XXXIV, 390.

Ueber den Bau und die Entwickelung des Distomum cylindraceum Zed. XXXVI, 173.

- Weitere Beobachtungen an Gordius tolosanus u. Mermis. XXXVII, 239.

- Beobachtungen an Helminthen-

larven. XXXIX, 325.

Ueber Mermis ingrescens Duj.

XXXX, 498.

Löwit, Prof. Dr. M., Die Anordnung und Neubildung von Leucoblasten u. Erythroblasten in den blutbildenden Organen, XXXVIII, 524.

Loewy, James, Beiträge zur Anatomie u. Physiologie der Oberhaut.XXXVII,

Lukjanow, Dr. S. M., Notizen über das Darmepithel bei Ascaris mystax. XXXI, 292.

Ueber eine eigenthümliche Kolbenform des Kernkörperchens.

XXXII. 474.

EinigeBemerkungen über sexuelle Elemente beim Spulwurm des Hundes. XXXIV, 397.

Maass, Dr. Fr., Zur Kenntniss des körnigen Pigmentes im mensch-lichen Körper. XXXIV, 452. Marchand, Prof. Dr. F., Ueber die

Entwickelung des Balkens im mensch-

lichen Gehirn. XXXVII, 255. Matschinsky, Dr. med. N., Ueber das normale Wachsthum der Röhrenknochen des Menschen, sowie einige Thatsachen, betreffend den normalen Bau des Knochengewebes. XXXIX, 151.

Mayer, Dr. Sigmund, Beitrag zur Lehre vom Bau der Sinushaare. XXXV, 52.

Martsching, A., Beiträge zur Histo-

logie des Haares und Haarbalges. XXXI, 32.

Meyer, Dr. Hans, Die Entwickelung der Urniere beim Menschen, XXXVI,

Michaelsen, W., Beiträge zur Kenntniss der deutschen Enchytraeiden-

Fauna. XXXI, 483.

Müller, Erik, Zur Kenntniss der
Ausbreitung und Endigung der Magen-, Darm- und Pancreas-Ner-

ven. XXXX, 390.

— Dr. med. Vitalis, Ueber die Entwickelungsgeschichte und feinere Anatomie der Bartholin'schen und Cowper'schen Drüsen des Menschen. XXXIX, 33.

Nagel, Dr. med. W.. Das menschliche Ei. XXXI, 342.

— Ueber die Entwickelung des

Urogenitalsystems des Menschen. XXXIV, 269.

Bemerkungen zu der Berichtigung des Prof. Dr. Janošik, XXXV, 107.

Ueber die Entwickelung des Uterus und der Vagina beim Menschen. XXXVII, 620.

Ueber die Entwickelung der Urethra und des Darmes beim Men-

schen. XXXX, 264.

Nussbaum, M., Die Umstülpung der Polypen, Érklärung u. Bedeutung. XXXV, 111.

Mechanik des Tremblev'schen Umstülpungsversuches. XXXVII,

513.

Oppel, Dr. Albert, Beiträge zur Anatomie des Proteus auguineus. XXXIV,

Ueber Vorderkopfsomiten und die Kopfhöhle von Anguis fragilis. XXXVI, 603.

Die Befruchtung des Reptilien-

eies. XXXIX, 215.

Oyarzun, Dr. A., Ueber den feineren Bau des Vorderhirnes der Amphibien. XXXV, 380.

Paneth, Josef, Ueber die secernierenden Zellen des Dünndarmepithels. XXXI, 113.

Paulsen, Dr. E., Ueber die Schleimhaut, besonders die Drüsen der Oberkieferhöhle. XXXII, 222.

Peters, Dr. Albert, Ueber die Regeneration des Endothels der Cornea. XXXIII, 153.

Beitrag zur Kenntniss der Harder'schen Drüsen. XXXVI, 192.

Planner, R. von, Ueber das Vorkommen von Nerven-Endkörperchen in der männl. Harnröhre. XXXI, 22.

Platner, Gustav, Beiträge zur Kenntniss der Zellen u. ihrer Theilungserscheinungen. I-III. XXXIII. 125.

Beiträge zur Kenntniss der Zellen und ihrer Theilung. XXXIII, 180. IV. Die Entstehung und Bedeutung der Nebenkerne im Pancreas, ein Beitrag zur Lehre von der Secretion. XXXIII, 180.

V. Samenbildung und Zelltheilung im Hoden der Schmetterlinge. XXXIII,

192.

VI. Die Bildung der ersten Richtungsspindel im Ei von Aulostomum.

XXXIII, 204.

Poljakoff, stud. med. P., Ueber eine neue Art von fettbildenden Organen im lockeren Bindegewebe. XXXII, 123.

Popogeff, L., Ueber die feinere Structur des Geruchsorgans des Neun-

auges. XXXI, 1.

Ueber die Haut des Neunauges. XXXIV, 106.

Rabl, cand. med. Hans, Die Entwickelung und Structur der Nebenniere bei den Vögeln. XXXVIII, 492.

Rabl-Rückhard, Prof. H., Fettzellen von eigenthümlicher Form. XXXII, 182

— Einiges über das Gehirn der Edentaten. XXXV, 165.

Rath, Dr. O. vom, Zur Kenntniss der Spermatogenese von Gryllotalpa vulg. Latr. Mit besonderer Berücksichtigung der Frage der Reductions-

theilung. XXXX, 102.
Rawitz, Dr. Bernhard, Notiz über die grüne Drüse des Flusskrebses.
XXXI, 98.

Ueber den feineren Bau der hinteren Speicheldrüsen der Cephalo-

poden. XXXIX, 596.

Ribbert, Prof. Dr., Ueber die Regeneration der Mammilla nebst Bemerkungen über ihre Entwickelung. XXXVII, 139.

Rose, Dr. Carl, Ueber die Entwickelung der Zähne des Menschen.

XXXVIII, 447.

Rollett, Alexander, Ueber die Flossenmuskeln des Seepferdchens (Hippocampus antiquorum) und über Muskelstructur im Allgemeinen. XXXII,

Rollett, Ueber die Streifen N (Nebenscheiben), das Sarcoplasma und die Contraction der quergestreiften Muskelfasern, XXXVII, 654.

Samassa, Dr. phil. et med. Paul, Untersuchungen über das centrale Cladoceren. Nervensystem der XXXVIII, 100.

Zur Histologie der Ctenophoren.

XXXX, 157.

Scarpatetti, Dr. med. J. von, Ueber die eosinophilen Zellen des Kanin-chenknochenmarkes. XXXVIII, 613. Seiller, Dr. Rudolf, Freiherr von,

Ueber die Zungendrüsen von Anguis, Pseudopus und Lacerta. Ein Beitrag zur Kenntniss der einzelligen Drüsen. XXXVIII, 177.

Smirnow, Alexis, Die Structur der Nerveuzellen im Sympathicus der

Amphibien. XXXV, 407.

Sobotta, Dr. J., Beiträge zur vergleichenden Anatomie und Entwickelungsgeschichte der Uterusmuskulatur, XXXVIII, 52.

Solger, Bernhard, Ueber Schrumpfungserscheinungen am hyalinen Knorpelgewebe des Menschen und deren Beziehungen zu den Fibrillen. XXXI, 303.

Säugethier-Mitosen im histolo-

gischen Kurs. XXXIII, 517.

Ueber pericelluläre und intercelluläre Ablagerungen im Hyalinknorpel. XXXIV, 408.

Zur Kenntniss der Wirkung des Aethylalkohols auf die Gewebe (Knorpel- u. Muskelgewebe). XXXIX,

Spuler, Dr. Arnold, Ueber die intracelluläre Entstehung rother Blut-

körperchen. XXXX, 530.

Suchannek, Dr. Hermann, Beiträge zur feineren Anatomie des menschlichen Geruchsorgans. XXXVI, 375.

Schaffer, Dr. Carl, Vergleichendanatomische Untersuchungen über XXXVIII, Rückenmarksfaserung.

Beitrag zur Histologie der Ammonshornformation. XXXIX, 611.

Schaffer, Dr. Josef, Die Verknöcherung des Unterkiefers und die Metaplasie-Frage. XXXII, 266.

Schaper, Dr. med. Alfred, Beiträge

zur Histologie der Glandula caro-

tica. XXXX, 287.

Schiefferdecker, Dr. P., Nachtrag zu meiner Arbeit über den Bau der Nervenfasern. XXXI, 100.

Schneider, Karl Camillo, Histologie von Hydra fusca mit besonderer Berücksichtigung des Nervensystems der Hydropolypen. XXXV, 321.

Schottländer, Dr. J., Ueber Kernund Zelltheilungsvorgänge in dem Endothel der entzündeten Hornhaut. Experimentelle Untersuchungen.

XXXI, 426.

Beitrag zur Kenntniss der Follikelatresie nebst einigen Bemerkungen über die unveränderten Follikel in dem Eierstock der Säugethiere. XXXVII, 192.

Schultz, Dr. Paul, Ueber die Giftdrüsen der Kröten und Salamander.

XXXIV, 11.

Steiner, cand. med. Heinr., Ueber das Epithel der Ausführungsgänge der grösseren Drüsen des Menschen. XXXX, 484.

Stieda, Ludwig, Ueber die Caruncula lacrimalis des Menschen. XXXVI, 291.

Stöhr, Dr. Philipp, Ueber die Lymphknötchen des Darmes. XXXIII. 255.

Stüve, R., Beitrag zur Kenntniss des Baues der Eileiterdrüse bei den Amphibien. XXXIV, 123.

Tagucki, Prof. R., Ueber kalte Injection mit japanischer Tusche. XXXI, 565.

Teichmann, cand. med. Max, Der Kropf der Taube. XXXIV, 235.

Teuscher, Paul, Ueber Degeneration an normalen peripheren Nerven. XXXVI, 579.

Thilenius, Dr. G., Ueber die linsenförmigen Gefässkörper im Auge einiger Cyprinoiden. XXXX. 418.

Török, Dr. Ludwig, Die Theilung der rothen Blutzellen bei den Amphibien. XXXII, 603.

Tumänczew, stud. med. u. Prof. Joh. Dogiel, Zur Lehre über das Nervensystem des Herzens. XXXVI, 483.

Ucke, Dr. med. Alexander, Epithelreste am Optikus und auf der Retina. XXXVIII, 24.

Vallette St. George, de la, Ueber eine Zwitterbildung beim Flusskrebs. XXXIX, 504.

Vas, Dr. Friedrich, Studien über den Bau des Chromatins in den sympathischen Ganglienzellen. XXXX,

Vejdovsky, Prof. F., Zur Entwicke-lungsgeschichte des Nephridial-Apparates von Megascolides australis. XXXX, 552.

Virchow, Hans, Das Dotterorgan der Wirbelthiere (Fortsetz.). XXXX, 39.

Vosseler, Dr. Julius, Die Stinkdrüsen der Forficuliden. XXXVI, 565.

Waldeyer, W., Ueber Karyokinese und ihre Beziehungen zu den Befruchtungsvorgängen. XXXII, 1.

Bemerkungen über den Bau der Menschenund Affen - Placenta.

XXXV, 1.

Weber, Prof. Max in Amsterdam, Ueber neue Hautsecrete bei Säugethieren. XXXI, 499.

Weismann, August, Bemerkungen zu Ischikawa's Umkehrungsversuchen von Hydra. XXXVI. 627.

Wiedersheim, R, Beiträge zur Entwickelungsgeschichte von Proteus anguineus. XXXV, 121.

Ueber die Entwickelung des Urogenitalapparates bei Crocodilen und Schildkröten. XXXVI, 410.

Beiträge zur Entwickelungsgeichte von Salamandra atra. schichte

XXXVI, 469.

Wolters, Dr. Max, Die Conjugation und Sporenbildung bei Gregarinen. XXXVII, 99.

I. Zur Kenntniss der Grundsubstanz der Saftbahnen des Knorpels. XXXVII, 492.
— Desgl. II. XXXVIII, 618.

Wyhe, J. W. van, Ueber die Mesodermsegmente des Rumpfes u. die Entwickelung des Excretionssystems bei Selachiern. XXXIII, 461.

Ziegler, Dr. H. Ernst, Der Ursprung der mesenchymatischen Gewebe bei den Salachiern. XXXII, 378.

Ernst, Dr. phil. Prof., Beiträge zur Entwickelungsgeschichte von Torpedo (im Verein mit Fr. Ziegler). XXXIX, 56.

Friedrich, Beiträge zur Entwickelungsgeschichte von Torpedo (im Verein mit Prof. Dr. phil. Ernst Ziegler). XXXIX, 56.

Zimmermann, Dr. K. W., Ueber die Theilung der Pigmentzellen, speziell der verästelten intraepithelialen. XXXVI, 404.

Sachregister.

Aalmutter - Zoarces viviparus. Acanthocephala XXXIX, 330.

Acephala, Bemerkungen über das Gefässsystem, Wasseraufnahme XXXVII, 88.

Acerina cernua, Spermatozoen, Geissel XXXVI, 238, Kopf 244.

Acinus der Harder'schen Drüsen. Epithel beim Chamaeleon, XXXVI, 194.

Acipenser sturio, Bau der Spermatozoen XXXVI, 235, Kopf, Verbindungsstück, Geissel 236.

Actinophrys XXXVIII, 14.

Adenosarcom, über granuläre Einschlüsse in Geschwulstzellen XXXIX, 140.

Adventicia der Gefässe der Milz, Verhalten XXXVIII, 374, 384, 385. - der Speicheldrüsen XXXIX, 607,

des Hauptausführungsganges 608. Aequorea forskalea, Furchung des Eies XL, 243, Auftreten 244, Eiablage und erste Entwickelungsvorgänge 245, gleichzeitiger Verlauf der Kerntheilung und gleiche Grösse der Blastomeren 248, pathologische Kerntheilungsformen, Veränderung der Eiform 249, Metanucleolus 251, Richtungskörper, Abschnürung 252, Vergleich mit der Paracopulationszelle der Daphniden 256, Chromosomen, über die Zahlengesetze, Zweier-, Dreier- und Combinationssystem 258.

Aethylalkohol, Wirkung auf die Gewebe XXXIX, 343, auf Epider-

mis 345.

Affe, Bau der Placenta XXXV, 1. - Harder'sche Drüse XXXVI, 199. - graue Substanz des Hirnbalkens

XXXVII, 13.

anthropoider, Uterusmusku-latur XXXVIII, 79.

Affe, nicht anthropoider, Uterusmuskulatur XXXVIII, 79.

After bei Torpedo ocellata, Anlage

XXXIX, 86.

Afterbildung, Beziehung zur Urmundspalte XXXIX, 389.

Aftermembran XXXIX, 454.

Afterrinne, Beziehung zur Urmundspalte XXXIX, 403.

Agrion puella als Wirth für Cysticus taeniae acanthorrhynchae. XXXIX, 341.

Ahnenplasmatheorie von Weismann, Bedeutung des II. Richtungskörpers und die Parthenogenese XXXVI, 109, bei Eiern von Asteracanthium 113.

Alauda arvensis, Spermatozoen XXXII, 422. Alcedo, Farbe der Federn, Eisvogel-typus XXXXV, 78.

Alcyonella fungosa, zur Spermatologie XXXI, 334, Spermatogonien, Umwandlung zu Spermatocysten, Spermatiden 335, Nebenkern u. Kern 336, Eindringen in die Eizelle 338.

Allantois der weissen Ratte XXXVII.

Allantoisgang beim Menschen XXXIX, 376, Anlage 381.

Allantoisstiel beim Menschen, An-

lage XXXIV, 383.

Alligator, zur Histologie des Magens XXXIV, 1, Epithelzelle 2, Structur 3, Becherzelle 5, Vermehrung 10, Drüsen, Epithelzelle 2, 7, Hals und Fundus, Drüsenzellen 3, 7, Tunica propria, Kern 9, Submucosa 4 mit Wanderzellen 5, Muskulatur 4.

- Driisen des Zungengrundes, Aus-

führungsgänge XL, 22.

Alveolen, Verbindung mit dem Zahn beim Wachsthum XXXVIII, 146, an schmelzfreien u. schmelzbedeckten Stellen 147, bei Nagern 149, Beziehung zu Kroncement 150.

Alveolodentalperiost bei Nagern,

Bedeutung XXXVIII, 149.
Alveus des Cornu Ammonis, Bau
XXXIX, 613, mit Fimbria, Nervenfasern, Neuroglia, Gliazellen 624.

Alytes obstetricans, Spermatogonie XXXVI, 250.

Ambos (Gehörknöchelchen), erste Anlage XL, 519. Amitosis der Leucocyten, Bedeutung

XXXVII, 288.

Ammocoetes, Andeutung einer Theilung des Geruchsorgans, XXXVIII, 3. - Epithelreste am N. opticus und

auf der Retina XXXVIII, 35, Borg-

meister'sche Zapfen.

Ammonshornformation, zur Histologie XXXIX, 611, Muldenblatt Alveus mit Fimbria, Nervenfasern, Stratum oriens, Nervenzellen 613, polymorphe Nervenzellen mit aufsteigendem Axencylinder 614; Schicht der Pyramidenzellen, Reihenpyramiden, Fortsätze 615, Axencylinder 616; Stratum radiatum, Verhalten der Spitzenfortsätze 617; Stratum lacunosum seu medullare medium; Stratum moleculare 619, Mervenzelle mit Fortsätzen; La-mina medullaris involuta (Kern-blatt), Beziehung zur Fascia den-tata; Fascia dentata 620, a. Hilus et Nucleus, Pyramidenzelle, polymorphe Nervenzelle mit Fortsätzen 621, spindelförmige Zellen; b. Stratum granulosum, Nervenzellen beim Kaninchen und Schwein 622, Fortsätze zur Rindenoberfläche, zu Hilus, Axencylinder beim Kaninchen und Schwein, Verhalten der Fortsätze zum Stratum lucidum Honegger's 623, zur Zona reticularis Honegger's 624.

Neuroglia im Alveus XXXIX, 624, Gliazellen 624, Fascia dentata, Gliazellen 625.

Amnion der Ratte, Mitosen XXXIII, 517.

der weissen Ratte XXXVII, 347, Zellen 348.

Amniota, Müller'scher Gang, Ent-stehung XXXIII. 502.

Amoeba guttula XXXVIII, 7.

— limax XXXVIII, 7. --- lobosa XXXVIII, 6.

--- proteus XXXVIII, 7, 8.

— verrucosa XXXXIII, 7.

— villosa XXXVIII, 7. Amoeben, beschalte XXXVIII, 12. - geisseltragende XXXVIII, 9. - kernlose XXXVIII, 6.

Amphibia, Theilung rother Blutzellen XXXII, 603.

-, Nebenkern im Pancreas XXXIII, 182

zur Kenntniss des Baues der Eileiterdrüse XXXIV, 123, Secretion 127, Drüsenzellen, Colloidkugeln, Oeffnung 124, Flimmerzellen, Becherzellen 126, Blutkörperchen, rothe, Auswanderung im Eileiter 129.

-, Methylenblautinction der motorischen Nervenendigungen im Mus-

kel XXXV, 305.

feinerer Bau des Vorderhirns XXXV, 380, Körnerschicht 383, keulenförmige Zellen, multipolare Zellen 384, Axencylinderfortsätze, Verhalten 385.

Nervenzellen im Sympathicus XXXV, 407, Material 407, Methode 408, umstrickendes Nervennetz 409, Spiralfaser, Bedeutung 410, Myelinscheide 412, Verlauf 413, Verbindungsfaden 411, gerade Fasern 412, Verlauf 413, Zellnester 416.

Mucingehalt der Hautdrüse

XXXVI 354.

Epithelreste am Opticus und auf der Retina XXVIII, 29.
Neuroglia, Bau XXXVIII, 278,

Gliazellen 279.

—, Dotterzellen, Beziehung zum Dotterentoderm von Torpedo ocellata XXXIX, 61.

—, terata mesodidyma und kata-didyma XXXIX, 418. —, Gastrulation XXXIX, 430, Con-

crescenztheorie 437.

-, Einfluss der Entwickelung der Blutgefässe auf die Entwickelung von Darm, Darmgekröse und Pancreas, hemmend XXXX, 440 und fördernd 447.

Anura, Nebenkern des Pan-

creas XXXIII, 188.

-, Spermatozoen XXXVI, 250. Urodela, Spermatozoen XXXVI, 254.

Amphioxus, Concrescenztheorie XXXIX, 437.

Amphipoda, nucleoläre Kernhalbirung der Mitteldarmdrüse, Drüsenzellen mit Kern XXXIX, 25.

Ampulis pompadora L. Farbe der Federn, Grünfärbung XXXV, 79.

Anas, Spermatozoen XXXII, 441, Kopf 449.

Angiostomum macrostomum in der Leber von Anguis fragilis XXXIX,

Anguis fragilis, Spermatozoen XXXVI, 272, Kopf, Geissel 274, Axenfaden, fibrilläre Structur 280.

-, Vorderkopfsomiten und die Kopfhöhle XXXVI, 603, Litteratur, Methode 607, Verbindung zwischen Mesoderm und Entoderm, Prächordalplatte, Stiel 612, Veränderungen 616, Verhalten der Zelle, Halsund Kopfhöhle 614, Muskelanlage, Augenmuskeln 617, muscul. rectus ext. 619, muscul. obliquus 621.

Rückenmark - Faserung XXXVIII, 157, weisse Substanz, Centralband; graue Substanz 159, Gangl. spinale, Beziehung zu Nervenwurzeln, Ramus communic. ant. et post., Vergleich mit Tropidonotus 166, Vorderwurzeln, Vordercommissur 160, fasciculus medullae inf. s. ventralis, Hinterwurzel, mediale und laterale Partie 162.

-, Zungendrüse XXXVIII, 181, Zungenpapille, Epithel, Cylinderzelle 182, 192, Plattenepithelzelle 182, 193, Flimmerzelle, Becherzelle 184, Stomata 185, Form 188, Gestalt, Kern 196, Inhalt 197, Verhalten nach Fütterung 199, Netzwerk, Bedeutung 202, 212.

-,Befruchtung der Eier XXXIX, 217, Keimscheibe, Bau 218, Delle 219, Kern 221, weiblicher Vorkern, Spermakern 223, Conjugation 224, Furchungskern 226, Theilung 229, Nebenspermakern 226.

Anisolabis mauritanica, Stinkdrüse XXXVI, 576.

Anodonta cellencis, Blut, XXXVII, 82.

Anomia ephibbium, Blut XXXVII,

Anpassung, functionelle, Versuche zur XXXVII, 392, Litteratur, Objecte 396, Versuche an Schwanz-spitzen von Rana fusca 397, Regeneration.

Anta — Tapir.

Antennen von Chalicodoma murania, Anlage XXXV, 148, 154.

von Sida cristallina, Nerven XXXVIII, 109.

Antilope, Gesichtsdrüsen XXXI, 514.

Aorta, Anlage beim Kaninchen XXXIII, 324.

Aphlebia, Stinkdrüsen XXXVI, 576. Aquaeductus Sylvii der Edentaten XXXV, 170, Ependym 171.

Arca Noae, Fächerauge XXXIII, 380, Pigment und Sehzelle, Cuticula, Kern 382, Stützzelle 385, Ommatidium, Bau 384, Epithel- und Pig-ment-, kolbenförmige Zelle 387.

Blut, Farbe und Reaction XXXVII, 43, farbige Blutkorper-

chen 83.

tetragona, Blut, Farbe und Reaction, farbige Blutkörperchen XXXVII, 43 und Kern 49.

---, Blut XXXVII, 82, farbige

Blutkörperchen.

Archoplasma der Spermatocyten bei Salamandra XXXVII, 572.

Argulus foliaceus XXXIII, 1; Integument, Saugscheibe 3, Matrix, Zelle und Kern 5, Hautdrüsen, Contractilität 7, Pigment, Muskulatur 8, Nervensystem 9, feiner Bau 11 - peripheres 12; oberes Hirnganglion; lobus olfactorius 9; Commissuren, Bauchmark, Augenganglien 11, Nervenfasern, Bau, Schildnerv, Endverhalten 13, Sinnesorgane, Sinnesborsten 14, Nervenendigung 16, Riechkolben 17, 39, Stirnauge 18, Pigment bei den Larven 19, Seitenaugen, Cuticula, Krystallkegel 20, Pigment 21, Verdauungswerkzeuge, Mundspalte 22, Oberlippe, Unterlippe, Oberkiefer, Schlund 23, Magen 24, Darm, Zelle, Enddarm, Bluträume 25, Cuticula 27, Kreislauf des Blutes 28, Herz 29, Blutzelle 30, Schalendrüse 31; Fortpflanzungs - Werkzeuge, Eierstock, Hülle 32, Matrixzelle, Ausführungsgänge 33, Samentasche 34, Ductus seminalis 35, Hoden, Tastkörper, Zelle 36, Gliederung 37, Saugnapffüsse 40, Umbildung des Integuments 41, Kieferfüsse, Schwimmfüsse 43, Schwanzflosse 45.

Artemis exoleta, Blut XXXVII, 82. Arteria hepatica, plica, Anlage XL, 446, 469.

hyaloidea, Verhalten der Capillaren zu dem linsenförmigen Gefässkörper im Auge der Cyprinoiden XL, 424.

- mesenterica sup., Verhalten zur Vena mesenterica magna XL, 461.

Arteria mesogastrica, Verhalten XL, 450.

- pulmonalis, Anlage bei Kanin-

chen XXXIII, 324. Arterien der Milz, Gefässscheiden XXXVIII, 350, Endigungen 371, Beziehung zu Keimlager 373, Uebergang in Pulpa 374, Verhalten der Adventicia 374, 385, zu den Malpighischen Körperchen 384.

des Uterus, Verhalten zur Placenta XXXV, 17, 33.

Ascaris marginata, über Eireifung und Befruchtungsvorgänge XXXII, 671 Methode, Eizelle, Entwicklungsgang 672, Veränderung des Keimbläschens 673 und dessen Kernes 675, Copulation 674, Abstossung des Richtungskörperchens 675, Acquatorialplatte, Beziehung zum Eiprotoplasma 678, Pronucleus, Bildung, Zahl und Bau 678.

-, sexuelle Elemente XXXIV, 396, Eizelle, Kern und Kernkörperchen 398, Dotterbildung, Karyosom 399, Bildung der Polarkörperchen 401, 403, Eindringen des Spermatozoids 401, safranophile Körnchen 402, Pronucleus 403, karyokinetische

Erscheinungen 404.

- megalocephala, Befruchtungsvorgang XXXI, 567, Methode 570, Richtungskörperchen, Bildung 572, Spermatosom, Verhalten 576, Pronuclei, Bildung 579, karyokinetische Veränderungen 582, Sphères attractives 585, Protoplasma, Theilung 588.

-, Entwicklung d. Geschlechtsprodukte XXXVI, 2, Samenbildung 2, Hodenröhre 6, Keimzone 7, Inhalt, Rhachis 9, Rhachislamelle, Anordnung 10, Zellhäute 11, Ursamenzelle, Verhalten des Kernes, Unterschied bei univalens u. bivalens 12, Hodenzwischenkörperchen, Wesen 14, 22, Wachsthumszone 7, Inhalt, Samenmutterzelle, Kern 18, Ver-änderung 21, Reifenzone 7, Inhalt, Vorstadien der I. Theilung bei univalens, Samenmutterzelle, Kern, Verhalten des Chromatins 23, Nucleolus 28, Polkörperchen 29, Vorstadien der I. Theilung bei bivalens 30, Samenzelle, Kern, Chromatin 30, Nucleolus, Polkörperchen 33, Verlauf der I. Theilung bei univalens, Samenmutterzelle. Kern, Inhalt 37, Theilung 39, Theilung der Samenmutterzelle b. bivalens 40, II. Thei-

lung 49 der Tochterzelle, Verhalten des Chromatin 40 und der Polkörperchen 44, Samenleiter, Inhalt, Samenzellenträger 47, Samenkörper, Bau 49, Ei und Eibildung 51, Eierstocksröhre, Ureier, Eimutterzelle, Rhachis, Keimzone, Inhalt 52, Zwischenkörperchen 53, Wachsthumszone, Inhalt 55, Eileiter, Gebärmutter, Kern der Ureier 46, Richtungskörper 57.

- bivalens, Vergleich mit der Ursamenzelle bei univalens XXXVI, 12, Vorstadien der I. Theilung der Samenmutterzelle, Samenzelle, Kern, Chromatin 30, Nucleolus, Polkörperchen 33, Verlauf der I. Theilung 40, Bau der Samenkörper 49.

- univalens, Vergleich mit Ursamenzelle bei bivalens XXXVI, 12, Vorstadien der ersten Theilung der Samenmutterzelle, Kern, Verhalten des Chromatin 23, Nucleolus 28, Polkörperchen 29, Verlauf der I. Theilung, Kern 37, Verhalten 39, Samenkörper, Bau 49.

Zwischenkörperchen der Eierstocksröhre XXXVI, 53.

— mystax, über das Darmepithel XXXI, 293, Methode, Zellen, Membrana propria 295, Fortsätze 296, Kern 297 mit Kernkörperchen, Karyosomen 298.

- Pterostichi n. sp. XXXIX,

325.

Asiphoniata, Blut, XXXVII, 82. Astacus fluviatilis, Notiz über die grüne Drüse XXXI, 98 Kern, Gelbfärbung.

-, quergestreifte Muskelfaser, Scheibenzerfall XXXVII, 668.

-, Analogie der Blutzelle mit den eosinophilen Zellen des Knochenmarks vom Kaninchen XXXVIII, 617.

innere Zwitterbildung XXXIX,504, ruhende Spermatogonie 504, Follikelkerne 505, Eier im Hoden 506; Spermatogonie, Karyokinese 521.

-, Reductionstheilung XL, 117.

Astarte fusca, Blut, Farbe u. Reaction XXXVII, 43.
—, Blut, XXXVII, 82.

Asteracanthium, Eier, Parthenogenese XXXVI, 113.

Atrioventricularklappe des Herzens beim Kaninchen XXXIII, 340. Attractionssphären der Leucocyten XXXVII, 249 und Centralkörper, Verhalten bei Kernfragmentirung 274.

Auge bei Bythotrephes longimanus

XXXVIII. 119.

der Cyprinoiden, linsenförmiger Gefässkörper XL, 418, Vorkommen 419, Topographie, Gefässverlauf bei Karpfen, Schleihe 420, Verhalten der Capillaren der Art. hyaloidea 424, Sammelgefässe 625, Vergleich mit Verhalten in der Chorioidealdrüse, Wundernetzbildung 420, 426, venöser Theil 429, Bedeutung 432.

der Mollusken XXXIII, 378, Fächerauge von Arca Noae 380, von Pecten 390, Stiel, Pigmentmantel bei P. opercularis, Pellucida, Epi-thel 391, Linse 392, Entwickelung 396, Septum 392, Retina, Stäbchenzelle 393, spindelförmige Zellen 395, Entwickelung 396, Seitennerv, Verbindung mit Nerv 394, 395, Seitennerv 395, Tapetum, Bedeutung 397.

-Fächer- von Arca Noae XXXIII, 380, Pigment- und Sehzelle 382, Cuticula und Kern, Stützzelle 385, Epithelzelle, kolbenförmige Zelle

387.

Seiten- von Argulus foliaceus XXXIII, 20, Cuticula, Krystallkegel, Pigment 21.

unpaares, bei Daphnia sima

XXXVIII, 115.

Augenblase bei Petromyzon Planeri, Anlage XXXV, 505, 510.
— sekundäre bei Petromyzon

Planeri XXX, 537.

Augenlider, Bau der Oberhaut XXXVII, 172.

Aulostomum, Samenbildung, Centrosomen, Nebenkern XXXIII, 197.
— gulo, Bildung der ersten Richtungsspindel im Ei XXXIII, 204.
Ei, Bau 204, Keimstock, Keimbläschen 205, Centrosoma 206, Verbläschen 205, Centrosoma 206, Cen halten bei Bildung der Richtungsspindel 207, der Dotterkörnchen 208, Veränderung der chromatischen Substanz, der Membran des Keimbläs-chens 209, Bau der fertigen Spindel 212.

Aurelia aurita, Metanucleolus bei Furchung des Eies XL, 255.

Auriculae cordis, Anlage bei Kaninchen XXXIII, 301.

Auricularia XXXVI, 568, 569, Ver-

gleich mit Nesselzellen der Cnidarier 573.

Ausführungsgang des Eierstocks bei Argulus foliaceus XXXIII, 33.

der Giftdrüse von Kröte und Salamander XXXIV, 34, Verhalten zur Oberhaut.

der Schleimdrüse von Kröte und Salamander, XXXIV, 49, Verhalten zur Oberhaut.

der Drüsen des Kropfes der Taube XXXIV, 240.

des Pancreas von Proteus anguineus XXXIV, 547. — der Krause'schen Drüsen der

Caruncula lacrimalis des Menschen, Cylinderepithel XXXVI, 303.

der Mammilla, Verhalten bei Regeneration XXXVII, 140, Verhalten des Epithels 140, 149 zur Epidermis 150.

der Cowper'schen Drüse beim

Menschen XXXIX, 51.

der Drüsen der Regio olfactoria beim Menschen, Epithel XXXIX, 645. der Drüsen der Papilla vallata

bei Cavia cobaya u. Hystrix XL, 16. der Drüsen des Zungengrundes XL, 22 bei Reptilien, Alligator, Pferd.

der grösseren Drüsen des Men-

schen, Epithel 40, 484.

der Micronephridien von Megascolides australis XL, 556, Epithel 557.

Ausführungsschlauch der Speicheldrüse, Epithelzelle XXXIX, 605.

Auster - Ostrea.

Aves, Bau der Spermatozoen XXXII, 401.

-, über den Bau des Knochenmarks, neue Untersuchungen XXXV, 424, rothe Blutkörperchen, erste Entstehung 430, 440. Venencapillaren, Bedeutung als endovasculäres Organ 435, 463, Methode 437, Verhalten zum Parenchym 439, Zelle mit Stäbchen 444, mit Körnchen, kleine und grosse Leucocyten 445, Veränderungen des Markes nach Aderlass 446, Erweiterung der Venencapillaren, Verhalten des Parenchym, indirecte Theilung der Leucocyten 450. Mitosis der rothen Blutkörperchen 452, Erythroblasten, Färbung, Mitosis 454, Parenchym, Gefässnetz 460, Venencapillaren mit Leucocyten und rothen Blutkörperchen 461.

Aves, Harder'sche Drüsen, XXXVI, 196. Bau

-, Entwickelung und Structur der Nebenniere XXXVIII, 471.

Avicula hirundo, Blut XXXVII,84. Axencylinder der Nervenfaser von Neunauge XXXI, 101.

— der Epithelzelle des Rücken-marks von Triton XXXIV, 151.

- peripherer Nerven, Veränderung bei Degeneration XXXVI, 590.

der polymorphen Nervenzellen des Cornu Ammonis XXXIX, 614. - der Pyramidenzelle des Cornu

Ammonis XXXIX, 616.

— des Stratum granulosum des Cornu Ammonis bei Kaninchen u. Schwein XXXIX, 623.

- der Nervenfaserschicht der Retina des Menschen XL, 29.

Axencylinderfortsatz der multipolaren Zellen des Vorderhirns der

Amphibien XXXV, 385.

- der grossen, sternförmigen Zelle der inneren Körnerschicht der Retina des Menschen XXXVIII, 326, der kleinen, sternförmigen Zellen 329, der Zelle des Gangl. optici 336.

Axencylinderscheide des Rücken-

marks XXXVIII, 291. Axenfaden der Spermatozoen der Vögel XXXII, 413, mit Endknöpfchen und Elementarfibrillen 417, fibrilläre Structur 427, 443.

- der Spermatozoen, fibrilläre Structur beim Hecht XXXVI, 242, Perca,

Leuciscus 243.

- der Spermatozoen der Amphibien, Bau XXXVI, 267, Randsaum, fibrilläre Structur 269.

-- der Spermatozoen bei Testudo, Lacerta, Psammodromus XXXVI, 275, fibrilläre Struktur bei Lacerta, Anguis, Testudo mauritanica 280.

Axenorgane bei Petromyzon Planeri, Bildung XXXV, 483.

Axenstrang der Tentakel der Ctenophora XI., 190, Mittelstreifen, Muskelfaser, Auftreten 190 und Wachsthum 192, 195 bei Callianira und Hormiphora 196.

Axolemmad.RückenmarksXXXVIII,

Axolotl — Siredon pisciformis.

Axoplasma der Nervenfaserschicht beim Menschen XL, 29.

Bachforelle — Trutta fario. Balkenbündel des Hirnbalkens,

Auftreten beim Schwein XXXVII, 6. Basalmembran der Haut von Petromyzon fluviatilis XXXIV, 109.

Bauch, Bau der Oberhaut XXXVII, 1, 6, 8, 16.

Bauchmark von Argulus foliaceus XXXIII, 10.

von Daphnia sima XXXVIII, 115,

116 Nerven.

- von Leptodera hyalina XXXVIII, 128.

von Lumbricus, Beziehung zur sensiblen Nervenfaser der Haut XXXIX, 116, 120, Bau 120, Ganglion, Neurochordcylinder 121, Nervenzelle 122.

von Sida crystallina XXXVIII, 102, unterer Theil 112.

Bauchspeicheldrüse — Pancreas. Bauchstrang von Gordius tolosanus Duj. XXXIV, 259 Männchen und Weibchen.

von Megascolides australis mit Ganglion XL, 553.

Baumläufer - Certhia.

Befruchtung, über die Bedeutung der - und die geschlechtliche Differenzirung XXXVI, 114.

von Ascaris marginata XXXII,

671.

von Distomum cylindraceum XXXVI, 185.

- bei Eier der Reptilien XXXIX, 215. Anguis fragilis 217, Tropidonotus natix 230.

bei Petromyzon Planeri XXXV,

469, 471.

Befruchtungsprozess bei Nematoden XXXVI, 100, Verhalten zwischen Ei- und Samenkern 100, Verhalten des Chromatin 103.

Befruchtungsvorgänge, Beziehung zur Karyokinese XXXII, 1. bei Ascaris megalocephala XXXI,

567.

Begattung bei Distomum cylindra-ceum Zed. XXXVI, 184.

Begattungsscheide von Bilharzia haematobia XXXI, 211.

Beleuchtungsmethode neue mittelst eigenthümlich geformter Glaskörper XXXII, 683.

Beroe, Epithel XL, 159, 161, Drüsenzellen, interstitielles Gewebe mit Kern im Magen 159, verästelte Zelle mit Kern, 160, Drüsenzelle, Stadien der Entwickelung 161, Epithelborste der Wimperrinne 164, säbelförmige Cilien am Mundrand des Magens, Verhalten zum Epithel 165, Flimmerring, Flimmerzelle 167, Giftzelle 168.

Beroe, Otolith mit Kern XL, 181, Epithelzelle der Wimperrinne 182.

-, zur Histologie, Ruderplättchen, Verbindungsfasern 196, Elemente der Gallerte, Muskulatur, Muskelfaser mit Sarcolemm 207, Verbindungen unter einander 208, Radiärmuskeln 209, Beziehung zum Magen 210, glatte Muskelfasern unter dem Epithel, Musculatur, Entwickelung u. Wachsthum 211, Muskelzelle, erste Entstehung und Beziehung zu Bindegewebskörperchen 212 und embryonalen Mesodermzellen 213, Radiärfasern, Bildung 214, Bindegewebszelle, typische 215, Bindegewebe in der Gegend des Sinnespoles 215, Bindegewebsfaser unter dem Sinneskörper und Ruderplättchen 216.

Bildungsgewebe bei Torpedo ocellata XXXII, 380, Zelle 383.

Bilharzia haematobia (Cobbold), zur Anatomie XXXI, 192, Vorkom-men und Verbindung, Benennung 195, copulirte Individuen 197, Organisation des Weibchens 200, Stachel, Darm 201, weiblicher Apparat 202, Bau 209, Schalendrüsenhöhle 203, Epithel 210, Cuticula 207, Muskelschlauch, Parenchym 208, Epithel des Darmes 209, Begattungs-scheide 211, Ovarium 212, Centralnervensystem, Histologie 221, Organisation des männlichen Geschlechts 214, Hoden, Samenblase 218, Cuticula 220, Histologie, Cuticula mit Stachel, Muskulatur, Parenchym 219.

Bindegewebe, Verhalten zur Haarpapille nach Epilation XXXVI, 537,

542. , Regeneration bei Rana esculenta XXXVII, 446, Mitose der fixen Bindegewebszelle.

des Geruchsorgans von Neunaugen

XXXVIII, 6.

- der Schleimhaut der Papilla vallata beim Pferd XL, 13 Ganglienzellen.

der Ctenophora, Beroe XL, 215 in der Gegend des Sinnespoles, bei Cestus 220, Callianira 222.

- interstitielles der Glandula ca-

rotica beim Menschen XL, 298, Zunahme 301.

Bindegewebe, intertubuläres der Speicheldrüse XXXIX, 608.

lockeres, eineneue Art von fettbildendem Organ im - XXXII. 123, kugelförmige Zelle der weissen Ratte 123, Bestimmung 145, Wachsthum 124, Beziehung zu Gefässen 129, freie Kerne 136, Kerntheilung 137, Ranvier'sche Bindegewebszelle. Bedeutung 142, Atrophie 145, Leucocyten, Beziehung zur Fettbildung 150, Fettgewebe, functionelle Bedeutung 155, physiologische Bedeutung 160, — Bedeutung 165, Verhalten zur Entzündung 168, Methode 174.

— der Cutis von Kröte und Salamander XXXIV, 27.

Bindegewebsfasern der Ctenophora, Beroe XL, 216, unter Sinneskörper und Ruderplättchen, - bei Cestus 221, Callianira 222.

Bindegewebskapsel der Nervenendkörperchen in der Cornea und Conjunctiva des Menschen XXXVII, 606.

Bindegewebskörperchen bei Beroe, Beziehung zur Entstehung der Muskelzellen XL, 212

Biomyxa vagans XXXVIII, 11.

Bisamsprutte - Eledone moschata. Blase von Salamandra, amitotische Kerntheilung im Epithel XXXIV. 437, durchlöcherte Kerne 438, Zelltheilung 445.

- contractile von Gyrodactylus

elegans XXXIX, 335.

Blastocoelblase von Torpedo ocellata XXXIX, 62.

Blastocoelknopf bei Torpedo oceltata XXXIX, 80.

Blastoderm von Chalicodoma muraria XXXV, 142, Umwandlung zum Epithel.

von Torpedo ocellata, epitheliale Schicht XXXIX, 58.

Blastodermbildung bei Petromyzon Planeri XXXV, 479.

Blastomeren bei Furchung des Eies von Aequorea forskalea, Grössenverhältnisse XL, 248.

Blastoporus von Petromyzon Planeri XXXV, 477, 480.

Blattida, Stinkdrüse XXXVI, 576. Battkiemer — Galeomma.

Blinddarm des Kaninchens, Epi-

thelzelle XXXIII, 265, Gehalt an

Leucocyten 266.

Blindschleiche — Anguis fragilis. Blut, neue Methode der mikroskopi-schen Untersuchung XXXI, 103, Schnitte, Fixation der Elemente 102, in Osmiumsäure 104, Einbettung in Agar-Agar 105, Paraffin 108.

- bei Stercutus niveus n. sp. XXXI,

485.

bei Argulus foliaceus, Kreislauf

XXXIII, 28.

Beiträge zur Histologie XXXVII, 22, bei den acephalen Mollusken, Historisches 22, Material 37, Methode 38, histochemische und histologische Beschaffenheit 43, chemischphysikalisches Verhalten 43, Farbe und Reaction 43, bei Poromya granulata, Solen legumen, Tellina planata, Capsa fragilis, Astarte fusca, Cardita aculeata, Arca tetragona und Noae, Pectunculus glycimeris 44, spectroscopische Erscheinungen 45, Häminkrystalle bei Pectunculus 46, farbige Blutkörperchen 47, bei Solen legumen, Arca tetragona, Kern 49, bei Arca tetragona 50, amöboide Zellen 52, Vacuolen, Pseudopodien 64, Plasmahaut, Bedeutung 67, Ursachen der Veränderung, Kern 72, Kernhöhle 74, Beziehung zw. Kern- und Zellmembran 75, — der Siphoniata, Pholas dactylus, Tendo navalis, Thracia papyracea, Lyonsia corruscans, Mya arenaria, Corbuta gibba, Poromya granulata 79, Solen vagina und siliqua, Solen legumen, Solecurtus strigillatus, Tellina planata 80, Tellina exigua, donacina und baltica (Krystalle), Psammobia vespertina, Capsa fragilis (farbige Blutkörperchen), Donax politus und trunculus, Mactra stultorum und helvacea. Venus gallina und verrucosa, Tapes geographica, Cytherea chione und rudis 81, Artemis exoleta, Circe minima, Cyclas cornea, Astarte fusca, Cardita oculeata (farbige Blutkörperchen), Lucinia spinifera, Galeomma Turtoni, Solemya togata, Cardium tuberculatum und edule; — bei Asiphoniata, Unio pictorum, Anodonta cellensis, Arca tetragona (farbige Blutkörperchen) 82, Arca Noae (farbige Blutkör-perchen), Pectunculus glycimeris (farbige Blutkörperchen mit Kern, Leucocyten), Nucula nucleus 83,

Mytilus edulis (gefärbte amöboide Zelle), Modiola adriatica und barbata, Lithodomus dactylus, Dreyssena polymorpha, Avicula hirundo, Pinna nobilis, Pecten varius (Blutkörperchen, Krystalle), Pecten Jacobaeus, opercularis und tectae 84, Lima hians, inflata und squamosa, Ostrea edulis, Anomia ephibbium 85.

Blut zwischen Chorion und, Uterus-schleimhaut bei Anlage der Pla-

centa XXXVII, 368.

- von Protopterus annectens, Kerntheilung durch indirecte Fragmentirung XXXVII, 389.

Blutbahn der Milz, Beziehung zum Gerüstwerk ohne Wandung XXXVIII,

- lacunäre der MilzXXXVIII,358. Blutbildung aus dem Entoderm XXXVI, 516 bei Tropidonotus natrix 517, Zelle mit Kern 518, bei Lacerta agilis523, Entodermzelle 524.

Blutfarbstoff, Beziehung zur Pigmentbildung XXXIV, 482.

Blutgehalt der Sinushaare

Hund XXXV, 59.

Blutgefässe der Rachentonsille XXXII, 210.

—, Beziehung zur Ossification des Unterkiefers XXXII, 297, zu Osteo-blasten 328, Verhalten bei Untergang der Knorpelgrundsubstanz 354.

des Uterus, Verhalten zur Placenta XXXV, 17, 33.

der Carotisdrüse beim Menschen XL, 299. Neubildung 301.

Blutgefässapparat, anatomischentwickelungsgeschichtliche Studien über die formbildende Bedeutung XL, 435. Darm, Darmgekröse und Pancreas, Entwickelungsgeschichte 435, hemmender Einfluss der Blutgefässe, speziell der Venen bei der Entwickelung beim Frosch 440, bei Amphibien 441, fördernder 447, grosses Netz, Anlage und I. Entwickelung 445, Plica arteriae hepaticae 446, Mesogastrium, Verhalten 450, Plica vaso-enterica 451, Nebenpancreas, Bedeutung und Ursprung 454, Flexura coli hepatica, Anlage 457, Colon, Anlage 457, Plica duodeno-jejunalis, Anlage 458, Plica duodeno-mesocolica 459, Plica mesocolico-jejunalis, Plica jejunalis 460. Art. mesent. sup., Verhalten zur Vena mesent. magna 461, Mesogastrium s. Mesenterium gastroduodenale 462. Ductus lieno-pancreaticus 462, Ductus duodeno-panereaticus 463, Darm, Factoren der Verlagerung 468, Gekröse, Faktoren der Verlagerung, Plica arter hepaticae, Ursprung, Plica vaso enterica, Ur-sprung, Plica duodeno mesocolica 469, Plica mesocolico jejunalis, Pancreas, Factoren der Umbildung 470, Nebenpancreas 472.

Blutgefässcapillaren der Leber, Rückbildung XXXV, 94. Blutkörperchen, Verhalten zum

Epithel der Chorionzotten des Hundes XXXIII, 433.

- des Chorion der Katze XXXVII,

365, 366, 369.

-, Diapedese in der Milz XXXVIII,

357.

- farbige bei Mollusken, Solen legumen, Arca tetragona XXXVII, 47, Kern 49, bei Arca tetragona 50. rothe, Auswandern im Eileiter XXXIV, 129.

-, erste Entstehung im Knochenmark der Vögel XXXV, 430, 440, Mitosis 452, Vorkommen in

den Venencapillaren 461.

- bei Capsa fragilis XXXVII,81, Cardita aculeata, Arca tetragona 82, Arca Noae, Pectunculus glycimeris 83, Mytilus edulis, Pecten varius 84.

— Neubildung, Beziehung zu Erythroblasten XXXVIII, 578. — —, über intracelluläre Entstehung XL, 530, Litteratur, Methode 541, Kern 542 bei Kaninchen, Beziehung zu Capillaren 544, Zerfall rother Blutkörperchen in der Wachsthumsspitze der Capillaren 546, cellules vasoformatives, Bedeutung 547.

gekernte, Vorkommen

XXXVIII, 583.

- weisse, Neubildung XXXVIII, 590, in der Lymphe des Kaninchens 593.

Bluthänfling-Fringilla cannabina.

Blutplasma, Beziehung zur Hämoglobinbildung XXXVIII, 589.

Bluträume von Argulus foliaceus XXXIII, 25, Cuticula 27.

Bogengänge, häutige, zur Ent-wickelung XXXV, 287, Litteratur, bei Kaninchen 293, Methode 294, Labyrinthblase, Entwickelung und Veränderung 296. Bombinator igneus als Wirth für

Trichosoma Bombinatoris n. XXXIX, 327.

Bombycilla, Farbe der Federn, Grünfärbung XXXV, 83.

Borste bei Mesenchytraeus setosus n. sp. XXXI, 494.

Borstenwürmer - Chaetopoda. Bourrelet im Dünndarmepithel bei Maus und Tritonen XXXI, 140.

Branchiopoda XXXVIII, 22.

Branchipus stagnalis, Reductionstheilung XL, 117.

Brust, Bau der Oberhaut XXXVII,

Brustbein von Chalicodoma muraria, Anlage XXXV, 149.

Brusthöhle von Chalicodoma muraria, Anlage XXXV, 154.

Chalicodoma Brustsegment von muraria, Anlage XXXV, 149.

Buchfink - Fringilla coelebs. Bufo, Giftdrüse, Beziehung zur Haut XXXIV, 11, Vorkern 12, Me-

thode 13. -, Mucingehalt der Eileiter XXXVI,

351.

Bythotrephes longimanus, centrales Nervensystem XXXVIII, 118, Sehganglion, Auge 119, Punktsubstanz, Sehfasern 120, Chiasma, Sehcommissuren 122, Centralkörper, retropharyngeales Ganglion 123.

Calamus, Reductionstheilung XL,

gracilis, Reductionstheilung XL, 117.

Callianira, Epithel XL, 176, Pigmentfleck mit glatten Epithelzellen 177, Epithel der Magenwülste 177. -, Otolith mit Kern XL, 181,

Basalpolsterzelle 183.

—, zur Histologie, Ruderplättehen, Cilien XL, 184, Verbindungsfasern 185, Tentakel, Mittelstreifen bei Callianira 193, Axenstrang, Tentakelepithel 197 aus Greifzellen und interstitiellem Gewebe 198, Elemente der Gallerte, Muskel, Bindegewebszelle 220, Bindegewebsfasern 222, Stützfasern 223, ectodermaler Nervenplexus 225.

Calotragus melanotis, Driise

XXXI, 528.

Calyptomena viridis Raffl., Farbe der Federn, Beziehung der Schleimzellen zur Blaufärbung XXXV, 72, Grünfärbung 81.

Canal der Epithelzellen der Harn-

blase XXXV, 394.

— Gartner'scher, Entwickelung beim Menschen XXXVII, 630.

— Havers'scher beim Menschen,

Verhalten bei Färbung XXXIX, 157, 188, Resorption 193.

Laurer'scher bei Distomum cylindraceum Zed. XXXVI, 183.

bei Phylline Hendorffii

XXXIII, 174.

- Volkmann'scher des Kaninchens, Verhalten XXXIX, 191.

Canalis auricularis des Herzens von Kaninchen, Auftreten XXXIII, 295, Aenderung 320.

neurentericus bei Torpedo

ocellata XXXIX, 86.

Canis domestica, secernierende Zelle des Dünndarmepithels, Becherzellen, Inhalt der Theka XXXI, 129.

tur der Placenta XXXIII, 419, Methode, Mucosa uteri, Bau, Drüsen und Krypten 421, Epithel 422, Veränderung durch Gravidität und Beziehung zur Placenta 423, Veränderung der Drüsen durch Gravidität 424, 428, Verhalten des foetalen Ectoderms zur Uterinschleimhaut 425, Chorionzotten, Auftreten und Verhalten zur Schleimhaut 426, zu Uterindrüsen 428, Veränderung und Wachsthum 435, Drüsenzellen, Beziehung zur Ernährung des Foetus 429, 434, Sinus lateralis 432, Verhalten zwischen Chorionepithel und Blutkörperchen 433.

, Giraldès Organ XXXIII,445. zur Kenntniss der Lymph-drüsen XXXIV, 208, Litteratur, Reticulum 208, Methode 210, zellige Elemente 212, Zellen mit kleinem Protoplasma, mit grossem Proto-plasma 214, Körnchen- oder granulirte Zellen 216, Körnchen, Structur, Natur, Vergleich mit eosinophilen Zellen 216, Leucocyten im Untergang 219, Phagocyten 220, Pinselzellen in der Halsdrüse 221, Blutkörperchen haltige Zellen in Me-

senterialdrüsen 222.

——, Beitrag zur Kenntniss des Geruchsorgans XXXIV, 385, Methode, Verhalten der Nervenfasern zu Geruchszellen 384, 386, Epithel der Grenzzone 388.

, sexuelle Elemente des Spulwurms XXXIV, 396.

Canis domestica, Bau der Sinushaare XXXV, 58, Blutgehalt 59.
—————————, Capillarscheiden der Leber,

Isolation XXXVI, 214.

- , Mucingehalt in der Schleim-, Speichel- und Unterkieferdrüse. XXXVI, 342.

-, Regeneration der Mammilla nebst Bemerkungen über ihre Entwickelung XXXVII, 139.

——, Rectumdrüsen XL, 329, Protoplasma, Zelle 331, Schleimzelle 332, Mitose der Drüsenzelle 333, Schleimzelle, Zwillingszelle 334, Beziehung der Drüsenzelle zu dem Oberflächenepithel der Schleimhaut, 337.

-, Duodenaldrüsen XL, 338, Protoplasma, Zelle 339, Schleimzelle, Kern 341, Mitose der Drüsen-

zellen 343.

-, Bau des Chromatins der sympathischen Ganglienzellen XL, 378, Form der Chromatinkörner.

Canthocamptus, Reductionsthei-

lung XL, 117.

Capillaren, Theilung der Wander-zellen XXXV, 275, 282, Beziehung zwischen Kern- und Zelltheilung bei Salamanderlarven.

-,Regeneration beiSiredonXXXVII,

448.

der Keimcentren der Milz, Verhalten XXXVIII, 391.

Beziehung zur Schmelzpulpa XXXVIII, 459.

der Carotisdrüse beim Menschen, Beziehung zu den Zellen der Zellenballen XL, 303.

der Arteria hyaloidea, Verhalten zum linsenförmigen Gefässkörper im

Auge der Cyprinoiden XL, 424.

—, Beziehung zu rothen Blutkörperchen XL, 544, Zerfall in der Wachsthumsspitze der — 546.

der Micronephridien von Megascolides australis, Beziehung zum Excretionsprozess XL, 557.

Capillarhülsen der Milz XXXVIII,

398.

Capillarnetz der Carotisdrüse beim Menschen XL, 299.

Capillarscheide der Leber der Säugethiere, Endothel XXXVI, 211, Isolation bei Katzen 212, sternförmige Zelle 213 mit Kern bei Hund und Katze 214, Isolation nicht gefüllter, Fibrillen, Kittsubstanz, Sternzelle 216, Beziehung zu Leberstroma 217,

Nachweis an Schnitten beim Menschen 219, Beziehung zu Gallen-capillaren 221.

Capillar scheide der Milz XXXVIII, 398, bei der Katze 403, Endothel 405, beim Menschen 420, Beziehung zu Venen, zur Pulpa 424.

Caprimulgus europaeus, Spermatozoen XXXII, 431, Geissel 439, Axenfaden 442, 443.

Capsa fragilis, Blut, Farbe und Reaction XXXVII, 43.

— —, Blut, farbige Blutkörper-chen XXXVII, 80.

granuläre Ein-Carcinom, über schlüsse in den Geschwulstzellen, Fettumwandlung XXXIX, 139.

Carcinus maenas, nucleoläre Kern-theilung in der Mitteldarmdrüse XXXIX, 7, Fermentzellen, Kern und Secretblase 7, Zelle mit Doppelkern 9 und Kernkörperchen 10, fetthaltige Zelle mit Kern und Kernkörperchen 17, Theilung im Keimepithel 22.

Cardita aculeata, Blut, Farbe und Reaction XXXVII, 43, farbige Blut-

körperchen 82.

Cardium edule, Blut XXXVII, 82. -tuberculatum, BlutXXXVII,82. Uterusmuskulatur.

Carnivora, XXXVIII, 72.

Caruncula lacrimalis des Menschen XXXVI, 291, Litteratur, Krause'sche Drüse 301, Acinus, Wandung, Epithelzelle 302, Cylinderepithel des Ausführungsganges, Vergleich mit Moll'schen Drüsen 303, Epithel 304, Becherzelle 305, Bedeutung 307.

Cassida equestris, quergestreifte Muskelfasern, Contractionswellen

XXXVII, 678.

Cavia cobaya, Substantia gelatinosa

Rolandi XXXI, 609.

-, Hinterwurzeln des Rückenmarks, Längsbündel XXXIV, 174,181, Zellen der substantia gelatinosa. 194.

Mucingehalt der Speichel-

drüse XXXVI, 344.

Knorpelcement der Backzähne XXXVIII, 150.

- , zur Entwickelung der Zähne XXXIX, 547, Rudimentärzähnehen, Zahnleiste.
- , papilla vallata XL, 11, Verhalten des Ausführungsganges 16. Cellules vasoformatives, Bedeu-

tung XL, 547.

Cement des Zahnes der Edentata erwachsen XL, 150.

Centralkanal des Rückenmarks der Tritonen, Schluss XXXIV, 148.

- des Rückenmarkes, Beziehung des Epithels zu den Gliazellen XXXVIII, 277.
- Centralfaden der Tentakel der Ctenophoren XL, 199, Beziehung zum Spiralfaden.

Centralkörper der Leucocyten XXXVII, 274, 281.

Centralnervensystem, über mi-kroskopisch wahrnehmbare Ver-änderungen bei Thätigkeit des — XXXIII, 51, Untersuchungsmethode und Material 53.

- von Bilharzia haematobia XXXI,

214, 221.

von Petromyzon Planeri, Anlage

XXXV, 484, 490.

Centrosoma des Eies von Aulostomum gulo XXXIII, 206, Verhalten zur Richtungsspindel 207.

- der Hodenzellen von Paludina vivipara u. Helix pomatia XXXIII,

134, 142.

bei Samenbildung der Lepidoptera XXXIII, 196, bei Aulostomum 197, Veränderung in den Spermatocyten 198, bei Sphinx euphorbiae und Pygaera 200.

der Samenzellen von Salamander und Maus, Beziehung zum Neben-

kern XXXIV, 88.

— der Spermatocyten von Sala-mandra XXXVII, 572, Fibrillenbildung 576 bei Proteus anguineus 584.

Cephalolophus doria, Gesichts-

drüsen XXXI, 526.

- dorsalis, Gesichtsdrüsen XXXI, 526.
- Gesichtsdrüsen Macurelli, XXXI, 526.
- natalensis, Gesichtsdrüsen XXXI, 526.
- niger, Gesichtsdrüsen XXXI,526. Ogilbyi, Gesichtsdrüsen XXXI, 526.
- pygmaeus, XXXI, 507, Lage der Drüsen 511, beim Weibchen 513, tubulöse 515, Zelle 516, acinöse 517, Zellen; beim Männchen 518, tubulöse und acinöse 520.
- -, Gesichtsdrüsen XXXI, 526. - rufilatus, Gesichtsdriisen XXXI, 526.
- Cephalopoda, Bau der Muskelfasern

XXXIX, 291, Kern, Sarcolemm, Methode 292.

Cephalopoda, Bau der hinteren Speicheldrüse XXXIX, 596.

Cercaria Limnaeae trunculatae n. sp. in Limnaea trunculata XXXIX, 331.

Cercopithecus, Uterusmuskulatur XXXVIII, 79, Corpus uteri 80, Collum 81.

fuliginosus, Harder'sche Drüse,

XXXVI, 700.
Certhia, Spermatozoen XXXII, 422.
Cestoda XXXIX, 332.
Cestus, Epithel XL, 169, Drüsenzellen, interstitielles Gewebe, Körnchen, Fluorescenzzelle, Bedeutung 169, vacuolenhaltige Zellen, Epithel

an der Spitze der Tastpapillen 171.

—, zur Histologie XL, 184, Cilien der Ruderplättehen 185, Elemente der Gallerte, Muskulatur, Muskel-fasern unter dem Epithel 218, Beziehung zu Epithel und Ectoderm 219, mesodermale Muskelfasern, Bindegewebe, Bindegewebszelle 220, Bindegewebsfasern 221.

Chaetopoda XXXVIII, 21. Chalarothoraka XXXVIII, 16.

Chalicodoma muraria Falv., Entwickelung im Ei XXXV, 141, Bla-stoderm, Umwandlung zu Epithel 142, Urhöhle 143, Mitteldarmepithel, Anlage, Entodermkeim 144, Ectoderm, Anlage 145, Vorderende 147, Vorderkiefersegment 148, 154. Antennen, Anlage 148, 154, Schlundrohr, Oberlippe, Schlundnervensystem 148, Ganglienanlage, Rachenanlage, Stigmenanlage, Brustbein, Brustsegment 149, Tracheen 151, Speichel- oder Spinndrüse 152, Tentorium 153, Brustfüsse 154, Vorderdarm 155, Malpighi'sche Gefässe,

Enddarm 156, Mitteldarm, Ent-wickelung 157, Eihüllen 159. Chamaeleon, Harder'sche Drüsen XXXVI, 194, Epithel der Acini.

Chelidon urbica, Spermatozoen XXXII, 422, Bewegung 452.

Chelidura acanthopygia Géné, Stinkdrüse XXXVI, 571, 576. — allipermis Meg., Stinkdrüse

XXXVI, 571, 576. Chelonia midas, Harder'sche Drü-

sen XXXVI, 196.

genitalsystems XXXVI, 410, Vorniere und Urniere, Glomus, Bildung

Glomerulus, Drüsenschläuche des 437, Peritonealtrichter 438, bleibende Niere 450, Beziehung zur Urniere, Ureter 451, Müller'scher Gang, Anlage 458.

Chelonii, Entwickelung des Urogeni-

talsystems XXXVI, 410.

Zellenstränge der subgerminalen Hülle des Dotterorgans XL, 62. Chiasma nervi optici bei Bytho-

trephes longimanus XXXVIII, 122. Chimpanse - Simia troglodytes.

Chironomus leniopagon Meig. als Wirth für Mermis crassa XXXIX,

plumosus als Wirth für Mermis crassa XXXVII, 244; XXXIX, 328. Choanoflagellatae XXXVIII, 18. Chondrolyse, BedeutungXXXII,354. Chorda von Torpedo ocellata, Anlage

XXXIX, 67, 69.

, dorsalis von Petromyzon Planeri XXXV, 485, 487, Chordazellen 487. und Knorpelstab, Regeneration XXXVII, 430, Verhalten zwischen Epithel und Chordazelle, Verhalten der Chordascheide, des Epithels 431, Beziehung zu Knor-pelstab 435, Regeneration bei Triton cristatus-Larven 937, Verhalten der Chordazellen bei Triton taeniatus 438, hyaline Umwandlung der Chordazellen 442.

Chordacanal XXXIX, 462.

Chordascheide, Verhalten bei Re-generation der Chorda dorsalis XXXVII, 431.

Chorion der Katzen, Verhalten der Zotten bei Entwickelung der Placenta XXXVII, 359, bei der I. Anlage der Placenta 366, Epithelzellen mit Blutkörperchen 365, 366, 369, Blut zwischen Schleimhaut und Chorion 368.

Chorionzotten beim Hund, Auftreten und Verhalten zur Üterinschleimhaut XXXIII, 427, zu Uterindrüsen 428, Veränderung u. Wachs-thum 435, Epithel, Verhalten zu Sinus laterales 433.

— bei Katzen, Verhalten bei Ent-wickelung der Placenta XXXVII, 359 bei der I. Anlage der Placenta

361, 366.

der weissen Ratte XXXVII, 346. Chromatin des Kernes der Spermatiden von Salamandra maculosa, Verhalten XXXI, 81.

- des Kernes der Membrana Desce-

metii bei Entzündung, Verhalten bei Theilung XXXI, 445.

Chromatin des Kernes der rothen Blutzellen bei Salamandra XXXII,

des Eies von Aulostomum gulo

XXXIII, 209, Veränderung.

— Verhalten bei der Theilung der Samenmutterzelle, in den Vorstabei Ascaris megalocephala univalens XXXVI, 23 und bivalens 30, bei der II. Theilung 43.

— Verhalten bei Befruchtung der

Nematoden im Ei- und Samenkern

XXXVI, 103.

des Keimbläschens, Verhalten bei Follikelatresie XXXVII, 205.

der ringförmigen Kerne lymphatischen Randschicht der Salamandrinenleber, Verhalten bei Theilung XXXVII, 387. — der fixen Zellen der Blutzellen-

bildenden Organe XXXVIII, 540.

- der Ursamenzelle von Gryllotalpa vulg. Latr., Verhalten bei

Theilung XL, 107.

- der sympathischen Ganglienzellen, Bau XL, 375, Methode und Material, beim Hund, Form der Chromatinkörner 378, beim Kaninchen, Pferd, Gehalt an Pigmentkörnern, beim Menschen nach der Entwickelung 380, Gehalt an gelbem Pigment 381, Zerfall mit dem Alter 384, Veränderung bei Ruhe oder Reizung 388.
- Chromatolyse im Pancreas XXXIII,
- bei Follikelatresie XXXVII, 216. Chromosomen, Bedeutung XXXII, 17, 27.

, IndividualitätshypotheseXXXVI, 104.

- in den Gewebszellen des Salamanders, Längsspaltung XXXVII, 722.

der Samenmutterzelle von Gryllotalpa vulg. Latr., Verhalten bei Theilung XL, 110.

bei Furchung des Eies von Aequorea Forskalea, Zahlenverhält-

niss XL, 258. Ciliata XXXVIII, 19.

Cilien des Geruchsorgans von Neun-

augen XXXVIII, 6. der Ruderplättchen bei Callia-

nira und Cestus XL, 184. -, sichelförmige am Mundrand des Magens von Beroe, Verhalten zum Epithel XL, 165.

Circe minima, Blut XXXVII, 82.

Circulation des Schwellkörpers der Nasenschleimhaut des Menschen XXXIV, 205.

Cirrus bei Distomum cylindraceum

Zed. XXXVI, 181.

bei Phylline Hendorffii XXXIII, 171.

Cladocera, centrales Nervensystem XXXVIII, 100.

Clathrulina elegans XXXVIII, 17.

Clepsidine Blattarum, Conjuga-tion und Sporenbildung XXXVII, 115, Cuticula 116, Kern und Kernkörperchen 117, geflammter Kern, Bedeutung 118, Sporen 121, Epithelzellen 122

Cloake der Selachier, Beziehung zum Pronephrosgang XXXIII, 486 beim Menschen, Epithel XXXIV,

, Beziehung zur Entwickelung der Urniere des Menschen XXXVI, 153.

beim Menschen, Veränderungen des vordern Theiles LX, 268, des mittleren und hinteren Theiles 273, Beziehung des Epithels zur Dammbildung 279.

Cloeon dipterum L. als Wirth für Gordius tolosanus Duj. XXXIX, 329. Clupea harengus, Spermatozoen,

Kopf XXXVI, 248.

Cnidocil von Hydra fusca XXXV,334. Cobitis barbatula, Fettzellen eigenthümlicher Form XXXII, 182, Beziehung zu Bindegewebszellen 182.

als Wirth für Echinorrhynchus Proteus XXXIX, 331.

Coelajenyx paca, papilla vallata XL, 11.

Coelomtheorie XXXIX, 459.

Coleoptera, quergestreifte Muskelfasern, Scheibenzerfall XXXVII, 663.

Colloidkugeln der Eileiterdrüse der Amphibien XXXIV, 124.

Collum Uteri beim Affen XXXVIII,

Colon, Anlage XL, 457.

Coluber, Spermatozoen, Geissel XXXVI, 276.

Columba, Nervus hypoglossus, Commissur, Fasern in der Medulla oblongata XXXI, 62.

Spermatozoen XXXII, 446, Kopf

449.

Kropf XXXIV, 235, Litteratur 236, Drüse, Methode 238, zusammengesetzte, schlauchförmige Drüse, Epithelzelle 239, Ausführungsgang, Topographie 240, Bedeutung 241, Kropfmilch, Bedeutung 246.

Columba, Zelle XXXVIII, 514. der Nebenniere

-, Spaltsystem im Knochenmark XXXVIII, 568.

Columbinae, Spermatozoen XXXII, 439.

Commissura mollis des Gehirns beim Menschen, Anlage XXXVII,

Commissur, hintere des Rückenmarks, Beziehung zu den Vorder-hörnern XXXIV, 172, bei Katzen 173, Kaninchen, Meerschweinchen 174, Maus 175, 184.

des Rückenmarks bei Tropidonotus natrix XXXVIII, 165.

- vordere des Rückenmarks bei der Maus XXXIII, 96.

– ---- des Rückenmarks, Beziehung zu Vorderhörnern XXXIV, 171.

des Grosshirns bei Edentaten XXXV, 165.

des Rückenmarks bei An-

guis fragilis XXXVIII, 160. Commissurfasern der Kerne des

Nervus hypoglossus bei Kalb XXXI, 60, Katze, Taube, Ente 62, 63, Mensch 63.

Concrescenztheorie XXXIX, 432 bei Amphioxus und Amphibien 437, bei meroblastischen Eiern 442.

Conjugation u. Sporenbildung der Gregarinen XXXVII, 99.

bei Anguis fragilis zwischen Spermakern und weiblichem Vorkern XXXIX, 224.

bei Tropidonotus natrix XXXIX,

255, 259.

Conjunctiva des Menschen, Nervenendkörperchen XXXVII, 602, Gestalt, Grösse, Lage 605, Bau, Bindegewebskapsel 606, Innenkolben, Nervenendigung 607 in Endplättchen 613.

Conus arteriosus des Herzens beim Kaninchen XXXIII, 339.

Copepoda, heterotypische Theilung XXXIX, 575, Theilung der A-zelle 576.

-, Ovogenese XXXIX, 576.

-, Reductionstheilung XL, 113, 117. Copulation bei Ascaris marginata XXXII, 674.

bei Gordius tolosanus XXXVII, 243.

Coracias garrula, Farbe der Federn, Blaurackentypus XXXV, 78. Corbula gibba, Blut XXXVII, 79. Corium der Haut bei Kröte und Salamander XXXIV, 28.

der Haut bei Petromyzon fluvia-

tilis XXXIV, 109.

der Haut, Verhalten der Papillen bei der Verhornung XXXIX, 593.

Cornea, über Kern- und Zelltheilungsvorgänge in dem Endothel der enztündeten - XXXI, 426, atypische Kerntheilung, Litteratur 429, Object, Methode 435, Membrana Descemetii 441, Veränderung des Kernes 444, Chromatingerüst 445, Phasen der Theilung, Knäuelstadium 450, Mutterstern 451, Umordnung, Toch-terstern 452, Tochterknäuel 453, atypische Kerntheilung 456, mehrfache 458, indirekte Fragmentirung

, über die Lymphbahnen XXXII, 593, Litteratur, Material, Methode 595 bei Mensch, Schwein, Kaninchen, Rind 596, Beziehung zu intracel-lullären Lücken und Epithelzelle 600.

Regeneration des Endothels XXXIII, 153, Litteratur, Methode 155 bei Fröschen, Membrana Descemetii, Verhalten von Zelle u. Kern 159 Beziehung zur indirecten Kerntheilung 161.

des Menschen, Nervenendkörperchen XXXVII, 602, Gestalt, Grösse, Lagerung 605, Bau, Bindegewebskapsel 606, Innenkolben, Nervenendigung 607 in Endplättchen 613.

Corona glandis, Bau der Oberhaut XXXVII, 166.

Corpus cavernosum, Beziehung zu Bartholin'schen Drüsen beim Menschen XXXIX, 42.

- Uteri beim Affen XXXVIII, 80. Corvus, Spermatozoen XXXII, 429, Kopf 438.

- frugilegus, Spermatozoen XXXII, 430, fibrilläre Structur.

Corydia, Stinkdrüse XXXVI, 577. Cotinga cayana Geoffr., Farbe der Federn, Beziehung der Schleimzelle zur Blaufärbung XXXV, 72, Eisvogeltypus 78.

Cottus gobio als Wirth für Tri-

chodina sp. XXXIII, 402.

als Wirth für Echinorrhynchus Proteus XXXIX, 331.

Craniota, Excretionsvorgang, gleich mit den Selachiern XXXIII,

501, Pronephros und Gang 501, Urgeschichte des Excretionsorgans 506. Cricetus, Papilla vallata XL, 11.

fumarius, zur Entwickelung der Zähne XXXIX, 848, Rudimentärzähnchen.

Crocodilus, Entwickelung des Urogenitalapparates XXXVI, 410.

— biporcatus, Entwickelung des

Urogenitalapparates XXXVI, 410, Vorniere 411 und Urniere 416, 421, Gefässknäuel des glomus 421, Anlage 423, Veränderungen 430, Umbildung zu Glomerus 432, Rück-bildung 436, Peritonealtrichter, Anlage 421, 426, II. Ordnung 430, Drüsenepithel 424, Epithel des Vor-nierenganges 425, bleibende Niere 442, 445, Nierengang, Anlage, Ureter 445, Harnblase 449, Ostium abdominale tubae 556, Müller'scher Gang 456.

Crustacea, Vergleich mit den Muskeln des Seepferdchens XXXII, 241. -, Reductionstheilung XL, 119.

Crypten der Regio olfactoria beim Menschen 39, 647, Flimmerepithel. - Lieberkühn'sche im Dünn-darmepithel XXXI, 173, Epithel bei Maus, Vergleich mit Zottenepithel 173, Körnchenzelle 177, Einfluss von Reagentien 178, Bedeutung der Körnchen 180, Kern 181, Ursprung und Schicksal 182, beim Menschen

184.Ctenophora, zur Histologie XL, 157, Epithel 160, 178, Drüsenzellen, verschiedene Stadien 179, Ruderplätt-chen, Cilien 184, Verbindung unter einander durch Flimmerstreifen. Basalpolsterzelle, Verbindungsfasern 185, Bedeutung 187, Tentakel 188, Basis 189 Verbindungs Verbindungs Basis 189, Veränderung, Nebententakel 196, Bildung, Axenstrang, Muskelfasern, Auftreten 190 und Wachsthum 191, Mittelstreifen 189, Muskelanlage 193, Seitenstreifen, Epithel, Drüsenzelle 194, Mittelfasern der Tentakel, Perimysium, Axenstrang 195, Tentakelepithel 197 und Greifzelle der interstitiellen Gewebe, Spiralfaden 198 und Centralfaden, gegenseitige Beziehung 199, Veränderung der Drüsenzellen 200 und der Nebententakel, Kern. Bildung des Spiralfaden 201, Greifzelle, Bedeutung 202, Elemente der Gallerte 203, Muskulatur, Muskel-fasern mit Sarcolemm 207, Verbindungen 208, Radiärmuskeln 209, Beziehung zum Magen 210, glatte Muskelfasern unter dem Epithel, Entwickelung der Muskulatur 211 und Wachsthum, Muskelzelle, erste Entstehung und Beziehung zu den Bindegewebskörperchen 212 und den embryonalen Mesodermzellen 213, Bildung der Radiärfasern 214, ty-pische Bindegewebszelle, Bindegewebe in der Gegend des Sinnespoles 215, Bindegewebsfasern (Stützfasern) unter dem Sinneskörper der Ruderplättchen 216, Muskelfasern unter dem Epithel 218, Beziehung zu Epithel, zu Ectoderm 219, mesodermale Muskelfaser 220, Nervensystem 224, ectodermaler Nervenplexus 225; zur Phylogenie und Systematik 231.

Cuculus canorus, Spermatozoen, XXXII, 440, Axenfaden 443, Kopf 449, Spitzenstück 455.

Cuticula bei Bilharzia haematobia XXXI, 207, 219 mit Stachel.

 der Bluträume von Argulus foliaceus XXXIII, 27.

bei Clepsidine Blattarum XXXVII, 116.

der Epithelzelle der Haut von Petromyzon fluviatilis XXXIV, 110. - des Haares nach Epilation XXXVI, 543.

von Hydra fusca XXXV, 328. — von Leidyonella cordubensis XXXVIII, 307, mit Stäbchen 308. von Lumbricus, Beziehung zu Schleimzellen der Epidermis XXXIX, 108.

- von Mermis crassa XXXIV, 393. von Phylline Hendorffii XXXIII, 164.

der Samenblase von Bilharzia haematobia XXXI, 220.

- des Seitenmagens von Argulus

foliaceus XXXIII, 20. — der Sehzelle des Fächerauges von Arca Noae XXXIII, 382.

Cutis von Kröte und Salamander, oberer Saum XXXIV, 27, lockeres Bindegewebe 27, Pigment, Vertheilung, tiefe Lagen 28.

von Gordius tolosanus Duj. XXXIV, 253.

Regeneration bei Rana esculenta XXXVII, 446, Cutislamelle 447, 448. Cutislamelle bei Regeneration der Cutis von Rana esculenta XXXVII,

447, 448.

Cyclas cornea, Blut XXXVII, 82. Cyclops, Kerntheilungsvorgänge bei der Mesoderm- und Entodermbildung XXXIX, 556, Urmesodermzelle, I. Theilung 557, Stammzelle 559, II. heterotypische Theilung der A-zelle 561, Reductionstheilung 564, Genitalzelle, Urgenitalzelle, normale Mitose der B-zelle, primäre Urmesodermzelle 565, sekundäre 567, Gastrulationsprozess, Beginn 566, Mesodermstreifen, Bedeutung 569, Beziehung der Polzelle 570, Entodermbildung 569, II. Richtungskörper, Schicksal 573, Beziehung zur A-zelle 574.

— signatus, Ovogenese XXXIX,

576.

Cyprinoidea, linsenförmiger Gefässkörper im Auge XL, 418, Vorkommen 419, Topographie 420, Gefässverlauf 420, Verhalten der Capillaren der Arteria hyaloidea 424, Sammelgefäss 425, Vergleich mit dem Verhalten in der Chorioidealdrüse 426. Wundernetzbildung 420, 430, venöser Theil des Gefässkörperchens 429, Bedeutung 432.

Cyprinus carpio, Spermatozoen,

Kopf XXXVI, 244.

— , linsenförmiger Gefässkörper im Auge, Gefässverlauf XL, 420.

Cysten des Hodens von Salamandra maculosa, Anordnung der Spermatiden XXXI, 86.

- vielkernige bei Spermatogenese der Säuger, Bedeutung XXXI, 248.

Cystenwand der Spermatiden von Salamandra maculosa XXXI, 87.

Cysticus in Gammarus pulex XXXIX, 336.

— la certa in Lacerta agilis XXXIX, 342.

— taeniae acanthorrhynchae Wedl in Agrion puella XXXIX, 341.

— bifurcae Hamanni XXXIX, 340.

Hamanni Mrazek
XXXIX, 339.

— integrae Hamanni XXXIX, 338.

pachyacanthea XXXIX,

--- sinuosae Zed. XXXIX,

Cytherea chione, Blut XXXVII, 81.

— rudis, Blut XXXVII, 81.

Dactylosphaera XXXVIII, 9. Dacypus novemcinctus Aut., Schmelzorgan, Ausbildung im Embryo und Persistenz seines Keimrandes beim erwachsenen Thier XL, 133.

— peba Dsm. — D. novemcinctus. — setosus Wild — D. sexcinc-

tus L.

— sexcinctus L., Schmelzorgan, Ausbildung im Embryo und Persistenz seines Keimrandes beim erwachsenen Thier XL, 133, 137.

Damm, zur Entwickelung beim Menschen XL, 264, Beziehung des Epithels der Cloake zum — 279.

Daphnia sima, centrales Nervensystem XXXVIII, 114, Sehganglion 114, unpaares Auge, Riechnerv 115, Schlundnervenkommissur, Entwickelung, Bauchmark, Nerven 216.

Daphnidae, Paracopulationszelle, Vergleich mit dem Metanucleolus bei Aequorea Forskalea XL, 256.

Darm, über Lymphknötchen XXXIII, 255, Geschichte, Kritik 269, Epithel 258, Zelle, Kern, Entwickelung 259 bei Vogel, Katze, Kaninchen, Antheil der Leucocyten 260, Rückbildung bei Erwachsenen, Durchwanderung 263, Verhalten der Leucocyten 264 und der Epithelzelle 265 im Blinddarm des Kaninchens, Leucocyten in Epithelzellen 266.

—, Nervenendigung XL, 390, in Muskulatur und Schleimhaut.

—, Entwickelungsgeschichte, hemmender Einfluss der Entwickelung der Blutgefässe beim Menschen XL, 440, Amphibien 441, fördernder Einfluss 447, Factoren der Verlagerung 469.

- von Argulus foliaceus XXXIII,

25, Zellen.

— von Ascaris mystax, Epithel XXXI, 293, Methode, Zelle, Membrana propria 295, Fortsätze 296, Kern 297 mit Kernkörperchen, Karyosomen 298.

von Bilharzia haematobia Cobbold XXXI, 201, Epithel 209.

— von Distomum cylindraceum Zed. XXXVI, 175.

— der Katze, Zellbrücken, glatte Muskelfaser XXXVIII, 43. Darm von Phylline Hendorffii | XXXIII, 167.

von Stercutus niveus n. sp. XXXI,

486.

Darmkanal, Mucingehalt der Becherzelle XXXVI, 334, Bildung 340. von Torpedo ocellata, Anlage

XXXIX, 68, 80.

Darmgekröse, hemmender Einfluss der Blutgefässe auf die Entwickelung beim Menschen XL, 440, Amphibien 441, fördernder Einfluss 447, Factoren der Verlagerung 469.

Darmwand, Nerven der Muskulatur und Schleimhaut XL, 390, Litteratur, Anastomose zwischen Auerbach's und Meissner's Plexus, Verbindung zwischen Muskel und Nervenfaser 369, Nerven, Verhalten in der Schleimhaut 399, Auerbach's und Meissner's Plexus, Verhalten 399, Nerven der Zellen 403, Beziehung zu Epithelzellen 404.

Decidua, Entstehung XXXV, 47. Degeneration peripherer Nerven XXXVI, 579, Litteratur, Methode 585, Veränderungen der Markscheide, des Axencylinders 590, Kernes 591.

Delle der Keimscheibe bei Anguis

fragilis XXXIX, 218.

der Keimscheibe von Tropidono-

tus natrix XXXIX, 231.

Dentin der Edentata am Schmelzorgan XL, 142, am Zahn des erwachsenen Thieres 150.

beim Menschen XXXVIII, 461. Dentinbildung der Edentaten, Beziehung zum Schmelzorgan XL, 155.

Deutoplasma des menschlichen Eies XXXI, 386, Ursprung 389, Aufnahme in das Ei 390, 405.

Diapedese der Blutkörperchen der Milz XXXVIII, 357.

Differenzierung, geschlechtliche und Befruchtung, über die Bedeu-tung XXXVI, 114.

Discus urogenitalis beim Men-

schen XXXIV, 275. Distomum cylindraceum Zed., über Bau und Entwickelung XXXVI, 173, Hautschicht 174, Muskel, Subcuticularschicht, Zelie, Parenchymmuskeln, Zelle 175, Drüsenzelle, Saugnapf 176, Schlundkopf, Speicheldrüse 177, Darm, Excretionsgefäss 178, Nervensystem, Geschlechtsorgan 179, Geschlechtsöffnungen, Hoden 180, vas deferens, Cirrusbeutel, Samenblase, Cirrus, Keimstock 181, Dotterstöcke, Schalendrüse, Eibildungsraum, Uterus 182, Vagina, Laurer'scher Kanal 183, Begattung 184, Befruchtung 185, Eibildung und Schalenbildung 187, Entwickelung im Embryo, Keimschlauch, Cercarien, Wirth Limnaea ovata, Larve in Ilybius fuliginosus 188.

Distomum echinatum Zed. in Pisidium fossarium Classen und Limnaea ovata XXXIX, 334.

endolobium Duj. in Limnophilus rhombicus XXXIX, 332.

pulicis in Gammarus pulex XXXIX, 333.

- Sialidis in Sialis lutaria XXXIX, 334.

Donax politus, Blut XXXVII, 81. - trunculus, Blut XXXVII, 81. Dotter des menschlichen Eies XXXI, 405.

Veränderungen bei Follikelatresie XXXVII, 306, Körnerbildung. - von Rana temporaria, Untheilbarkeit XXXIX, 358, Vacuolen.
— des Dotterorgans von Lacerta,

Dotterzelle XL, 75.

Dotterbildung in der Eizelle des Spulwurmes vom Hund XXXIV, 399.

Dotterelemente von Phylline Hendorffii XXXIII, 173.

Dotterento derm von Torpedo ocellata XXXIX, 59, 64, Beziehung zur Dotterzelle bei Amphibien 61.

Dotterhaut bei Tropidonotus natrix. Verhalten bei Befruchtung XXXIX,

Dotterkörnchen des Eies von Aulostomum gulo, Verhalten zu Centrosom XXXIII, 208.

Verhalten zu Neuroblasten des Rückenmarks der Tritonen XXXIV, 137.

des Dotterorgans von Lacerta, Verhalten zum Randwulst XL, 51.

Dottermasse bei Lacerta, innere und Dotterzelle XL, 80.

Dotterorgan der Wirbelthiere XL, 39, Dottersackentoblast, Ent-

wickelung bei Lacerta.

mit fort-I. Zweiblättriger Keim gehender Furchung 39, 1) subgerminaler Spalt 40, 2) Merocyten der Bodenschicht, 3) fortgehende Furchung der Bell fortgehende Furchung der Bell fortgehende für chung der Bodenschicht 42, Verhalten der Zellen 43, des Ectoderm 45.

II. Beginnende Gastrula 46, 1) Lecithoderm, proximaler Wulst, 2) Zwischenzone 49, 3) Randwulst 50, Verhalten der Zelle und der Dotterkörner, 4) Merocyten, protoplasmaarme 51 und 5) protoplasmareiche, 6) Protoplasma, peripherisches 52, 60, 7) oberflächliches 53, 60, 8) Rand-

saum 54.

III. Ausgebildete Gastrula 56, 1) Lecithoderm unter dem Kopf, 2) in der unteren Wand des Urdarmes, 3) Lecithodermwulst, proximaler 57, 4) Lecithoderm, Zwischenzone, 5) Randwulst 58, 6) Randsäume, 7) Merocyten in dem mittleren Theile der Bodenschicht 59, 8) im Rande 60.

IV. Umwachsung des Dotters fast vollendet 69, Zelle im Dotter, Bildung 71, Ursprung im Lecithoderm 73.

V. Dotterzelle in der oberflächlichen Schicht des Dotters, 1) streifig geronnene Massen im Boden der subgerminalen Höhle, 2) Mundepithel 74, 3) Polster des distalen Poles, 4) Dotter und Dotterzelle 75.

VI. Der perilecithale Spalt und seine Umgebung 76, runde, dotterfreie Zellen 77 mit Kern 78, glatte,

dotterfreie Zelle 77.

VII. Dotterzelle im ganzen Dotter 79, 1) Dottersackepithel und Wandschicht, a) am Dach der sub-germinalen Höhle, b) im Bereich des perilecithalen Spaltes, c) distalwärts.

2) die innere Dottermasse und Dotterzellen, a) proximale 80, b) äquatoriale, c) centrale, d) di-

stale 81.

3) der perilicethale Spalt, a) proximale, b) distale Dotterzelle 82, Herkunft 83, dotterfreie Zelle, Bedeutung, Herkunft 84 und Beziehung zu Merocyten 85.

Dottersack bei Lacerta, Epithel XL, 80 am Dach der subgerminalen Höhle, im Bereich des perilicethalen Spal-

tes, distal.

Dottersackentoblast der Wirbelthiere XL, 39.

Dotterstock bei Distomum cylindraceum Zed. XXXVI, 182.

- bei Phylline Hendorffii XXXIII, 172.

Dreyssena polymorpha, Blut XXXVII, 84.

Drüsen, acinöse von Cephalolophus

pygmaeus, Weibchen XXXI, 517. Zellen 518, Männchen 520.

Drüsen, Bartholin'sche, Entwickelungsgeschichte und feinere Anatomie beim Menschen XXXIX, 33, erste Anlage 36, Zelle 37, Anlage der Drüsenendkammer 38, Epithel, Schleimzelle 39, Beziehung zu corpus cavernosum vestibuli und musculus bulbo-cavernosus 42.

beim Menschen, Anlage

XL, 284.

- Bowmann'sche der Regio olfactoria XXXVII, 645, Pigmentirung 648.

Carotis-, zur Histologie XL, 287, Vorkommen bei Lutra vulg. 290, Phocaena commun., Vana 291, Topographie und makroskopische Anatomie, Lage und Form 294, bei Mensch, Säuger, Kalb, Schaf, Katze, Kaninchen Pferd, Phocaena c., Lutra vulg. 295, Histologie beim Menschen 296, Kapsel 298, Blutgefässe und Nerven 299, 301, Capillarnetz 299, interstitielles Bindegewebe 298, Zunahme, Gefässumbildung 301, Drüsengewebe 302, Zellballen mit Zellen, Anordnung, Verhalten zu Capillaren 303, Bau der Zellen 306, reticulirtes Zwischengewebe 308, Beziehung zu Zellen 309, 313, Protoplasma, Kern 309, 313, Protoplasma, Kern 312, Zellgrenzen 313, bei Katzen 314.

-von Cephalolophus pygmaeus, Beziehung zu Hautsecreten XXXI, 511 bei Weibchen, Männchen 518. — Cervical- beim Menschen, I. An-

lage XXXVII, 649.

- Chorioideal-, Vergleich mit dem linsenförmigen Gefässkörper im Auge

der Cyprinoiden XL, 426.

Colon-des Kaninchens, Beziehung des Epithels zum Epithel der Schleimhaut XXXIII, 233, Oberflächenepithel 234, Becherzelle, Epithelzelle 235, Mitose 236, Schleim-(chromatophile) und helle Zellen 237, 240, Beziehungen, Umwandlung 237, Beziehung zur Mastdarmdrüse 238.

Cowper'sche beim Menschen, Entwickelung und Anatomie XXXIX, 46, I. Anlage 47, Umwandlung der Epithelzelle zur Schleimzelle, Gianucci'sche Halbmonde 48, Ausfüh-

rungsgang 51.

der Cuticula bei Phylline Hen-

dorffii XXXIII, 166.

- Duodenal-, beim Hund XL, 338,

Protoplasmazelle 339, Schleimzelle mit dem Kern 341, Mitose der Drüsenzelle 343; — bei Maus 345, Protoplasmazelle, Kern, Protoplasma 348, Schleimzelle 349, Verhalten des Schleimes 350, Paneth'sche Zelle, Beziehung zur Schleimzelle 351.

Drüsen der Eileiter der Amphibien XXXIV, 123, Secretion 127, Drüsenzelle, Colloidkugeln, Oeffnung 124, Flimmerzelle, Becherzelle 126, Auswandern rother Blutkörperchen 129.

- Eiweiss-, der Oberkieferhöhle XXXII, 227.

- der Papilla vallata XL, 15. - des Enddarmes von Proteus

anguineus XXXIV, 545.

- des Geruchsorgans des Menschen mit Drüsenzelle bei Neugeborenen XXXVI, 390, Erwachsen 392.

vom Neunauge XXXVIII, 3, 11, becherförmige Zellen 11 mit Kern, Bedeutung 12.

- Gesichts-bei Cephalolophus pygmaeus, Pallas, Maxurelli, rufilatus, natalensis, niger, dorsalis, Ogilbyi, doria XXXI, 526, Grimmia ocularis 526, madagna, mergens, grimmia, Nanotragus spinigerus 527.

- Gift- der Kröten und Salamander XXXIV, 11, Vorkommen 12, Methode 13, Epidermis, Schleimschicht, Zelle 14, Fortsätze 15, Hornschicht, Zellen 16, Becherzellen 19, Kern, Bedeutung 22, Neubildung 24, Häutungsschicht 17, Cutis, oberer Saum, lockeres Bindegewebe 27, Pigment, Vertheilung, tiefe Lage (Corium, Lederhaut) 28, Hautdrüse 29, Schleimdrüse im Gegensatz zur Giftdrüse, Bau 30, 49, Ausführungsgang, Verhalten zur Oberhaut 49, Schleimzelle im Gegensatz zur Giftzelle 31, 50, Bedeutung 32, Bau der —, Ausführungsgang, Verhalten der Epidermis 34, Drüsen, contrac-tile Fasern 37 und Spindelzelle 38, Membrana propria, Faltung 39, Epithel 40, Zelle mit Kern 44, 47, Riesenzelle 47, Vermehrung durch indirecte Kerntheilung 45, Giftkörner, Bedeutung 46.
- grössere beim Menschen, Epithel der Ausführungsgänge XL, 484. grüne des Flusskrebses XXXI,

98, Kern, Gelbfärbung.

Hals- des Hundes, Pigmentzelle XXXIV, 221.

- Harder'sche, Beitrag zur Kennt-

niss XXXVI, 192, Litteratur, Bau bei Chamaeleon, Epithel der Acini 194, bei Testudo graeca, Vergleich mit Thränendrüsen 195, desgl. bei Chelonia midas, Bau bei Vögeln, bei Kaninchen 196, Ratte, Ochs, Vergleich mit Thränendrüsen 198, beim Schwein 197, Affe, Inuus cynomolgus 199 und Cercopithecus fuliginosus 200.

27

Drüsen, Haut-, von Halmaturus rufus

XXXI, 503.

von Argulus foliaceus XXXIII, 7.

— von Kröte und mander XXXIV, 29. Sala-

gehalt XXXVI, 354. Mucin-

Keim-, Anlage beim Menschen XXXIV, 274, Stroma 275.

- Krause'sche der Caruncula lacrimalis des Menschen XXXVI, 301, Acinus, Wandung, Epithelzelle 302, Cylinderepithel des Ausführungsganges, Vergleich mit Moll'schen Drüsen 303.

- Lieberkühn'sche, Verhalten zur Muscularis mucosae des Dünndarms

XXXI, 19.

Lymph-, zur Kenntniss XXXIV, 208 beim Hund, Litteratur, Reticulum 208, Methode 210, zellige Elemente 212, Zellen mit kleinem Protoplasma, mit grossem Proto-plasma 214, Körnchen- oder granulirte Zellen 215, Körnchen, Natur, Vergleich mit den eosinophilen Zellen 216, Leucocyten im Untergang 219,

Phagocyten 220.

des Magens vom Alligator XXXIV, 2, Epithelzelle 2, 7, Drüsenzelle 3, 7, Tunica propria 4, Kern 9. zur Kenntniss der Zellen XXXIV, 225, Einfluss der Ehrlich-Biondi'schen Flüssigkeit auf Belegzellen, auf Haupt-und Pyloruszellen226, Stäbchenzellen, Bedeutung 228, Nussbaum'scheZelle 229, Zelle des Fundus, Vacuolenbildung, Bedeutung 230.

von Proteus anguineus, im

Fundus XXXIV, 536.

Mesenterial-des Hundes, blutkörperchenhaltige Zelle XXXIV,222. - des Mitteldarmes von Proteus

anguineus XXXIV, 539. — von Carcinus maenas, nucleoläre Kernhalbirung XXXIX, 7, Fermentzelle, Kern und Secretblase, Verhalten 7, Zelle mit Doppelkern 9 und Kernkörperchen 10, fetthaltige Zelle mit Kern und Kernkörperchen

Drüsen des Mitteldarmes von Idotea tricuspidata, nucleoläre Kernhalbierung XXXIX, 22, Drüsenzelle mit Kern und Kernkörperchen 23.

der Amphipoden, nucleoläre Kernhalbierung, Drüsenzelle

mit Kern XXXIX, 25.

Moll'sche, Vergleich mit der Krause'schen Drüse der Caruncula lacrimalis des Menschen XXXVI.303. der Oberkieferhöhle XXXII, 999

- des Oesophagus von Proteus

anguineus XXXIV, 533.

- der Papilla vallata XL, 15, Verhalten der Ausführungsgänge bei Cavia cobaya, Hystrix 16.

Der Cavia codaya, Hystrix 16.

— Parotis-, Epithel des Ductus
Stenonianus, Cylinderzelle XL, 488.

— Rectum-, bei Kaninchen, Verhalten des Epithels zum Epithel
der Schleimhaut XXXIII, 217, Epithel der Oberfläche 217, Kern,
amöboide Zelle 218, Epithelzelle der Drüsen 219, Schleimzelle, helle Zeile 220, Veränderung 223, Umwandelung zu Faserzellen 224, Beziehung zur Schleimzelle 229, Einwirkung von Pilocarpin 230.

der Maus XL, 325, Protoplasmazelle, Protoplasma 326, Schleimzelle 327, Verhalten des Schleimes, Mitose der Drüsenzelle 328; -- des Hundes 329, Protoplasmazelle 331, Schleimzelle 332, Mitose der Drüsenzelle 333, der Schleimzelle, Zwillingszelle 334, Beziehung der Drüsenzelle zum Oberflächenepithel der Schleimhaut 337.

der Regio olfactoria des Menschen XXXIX, 644, Epithel des Ausführungsganges 645, Drüsen-

cpithelzelle 646.

Schalen - von Argulus foliaceus XXXIII, 31.

bei Distomum cylindraceum

Zed. XXXVI, 182. bei Phylline Hendorffii XXXIII, 172.

Schild - von Proteus anguineus

XXXIV, 529.

-, schlauchförmige des Magendarmkanals und die Beziehungen ihres Epithels zu dem Oberflächenepithel der Schleimhaut XXXIII, 216.

- - des Magendarmcanals und

die Beziehungen des Epithels zum Oberflächenepithel der Schleimhaut XL, 325.

Drüsen, Se XXXVI, 341. Schleim-, Mucingehalt

von Kröte und Salamander XXXIV, 30, 49, Bau und Vergleich mit Giftdrüsen, Ausführungsgang, Verhalten zur Oberhaut 49, Schleimzelle im Gegensatz zur Giftzelle 31, 50, Bedeutung 32.

des Pharynx, Mucingehalt

XXXVI. 347.

- Schleimspeichel-, Mucingehalt bei Hund und Katze XXXVI,

Septal- bei Pachydrilus sphagnetorum Vejdovsky var. glandu-

XXXI, 487.

- seröse, Mucingehalt XXXVI, 341.

- der Papilla foliata XL, 20. Sexual-beim Menschen, Anlage XXXIV, 279, weibliche 299, 305, Trennung der Geschlechter, männliche 309, 328.

beim Schwein, Anlage XXXIV, 317.

Speichel- von Chalicodoma muraria, Anlage XXXV, 152.

— von Distomum cylindraceum Zed. XXXVI, 177.

, Mucingehalt bei Meerschweinchen, Maus, Ratte, Mensch XXXVI, 344, Form des Secretes 346.

bei Cephalopoden, Bau der hinteren - XXXIX, 596, bei Eledone moschata und Octopus vulg. 598, Epithel des Drüsenschlauches, Zelle 599, Lumen 601, Eiweisszelle und Mucinzelle 602, Kern 603, ausführender Schlauch, Epithelzelle 605, tunica propria, intima, adventicia 607, muscularis, intertubuläres Bindegewebe, Hauptausführungsgang, intima, adventicia und muscularis 608, Epithelzelle 609.

beim Menschen, Epithel des Ausführungsganges XL, 485.

— Spinn-, von Chalicodoma muraria XXXV, 152.

Stink- der Forficuliden XXXVI, 565, bei Forficula auricularia 567, Epithel- und Drüsenzelle 568, 569, Wurzelblase 570, bei Chelidura acanthopygia Géné und allipernus Meg. 571, Röhrchen, Vergleich mit

der Drüse der Cnidarier mit Nesselzelle 573, Muskelfaser 574, dgl. bei Labidna riparia, Anisolebis mauritanica und maxima, Blattidae 576, Corydia, Phyllodromia Aphlebia, germanica 577.

Thränen-, Vergleich mit der Harder'schen Drüse bei Testudo graeca XXXVI, 195, Ochs 198.

tubulöse von Cephalolophus pygmaeus beim Weibchen XXXI, 515, Zelle 516, Männchen 520.

Typhon'sche beim Menschen,

Anlage XL, 272.

— Unterkiefer-, Mucingehalt bei Hund und Katze XXXVI, 342, Igel

-, Epithel des Ductus Whartonianus, Cylinderzelle XL, 487.

- Unterzungen-, Epithel des Ductus Bartholinianus, Cylinderzelle XL, 486.

- des Uterus der weissen Ratte, Verhalten zur Placenta XXXVII, 344.

- beim Hund XXXIII, 421, Veränderung durch Gravidität 424, 428, Beziehung zu Chorionzotten 428, Drüsenzelle, Beziehung zur Ernährung des Foetus 429, 434, Epithel 422.
- Zungen-, über von Anguis, Pseudopus und Lacerta XXXVIII, 177; — bei Anguis fragilis 181, Zungenpapille, Epithel, Plattenepithelzelle 192, 193, Becherzelle 184, Stomata 185, Flimmerzelle 184, Form 188, Gestalt, Kern 196, Inhalt 197, Verhalten nach Fütterung 199, Netzwerk, Bedeutung 202, 212, bei Pseudopus Pallasii 203, Zungenpapille 203, Becherzelle, Aenderung, Bau 204, Körnchen 205, Bedeutung, Secretbildung 209, Verhalten zum Netzwerk 212, interpapilläre Räume, Bedeutung 215, Litteratur 216, Be-cherzelle, Veränderung nach inten-siverer Secretion 224 unter Anwendung von Pilocarpin, Veränderungen des Kernes 226, Vacuolenbildung, Auftreten runder Zellen 229, Becherzelle, Zusammenfassung 247.
- des Zungengrundes XL, 22, Verhalten des Ausführungsganges bei Reptilien, Alligator, Pferd, Beziehung zur Papilla foliata und vallata 23, beim Iltis 26.
- -zusammengesetzt-schlauchförmige im Kropf der Taube

XXXIX, 238, Epithelzelle 239, Aus-

führungsgang 240.

Zwitter-, von Limax agrestis, Zelltheilung und Samenbildung XXXIII, 125, Methode 126, Nebenkern, Verhalten 127, Hauptstrahlen 130, Spermatogenese, Spermatide, Bildung 131, Spitzenknopf, Beziehung zum Nebenkern 132.

Drüsenwandkammern der Bartho-Drüsen des Menschen lin'schen

XXXIX, 38.

Drüsenfeld der Mammilla, Anlage XXXVII, 154.

Drüsengang der Schnauzenspitze von Proteus anguineus XXXIV, 526.

Drüsengewebe der Glandula carotis beim Menschen XL, 302.

Drüsenleiste der unbehaarten Haut, Bau XXXVII, 162.

Drüsenöffnungen der Schleimhaut der Papilla vallata des Pferdes XL,

Drüsenschläuche der Vorniere von Chelonia midas XXXVI, 437.

Ductus Bartholinianus, Epithel, Cylinderzelle XL, 486.

- choledochus, Epithel, Cylinderzelle XL, 491, 492.

Cuvieri beim Kaninchen XXXIII, 303, 317, zur Entwickelung.

duodenopancreaticus, lage XL, 465.

lienopancreaticus, Anlage XL, 464.

seminalis von Argulus foliaceus XXXIII, 35.

Stenonianus, Epithel, Cylinderzelle XL, 488.

Whartonianus, Epithel, Cylinderzelle XL, 487.

Wirsungianus, Epithel, Cylin-

derzelle XL, 493. D ii n n d a r m, Schleimhaut, Verbindung der glatten Muskulatur XXXI, 15, Litteratur 15, Methode 17, Muscularis mucosae 18, Verhalten zu Lieberkühn'schen Drüsen, zu Zotten, zu Epithel 19.

-, über die secernierenden Zellen des Epithels XXXI, 113, Objecte, Untersuchungsmethode 113, Metachromasie 114, Safranin, Becherzelle bei Maus 121 und Triton, Einfluss der Ernährung 122, Theka 123 mit Secret, Protoplasma und Kern 124, Vergleich mit Cylinderzelle 126, Inhalt der Theka 127, bei Maus

und Triton 128, Mensch, Hund 129, Gerüst 130, Uebergang aus Epithelzelle bei Maus und Triton 132, schmale Zelle, Bedeutung 133, Bourrellet 138, Streifung bei Triton und Maus 140, Protoplasma der Epithelzelle, Wanderzelle im Epithel 142 bei Maus und Triton, Epithel, Verbindung zu Stroma 144, Fehlen der Grenzmembran 145, Litteratur und Vergleich 146, Lieberkühn'sche Crypten, Litteratur, Epithel bei Maus, Vergleich mit Zottenepithel 173, Körnchenzelle 177, Einfluss von Reagentien 178, Bedeutung der Körnchen 180, Kern 181, Ursprung und Schicksal 182, beim Frosch 184.

Dytiscus marginalis, directe Kerntheilung in den Malpighi'schen Gefässen XXXIII, 145, Zellen, Nucleolus 146.

Echidna, zur Entwickelung des Herzens, Valvula foraminis ovalis XXXIII, 360.

Echinorrhynchus polymorphus Bremer in Gammarus pulex XXXIX, 330.

— Proteus in Phoxinus laevis, Gobio fluviatilis, Cottus gobio, Cobitis barbatula, Gasterosteus aculeatus XXXIX, 331.

Ectoderm, foetales, beim Hund, Verhalten zur Uterinschleimhaut XXXIII, 425.

— der Selachier, Beziehung zum Pronephrosgang XXXIII, 485 bei Scyllium catulus und canicula, Raja 485.

von Chalicodoma muraria, Anlage XXXV, 145.

 von Hydra fusca XXXV, 325.
 vom Menschen, Verhalten zum Urnierengang XXXVI, 155.

—, Verhalten zu den Zellen der Bodenschicht des Dotterorgans der Wirbelthiere XL, 45.

bei Beroe, Beziehung zu Muskelfasern XL, 219. Ectoderm, gastrales bei Torpedo ocellata XXXIX, 59.

Edentata, Gehirn XXXV, 165, Grosshirnrinde, Commissur 165, Aquaeductus Sylvii 170, Ependym 171.

—, Schmelzorgan, Ausbildung im Embryo und die Persistenz seines Keimrandes beim erwachsenen Thier XL, 133, Kieferanlage, Zahnrinne, Zahnanlage 138, Zahnpapille, Epithel 139, inneres Schmelzepithel, Stratum intermedium 140, äusseres Schmelzepithel, Rückbildung des Schmelzorgans 141, Dentin 142, Keimrand des Schmelzorgans 144, 153, Veränderung des Schmelzepithels 143, Zahn des erwachsenen Thieres 149, Secret, Dentin 150, Persistenz des Keimrandes durch Epithelring, Zelle, Verhalten zur Pulpazelle 153, Beziehung der Dentinbildung zum Schmelzorgan 155. Egelschnecke — Limax.

Ei, Veränderungen bei Follikelatresie XXXVII, 206, bei vorhandenem Richtungskörper 208, hyaline De-

generation 213.

von Aequorea Forskalea, Furchung XL, 243, Eiablage und I. Entwickelungsvorgänge 245, gleichzeitiger Verlauf der Kerntheilung und gleiche Grösse der Blastomeren 248, Veränderung der Eiform bei pathologischen Kerntheilungsformen 249, Metanucleolus 251, Vergleich mit der Paracopulationszelle der Daphniden 256, I. Richtungskörper, Abschnürung 252, Chromosomen, Zahlengesetz der — nach Zweier-, Dreierund Combinationssystem 258.

— von Ascaris marginata, Reifung und Befruchtung XXXII, 671, Methode 971, Eizelle, Entwickelung 672, Veränderung des Keimbläschens 673 und dessen Kern 675, Copulation 674, Richtungskörper, Ausstossung 675, Aequatorialplatte, Beziehung zum Eiprotoplasma 678, Pronucleus, Bildung, Zahl und Form 679.

Bildung, Zahl und Form 679.

— und Eibildung von Ascaris megalocephala, Bau XXXVI, 51.

- von Asteracanthium, Partheno-

genese XXXVI, 113.

von Aulostomum gulo, erste Richtungsspindel XXXIII, 204, Bau, Keimstock, Keimbläschen 205, Centrosomen 206, Verhalten 207, Veränderung der Dotterkörnehen 208, Veränderung der chromatischen Substanz, der Membran und des Keimbläschens 209, Bau der ferti-

gen Richtungsspindel 212. Ei von Chalicodoma muraria Fabr. Entwickelung XXXV, 141, Blastoderm, Umwandelung zu Epithel 142, Urhöhle 143, Mitteldarmepithel, Anlage, Entodermkeim 144, Ectoderm, Anlage 145, Vorderende 147, Vorderkiefergegend 148, 154, Antennen, Anlage 148, 154, Schlundrohr, Oberlippe, Schlundnervensystem 148, Ganglienanlage, Kieferanlage, Stigmenanlage, Brustbein, Brustsegment 149, Tracheen 151, Speichel- oder Thrä-nendrüse 152, Tentorium 153, Brust-höhle 154, Vorderdarm 153, Mal-pighi'sche Gefässe, Enddarm 156, Mitteldarm 157, Eihüllen 159.

von Astacus fluviatilis im Hoden

XXXIX, 509.

von der Katze, Anlagerung im

Uterus XXXVII, 359.

des Menschen XXXI, 342, Litteratur 343, Material und Methode 355, Primordialei 359, Keimbläschen, Protoplasma 361, Kerngerüst, Kernkörperchen 362, Primärfollikel 364, Entstehung 368, Wachsthum 376, Liquorbildung 382, Membrana propria 384, Nährzelle 378, Follikelepithel 364, Entstehung 269, Primordialei, Entstehung 366, Vermehrung 372, Wachsthum 376, 384, Deutoplasma 386, Ursprung 389, Aufnahme in das Ei 390, Bau des fertigen - 396, Eiepithel 399, Zona pellucida 400, perivitelliner Spaltraum 403, Dotter, Deutoplasma 405, Keimbläschen, Kerngerüst 406, Veränderung im reifenden Ei 409, Keimstock, Bewegungen 407, Cilienzelle 409, Richtungskörper 410, Ovarien Neugeborener 412.

von Mermis ingrescens Duj. XL,

508.

- von Petromyzon Planeri, Reifung und Befruchtung XXXII, 613, Streifung, Litteratur 614, zur Zeit der Metamorphose, Eihaut mit Granulosazelle 623, 625, Keimbläschen mit Deckel 624, Protoplasma, Bildung, Befruchtung, Litteratur 626, Methode 634, Veränderung des Protoplasmas 635, 637, 642, 644, Bildung 653, Membranbildung 635, Richtungskörper, I. Bildung 636, Dotterheerd 637, III. Auftreten 638 und Vorkommen 642, 644, Spermakopf mit Strahlung 640, Umwandelung, Spermatomeriten 641, Ovomeriten 644, provisorischer Furchungskern, Deutung 645, Microsomen der Meriten 646, definitiver Furchungskern 647, Karyomerit 648, Deckel, Bedeutung 652.

von Petromyzon Planeri, Be-

fruchtung XXXII, 613, 626.

Plasma nach Befruchtung XXXV, 473.

von Phylline Hendorffii, Bau

XXXIII, 173.

von Rana temporaria, monströse Entwickelung mit theilweiser Untheilbarkeit des Dotters XXXIX,

358, Vacuolen im Dotter.

Reptilien, der Befruchtung XXXIX, 215, - bei Anguis fragilis 217, Keimscheibe, Bau 218, Dotter 219, Kernscheibe, Bau 216, Bötter 219, Kern 221, weiblicher Vorkern, Spermakern 223, Conjugation 224, Furchungskern, Nebenspermakern 226, Theilung 229, — bei Tropi-donotus natrix 230, Keimscheibe mit Dotter 231, Furchungskern, Bildung, Nebenspermakern 234, Protoplasma, Theilung 235, Gruben der Keimscheibe mit Kern 237, Kern mit Strahlung 239, Verhalten der Dotterhaut 245, — männlicher und weiblicher Vorkern, Spermakern, Bedeutung 250, Bildung aus Spermatozoenkopf 254, Conjugation, Furchungskern 255, 259, Nebenspermakern, Ursprung aus Spermatozoen 256, Grube der Keimscheibe, Ursprung 267, Polyspermie 271, Nebenspermakern, späteres Schicksal 274, bei Lacerta viridis, Keimscheibe 275, Litteratur 279.

-, meroblastisches, Concres-

cenztheorie XXXIX, 442.

Eiablage bei Aequorea Forskalea XL, 245.

Eibildung bei Ascaris megalocephala

XXXVI, 51.

bei Distomum cylindraceum Zed. XXXVI, 187.

bei Gordius tolosanus Duj. XXXIV, 265.

— bei Nematoden, Vergleich mit

Samenbildung XXXVI, 1, 58, Keimzone 58, Wachsthumszone 60, Theilzone 61.

Eibildungsraum bei Distomum cylindraceum Zed. XXXVI, 182.

Eichhörnchen — Sciurus. Eidechse - Lacerta et Saurii. Eiderente - Somateria mollissima. Eierstock von Argulus foliaceus, Hüllen XXXIII, 32, Matrixzelle, Ausführungsgang 33.

von Gordius tolosanus Dui.

XXXIV, 260.

beim Menschen, Anlage XXXIV,

330.

Eierstocksröhre bei Ascaris megalocephala XXXVI, 51, Ureier, Eimutterzelle, Rhachis, Keimzone, Inhalt 52, Zwischenkörperchen bei Univalens 53, Wachsthumszone, Inhalt 55.

bei Petromyzon Planeri Eihaut XXXII, 632, mit Granulosazellen

623, 625 Veränderung.

der weissen Ratte XXXVII, 347. Eihülle bei Chalicodoma muraria

XXXV, 159. Eikern der Nematoden, Verhalten zum Samenkern bei Befruchtung XXXVI, 100.

Eileiter, Mucingehalt bei Frosch und Kröte. XXXVI, 351, Drüsen-

zelle 352.

der Amphibien, Drüsen XXXIV, 123, Secretion 127, Drüsenzelle, Colloidkügelchen, Oeffnung 125, Flimmerzelle, Becherzelle 126, Auswandern rother Blutkörperchen 129. -bei Ascaris megalocephala XXXVI,

56.

bei Gordius tolosanus Duj.XXXIV, 265.

Eintagsfliege — Ephemera.

Eisvogel ----- Alcedo.

Eledone moschata, Rindensubstanz der Muskelfasern.

Bau der hinteren Speichel-

drüse XXXIX, 596. Elemente nervöse, der Retina des

Menschen XXXVIII, 317. — sexuelle, des Spulwurmes vom Hund XXXIV, 396.

Emberiza citrinella, Spermato-

zoen XXXII, 424, Geissel 426, Bewegung 452.

Embryonalschild bei Petromyzon Planeri XXXV, 480.

- bei Torpedo ocellata XXXIX, 63. Emys caspica, Nervensystem des Herzens, Verlauf der Nerven XXXVI, 499, Vertheilung der Nervenzellen

Enchyträiden-Fauna, zur Kennt-niss der deutschen — XXXI, 483.

Enddarm von Argulus foliaceus XXXIII, 25.

Enddarm von Chalicodoma muraria, Anlage XXXV, 156.

- von Enternus inquilinus, Wohnort für Leidyonella cordubensis n.

g. n. sp. XXXVIII, 301. — von Petromyzon Planeri mit

Dotterzelle XXXV, 483.

von Proteus anguineus, Drüsen XXXIV, 545.

Endocardium racemosum L., histologische Elemente XXXV, 366.

Endigungen arterielle, der Milz, Beziehung zum Keimlager XXXVIII. 373, Uebergang in Pulpa 374.

Endkolben Krause'scher, in der männlichen Harnröhre XXXI, 29.

- in Cornea und Conjunctiva des Menschen XXXVII, 602.

Endothel der Capillarscheiden der Leber der Säuger XXXVI, 211.

der Capillarscheiden der Milz XXXVIII, 405.

— der Hornhaut bei Entzündung, über Kern- und Zelltheilungsvorgänge XXXI, 426.

153, Litteratur, Methode 155, bei Fröschen, Membrana Descemetii 159. — der Kapsel der Spinalganglien-zelle beim Pferd XXXI, 227.

- der Venen der Milz XXXVIII, 363.

Engmaul - Angiostomum.

Ente - Anas.

Enternus inquilinus als Wirth für Leidyonella cordubensis XXXVIII,

Entoderm, Beziehung zur Blutbildung XXXVI, 516, bei Torpidonotus natrix 517, Entodermzellen 518 mit Kern, bei Lacerta agilis 523, Entodermzelle 524.

von Anguis fragilis, Verbindung
mit Mesoderm XXXVI, 610.
von Hydra fusca XXXV, 351,

Epithelzellen, Muskelzellen Drüsenzelle 354, Sinneszelle 356, Nährzellen mit Nesselkapsel 387, subepitheliale Zelle, Ganglienzelle 358, indifferente Zelle, Stützlamelle 359.

Entodermbildung bei Cyclops, Kerntheilungsvorgänge XXXIX, 556,

Entodermkeim von Chalicodoma muraria XXXV, 144.

Entodermstrang des Schwanzes XXXIX, 457.

bei Entodermtasche, vordere Petromyzon Planeri XXXV, 497.

Entoplasma mit Vacuolen bei Trichodina sp. XXXIII, 405.

Ependym des Aquaeductus Sylvii der

Edentata XXXV, 171.

Ephemera vulgata als Wirth für Filaria Ephemeridarum XXXIX, 326.

- Epidermis, zur Anatomie und Physiologie XXXVII, 159, unbehaarte Haut, Drüsenleiste, Falten, Functionsfalten; der Lippe 162, Pars glabra 163, Pars villosa; der äusseren Geschlechtsorgane 164, Scrotum, Penis, Praeputium 165, Corona glandis, Geschlechtsorgan beim Weib 166; behaarte Haut 167, Hals, Brust, Bauch, Rücken 168, Extremitäten, Handrücken, Fussrücken 169, Finger, Kopfhaut 171, Gesicht 171, Augenlider, Nase 172; Spalt-barkeitsrichtung, Oberhautfelderung
- -, Einwirkung von Aethylalkohol XXXIX, 345.

eines Epithelioms, Protoplasma-

- faserung XXXIX, 145.

 bei Kröten und Salamandern XXXIV, 14, Schleimschicht, Zelle 14 mit Fortsätzen 15, Hornschicht, Zelle 16, Becherzelle 19, Kern, Be-deutung 22 und Neubildung 24, Häutungsschicht 17, Beziehung zum Ausführungsgang der Schleimdrüsen 49, Verhalten zum Ausführungsgang der Giftdrüsen 34.
- von Lumbricus, Zelle XXXIX, 104, Stützzelle, Schleimzelle, Sternzelle 105, 109, Beziehung zur Cuticula 108, Verlauf sensibler Nervenfasern 116.
- der Mammilla, Verhalten bei Regeneration XXXVII, 143, Be-ziehung zum Epithel der Ausführungsgänge 150, Verhalten der Kerntheilungsfiguren 148 bei der Entwickelung 135.
- der Schwanzspitze der Froschlarven, Regeneration XXXVII, 409, bei Triton taeniatus 412, Verhalten der Epithelzellen 413, indirekte Kerntheilung 417, bei Triton cristatus, Siredon pisciformis 417, Verhalten der Wanderzellen 421.
- bei Trichodina sp., Aufnahme von Lymphzellen XXXIII, 407.
- Epiphysenknorpel, Schrumpfungserscheinungen XXXI, 315.

Register z. Archiv f. mikrosk. Anatomie.

Epithel, Verhalten bei Entwickelung von Uterus und Vagina beim Menschen XXXVII, 645.

- des Ausführungsganges der Mammilla, Verhalten bei Regeneration XXXVII, 140, 149, Beziehung zu Epidermis 150, bei der Entwickelung 155.

der Drüsen der Regio olfactoria beim Menschen XXXVII,

- der grösseren Drüsen des Menschen XL, 484, der Speicheldrüsen, der Glandula sublingualis 485, Cylinderzelle des Ductus Bartholinianus 486, der Glandula submaxillaris, Cylinderzelle des Ductus Whartonianus 487, der Glandula parotis, Cylinderzelle des Ductus Stenonianus 488, der Leber, Gallenblase, Cylinderzelle 489, Ductus choledochus 491, Cylinderzelle, Pancreas 492, Ductus Wirsugianus, Cylinderzelle 493, Vas deferens 494.

der Micronephridien von Megascolides australis XL, 557. der Blase von Salamandra, mitotische Kerntheilung XXXIV, 437, durchlöcherter Kern 438, Zellthei-

lung 445.

Bildungs-, des Müller'schen Ganges beim Menschen XXXIV, 343. der Caruncula lacrimalis des Menschen XXXVI, 304.

des Centralkanales, Beziehung zu Gliazellen des Rückenmarks.

XXXVIII, 277.

von Chalicodoma muraria, Umwandlung aus Blastoderm XXXV,

der Chorda, Verhalten bei Re-

generation XXXVII, 431.

-der Chorionzotten vom Hund, Beziehung zu Sinus laterales XXXIII, 433, Beziehung zu Blutkörperchen. der Cloake beim Menschen

XXXIV, 276.

, Beziehung zur Dammbildung beim Menschen XI., 279.

— Coelom-, Beziehung zur Anlage

der Urniere beimMenschen XXXVIII, 501.

der Lieberkühn'schen Crypten im Dünndarm XXXI, 173.

der Ctenophora XL, 157, bei Beroe, Drüsenzelle 159, 161 interstitielles Gewebe mit Kern 159 im Magen, verästelte Zellen 160, Drüsenzelle, Stadium der Entwickelung 161, Epithelborste der Wimperrinne 164, säbelförmige Cilien im Mundrand des Magens, Verhalten zum Epithel 165, Flimmerring, Flimmerzelle 167, Giftzelle 168; bei Cestus, Drüsenzelle, interstitielles Gewebe, Körnchen, Fluorescenzzelle, Bedeutung 169, vacuolenhaltige Zelle, Epithel an der Spitze der Tastpa-pillen 171; bei Euchlora, Drüsen-zellen 172 im Magen; bei Hormiphora, Drüsenzelle, Körnchenbildung 173, an den Ruderplättchen 175, in der Trichterebene 176; bei Callianira 176, Pigmentflecke mit glatter Epithelzelle in den Magen-wülsten 177; bei Eucharis, Drüsenzelle 178.

- bei Beroe, Beziehung zu glatten Muskelfasern XL, 211,

bei Cestus 218, 219.

- Cylinder- der Ausführungsgänge der Krause'schen Drüse der Caruncula lacrimalis des Menschen XXXVI. 303.

des Darmes von Ascaris mystax XXXI, 293, Methode, Zelle, Membrana propria 295, Fortsätze 296, Kern 297, mit Kernkörperchen, Karyosoma 298.

von Bilharzia haematobia XXXI, 209.

der Bartholini'schen Drüsen des Menschen XXXIX, 39.

- der Cowper'schen Drüsen des Menschen, Umwandelung zu Schleimzellen XXXIX, 48.

der Giftdrüsen bei Kröten

und Salamandern XXXIV, 40.

- der Harder'schen Drüsen beim Chamaeleon XXXVI, 194.

— der schlauchförmigen Drüsen des Magendarmkanales, Beziehung zum Epithel der Schleimhaut XXXIII, 216.

ziehung zum Oberflächenepithel der Schleimhaut XL, 325.

- Drüsen- der Urniere bei Crocodilus biporcatus XXXVI, 424.

-- des Uterus vom Hund,

XXXIII, 422.

— des Drüsenschlauches der Speicheldrüsen, Zelle XXXIX, 599, Lumen 601.

des Dünndarmes, Verhalten zur Muscularis mucosae XXXI, 20.

secernierende Zellen XXXI, 113, Objecte, Methode 113,

Metachromasie 114, Safranin, Becherzellen bei Maus 121 und Triton, Einflüsse der Ernährung 122, Theka mit Secret 123, Protoplasma mit Kern 124, Vergleich mit Cylinder-zellen 126, Inhalt der Theka 127 bei Maus, Triton 128, Mensch, Hund 129, Gerüst 130, Uebergang aus Epithelzelle bei Maus und Triton 132, schmale Zelle, Bedeutung 133, Bourrelet, Streifung 138 bei Triton und Maus 140, Protoplasma der Epithelzellen, Wanderzelle im Epithel 142 bei Maus und Triton, Epithel, Verbindung mit Stroma 144, Fehlen der Grenzmembran 145, Litteratur und Vergleich 146, Lieberkühn'sche Crypten, Epithel 173 bei Maus, Vergleich mit Zottenepithel 175, Körnchenzelle 177, Einfluss von Reagentien 178, Bedeutung der Körnchen 180, Kern 181, Ursprung und Schicksal 182 beim Menschen 184.

der Dünndarmzotten, Vergleich mit Lieberkühn'schen Crypten

XXXI, 173.

des Eies beim Menschen XXXI, 399.

Flimmer-, der Crypta der Regio olfactoria beim Menschen XXXIX, 647.

, foetales, der weissen Ratte XXXVII, 345.

Follikel-, des menschlichen Eies XXXI, 364, Entstehung 369. -, Veränderung bei Atresie

XXXVII, 222.

der Grenzzone des Geruchsorgans beim Hund XXXIV, 388.
— des Geruchsorgans von Neun-

augen in den Falten XXXVIII, 4. des Geschlechtsstranges Menschen, Entwickelung

XXXVII, 634. — des Giraldè'schen Organs, Neubildung XXXIII, 457.

— der Harnblase XXXV, 389, Litteratur 389, Methode 391, Epithelzelle der oberen Schicht 392, Ĉanäle 394, Kern 393, körnige Klümp-chen, Bedeutung 399, gigantische, vielkernige Epithelzelle 397, indirekte Theilung 398; Zellen der zweiten Schicht 400, Fortsätze 401 bei Nagern, Mäusen, Ratten 402, Zellen der III. und IV. Schicht 403.

des Hodens der Maus, histologische Beschaffenheit XXXIV, 74.

— von Gordius tolosanus Duj. XXXIV, 262, Spindelzellen.

Keim-, von Carcinus maenas, nucleoläre Kerntheilung XXXIX, 22. — des Magens von Proteus anguineus XXXIV, 535.

- des Mitteldarmes von Proteus anguineus XXXIV, 539.

von Chalicodoma mu-

raria XXXV, 144.

- der Mundhöhle von Proteus anguineus XXXIV, 518, Epithelzelle 518, Becherzelle 519, Wanderzelle mit Einschlüssen 523, 524.

— des Oesophagus von Proteus anguineus XXXIV, 532. — der Pellucida des Auges von Pecten XXXIII, 391.

Peritoneal-, des Menschen, Beziehung zur Entwickelung der Urniere XXXVI, 164.

—, Beziehung zur Anlage der Nebenniere beim Huhn XXXVIII, 502, zur Anlage der Keimdrüse 506.

Pflaster-, des Vestibulum vaginae beim Menschen XXXIX, 41. - des Präputium des Menschen,

Anlage XL, 271 mit Zelle. Riech-, Ausdehnung beim Men-

schen XXXIX, 633, Methode 634, Verhalten zu Nervus olfactorius 637. der Schalendrüsen von Bil-

harzia haematobia XXXI, 210. der Schleim haut des Magendarmkanals, Beziehung zum Epithel schlauchförmigen Drüsen. XXXIII, 216.

- des Magendarmkanals, Beziehung zu den Drüsenzellen der Rectumdrüse beim Hund XL, 337. des Magendarmkanals

beim Triton XL, 357, der Kiemen und Fornices 360.

der Oberkieferhöhle XXXII, 227.

 des Uterus beim Schaf, Beziehung zur Färbung XXXVI, 511.

- Schmelz-, Verhalten zum Knochenmark bei Kaninchen XXXVIII, 154.

- der Edentata, inneres und äusseres XL, 140, 141, Veränderung
- äusseres beim Menschen XXXVIII, 458.
- Tentakel- der Ctenophora XL, 194, bei Callianira und Hormiphora 197, aus Greifzellen und inter-

stitiellem Gewebe 198, Veränderung bei Hormiphora 202.

der Urniere beim Menschen XXXIV, 273.

der Urnierencanälchen beim Menschen XXXIV, 296.

des Urnierenganges bei Crocedilus biporcatus XXXVI, 425.

des Uterus von Salamandra atra, Bau, Wimperzelle und Leucocyten XXXVI, 473, rothe Blutzelle 474, als Sauerstoffträger 477.

Wander-, des Dotterorgans bei Lacerta XL, 74.

der Zahnpapille der Edentata

XL, 139.

- der Zotten der Placenta XXXV, 34, 41.

der Zungenpapille von Anguis fragilis XXXVIII, 182.

Epithelborste der Wimperrinne bei Beroe XL, 164.

Epithelialschicht der Haut vom Neunauge , 👚 kolbenförmige XXXVIII, 9.

Epitheliom, Protoplasmafaserung der Epidermis XXXIX, 145.

Epithelreste am Opticus und auf der Retina XXXVIII,24,35,Litteratur,bei Forellenembryonen, Trutta fario 27, Borgmeister'scher Zapfen, bei Amphibien, Triton taeniatus 29, Borgmeister'scher Zapfen, bei Hühnerembryonen 30, Säugern 32, subpialer Lymphraum, bei Ammocoetes, Borgmeister'scher Zapfen 35.

Epithelscheide bei Zahnentwickelung von Mus musculus XXXVIII, 144, beimMenschen in der Jugend 145.

Epithelschicht der Haut von Petromyzon fluviatilis XXXIV, 109, Epithelzelle mit Kern, Cuticula 110.

Equus caballus, Spinalganglien-zelle XXXI, 223, unipolarer Faserknäuel 225, 228, Ursprungsfasern 225, Grösse, Form nnd Färbung 226, Kapsel, Beziehung zur Henle'schen Scheide, Endothel 227, Verhalten der Ausläufer bei Zellen mit einfachen und zusammengesetzten Ausläufern 228.

-, Papilla vallata, Schleimhaut mit Drüsenöffnungen XL, 12, Binde-

—, Drüsen des Zungengrundes,

Ausführungsgänge XL, 22. ---, Epithelzelle in den Ton-

sillen, XL, 23.

- - Glandula carotica, Lage

und Form XL, 295.

----, Bau des Chromatins der sympathischen Ganglienzelle, Gehalt an Pigmentkörnchen XL, 380.

Erdsänger - Sylvia.

Erinaceus, Mucingehalt der Unterkieferdrüse XXXVI, 344.

-, Papilla foliata XL, 18.

Ersatzleiste beim Menschen, Keim XXXVIII, 463.

Erythroblasten im Knochenmark der Vögel XXXV, 430, 440, Färbung

454, Mitosis.

- der Milz, Existenz XXXVIII, 433. - und Leucoblasten, Anordnung und Neubildung in den Blutzellen bildenden Organen XXXVIII, 524.

ziehung zu rothen Blutkörperchen 578, Hämoglobinbildung 588.

Erythrocyten der Milz XXXVIII, 441, Granula 441, Bedeutung, Kern 443.

Esox lucius, Spermatozoen, Plasmasaum XXXVI, 241, Axenfaden, fibrilläre Structur 242, Kopf 244.

Eucharis, Epithel XL, 178, Drüsenzelle.

Eucheta, Reductionstheilung XL, 113, 117.

Euchlora, Epithel, Drüsenzelle XL, 172, im Magen 173.

-, zur Histologie XL, 184, Ruderplättchen, Verbindungsfasern 186. Eule — Strix.

Eurylainus javanicus Horst, Farbe der Federn, Grünfärbnng XXXV, 79. Excretionsschicht bei Distomum cylindraceum Zed. XXXVI, 178.

Excretionsorgan der Cranioten,

Vergleich mit den Selachiern XXXIII, 501, Urgeschichte 506.

Excretionssystem der Selachier, Entwickelung und die Mesoderm-segmente des Rumpfes XXXIII, 461, Vergleich mit den übrigen Cranioten

Exoderm bei Petromyzon Planeri XXXV, 483.

Extremitäten, Bau der Oberhaut

XXXVII, 169.

hintere der Maus, Beziehung der sensitiven Nerven zum Goll'schen Strang des Rückenmarkes XXXIII, 119.

Extremitätenleiste von Torpedo ocellata, Bildung XXXII, 388.

von Torpedo ocellata XXXIX, 91. Eyrostomus afer, Farbe der Federn, Blaurackentypus XXXV, 79.

Fadenwürmer – Nematodes. Fascia dentata, Beziehung zur Lamina medullaris involuta des Cornu Ammonis XXXIX, 620, Hilus et Nucleus, Pyramidenzelle, polymorphe Nervenzelle mit Fortsätzen 621, spindelförmige Zellen 622, Neuroglia, Gliazelle 625.

Fascien, Bedeutung XXXII, 538.

— des Halses, Beziehung zur Fascie der Tube XXXII, 550. — der Tube XXXII, 479, 537, Be-

ziehung zur Halsfascie 550.

Fasciculus inferior s. ventralis des Rückenmarkes bei Anguis fragilis XXXVIII, 162.

Fasciolae cinereae des Hirnbal-

kens XXXVII, 12.

Fasern, contractile der Giftdrüse bei Kröte und Salamander XXXIV, 37, Beziehung zu Spindelzellen 38.

-, elastische des Schwellkörpers der Nasenschleimhaut des Menschen XXXIV, 22.

des Hyalinknorpels XXXIV, 414, körnige Degeneration 416.

-. Sharpey'sche des Knochens beim Menschen, Verhalten bei Färbung XXXIX, 174.

varicöse des Rückenmarkes XXXVIII, 288, Bedeutung 291.

Faserschicht des Haarbalges XXXI,

Fauna deutscher Enchyträiden XXXI, 483.

Argentiniens, mikroskopische XXXVIII, 1.

Federn der Vögel, über Farben XXXV, 68, Körnchengehalt des braunen Pigments und Beziehung zu Pigmentzellen beim Hühnchen, Gallinula chloropus, Scolopax major 70, Schirmzelle, Beziehung zur Blaufärbung 71, bei Cotinga cayana Geoffr. 72, Calyptomena viridis Raffl. 73, Pitta cyanoptera 73, 75, 77, Bedeutung des Luftgehaltes der Zellen 74, bei Hühnern 75, Platycercus Pennantii 76, Irenetypus 76 bei Irene malayensis Horst., Halcyon semicoerulea, Malurus supulus 77, Blaukehlchentypus 79, bei Parus

coeruleus, Sialis, Eisvogeltypus bei Eisvogel, Cotinga cayana Geoffr., Blaurackentypus bei Coracias garrula, Palaeornis haematodus 78, Eyrystomus afer, Grünfärbung bei Ampelis pompodora L., Eurylaemus javanicus Horst. 79, Somateria mollissima 80, Phasianus pictus 80, 83, Motacilla flava 81, 82, Calyptomena viridis Raffl. Tanagra lutea 81, Fringilla cardualis 82, Parus coeruleus und cyaneus, Oriolus regens Gaimard, Bombycilla 83.

Feldlerche - Alauda arvensis.

Felis domestica, Nervus hypoglossus, Commissurfasern in der Medulla oblongata XXXI, 62.

- -, Lymphknötchen des Darmes XXXIII, 260, Rückbildung 263. -, Giraldè'sches OrganXXXIII,

445.

- -, Hinterwurzeln des Rückenmarkes XXXIV, 173, Längsbündel 180, Zellen des Stratum gelatinosum
- -, Bau der Sinushaare XXXV.

-, Isolation gefüllter Capillarscheiden der LeberXXXVI,212, sternförmige Zelle 213, mit Kern 214.

, Mucingehalt in der Schleimspeicheldrüse und Unterkieferdrüse

XXXVI, 342.

-, Placenta, Entwickelung und Structur XXXVII, 357, Veränderungen der Uterusschleimhaut 358 und Verhalten der Chorionzotten, Anlagerung des Eies 359, Drüsenzelle, Veränderung 360, 363, erste Anlage 361, Verhalten der Chorionzotten 361, 366, Syncytium, Bildung 363, Bedeutung 370, Epithelzelle des Chorion mit Blutkörperchen 365, 366, 369, Uterinmilch, Wesen 367, Blut zwischen Chorion und Uterinschleimhaut 368, Gefässe des Uterus, Verhalten zur - 369.

,Zellbrücken glatter Muskel-fasern im Darm XXXVIII, 43.

, Uterusmuskulatur XXXVIII, 72, Verbindungsfasern zwischen Ringund Längsmuskeln.

Rückenmarksfaserung

XXXVIII, 170.

Untersuchungen über die Milz XXXVIII, 345.

, Capillarscheiden der Milz XXXVIII, 403.

-, Papilla foliata XL, 17, 19.

- ---, Glandula carotica, Lage und Form XL, 295, Zellbalken 314.

— pardus, Papilla foliata XL, 17. — tigris, Substantia gelatinosa Rolandi, Entwickelung XXXI, 608. Fett, Beziehung zur Pigmentbildung

XXXIV, 482.

Fettbildung im lockeren Binde-gewebe der weissen Ratte, Beziehung zu Leucocyten XXXII,

Fettgewebe, functionelle XXXII. 155 und physiologische Bedeutung 160.

Fettkörper von Argulus foliaceus, Zelle XXXIII, 36.

- von Mermis ingrescens Duj. XL. 501.

Fibrae propriae nervi hypoglossi beim Kalb XXXI, 60, Mensch 67.

Fibrillen der Capillarscheide der Leber der Säuger XXXVI, 216.

des hyalinen Knorpels beim Menschen, Beziehung zu Schrumpfungserscheinungen XXXI, 203.

der Nervenfaserschicht der Retina des Menschen XL, 29.

der Oberhaut des Menschen, Verhalten bei der Verhornung XXXIX,

bei Petromyzon Planeri, Anlage XXXV, 525.

der Spiralfasern bei Octopus

und Sepia XXXIX, 402.

Fibrillenbildung aus Centrosomen der Spermatocyten bei Salamandra XXXVII, 576.

Fibrocartilago basilaris, Beziehung zum Skelett der Tube XXXII, 484.

Filaria Ephemeridarum XXXIX,

Gammmari n. sp. XXXIX, 325, 326.

Fimbria des Cornu Ammonis XXXIX, 613.

Finger, Bau der Oberhaut XXXVII, 170.

Fische — Pisces.

Fischotter — Lutra vulgaris.

Fissura transversalis des Darmes beim Menschen, Bedeutung XL, 283.

Fledermaus — Vespertilio.

Fleischfresser - Carnivora.

Flexura coli hepatica, Anlage XL, 457.

Fliege - Musca.

Fliegenschnäpper, grauer - Mus-

cicapa grisola.

Flimmerring bei Beroe XL, 167. Flimmerstreifen der Ruderplättchen der Ctenophora XL, 185. Flohkrebs — Gammarus pulex.

- - Amphipoda.

Flosse des Seepferdchens, Bau des Muskels XXXVII, 682.

Flossensaum der Spermatozoen von Salamandra XXXIV, 61.

Flügelqualle — Callianira. Flussbarsch — Perca fluviatilis. Flusskrebs - Astacus fluviatilis.

Follikel des menschlichen Eies, Epithel XXXI, 364, Entstehung 369.

Follikelatresie, zur Kenntniss XXXVII, 192, Litteratur, Granu-losa-Zellen 203, Veränderungen 206, Verhalten des Keimbläschens 205, 215, des Chromatins 205, des Eies 206, bei vorhandenem Richtungskörper 208, Dotter, Veränderung, Körnerbildung 206, Nagelzelle, Veränderung 212, Ei, hyaline Degeneration 213, Chromatolyse 216, Ablagerung von Fett 220, Epithel, Veränderung 222, Theka, Verhalten 223, Gefässneubildung 224.

Follikelkern bei Astacus fluviatilis

XXXIX, 505.

Foramen Monroi beim Menschen, Anlage XXXVII, 311.

- ovale des Herzens vom Kaninchen XXXIII, 312.

Forelle - Trutta fario.

Forficula auricularia, Stinkdrüse XXXVI, 567, Epithel- und Drüsenzelle 568, 569, Vergleich mit Nesselzelle der Cnidarier 573.

Forficulidae, Stinkdrüse XXXVI,

Formatio gelatinosa des Rückenmarkes der Maus XXXIII, 74.

Rolandi des Rückenmarkes der Maus XXXIII, 76, Zelle 78.

Fortpflanzung, ungeschlechtliche bei Eyrodactylus elegans XXXIX, 335.

Fortpflanzungsorgane bei Argulus foliaceus XXXIII, 32. Fortsätze der Ganglienzelle

Hydra fusca XXXV, 340.

der Nervenzelle des Rückenmarkes

XXXVIII, 281.

- der subepithelialen Nervenzelle der Körnerschicht der Retina des Menschen, äussere XXXVIII, 320, innere 321.

- äussere der grossen, sternförmigen Zelle der inneren Körnerschicht der Retina des Menschen XXXVIII. 325, der kleinen, sternförmigen Zelle 328, der bipolaren Zelle 332.

- innere der grossen, sternförmigen Zellen der inneren Körnerschicht der Retina beim Menschen XXXVIII, 326, der kleinen, sternförmigen Zelle 329, der bipolaren Zellen 332.

Fossa navicularis ant. beim Men-

schen XL, 276.

— scaphoidea, Beziehung zum Skelett der Tube XXXII, 484.

Fovea centralis der Retina des Menschen, Beziehung zur Nervenfaserschicht XL, 31.

Fragmentierung, amitotische, des Kerns mit nachfolgender Abschnürung der Zelle XXXVII, 714.

-, direkte derLeucocytenXXXVII, 274, Beziehung zu ringförmigen Kernen 285.

-, indirekte der Kerne der entzündeten Hornhaut XXXI, 475.

in den lymphoiden Zellen der Milz der weissen Maus XXXI, 552.

 in der lymphatischen Randschicht der Salamandrinenleber XXXVII, 375, im Blute von Protopterus annectens 389.

Frenulum beim Menschen, Anlage

XL, 271.

Fringilla caelebs, Spermatozoen, Geissel XXXII, 408, Spiralsaum 410, Axenfaden 413, mit Endkörperchen und Elementarfibrille 417.

----, Spermatozoen, Kopf XXXII,

435, Bewegung 452.

Cannabina, Spermatozoen XXXII, 422, Kopf 438.

cardualis, Farbe der Federn, Graufärbung XXXV, 82.

Frosch - Rana.

Kröten- — Pelobates fuscus.
Wasser- — Rana esculenta.

Froschlarven, Regeneration der Epidermis der Schwanzspitze XXXVII, 409.

Regeneration des Rückenmarkes XXXVII, 424.

Furchung bei Petromyzon Planeri XXXV, 469, 471.

Furchungskern bei Anguis fragilis XXXIX, 236, Theilung 239.

bei Petromyzon Planeri, provisorischer, Bedeutung XXXII, 645, definitiver 447.

von Tropidonotus natrix, Bildung XXXIX, 234, Theilung 235, 255, 259.

Furchungsprozess bei Rana temporaria, Störungen XXXIX, 356.

Fuss von Hydra grisea, Neubildung nach Trembley'schem Umstülpungsversuch XXXVII, 546.

— der Weinbergschnecke, Gehalt

an Mucin XXXVI, 331.

Fussrücken, Bau der Oberhaut XXXVII, 169.

Gabelschwanz - Milvus.

- Galeomma Turtoni, Blut XXXVII, 82.
- Gallenblase, Epithel der Ausführungsgänge, Cylinderzelle XL, 489.
- Gallenca pillaren von Proteus anguineus XXXIV, 555.
- , Beziehung zu den Capillarscheiden der Leber der Säuger XXXVI, 221.
- Gallengänge bei Proteus anguineus XXXIV, 555.
- der Leber, Verhalten bei Rückbildung XXXV, 100.
- Gallerte der Ctenophora, Elemente XL, 203, bei Beroe 207, Cestus 218, Callianira 222, Hormiphora 223.
- Gallertgewebe des Nabelstranges, Einfluss von Thionin XXXVI, 355.
- Gallertröhren von Proteus anguineus XXXIV, 521.
- Gallina, Atrophie der Fettzellen des Knochenmarkes der Tibia XXXIII, 249.
- -, Farbe der Federn, Körnchengehalt des braunen Pigments und Beziehung zu Pigmentzellen XXXV,
- -, Bau des Knochenmarkes, Venencapillaren XXXV, 439.
- , Entwickelung der Ganglien XXXVII, 587, erste Anlage 588, Be-ziehung zu Epithelzellen 589, zu Mesodermzellen 590, Ganglien des Kopfes 592, Ganglion petrosum, jugulare und nodosum 594, Ganglion geniculi, Ganglion Gasseri 595, Ganglion ciliare 596, sympathische Ganglien 597.
- —, Epithelreste am Nervus opticus

und auf der Retina beim Embryo XXXVIII, 29.

, Entwickelung und Structur der Nebenniere XXXVIII, 499, erstes Auftreten 499, Beziehung zum Coelomepithel 501, zum Peritonealepithel 502, zum rudimentären, distalen Abschnitt der Pronephros 503, Bildung der Marksubstanz 507, Beziehung zum Sympathicus, den sympathischen Nervenzellen, zu embryonalen Ganglienzellen, Verwandtschaft mit Markzellen 511, Structur 512, Lage, Kapsel, Färbung durch Fetttropfen 513, Zelle der Hauptstränge 514, Kern 515, Zellvermehrung 515, Blasenzelle 516, Zelle der Zwischenkörper 517, Markzelle, Ganglienzelle, Uebergangszelle 518.

Gallinacea, Spermatozoen XXXII,

439, 442.

Gallinula chloropus, Farbe der Federn, Körnchengehalt des braunen Pigments und Beziehung zu Pigmentzellen XXXV, 70.

Gallus domesticus, Spermatozoen, Axenfaden XXXII, 444, Kopf 449,

Bewegung 455.

- Gammarus pulex als Wirth für Filaria Gammari XXXIX, 325, 326, für Nematodum Gammari n. sp. 327, für Mermis Gammari 329, für Echinorrhynchus polymorphus Brem. 330, für Distomum pulicis 333, für Cysticus 336.
- Gang, Müller'scher der Selachier, Umbildung aus Pronephrosgang XXXIII, 487.

- der Amnioten, Entstehung

XXXIII, 502.

beim Menschen, Entwickelung XXXIV, 274, 278, 333, Bildungsepithel 334.

- -, Anlage bei Crocodilen und Schildkröten XXXVI, 452, Litteratur, bei Crocodilus biporcatus, Ostium abdominale tubae 456, bei Chelonia midas 458.
- Entwickelung beim Menschen XXXVII, 627, Cylinderzelle. - Wolff'scher beim Menschen

XXXIV, 273, 277, 286, 346.

- beim Menschen, Beziehung zur Entwickelung der Urniere XXXVI, 150, 154, Genese 157.
- Entwickelung beim Menschen XXXVII, 638, Cylinderepithelzelle 639, Rückbildung 636, Ver-

halten bei männlichen Individuen.

Ganglien, Entwickelung beim Hühnchen XXXVII, 587, erste Anlage, Beziehung zu Epithelzellen 589 und Mesodermalzelle 590.

Augen-, von Argulus foliaceus

XXXIII, 21,

des Bauchmarkes von Lumbricus XXXIX, 121.

- des Bauchstranges von Megascolides australis XL, 553.

von Bythotrephes longimanus XXXVIII, 118.

· von Chalicodoma muraria,

Anlage XXXV, 149.

— Facialis- von Petromyzon Planeri, Entwickelung XXXV, 524. - Hirn-, oberes bei Argulus foliaceus XXXIII, 9.

Kopf- bei Petromyzon Planeri, Anlage XXXV, 487.

- beim Hühnchen XXXVII, 592.

- Mandibel- bei Sida cristallina XXXVIII, 110.

der Mucosa der Pars pendula urethrae XXXI, 30.

- des Nervus vagus bei Petromyzon Planeri, Entwickelung XXXV, 525,

- Oberlippen- von Sida cristallina XXXVIII, 110.

- von Petromyzon Planeri, Anlage XXXV, 510.

-retroösophageale bei Sida cristallina XXXVIII, 110, 113.

retropharyngeale bei Bythotrephes longimanus XXXVIII, 123.

-- von Daphnia sima XXXVIII, 114.

der Leptodera hyalina XXXVIII, 124.

— Seh- bei Sida cristallina, Punktsubstanz XXXVIII, 103.

 Spinal-, Regeneration XXXVII, 428.

- bei Anguis fragilis, Beziehung zu Nervenwurzeln XXXVIII, 159.

- sympathische, Entwickelung beim Huhn XXXVII, 507.

, chromophobe und chromophile Zellen XL, 379.

--- des Trigeminus bei Petromyzon Planeri, Anlage XXXV, 519.

Ganglienknoten der Haut von Petromyzon fluviatilis XXXIV, 117. Ganglienleiste bei Petromyzon Planeri, Anlage XXXV. 486. Ganglienwurzel des Trigeminus

von Petromyzon Planeri XXXV, 539. Ganglion ciliare, Entwickelung

beim Hühnchen XXXVII, 596.

epibranchiale von Petromyzon Planeri XXXV, 542.

Gasseri, Entwickelung beim Huhn XXXVII, 595.

-- geniculi, Entwickelung beim

Huhn XXXVII, 595.

— jugulare, Entwickelung beim Huhn XXXVII, 594.

nodosum, Entwickelung beim Huhn XXXV, 594.

opticum, beim Menschen XXXVIII, 333, Zelle mit Protoplasmafortsätzen 334 und cylinderfortsatz 336.

- petrosum, Entwickelung beim

Huhn XXXVII, 594.

-retinae beimMenschen XXXVIII, 322.

Ganoidea, Bau der Spermatozoen XXXVI, 235.

Gartenrothschwänzchen - Rubicilla phaenicurus.

Gasteropoda, Beziehung der Niere zu Conjugation und Sporenbildung der Gregarinen XXXVII, 124 Nieren-

Gasterosteus aculeatus als Wirth fürEchinorrhynchusProteus XXXIX, 331, für Gyrodactylus elegans 336.

Gastrula bei Lacerta im Beginn XL, 46, ausgebildet 56.

Gastrulation bei Petromyzon Planeri XXXV, 479.

bei Torpedo ocellata XXXIX, 57. , Beziehung zum Urmund XXXIX, 467, bei Knochenfischen 468.

Gastrulationsprozess bei Cyclops, Beginn XXXIX, 566, Bedeutung 569, Beziehung zur Polzelle 570.

bei Rana temporaria, Störungen mit mangelhaftem Verschluss des Urmundes XXXIX, 363.

Bedeutung Gaumenaponeurose, XXXII, 524, Beziehung zum Tensor tympani 530, mittleres Blatt, Beziehung zur membranösen Tube 560, äusseres Blatt, Beziehung zum Muscu-

lus buccinator 580, inneres Blatt 554. Gebärmutter bei Ascaris megalo-

cephala XXXVI, 56.

Geburtshelferkröte - Alytes obstetricans.

Gefässe, Regeneration XXXVII, 446.

—, Zusammenhang mit Gliazellen des Rückenmarks XXXVIII, 276.

des lockeren Bindegewebes der weissen Ratte, Beziehung zu kugelförmigen Zellen XXXII, 129. — Dotter- bei Torpedo ocellata

XXXIX, 91.

- Malpighi'sche, Nebenkern bei Dytiscus marginalis, Hydro-philus piceus, Salamandra XXXIII, 182.
- der Insecten, direkte Kerntheilung XXXIII, 145 bei Dytiscus marginalis, Form der Zellen, Nucleolus 146.

bei Chalicodoma muraria, Anlage XXXV, 156.

- der Pronephros der Selachier XXXIII, 181.

- des Uterus, Verhalten zur Pla-

centa XXXVII, 369. Gefässbildung ander Ossificationsgrenze und provisorischeVerkalkung

XXXII, 219.

Gefässkörper, linsenförmiger im Auge der Cyprinoiden XL, 418, Vorkommen 419, Topographie, Ge-fässverlauf bei Karpfen, Schleihe 420, Verhalten der Capillaren der Arteria hyaloidea 424, Sammelgefäss 425, Vergleich mit Chorioidealdrüsen 426, Wundernetzbildung 420, venöser Theil 429, Bedeutung 432.

Gefässnetz im Parenchym des Knochenmarks der Vögel XXXV, efässneubildung bei Fol Follikel-

Gefässneubildung atresie XXXVII, 224.

Gefässscheiden der Arterien und Venen der Milz XXXVIII, 350.

Gefässschicht des Uterus beim Menschen, Entwickelung XXXVIII, 89.

Gefässsystem der Acephalen, Bemerkungen über - XXXVII, 88, Wasseraufnahme.

- von Phylline Hendorffii XXXIII, 168.

Gefässverlauf im linsenförmigen Körper des Auges bei Karpfen und

Schleihe XL, 420.

Gehirn der Edentaten XXXV, 165. Grosshirn, vordere Commissur 165, bei Xenurus gymmurus 166, Aquaeductus Sylvii 170, Ependym 171.

des Menschen, Entwickelung des Balkens XXXVII,289, Litteratur, Methode 304, Commissura mollis, Anlage 310, Foramen Monroi 311, Furchenbildung 312, Schlussplatte, Veränderung 315, erste Anlage des Balkens 317, Septum pellucidum, Höhle, Anlage 318.

von Mermis ingrescens Duj. XL,

506.

von Petromyzon Planeri, Entwickelung XXXV, 531, weisse Substanz 531, Mitose 533.

-- von Phylline Hendorffii XXXIII,

von Sida cristallina, Markballen XXXVIII, 106.

Gehörbläschen von Petromyzon Planeri, Anlage XXXV, 523, 542.

Gehörk nöchelchen, zur Entwickelungsgeschichte XL, 512, Meckelscher Knorpel, Anlage 517, Reichertscher Knorpel, Hammer, erste Anlage 518, Ambos, Steigbügel 519, Beziehung zum Meckel'schen Knorpel 520, zur Labyrinthkapsel 521, zum Reichert'schen Knorpel 523.

Geissel der Spermatozoen der Vögel

XXXII, 408, 439.

der Spermatozoen bei Fischen, Raja clavata XXXVI, 233, Ganoidei, Stör 236, Teleostei, Acerina cernua, Perca, Leuciscus 239.

der Spermatozoen bei Pelobates

fuscus XXXVI, 254.

der Spermatozoen der Amphibien XXXVI, 260, Nebenfaden bei Triton helveticus 261, undulierende Membran beim Salamander, Triton, Axolotl 263, Steuersaum, Kielsaum 264, feiner Bau 265.

der Spermatozoen bei Reptilien, Psammodromus, Anguis, Testudo, Lacerta XXXVI, 274, Ophidiern, Vipera, Coluber, 276, Vipera berus

 $27\tilde{9}.$

Gelenke des Unterkiefers, erste Anlage XXXII, 294, beim Schaf, weitere Entwickelung beim Embryo von $5^{1}/_{2}$ cm 302.

Gelenkfortsatz des Unterkiefers, Auftreten der Knorpelkerne XXXII, 309, weitere Entwickelung 310, Ver-

knöcherung 339.

Genitalien, äussere beim Menschen, Anlage XXXIV, 375.

Geruchsorgan des Hundes, zur Kenntniss XXXIV, 385, Methode, Verhalten der Nervenfasern zu Geruchszellen 386, Epithel der Grenzzone 388.

des Menschen, feiner Bau XXXVI, 375, Litteratur, Methode 382, 386, Kern der Riech- und Stützzellen,

verschiedenes Verhalten gegen chemisch-thermische Einflüsse und Farbstoffe 383, Riechzelle, Ersatzzelle 388, Drüse mit Drüsenzellen bei Neugeborenen 390, Erwachsenen 392, Pigmentzellen 390, Glockenzellen

392.

des Neunauges, feinere Structur XXXI, 1, Methode, Lage, Zahl 2, Drüsen, Andeutung einer Theilung bei Ammocoetes 3, Epithel der Falten 4, Flimmerzelle 5, Bindegewebe Stützzellen, Cilien 6, becherförmige Zellen, Neuroepithelzelle 7, Verbindung mit Nervenfasern, Stäbchen 8, cylinderförmige Neuroepithelzelle 9, Drüsen, becherförmige Zelle 11, Kern, Bedeutung als Schleimdrüsen, Nervus et lobus olfactorius, Structur, bipolare Zellen im Verlauf 12, Lobus anterior, beerenförmige Zellen 13, Nervenfasern 14.

von Petromyzon Planeri, Ent-

wickelung XXXV, 536.

Gerüstwerk der Milz XXXVIII, 349, grobes 349, feines 352.

Geschlechtsanlage bei Mermis

crassa XXXIV, 396.

Geschlechtshöcker beim Menschen, Anlage XXXIV, 378. - beim Menschen XL, 266.

Geschlechtsöffnungen bei Distomum cylindraceum Zed. XXXVI,180.

Geschlechtsorgan bei Distomum cylindraceum Zed. XXXVI, 179. — bei Gordius tolosanus Duj. XXXIV, 259, männlich 259, weiblich 260 bei Geschlechtsreife, Männchen 262, Weibchen 264.

– von Gordius tolosanus Duj., Verbindung mit Rückencanal XXXVII,

243.

- bei Mesenchytraeus setosus n. sp.

XXXI, 497.

-beiPachydrilussphagnetorumVejdowsky var. glandulosus XXXI, 492. - bei Stercutus niveus n. sp. XXXI, 489.

—, äusseres, Bau der Oberhaut XXXVII, 164, beim Weib 166.

Geschlechtsproducte bei Ascaris megalocephala, Entwickelung XXXVI. 2.

Geschlechtsstrang, Entwickelung beim Menschen, proximaler Abschnitt, Epithel XXXVII, 634 distales Ende, Epithelzelle 634.

— beim Menschen, erste Anlage

XL, 267.

Gesicht, Bau der Oberhaut XXXVII,

Gestell für Objectträger bei Serienschnitten XXXIII, 416.

Gewebe, Imprägnationsmethode mit

Methylenblau XXXIII, 440.

—, zur Regeneration XXXVII, 406. -, Einwirkung von Aethylalkohol XXXIX, 343.

, interstitielles der Ctenophora, Kern XL, 159 im Magen bei

Beroe 159, Cestus 169.

der Tentakel der Ctenophora XL, 198.

- mesenchymatisches der Selachier, Bildung XXXII, 378, bei Torpedo ocellata 382.

reticuläres der Milz XXXVIII,

392.

-, Leucoblasten und Erythroblasten XXXVIII, 566.

thierische, Nachweis von Mucin durch Färbemethode XXXVI,

Giftkörner der Giftdrüse von Kröte und Salamander XXXIV, 46.

Glandulae - Drüsen.

Glans, Anlage beim Menschen XL, 270, Verhalten bei weiblichen Embryonen, Schwellkörper, Anlage 273.

Glashaut des Haares XXXI, 36, Schichtung, Verhalten zu Epithel-zellen der Wurzelscheide 37, Kern

Glockenthierchen - Vorticella.

Glomerulus bei Entwickelung des Urogenitalsystems vom Menschen XXXIV, 273, 289, Harncanälchen 270, 277.

Anlage beim Menschen XXXIV,

280.

der Urniere beim Menschen

XXXVI, 162.
— der Niere bei Crocodilus biporcatus, Entwickelung aus Glomus der Vorniere XXXVI, 432, desgl. bei Chelonia midas 439.

Glomus des Pronephros der Selachier XXXIII, 480.

der Vorniere bei Crocodilus biporcatus XXXVI, 421, Anlage 423, Veränderungen 430, Umbildung zu Glomerulus 432, Rückbildung 436; desgl. bei Chelonia midas 437.

Gnathostoma, Sichel der -, Vergleich mit dem Teloblast bei Petromyzon Planeri XXXV, 469.

Gobio fluviatilis als Wirth für

Echinorrhynchus Proteus XXXIX,

Goldammer - Emberiza citrinella. Goldfasan - Phasianus pictus.

Gordiacea XXXIX, 329.

Gordius subbifurcus von Siebold

Gordius tolosanus Duj.

- tolosanus Duj., über Entwickelungsgeschichte und Anatomie XXXIV, 248, Anatomie der Larven, Cutis 253, Hypodermis 254, Muskel, Muskelzellen 256, Zellkörper, Lei-beshöhle 257, Verdauungstractus, Zellen, Nervensystem 258, Bauch-strang bei Männchen und Weibchen, Geschlechtsorgane, männlich 260, weiblich, Eierstock, Uterus 260, Anatomie der geschlechtsreifen Thiere, Ocellen, Geschlechtsorgan, männlich, Hoden, Spindelzellenepithel 262, Spermatogenese, Bildung der samenbildenden Zelle. Samenkörperchen 263, Geschlechtsorgan, Bildung 264, Ovarien 265, Eibildung, Eileiter.

———, Beobachtungen XXXVII, 239 in Pterostichus niger, weisse Larven 241, Rückencanal, Verbindung mit Geschlechtsorganen, Co-

pulation 243, Embryo 244. — in Sialis lutaria und Cloëon dipterum L. XXXIX, 329. Grallatores, Spermatozoen XXXII,

Granula der eosinophilen Zellen der Milz, Bedeutung als Hämoglobin XXXVIII, 438.

der Erythroblasten der Milz

XXXVIII, 443. Grasfrosch — Rana temporaria. Gregarinen, Conjugation und Sporenbildung XXXVII, 99, Litteratur, Untersuchungsmethode 131, bei Lumbricus agricola 105, Monocystis magna und agilis, Kern 106, Kernkörperchen 107, Bedeutung der Körner, Beziehung zur Conjugation 108, Richtungskörper, Bildung und Ausstossung 110, Sporogonien 112, Sporocyste, mitotische Theilung 113, Sporophor, Sporen 114, bei Clepsidine Blattarum 115, Cuticula 116, bei Periplaneta orientalis, Kern und Kernkörperchen 117, geflammte Kerne, Bedeutung 118, Sporen 121 in Epithelzellen 122, in der Schneckenniere 124, Klossia, Anfangsstadien, Kern in der Nierenzelle 124, 127, Kerntheilung 128, Sporogonien, Sporocysten 129, Sporophor, Sporen

Grimmia grimmia, Gesichtsdrüse XXXI, 527.

- madagna, Gesichtsdrüse XXXI, 527.

- mergens, Gesichtsdrüse XXXI, 527.

ocularis, Gesichtsdrüse XXXI, 526.

Grosshirn der Edentata, vordere Commissur XXXV, 165.

Growing cells der Maus, Veränderung XXXIV, 75.
Gründling — Gobio fluviatilis.

Grundsubstanz des Meckel'schen Knorpels im Unterkiefer XXXII, 296, Entstehung 296, Untergang 353, Verhalten der Gefässe 354.

des Knorpels, zur Kenntniss

XXXVII. 492.

Gryllotalpa vulgaris Latr., zur Kenntniss der Spermatogenese XL, 102, Methode, Ursamenzelle, Samenmutterzelle, Samentrichterzelle, Samenfaden, Wortbedeutung, Idant und Ide, Bedeutung 105, Reductionstheilung, Wortbedeutung; I. Periode der Theilung der Ursamenzelle (Spermatogonie) 106, Verhalten des Chromatin 107, II. Periode der Ruhe und des Wachsthums der Samenmutterzelle 109, III. Periode der Reifung und der letzten Thei-lung, Verhalten der Chromosomen 110, Reductionstheilung 112, IV. Periode der Umwandelung der Sper-matide in Spermatozoen 114, ami-totische Theilung im Hoden, Zelle und Kern, Bedeutung 115.

Gürtelthier - Xennurus gymmurus.

Gyrodactylus elegans von Nord XXXIX, 334, Mund, contractile Blase, ungeschlechtliche Fortpflanzung 336. in Gasterosteus aculeatus 336.

Haar und Haarbalg, Beiträge zur Histologie XXXI, 32, Litteratur 32, Methode 34, Haarbalg, Faserschichten, Glashaut 36, Schichtung, Pa-pillen, Verhalten zu Epithelzellen der Wurzelscheide 37, Wurzeln 38, Kern der Glashaut, Vergleich mit Schleimdrüsen 39, äussere Haarwurzelscheide, Epithel 41, Verhalten zum Bulbus pili 42, Marksubstanz des Haares, Litteratur 43, Haarpapille, Basalzelle 45, Markzelle, Bedeutung 46, Rindensubstanz, Oberhäutchen, innere Wurzelscheide, Henle'sche Schicht 47. Bedeutung 48.

Neubildung nach Epilation XXXVI, 528, Vorbereitung, Mitose der Follikelzellen 533 (période prégerminale), Bindegewebszelle 534, Anlage des Haarschaftes 535, der neuen Haarpapille 537, Verhalten des Bindegewebes zur alten Papille 537, 542, Entwickelung 538, Matrix 539, Henle'sche Schicht, Anlage 540, Körnerschicht 548, Zona lucida 544. äussere Wurzelscheide 541, innere Wurzelscheide 543, 549, Cuticula 543, Huxley'sche Schicht 544, Ver-hornung 545, Zona fusca 548, Pigmentkörner 549, Pigmentirung und Muskelbildung 551.

-, erste Anlage XL, 518, Beziehung zum Meckel'schen Knorpel 520.

- von Halmaturus rufus XXXI, 502.

Haarbalg, Beitrag zur Histologie XXXI, 32, 36, Litteratur 32, Methode 34, Faserschicht, Glashaut 36, Papille 37.

--, Bau XXXI, 37, 45, Basalzelle 45,

Markzelle, Bedeutung 46.

Haar papille, neue Anlage nach Epilation XXXVI, 537, Verhalten des Bindegewebes 537, 542.

Haarschicht nach Epilation, Anlage XXXVI, 535, Entwickelung 538.

Hackenwürmer - Acantho-

cephali.

Häher, Farbe der Federn, Beziehung der Schleimzelle zur Blaufärbung XXXV, 75.

Häminkrystalle des Blutes bei Mollusken, Pectunculus XXXVII, 46, bei Pellina baltica 81, Pecten varius 84.

Hämoglobin bildung der Erythroblasten XXXVIII, 588, Beziehung zum Blutplasma 589.

Häring - Clupea harengus.

Halbaffen, Uterusmuskulatur XXXVIII, 78.

Halbmonde, Gianucci'sche der Schleimzellen der Cowper'schen Drüsen des Menschen XXXIX, 48.

Halcyon semicoerulea, Farbe der Federn, Irenetypus XXXV, 77.

Halmaturus giganteus, Papilla foliata, Schleimhautfurchen XL, 18.

rufus, rothes Hautsecret XXXI. 500, Haare 502, Drüsen 503.

Hals, Pau der Oberhaut XXXVII, 168, 167.

Hammel, Nasenknorpel, über pericelluläre und intracelluläre Ablagerungen XXXIV, 409.

Hamster - Cricetus.

Handrücken, Bau der Oberhaut XXXVII, 169.

Harnblase, Epithel XXXV, 389, Litteratur, Methode.

-, Anlage bei Crocodilus biporcatus XXXVI, 449.

—, erste Anlage beim Menschen, Verhalten im intrauterinen Leben XXXVII, 644.

Harncanälchen, Anlage beim Menschen XXXIV, 276, 363, Entwicke-

lung 365.

Harnröhre, männliche, über das Vorkommen von Nerven-Endkör-perchen XXXI, 22, Untersuchungsmethode 24, Nervenverlauf, Verbindungen verschiedener Nervenfasern 25, Lage der Körperchen 26, Anzahl, Form, Grösse, Verbindung mit Nerv 27, Verhalten der Henle'schen Scheide, Kapsel 28, Bedeutung als Krause'sche Endkolben 29, Nervenendigung, Ganglien in der Mucosa der Pars pendula urethrae 30.

Hase - Lepus.

Häutungsschicht der Epidermis bei Kröte und Salamander XXXIV,

Hauptausführungsgang der Speicheldrüse, intima, adventicia, muscularis XXXIX, 608, Epithelzelle

Haushahn — Gallus domesticus.

Haut, Protoplasmafaserung der Cylinderzellen XXXIX, 145.

von Lumbricus, Beziehung zu sensiblen Nervenfasern XXXIX, 127, Vergleich mit Vertebraten 128, 133.

· 'von Neunauge, kolbenförmige Zellen der Epithelschicht XXXVIII,9.

- von Petromyzon fluviatilisXXXIV, 106, Methode 107, Basalmembran, Corium, Epithelschicht, Epithelzelle 109, mit Kern, Fortsatz, Cuticula, Ersatzzelle, Nervenzelle 110, Kolbenzelle, Bedeutung als Nervenelemente 112, Endothelzelle 114, Hautnerven mit Ganglienknoten 117, Körnerzelle 118, Bedeutung, Fortsätze 119, Hautgrübchen 120, Zelle, Bedeutung 122.

- behaarte, Bau der Oberhaut

XXXVII, 167.

- unbehaarte, Verhalten der Oberhaut XXXVII, 162, Drüsenleiste, Falten, Functionsfalten.

Hautgrübchen von Petromyzon fluviatilis XXXIV, 120, Zellen 122. Hautschicht bei Distomum cylindraceum Zed. XXXVI, 173.

· von Mermis ingrescens Duj. XL, 498.

Hautsecrete, neue bei Säugern XXXI, 499, rothes bei Halmaturus rufus 500, Haare 502, Drüsen 503, bei Cephalolophus pygmaeus 507, Lage der Drüse 511, beim Weibehen 513, tubulöse 515, Zellen 516, acinöse 517, Zellen, beim Männchen 518, tubulöse und acinöse 520, Drüsen bei Nasotragus moschatus, Pediotragus tragulus, rufescens, Scopophorus scoparius, montanus 527, Calotragus melanotis, Neotragus hemiprichianus, Tetraceras quadricornis 528, Bedeutung 532, Ursprung 538.

Hecht - Esox lucius. Helioamoebae XXXVIII, 12. Heliozoa XXXVIII, 12.

 beschalte XXXVIII, 16. Helix hortensis, Nervenzelle, Borstenbesatz XXXVII, 126.

— nemoralis, Nervenzelle, Borstenbesatz XXXVII, 126.

pomatia, Zelltheilung Samenbildung XXXIII, 134.

— —, Mucingehalt des Fusses XXXVI, 331.

 Reductions theilung XL, 118.

Helminthenlarven, Beobachtungen XXXIX, 325.

Herz, zur Lehre über das Nervensystem XXXVI, 483, Litteratur, Methode 486, Nerven beim Frosch, Bidder'scher Knoten 491, Nervenzelle, Remak'scher Knoten, Ludwig'scher Knoten 493, Beziehung zu Nerven 494, Structur, Form, Kern 495, Fortsätze 496, Richtung 498, Nervensystem bei Emys caspica, Verlauf der Nerven 499, Vertheilung der Nervenzellen, desgl. bei Eidechse, Phrynocephalus helioscopus, Tritonen, Triton cristatus 501.

- von Argulus foliaceus XXXIII, 29.

des Menschen, körniges Pigment XXXIV. 463.

der Säuger, zur Entwickelungsgeschichte XXXIII, 284, Material und Methode bei Lepus cuniculus 288, jüngster Embryo, äussere Form 291, Inneres 293, Ostium interventriculare 295, 319, Veränderung bei Eintritt der Nackenbeuge, Ca-nalis auricularis, Auftreten 295, Veränderungen 320, Vorhofsack 296, Lungengekröse 294, 296, 313, Sinus venosus 297, 302, 304, 314; von Nackenbeuge bis Kopflänge von 6 Mill. 298, Auriculae cordis, Anlage 301, Ductus Cuvieri 303, 317, Valvula venosa dextra et sinistra 305, Septum spurium 306, 312, Spatium interseptale s. intervalvu-lare 307, Septum spurium 306, 308, Ostium atrioventriculare 309, Ostium secundum 311, Foramen ovale 312, Vena omphalomeseraria, Beziehung zum Lebergewebe 315; Vena hepatica 316, Trabeculae carneae, Entstehung 322, Arteria pul-monalis und Aorta, Bildung 324, definitive Ausbildung 325, Septum spurium 527, Valvula Eustachii 329 et Thebesii 329, 332, Isthmus Vieussenii 331, Musculi pectinati, Lungenvenen, Einmündung bei Nagern und Mensch 334, Ventrikel, definitive Ausbildung in den Arterien 336, Conus arteriosus 339, Atrioventricularklappe 340, beim Menschen 442, Litteratur und Kritik 344, Valvula foraminis ovalis bei Ormithorrhynchus, Echidna 360, Myrmeiophaga tridactyla 361, Physiologie 365, foetaler Kreislauf 368. von Torpedo ocellata, I. Anlage

XXXIX, 80. Herzkörper von Stercutus niveus n. sp. XXXI, 485.

Herzmuschel — Cardium edule.

Heterocope salinus, Reductions-theilung XL, 117.

Heterophrys marina XXXVIII, 15. Hilus fasciae dentatae Cornu Ammonis XXXIX, 620.

Hinterhorn des Rückenmarks der Maus, solitäre Nervenzellen XXXIII,

- des Rückenmarks, Bau XXXIV, 182.

Hinterstrang des Rückenmarks der Maus XXXIII, 111.

Hinterwurzeln des Rückenmarkes

der Maus XXXIII, 108, in der medialen 109 und lateralen Partie

-desRückenmarkes.VerlaufXXXIV. 157, Material, Litteratur 159, mediale Gruppe 163, 165, Einstrahlungszone 165, 166, mittlere Gruppe, laterale Gruppe 163, Burdach'sche Stränge, Verlauf 165, Eintheilung und Be-ziehung zu Gliasepten und Markscheidenentwickelung 166, Zeit 172, Endigung in Vorderhörnern 168, Beziehung zu Clarke'schen Säulen 169 und deren Zellen 170, Beziehung zur vorderen Commissur 171, zur hinteren 172, bei Katze 173, Kaninchen, Meerschweinchen 174, Maus, Mensch, Längsbündel 175, Verlauf und Zusammensetzung 177, Katzen 180, Kaninchen und Meerschweinchen 181, Hinterhörner, Bau 182, hintere Commissur 184, bei Maus 185, Stützgewebe 189, Substantia gelatinosa, Zelle 191, bei Hund, Katze, Meerschweinchen 194, Maus 195.

- des Rückenmarkes bei Anguis fragilis, mediale und laterale Partie

XXXVIII, 162.

- des Rückenmarkes bei Tropidonotus natrix, mediale, mittlere und laterale Partie XXXVIII, 164.

- des Rückenmarkes höherer Vertebraten, Beziehung zum Vorderstrang

XXXVIII, 171.

Hippocampus, Flossenmuskel, Bau XXXII, 223, Methode 235, Muskelsäulchen 238, Kern 239, Querschnitte, Sarcoplasma, Anordnung und Vergleich mit Muskeln der Fliegen 239 und Crustaceen, Maja squinanda 241, Vergleich mit den übrigen Muskeln 242, Längsschnitte 243, Untersuchung im polarisirten Licht 249, Litteratur 250.

, Flossenmuskel, Bau XXXVII, 682.

Hirn bei Petromyzon Planeri, Anlage

XXXV, 487, 491.

Hirnbalken, zur Entwickelung und feineren Anatomie XXXVII, 1, Litteratur, beim Schwein, Balkenbündel, Auftreten 6, Verhalten der sub-epithelialen Zellenschicht 7, beim Menschen 9, Antheilnahme der Hemisphärenschichten an der Bildung 10, Pyramidenzellen, Vorkommen 11, Fasciolae cinereae 12, graue Substanz, Aenderung 11, bei Affe, Schwein, Kaninchen, untere Fläche 13, graue Substanz 14.

—, Entwickelung beim Menschen

XXXVII, 289, erste Anlage 317. Hirundo, Spermatozoen XXXII, 424.

rustica, Spermatozoen XXXII,

424.

Hoden, Beiträge zur Histologie, Methode XXXIV, 58 bei Salamandra, Entwickelung des Mittelstückes und des Flossensaumes der Spermatozoen 61, Verhalten des Kernes, Nebenkörper, Bau und Bedeutung 62, Schwanzfaden, Bedeutung und Ursprung 66, Ursprung des Neben-körpers 67, Maus, der Kern der v. Ebner'schen Spermatoblasten 69, Kernkörperchen, Bau 71, - der Maus, histologische Beschaffenheit der Drüsenepithelien, Spermatogonien, Bau und Bedeutung 74, Spermatocyten, Bau und Bedeutung 75, Nebenkern 76, Theilungsmodus, Verhalten des Kernes 79, Heterotypie, Polkörperchen und achromatische Spindel, Bedeutung 78, Growing cells, Bau und Bedeutung, Veränderung 75, achromatische Spindel, Bedeutung 78, Spermatide oder Sa-menzelle mit Kern und Nebenkern 79, Spermatogonien, Bedeutung 80, Spermatide, Verwandlung in Spermatozoen, Verhalten des Nucleus und Nucleolus 81, Kopfkappe, Bildung, Spitzenknopf und Schwanzkappe 82, Verhalten des Nebenkerns 83, Beziehung zu Schwanzfaden 84, Schwanzscheide 86, Nebenkern in der Samenzelle des Salamanders und der Maus, Ursprung 87, Beziehung zum Kern, Vergleich mit Centrosom 88, Schicksal 89, von Salamandra, Process der Regeneration 89, Inhalt der Hodencanälchen, Primordialcier, Follikelzelle, Nucleus und Nucleolus 91, indifferente Kernzelle, Bedeutung, polymorphe Kerne, Bedeutung 92, Bildung der Spermatogonien (Ursamenzelle) 95, Stellung der Spermatozoen in den Hodencanälchen, Degeneration 99, Verhalten des Kernes der Spermatocyten 100.

von Argulus foliaceus XXXIII, 36.

- von Astacus fluviatilis, Vorkommen von Eiern XXXIX, 506.

— von Bilharzia haematobia XXXI, 215.

- von Distomum cylindraceum Zed. XXXVI, 180.

Gordius tolosanus Duj. von XXXIV, 262, Spindelzellenepithel 262.

von Gryllotalpa vulg. Latr., amitotische Theilung XL, 115, Zelle

und Kern, Bedeutung.

— von Lepidopteren, Samenbildung und Zelltheilung XXXIII, 192, Spermatocyten, Theilung 193, Richtungsspindel, Theilung 194, Richtungskörperchen, Bildung 195, Centrosom, Lage 196, Nebenkern, Bedeutung 197, Veränderung der Sperting matocyten 198.

der Maus, postfoetale Histiogenese bis zur Pubertät XXXIV, 429, Litteratur 431, Follikelzelle 432, Kern und Karyokinese, Spermatozoen 433, Veränderung bei Eintritt der Pubertät 434, 435, Sporenbildung 435, Auftreten der Spermatiden 436.

beim Menschen, Anlage XXXIV,

329.

-, körniges Pigment XXXIV, 468.

- bei Phylline Hendorffii XXXIII, 170, Zellen, Mutter- und Tochterzelle.

Hodencanälchen vom Salamander, Inhalt XXXIV, 91, Stellung der Spermatozoen 99.

Hodenröhre bei Ascaris megalocephala XXXVI, 6, Keimzone 6, Inhalt, Rhachis 9, Rhachislamelle, Anordnung 11, Zellsäulen 11, Ursamenzelle, Verhalten der Kerne, Unterschied zwischen Ascaris univalens und bivalens 12, Hodenzwischenkörperchen, Wesen 14, 22, Wachsthumszone 7, Inhalt, Samenmutterzelle, Kern 18, Veränderung 21, Reifezone 7, Inhalt, Vorstadien der I. Theilung der Samenmutterzelle bei univalens, Kern, Verhalten des Chromatins 23, Nucleolus 28, Pol-körperchen 29, desgl. bei A. bivalens, Samenzelle, Kern, Chromatin 30, Nucleolus, Polkörperchen 33, Verlauf der I. Theilung bei A. univalens, Samenmutterzelle, Kern 37, Theilung 39, desgl. bei A. bivalens, Theilung der Samenmutterzelle 40, III. Theilung der Tochterzelle, Verhalten des Chromatins 43, der Polkörperchen 44.

Hodenzwischenkörperchen

bei Ascaris megalocephala, Wesen XXXVI, 14, 22.

Höhle, subgerminale des Dotterorgans, Zellenstränge bei Schlangen XL, 61, Schildkröten 62.

- im Dotterorgan von Lacerta, streifig geronnene Massen XL, 74. Höhlenente - Tadona vulpanser. Hornhaut - Cornea.

Hormiphora, Epithel, Drüsenzelle, Körnchen XL, 173, an den Ruder-plättehen 175, in der Trichterebene

, Otolith mit Kern XL, 181, Epithelzelle der Wimperrinne 183.

-, zur Histologie XL, 184, Ruderplättehen, Verbindungsfasern 186, Basis der Tentakel 189, Axenstrang 196, Tentakelepithel 197, Veränderungen 202, Elemente der Gallerte, circuläre Muskeln 223.

Hornschicht der Epidermis von Kröte und Salamander, Zelle XXXIV, 16, Becherzelle 19, Kern, Bedeutung

22 und Neubildung 24.

Hühnervögel — Ğallinacea. Hufthiere, Uterusmuskulatur XXXVIII, 74.

Huhn — Gallina. Hund — Canis domesticus.

, fliegender - Pteropus. Hundshai - Scyllium canicula.

Hyaline cellaria, als Wirth von Mermis Hyalinae XXXVII, 245.

Hydra, Umkehrungsversuche XXXVI, 627, intermediäre Zelle, Bedeutung

635, Regeneration 637.

fusca, zur Histologie mit besonderer Berücksichtigung der Hydropolypen XXXV, 321, Methode 322, Ectoderm 325, Epithelzelle, Epithelmuskelzelle 326, Secretion, Kern 327, Deckzelle 328, Theilung 329, Cuticula 328, Secretzelle 330, Nesselzelle, Nesselkapsel, 332, Cnidocil 334, Muskel 335, Stützlamelle 336, Lagerung 337, subepitheliale Zelle, Ganglienzelle 339, Kern und Fortsatz 340, Beziehung zur Mus-kelzelle 341, Bildungsformen 349, Spermazelle 343, Bildungsform 350, indifferente Zelle und Umbildung 344, Nesselkapselbildungszelle 345, Entoderm 351, Epithelzelle, Nährund Muskelzelle 352, Drüsenzelle 354, Sinneszelle 356, Nährzelle mit Nesselkapsel 357, subepitheliale Zelle, Ganglienzelle 358, indifferente Zelle, Stützlamelle 359, Allgemeines 368, Beziehung zwischen Deck- und Nesselzelle 371, Sinneszelle des Ectoderm (?)

373.

grisea, Mechanik des Trembley'schen Umstülpungsversuches XXXVII, 546, Mund- und Fussumbildung 546.

Hydrophilus piceus, Nebenkern in den Malpighi'schen Gefässen XXXIII, 182.

-, Reductionstheilung XL, 117.

Hydropolypen, zur Histologie XXXV, 321.

Hymen, erste Anlage beim Menschen XXXIX, 651.

Hypodermis von Gordius tolosanus Duj. XXXIV, 254.

Hypomer der Selachier, Bedeutung XXXIII, 464.

Hypophysengang, Beziehung zum Recessus pharyngeus medius XXXII,

Hystrix, Mark als Glutinbildner XL, 320.

- cristata, Papilla vallata XL, 11, Verhalten des Ausführungsganges 16.

Idant, Bedeutung für Spermato-genese XL, 105.

Ide, Bedeutung für Spermatogenese

XL, 105.

Idotea tricuspidata, nucleoläre Kernhalbierung in der Mitteldrüse XXXIX, 22, Drüsenzelle mit Kern und Kernkörperchen 23.

Igel - Erinaceus.

Iltis — Lutra vulgaris.

Ilybius fuliginosus mit Larve von Distomum cylindraceum Zed. XXXVI, 188.

Imprägnationsmethode, neue der Gewebe mit Methylenblau XXXIII, 440.

Injection, kalte mit chinesischer

Tusche XXXI, 565. Injectionsmechanik,

XXXVIII, 411.

Innenkolben der Nervenendkörperchen in der Cornea und Conjunctiva des Menschen XXXVII, 607.

Insecta, Malpighi'sche Gefässe, directe Kerntheilung XXXIII, 145.

—, Mitteldarm, nucleoläre Kern-halbierung XXXIX, 21.

Integument von Argulus foliaceus

XXXIII, 1, 3, Matrix, Zelle und Kern 5, Drüsen 7, Contractilität, Pigment 8.

von Argulus foliaceus, Umbildung XXXIII, 41.

- von Lumbricus XXXIX, 103. Intercellularsubstanz des Hyalinknorpels, Beziehung zu Knorpelzellen XXXIV, 421.

Intima der Speicheldrüsen XXXIX, 607, des Hauptausführungsganges

608.

Inuus cynomolgus, Harder'sche

Drüsen XXXVI, 199.

nemestrinus, Bau der Placenta, Gehalt an mütterlichem Blut in den intervillösen Räumen XXXV. 13, 49.

Invaginate Eye, Bedeutung XXXIII,

386.

Irene malayensis, Farbe der Federn, Irenetypus XXXV, 77.

Isthmus Vieussenii des Herzens beim Kaninchen XXXIII, 331.

Käfer — Coleoptera.

Känguruh - Halmaturus.

Riesen- - giganteus. Kalb, Nervus hypoglossus, Ursprung und Verlauf in der Medulla oblongata XXXI, 56, Kern, Zelle, Wurzelfaser 57, Kranzfaser 58, accessorischer Kern 59, Verbindungsfasern (fibrae propriae N. hypoglossi), Commissurfasern der beiden Kerne 60.

-, Uterusmuskulatur, Verhalten der Tube XXXVIII, 75, subseröse Muskelschicht 76.

-, Glandula carotica, Lage und

Form XL, 295. - Pecten.

Kernmuschel -Kaninchen — Lepus cuniculus. Kapsel der Gland. carotica beim

Menschen XL, 298.
— der Milz XXXVIII, 349.

der Nervenendkörperchen der männlichen Harnröhre XXXI, 28.

der Spinalganglienzelle beim Pferd XXXI, 227, Endothel, Beziehung zur Henle'schen Scheide.

der Urniere beim Huhn XXXVIII, 513.

- Malpighi'sche, Beziehung zu Urnierencanälchen beim Menschen XXXVI, 164.

Karpfen - Cyprinida, Cyprinus

carpio.

Karpfenlaus - Argulus.

Karunkeln der Schleimhaut des Uterus beim Schaf, Pigmentation 36, 510.

Karyokinesis des Pronucleus von Ascaris megalocephala bei Befruch-

tung XXXI, 582.

und ihre Beziehungen zu den Befruchtungsvorgängen XXXII, 1, 6, 60, Kerngerüst, Verhalten zur Regeneration 9, Kernkörperchen 10, Kernsaft 11, Kernhöhle 12, Theorie der Zelle 13, Chromosomen, Bedeutung, Kernspindel, Bedeutung 27, Polarstrahlungen, Sphères attractives 31, Kernsaft, Verhalten 34 amitotische Theilungen 38, Verhalten der lymphoiden Zellen 41, Beziehung zwischen direkter und indirekter Theilung 44, Zelltheilung 51, Richtungskörperchen, Bildung 70, Pronucleus, Bildung 78.

der Knorpelzellen an der Ossificationsgrenze XXXII, 217.

— der Knochenbildungszelle bei Ossification des Unterkiefers XXXII, 298.

des Pronucleus der Eizellen des Spulwurmes vom Hund XXXIV, 404.
 der Spermatogonien von Astacus fluviatilis XXXIX, 521.

Karyomerit des Eies von Petromyzon Planeri XXXII, 648.

Karyosom der Epithelzelle des Darmes von Ascaris mystax XXXI, 298.

der Eizelle des Spulwurmes vom Hund XXXIV, 399.

Katze - Felis domestica.

Katzenhai — Scyllium catulus.

Kaulbarsch — Acerrina cernua.

Kaulkopf - Cottus gobio.

Keim der Ersatzzähne beim Menschen XXXVIII, 463.

Keimbläschen des menschlichen Eies XXXI, 361, Kerngerüst, Kernkörperchen 362, bei Reife 406.

— des Eies von Aulostomum gulo XXXII, 205, Veränderung der Membran 209.

des Eies von Petromyzon Planeri XXXII, 624.

— bei Ascaris marginata, Veränderung bei Reifung XXXII, 673, Verhalten des Kernes 675.

— Verhalten bei Follikelatresie des Chromatins XXXVII, 205, 215.

Keimblatt, mittleres, Entstehung, Beziehung zur Urmundtheorie XXXIX, 429. Keimcentren der Milz, Verhalten der Capillaren XXXVIII, 391.

Keimepithelwulst beim Menschen XXXIV, 279.

Keimfleck des menschlichen Eies, Bewegungen XXXI, 407.

des Eies von Aulostomum gulo XXXIII, 205.

Keimlager der Milz, Beziehung zu arteriellen Endigungen XXXVIII, 273, Malpighi'sche Körperchen 276, Bildung, Verhalten der Arterien, der Adventicia 384 und Pulpa 389, Capillaren der Keimcentren 391, des reticulären Gewebes 392, Saftlücken und Lymphgefässe 394, Vorkommen bei der Spitzmaus 396.

Keimnetz bei Spermatogenese der

Säuger XXXI, 253, 256.

Keimplasmatheorie von Weismann XXXVI, 86.

Keimscheibe bei Anguis fragilis, Bau XXXIX, 218, Dotter 219, Kern 221.

von Lacerta viridis XXXIX, 275.
 von Tropidonotus natrix, Dotter XXXXIX, 231, Gruben, Ursprung 267.

Keimschlauch von Distomum cylindraceum Zed. XXXVI, 188.

Keimstock bei Distomum cylindraceum Zed. XXXVI, 181.

Keratin, ein Glutinbildner XL, 320. Kerbthiere — Insecta.

Kern, Verhalten bei Befruchtung XXXII, 9, zu Reagentien 9.

—, amitotische Fragmentierung mit nachfolgender Abschnürung der Zelle XXXVII, 7, 14.

--- des Accessorius vagus, Beziehung zum Kern des Nervus hypoglossus beim Menschen XXXI, 68.

— farbiger Blutkörperchen bei Mollusken XXXVII, 49, Arca tetragona 50.

rother Blutkörperchen bei Pectunculus glycimeris XXXVII, 83.

542.

— der grünen Drüse des Flusskrebses XXXI, 98.

— der Mucindrüsen der Speicheldrüsen XXXIX, 603.

—, durchlöcherte im Blasenepithel von Salamandra XXXIV, 438.

-der Erythroblasten XXXVIII, 532.

der Erythrocyten der Milz

XXXVIII, 443.

geflammter bei Periplaneta orientalis, Bedeutung XXXVII, 118. - des interstitiellen Gewebes der Ctenophora, Beroe XL, 159.

der Glashaut des Haares

XXXI, 39.

der Gregarinen bei Conjugation und Sporenbildung bei Monocystis magna und agilis XXXVII, 106, Kernkörperchen 107, Beziehung zur Conjugation 108, bei Periplaneta orientalis 117, Klossia 127.

der Keimscheibe bei Anguis

fragilis XXXIX, 222.

des Keimbläschens von Ascaris marginata, Veränderung bei Reifung XXXII, 675.

der Keimscheibe von Tropidonotus natrix XXXIX, 237.

von Leidyonella cordu-

bensis XXXVIII, 211.

der Leucoblasten, Verhalten gegen Platinchlorid XXXVIII, 555.

- der Leucocyten beim Salamander, mitotische Theilung XXXVII, 257.

- der Membrana Descemetii, Veränderung bei Theilung und Entzündung XXXI, 444, Chromatingerüst 445.

der Membrana propria bei Spermatogenese der Säuger XXXI,

der Muskelfasern der Cepha-

lopoden XXXIX, 293. — der Muskelsäulen der Muskeln des Seepferdchens XXXII, 239. desNervushypoglossusinder Medulla oblongata beim Kalb XXXI, 57, Zelle 57, Commissurfasern 60.

- polymorphe im Hoden von Salamandra, Bedeutung XXXIV, 92.

ringförmige der Leucocyten,

Beziehung zur direkten Fragmentierung XXXVII, 277, 285. — der peripheren Nerven, Ver-

änderung bei Regeneration XXXVI, 591.

der Otolithen der Ctenophora XL, 184. Beroe, Hormiphora, Callianira 181.

Theilung durch indirekte Fragmentierung in der lymphatischen Randschicht der Salamandrinenleber XXXVII, 375, 381, Theilungsvorgang 388, Verhalten des Chromatins 387.

- des Rückenmarkes der Tri-

tonen XXXIV, 150.

der Schwann'schen Scheide, Verhalten bei Nervendegeneration beim Kaninchen XL, 409, Methode 412, Mitosis 414.

der Spermatiden von Alcyo-

nella fungosa XXXI, 336.

der Maus XXXIV, 79, 81.

von Salamandra maculosa, Verhalten XXXI, 79, Chromatin, Verhalten der Kernmembran 81, Mittelstück 83.

der Spermatoblasten der Maus XXXIV, 69, Kernkörperchen 71.

der Spermatocyten der Maus, Theilung XXXIV, 77, Verhalten bei Degeneration 100.

von Salamandra XXXVII, 571, Proteus anguineus

584.

der Spermatozoen von Salamandra XXXIV, 62.

von Trichodina sp.XXXIII,404. der Ureier von Ascaris megalo-

cephala XXXVI, 56.

, vacuolärer in den Zellen der Mammilla bei der Entwickelung XXXVII, 156.

amöboider Zellen im Blute der Mollusken XXXVII, 72 mit Kernhöhle 74, Beziehung zwischen Kernund Zellmembran 75.

der Becherzellen der Zungenpapillen von Anguis fragilis XXXVIII,

196.

der Zungenpapillen von Pseudopus Pallasii, Verände-rungen bei intensiver Secretion XXXVIII, 226, Vacuolenbildung.

des Dünndarmepithels

XXXI, 124.

der Hornschicht der Epidermis von Kröte und Salamander XXXIV, 19.

der becherförmigen Zellen der Drüsen des Geruchsorgans bei Neunaugen XXXVIII, 12.

-rother Blutzellen bei Salamandra maculata bei Theilung XXXII, 605, Chromatin 606, loser und enger Knäuel 607, Sternfigur, Längsspaltung 608.

Doppel- der Zellen der Mitteldarmdriisen von Carcinus maenas

XXXIX, 9.

- der Drüsenzellen der Drüsen des Magens von Alligator XXXIV, 9.

- der Mitteldarmdrüsen von Idotea tricuspidata XXXIX, 23. der Mitteldarmdrüsen

der Amphipoda XXXIX, 25.

der Ctenophora XL, 201.

- der Eizelle des Spulwurmes vom Hund XXXIV, 398, Kernkörperchen. - der Epithelzelle des Darmes von Ascaris mystax XXXI, 297 mit Kernkörperchen, Karyosom 298.

- des Darmes XXXIII, 259.

- der Giftdrüsen bei Kröte und Salamander XXXIV, 44. - der Haut von Petromyzon fluviatilis XXXIV, 110.

der Schleimhaut des Rectum bei Kaninchen XXXIII, 218. - der Harnblase XXXV, 393.

---, Mitosis und Protoplasmafaserung XXXIX, 148.

der Epithelmuskelzellen von

Hydra fusca XXXV, 327.

der Fermentzellen der Mitteldarmdrüsen von Carcinus maenas XXXIX, 7.

der fetthaltigen Zelle der Mitteldarmdrüsen von Carcinus

maenas XXXIX, 17. — der fixen Zellen der Blutzellenbildenden Organe XXXVIII, 538, 542.

- der Follikelzelle im Hoden

der Maus XXXIV, 433.

— der Ganglienzellen von
Hydra fusca XXXV, 340.

- der sympathischen Ganglienzellen, Veränderung je nach Ruhe oder Reizung XL, 388.

— der Zellen der Glandula

carotica beim Menschen XL, 312. – der Hodenzellen von Paludina vivipara und Helix pomatia XXXIII, 134, 142.

- von Gryllotalpa vulg. Labr., amitotische Theilung, Bedeutung XL, 115.

-der Zellen des Integumentes von Argulus foliaceus XXXIII, 5.

- der Körnchenzelle im Dünndarmepithel XXXI, 181.

– der Knochenbildungszellen des Unterkiefers XXXII, 338.

— der Knorpelzellen an der l

Ossificationsgrenze, Veränderungen

XXXII, 218.

— der Leberzellen, Vermehrung

bei Rückbildung XXXV, 95.

— der Lymphzellen des Kaninchens, Einfluss von Platinchlorid XXXVIII, 524.

der Markzellen der Blutzellenbildenden Organe XXXVIII, 562.

— der Zellen der Membrana Descemetii beim Frosch, Verhalten bei Theilung XXXIII, 159.

der Nervenzelle des Herzens beim Frosch XXXVI, 495. des Rückenmarkes

XXXVIII, 281.

- der Zelle des Ovariums bei Phylline Hendorffii XXXIII, 172.

der Pigmentzellen von Salamander, Theilung XXXV, 281. der Protoplasmazellen der

Duodenaldrüsen bei der MausXL,348. der Riechzellen des Geruchsorganes beim Menschen XXXVI, 383, Verhalten gegen chemische und thermische Einflüsse und Farbstoffe.

der Samenmutterzellen der Hodenröhre bei Ascaris megalocephala XXXVI, 18, Veränderung 21, Vorstadien der I. Theilung bei A. univalens 23 und bivalens 30, Verhalten des Chromatins 23, 30, des Nucleolus 28, 33, des Polkörper-chens 29, 33, Verhalten bei der I. chens 29, 33, Verhalten bei der I.
Theilung 37, 39, bei bivalens 40.
— der Samenzellen von Sala-

mander und Maus, Beziehung zum Nebenkern XXXIV, 88.

der Schleimzellen der Schleimhaut des Magendarmeanales bei Triton, Mitosis XL, 365.

— der Sehzellen des Fächerauges von Arca Noae XXXIII, 382.

der Sertolischen Zelle XXXI,

- —, Veränderungen XXXI, 272, bei Spermatogenese der Säuger.

der sternförmigen Zellen der Capillarscheiden der Leber der Katze

XXXVI, 214.

der kleinen, sternförmigen Zellen der inneren Körnerschicht der Retina des Menschen XXXVIII, 328.

der Stützzellen des Geruchsorganes des Menschen, Verhalten gegen chemische und thermische Einflüsse und Farbstoffe XXXVI, 383.

- der Zelle der Urniere beim Hühnchen XXXVIII, 515.

- der verästelten Zelle des Epithels von Beroe XL, 160.

Kernform der Leucocyten XXXVII, 249.

Kernfragmentierung bei Leucocyten XXXVII, 274.

Kerngerüst des menschlichen Keimbläschens XXXI, 362 bei Reifung 406. - bei Befruchtung XXXII, 6.

Kernhalbierung, nucleoläre XXXIX,1, in der Mitteldarmdrüse von Carcinus maenas, Fermentzelle, Kern, Secretblase, Verhalten 7, Zelle mit Doppelkern 9, mit Kern und Kernkörperchen 10, fetthaltige Zelle mit Kern und Kernkörperchen 17, im Keimepithel, im Mitteldarm der Insekten 21, der Mitteldarmdrüse von Idotea tricuspidata 23, Drüsenzelle mit Kern und Kernkörperchen 23, Mitteldarmdrüse der Amphipoden, Drüsenzelle mit Kern 25.

Kernhöhle, Beziehung zur Befruch-

tung XXXII, 12.

der Kerne amöboider Zellen im Blute der Mollusken XXXVII, 74.

Kernkörperchen des Kernes der Epithelzelle des Darmes von Ascaris mystax XXXI, 298.

des menschlichen Keimbläschens

XXXI, 362.

-, Verhalten bei der Befruchtung XXXII, 10.

--, über eine eigenthümliche Kolbenform XXXII, 474 (Nucleoli claviformes) in der Magenschleimhaut von Salamandra maculata.

der Spermatoblasten der Maus

XXXIV, 71.

der Eizelle des Spulwurmes XXXIV, 398.

- der Follikelzelle im Hoden der Maus XXXIV, 433.

- der Gregarinen bei Conjugation und Sporenbildung bei Monocystis magna und agilis XXXVII, 107, Bedeutung 108, bei Periplaneta orientalis 117.

- der Zellen mit Doppelkern der Mitteldarmdrüse von Carcinus mae-

nas XXXIX, 10.

der fetthaltigen Zellen der Mitteldarmdrüse von Carcinus maenas XXXIX, 17.

der Drüsenzellen der Mitteldarmdrüse vonIdotea tricuspidataXXXIX, 23.

Kernmembran der Spermatide von Salamandra maculosa XXXI, 81, Verhalten zum Mittelstück 83.

der lymphoiden Zellen der Milz, Verhalten bei Theilung XXXI, 554,

bei der weissen Maus.

· des Kernes amöboider Zellen im Blute der Mollusken, Beziehung zur Zellmembran XXXVII, 75.

Verhalten bei Zelltheilung XXXVII, 724 bei Spermatocyten von

Salamandra 731, 739.

Kernsaft, Verhalten bei Befruchtung XXXII, 11, 34.

Bedeutung bei Zelltheilung XXXVII, 733.

Kernspindel, Bedeutung XXXII, 21. --, zur Entstehung in Gewebszellen des Salamanders XXXVII, 715, I. Anlage und Entwickelung 722, Spaltung der Chromosomen.

Kernsprossung, Beziehung zur Entstehung des Nebenkernes im Pan-creas XXXIII, 184, 189. Kerntheilung im Endothel der ent-

zündeten Hornhaut XXXI, 426, atypische Kerntheilung 429, Obatypische Kerntheilung 429, Objecte, Methode 435, in der Membrana Descemetii 441, Veränderung des Kernes 444, Chromatingeriist 445, Phasen der Theilung 450.

— der Milz XXXI, 541, Methode

543, bei der weissen Maus 541.

im lockeren Bindegewebe der weissen Ratte XXXII, 137.

der Wanderzellen der Capillaren bei Salamanderlarven XXXV, 275. der Pigmentzellen von Salaman-

der XXXV, 279, 281.

der verästelten, intraepithelialen Pigmentzellen bei Salamandra maculata XXXVI, 404, 407, Verhalten des Pigmentes 408.

- bei Klossia XXXVII, 128.

- durch indirekte Fragmentierung in der lymphatischen Randschicht der Salamandrinenleber XXXVII, 375, Litteratur, Ringform des Kerns 381, Theilungsvorgang 383, Verhalten des Chromatins 387, im Blute von Pteropus annectens 389.
- bei Furchung des Eies von Aequorea Forskalea XL, 248, pathologische - und Beziehung zur Eiform 249.
- amitotische im Blasenepithel des Salamanders XXXIV, 437.

--- XXXIX, 19.

- atypische in der entzündeten Hornhaut XXXI, 429, 456.

- direkte, Beziehung zur indirek-

ten XXXII, 44.

in den Malpighi'schen Gefässen der Insecten XXXIII, 145 bei Dytiscus marginalis, Zelle, Form, Nucleolus 146.

- amitotische bei Spermatogenese der Säuger XXXI, 262 bei Zellen der Wandschicht 264.

indirekte, Beziehung zur direkten XXXII, 44.

- in der Membrana Descemetii beim Frosch XXXIII, 161.

- — der Epithelzelle bei Regeneration der Epidermis Schwanzspitzen der Froschlarven XXXVII, 417.

--, amitotische bei Spermatogenese der Säuger XXXI, 258 in der Zelle der Wandschicht 258 und Henle'schen Zelle 259.

- mehrfache in der entzündeten Hornhaut XXXI, 458.

- mitotische bei Regeneration des Rückenmarkes bei Frosch und Tritonenlarven XXXVII, 427.

- bei Regeneration der Muskelfasern XXXVII, 477.

XXXIX, 19.

Kerntheilungsfiguren der Epidermis der Mammilla, Verhalten bei Regeneration XXXVII, 148.

Kerntheilungsvorgang bei der Mesoderm- und Entodermbildung von Cyclops XXXIX, 556.

Kiebitz — Vanellus cristatus.

Kiefer von Chalicodoma muraria,

Anlage XXXV, 149. Kieferanlage der Edentata XL,

Kieferfüsse bei Argulus foliaceus XXXIII, 43.

Kieferwall beim Menschen, Anlage XXXVIII, 453.

Kiemenspalte, Durchbruch bei Torpedo ocellata XXXIX, 91.

Kiementasche von Petromyzon Planeri, Anlage XXXV, 514.

Kittsubstanz der Capillarscheiden der Leber bei Säugern XXXVI, 216. - glatter Muskelfasern XXXVIII, 43.

Klettervögel - Scansores.

Kloake und die drüsigen Adnexa bei einheimischen Tritonen, zur Topographie und Histologie XXXV, 172, Material und Methode 175,

Kloakenspalt, äusserer 180 bei Weibchen und Männchen, Kloakenlippe 180, fadenförmige Papillen 182, Bedeutung 183, Kloakenkammer 187, Kloakenröhre 189, Kloakendrüse 179, 194, Lage, Mündung 195, Histologie 206, Bedeutung 207, Zelle 244.

Klossia, Conjugation und Sporenbildung XXXVII, 127, Kern, Kerntheilung 128, Sporogonien, Sporocysten 129, Sporophor, Sporen 130.

Knochen, chondroide, Bedeutung

XXXII, 300.

Knochenbildung, neoplastische bei Ossification des Unterkiefers. XXXII, 326.

Knochencanälchen, XXXIX, 198.

Knochencement bei Zahnentwickelung XXXVIII, 150, 153 beim Kaninchen, Verhalten des Schmelzepithels 154.

Knochenfische - Teleostei.

Knochenfortsatz des Unterkiefers, I. Anlage beim Frosch XXXII, 294.

Knochengewebe des Menschen, über das Wachsthum und den normalen Bau XXXIX, 151, 197.

Knochengrundsubstanz des Unterkiefers, Bildung XXXII, 338.

Verhalten Knochenlamelle, Anilinfarben und salpetersaurem Silber XXXIX, 201.

Knochenmark, Atrophie der Fett-zellen XXXII, 247 in der Tibia des Huhnes 249, bei Säugern 252.

der Vögel, Bau XXXV, 424, rothe Blutkörperchen, erste Entstehung 430, 440, Venencapillaren, Bedeutung als endovasculäres Organ 435, 462, Methode 437 beim Huhn, Verhalten zum Parenchym 439, Zellen mit Stäbchen in den Venencapillaren 444 mit Körnchen, kleine und grosse Leucocyten 445, Veränderungen nach Aderlass 446, Erweiterung der Venencapillaren, Verhalten des Parenchym, indirekte Theilung der Leucocyten 450, Mitosis der rothen Blutkörperchen 452, Erythroblasten, Färbung, Mitosis 454, Parenchym, Gefässnetz 460, Venencapillaren mit Leucocyten und rothen Blutkörperchen 461.

--, fixe Zellen XXXVIII, 545. --, Markzellen XXXVIII, 563.

- der Taube, Spaltsystem XXXVIII, 568.

--- des Kaninchens, eosinophile Zel-

len XXXVIII, 613, Methode, Analogie mit Granulationen der Blutzellen des Krebses 617.

Knochenmarkeanal beim schen, Bildung XXXIX, 178, Re-

sorption 184.

Knochenrinde, Appositions- und Resorptionserscheinungen XXXIX,

Knorpel des Unterkiefers, Resorption bei Ossification XXXII, 328.

-, zur Kenntniss der Grundsubstanz und der Saftbahnen XXXVII, 492, Material und Methode, Litteratur 497, Verhalten der Knorpel-

zellen 503.

 hyaliner, über pericelluläre und intercelluläre Ablagerungen XXXIV, 408, an dem Nasenknorpel des Hammels 409, Halbmonde, Bedeutung 413, intermediäre Zone 410, elastische Fasern 414, körnige Degeneration 416, Litteratur 417, Knorpelzellen, Betheiligung an der Bildung der Intercellularsubstanz 421, Körner, Bedeutung 416, 422.

-, Einfluss von Thionin XXXVI,

355.

-, intermediärer, Beziehung zum Längenwachsthum des Knochens

XXXIX, 178, 181.

Meckel'scher des Unterkiefers beim Schaf, Anlage XXXII, 294, Grundsubstanz, Entstehung 296, Verhalten zur Knochenbildungszelle, Aufnahme der Kalksalze, Beziehung der Gefässe zu der Ossification 297, Karyokinese 298.

- - Aulage XL, 517, Beziehung

zur Hammeranlage 520.

osteoider, Bedeutung XXXII,

312.

Reichert'scher, Anlage XL, 518, Beziehung zur Steigbügelanlage 523.

Knorpelcanal, Bildung und Bedeutung bei Ossification des Unterkiefers XXXII, 313.

Knorpelgewebe, hyalines des Menschen, über Schrumpfungserscheinungen und deren Beziehungen zu den Fibrillen XXXI, 303, makroskopische Veränderung 306, Alcoholstructur 310, Beziehung zur Knorpelhöhle 313, Verhalten am Rippenknorpel 315 und Epiphysenknorpel 317, Untersuchungsmethode 318, Saftcanälchen 324, Litteraturübersicht und Kritik 325.

Knorpelhöhle, Beziehung zuSchrumpfungserscheinungen des hyalinen

Knorpels XXXI, 313.

Knorpelkern im Unterkiefer, erstes Auftreten im Gelenkfortsatz XXXII, 309, im Kronenfortsatz 315, weitere Entwickelung 318.

Knorpelstab, Regeneration XXXVII, 430, Beziehung zur Chorda 435.

Knoten, Bidder'scher des Herzens beim Frosch XXXVI, 491.

— Ludwig'scher des Herzens beim Frosch XXXVI, 493.

Remak'scher des Herzens beim Frosch XXXVI, 493.

Körnchen der Becherzellen der Zungenpapillen von Pseudopus Pallasii XXXVIII, 205, Bedeutung 209.

- des interstitiellen Gewebes bei

Cestus XL, 169, Hormiphora 173.

— safranophile der Eizelle des Spulwurmes beim Hund XXXIV, 402.

Körner, freie im lockeren Bindegewebe der weissen Ratte, Vorkommen XXXII, 136.

des Hyalinknorpels, Bedeutung

XXXIV, 416, 422.

- des Pancreas von Proteus anguineus XXXIV, 546.

- der Gregarinen, Monocystis magna und agilis, Bedeutung XXXVII, 108. der Muskelfasern von Sepiola

Rondaletii XXXIX, 309. Körnerballen von Trichodina sp. XXXIII, 409.

Körnerschicht des Vorderhirns der Amphibien XXXV, 383.

des Haares nach Epilation XXXVI,

544.

innere der Retina des Menschen XXXVIII, 322, grosse, sternförmige Zelle 324 mit äusserem Fortsatz 325, innerer Fortsatz und Axencylinder 326, kleine, sternförmige Zelle mit Kern, äusserer Fortsatz, Ganglion retinae beim Menschen 322, 328, innerer Fortsatz und Axencylinderfortsatz 329, bipolare Zelle mit äusserem 330 und innerem Fortsatz 331.

Körper, Wolff'scher beim Men-schen, Entwickelung XXXIV, 273,

277, Epithel 279, 281.

der Selachier, Umbildung aus Pronephrosgang XXXIII, 487.

Körperchen, Malpighische des Giraldè'schen Organs XXXIII, 455, Inhalt 457.

-- beim Menschen, Anlage

XXXIV, 369.

— — bei Entwickelung der Ur-niere des Menschen XXXVI, 160, Beziehung zur Malpighi'schen Kapsel 164.

der Milz, Bildung XXXVIII, 376, Verhalten der Arterien 384,

Pulpa 389.

Kolben der Haut von Petromyzon fluviatilis, Bedeutung XXXIV, 112, Endothelzelle 114, Kolbenzelle 115. Kolbenhaar im Gegensatz zu Pa-

pillenhaar XXXV, 60.

Kopf der Spermatozoen von Salamandra maculosa, Bildung XXXI, 78, Verhalten zu Safranin 85.

der Vögel XXXII, 435, 448.

bei Fischen, Raja elavata XXXVI, 230, Stör 235, Perca, Acerrina, Hecht, Karpfen, Zoarces 244, Clupea harengus 248. von Pelobates fuscus XXXVI, 253.

der Amphibien, Triton maculosus XXXVI, 255, Triton

cristatus 257, 258.

- der Reptilien XXXVI, 272, Vipera berus, Anguis fragilis. von Tropidonotus natrix, Beziehung zur Bildung des Spermakernes XXXIX, 254.

--- von Torpedo ocellata, Anlage der Organe XXXIX, 91.

Kopffüsser - Cephalopoda.

Kopfhaut, Bauder Oberhaut XXXVII, 170.

Kopfhöhle von Anguis fragilis, Vorderkopfsomiten XXXVI, 603, Litteratur, Methode 607, Hals 614. Kopfporus bei Mesenchytraeus setosus nov. sp. XXXI, 495.

Kopfscheibe von Phylline Hendorffii XXXIII, 163.

Korallenthiere - Polypi.

Krähe, Saat- - Corvus frugilegus. Kranzfasern des Nervus hypoglossus beim Kalb XXXI, 58.

Krebs — Astacus fluviatilis. Krebsflöhe - Copepoda.

Kreislauf des Blutes von Argulus

foliaceus XXXIII, 28.
— foetaler XXXIII, 368.
Kreuzotter — Vipera berus.
Kriechthiere — Reptilia.
Kroncement, Verbindung mit Alveolen XXXVIII, 150.
Kronenfortsatz des Unterkiefers,

Anlage der Knorpelkerne XXXII

315, Verknöcherung 325. Kropf der Taube XXXIV, 235, Litteratur 236, Drüsen, Methode 238, zusammengesetzte, schlauchförmige Drüsen, Epithelzelle 239, Ausführungsgang, Topographie 240, Bedeutung 241, Kropfmilch, Bedeutung 246.

Kropfmilch, Bedeutung bei der

Taube XXXIV, 246.

Kröte - Bufo.

Krustenthiere - Crustacea.

Krypten der Schleimhaut des Uterus vom Hund XXXIII, 421.

Krystallkegel der Seitenaugen von Argulus foliaceus XXXIII, 21.

Küchenschabe - Periplaneta orientalis.

Kukuk - Cuculus canorus.

Labyrinth blase, Entwickelung und Veränderung bei Lepus cuniund Verande. culus XXXV, 269.

Labyrinthgrube

Planeri XXXV, 515.

Labyrinthkapsel, Beziehung zur Anlage des Steigbügels XL, 521. Lacerta, Spermatozoen,

XXXVI, 274, Axenfaden 275.

-, Dotterorgan XL, 39 Dottersackentoblast, Entwickelung, Stufen; zweiblätteriger Keim mit fortgehender Furchung 39, subgerminaler Spalt 40, Merocyten der Bodenschicht, fortgehende Furchung der Bodenschicht 42, Verhalten der Zellen 43, Verhalten des Ectoderm 45; beginnende Gastrula 46, Lecithoderm, proximaler Wulst, Zwischenzone 49, Randwulst, Verhalten der Zellen, der Dotterkörner 50, Merocyten, protoplasmaarme 51, protoplasmareiche, Protoplasma, peripherisches 52, 60, oberflächliches 53, 60; Randsaum 54; ausgebildete Gastrula 56, Lecithoderm unter dem Knopf an der unteren Wand des Urdarmes, Lecithodermwulst, proximaler 57, Zwischenzone, Randwulst 58, Randsaum, Merocyten in den mittleren Theilen der Bodenschicht 59, des Randes 60; Umwachsung des Dotters, fast vollendet 69, Zellen im Dotter, Bildung 71, Ursprung vom Lecithoderm 73; Dotterzellen in der oberflächlichen Schicht des Dotters, streifig geronnene Massen am Boden der subgerminalen Höhle, Wandepithel 74. Polster des distalen Poles, Dotter und Dotterzellen 75; der perilice-thale Spalt und seine Umgebung 76, runde, dotterfreie Zellen, glatte Zellen 77; Kern der dotterfreien Zellen 78; Dotterzelle im ganzen Dotter 79, Dottersackepithel und Wandschicht am Dach der subgerminalen Höhle, im Bereich des perilicethalen Spaltes, distal, die innere Dottermasse und die Dotterzellen, proximal 80, aquatorial, central, distal 81, der perilicethale Spalt, proximal, distal, Dotterzellen 82, Herkunft 83, dotterfreie Zellen 82, Herkunft, Bedeutung und Beziehung zu Merocyten 84.

- agilis, Methylenblautinction der motorischen Nervenendigungen im

Muskel XXXV, 317.

— —, Blutbildung aus dem Ento-derm XXXVI, 523, Entodermzellen

- als Wirth für Cysticus La-

certae XXXIX, 342.
— viridis, Methylenblautinction der motorischen Nervenendigungen im Muskel XXXV, 317.

- - Nebenspermakern, Schicksal XXXIX, 275 Keimscheibe. Lachmöve — Larus ridibundus.

Lamina medullaris involuta des Cornu Ammonis, Beziehung zur Fascia dentata XXXIX, 620.

Landnatter - Coluber.

Lanius, Spermatozoen XXXII, 429, Bildung des Spiralsaumes 433, Kopf 438, Bewegung 452.

collurio, Spermatozoen, Bewe-

gung XXXII, 452. 455.

Lanzettfisch - Amphioxus. Larida, Spermatozoen, Kopf XXXII,

Larus, Spermatozoen XXXII, 440, Kopf 448.

ridibundus, Spermatozoen, Form XXXII, 451.

Larve, weisse von Gordius tolosanus Duj. XXXVII, 241.

Larynx von Proteus anguineus XXXIV, 561, Epithel 562, Muskel

Leber, Beziehung des Gewebes zu den Venae omphalo meseraic. XXXIII, 315.

über Rückbildungsvorgänge

XXXV, 87, der häutige Anhang bei Kaninchen und Ratteu 88, 100 im Ligamentum suspensorium hepatis 89, Verhalten der Blutgefässcapillaren, Veränderung der Leberzellen 94, Vermehrung der Kerne 95, Gallengänge, Verhalten 99, Leberzellenschläuche der Ratte, Bedeutung 100.

—, Bildung der Blutzellen in der embryonalen — XXXVIII, 576.

-, Epithel der Ausführungsgänge, Cylinderzellen XL, 489.

- von Anguis fragilis, als Wirth für Angiostomum macrostomum XXXIX, 462.

des Menschen, körniges Pigment

XXXIV, 462.

von Proteus anguineus XXXIV, 548, Lymphsystem und Leberzellen 550, 555, Lymphzellen 551, Pigmentzelle 552, Gallencapillaren und

Gallengänge 555.

der Säugethiere, Lymphbahnen XXXVI, 203, Litteratur 205, Methode 208, Beziehung zu Lebervenen 209, Epithel der Capillarscheiden 211, Isolation der Capillarscheiden, gefüllter bei Katze 212, sternförmige Zelle 213 mit Kern bei Hund und Katze 214, Isolation leerer Capillarscheiden 216, fibrilläre Kittsubstanz, Sternzelle, Beziehung zum Leberstroma 217, Capillarscheiden, Nachweis an Schnitten beim Menschen 219, Beziehung zu Gallencapillaren 221.

der Salamandrinen, Kerntheilung durch indirekte Fragmentierung in lymphatischen Randschicht XXXVII, 375, Litteratur, Ringform der Kerne 381, Theilungsvorgang 383, Verhalten des Chromatin 387.

Leberstroma, Beziehung zu den Sternzellen der Capillarscheiden der Leber der Säuger XXXVI, 217.

Leberzellenschläuche bei der Ratte, Bedeutung XXXV, 100.

Lecithoderm des Dotterorgans bei Lacerta bei beginnender Gastrula XL, 49, proximaler Wulst; - unter dem Knopf bei ausgebildeter Gastrula 57, an der unteren Wand des Urdarmes 58; - - wulst, proximaler 57; Zwischenzone, Randwulst 58, Beziehung zur Bildung der Dotterzellen 73.

Lecithodermwulst, proximaler des Dotterorganes bei Lacerta XL,

57.

Leibeshöhle von Gordius tolosanus

Duj. XXXIV, 257.

Leidyonella cordubensis nov. gen. nov. sp. XXXVIII, 301 eine neue Trichonymphide im Enddarm von Euternus inquilinus 303, äussere Gestalt, Bewegungserscheinungen 304, Grösse, Wimperbusch 305, Hinterende, Schwanzanhang 306, Cuticula 307 mit Stäbehen 308, Plasma 309, Nahrungsaufnahme, Kern 311, Metamorphose 314.

Lemus rubrifrons, Üterusmuskula-

tur XXXVIII, 78.

- Lepidoptera, Samenbildung und Zelltheilung im Hoden XXXIII, 192, Spermatocyten, Theilung 193, Richtungsspindel, Theilung 194, Richtungskörperchen, Bedeutung 195, Centrosoma, Lage 196, Nebenkern, Bedeutung 197, Zymoblast, Centrosomen, Veränderung in den Spermatocyten 198, Spermatogenese, Mitosomen. Bedeutung 199, Spermatide, Lage und Bau, Centrosoma und Mitosomen 200, Verhalten zwischen Kernraum und Spermatosom 201.
- Leptodera hyalina, centrales Nervensystem XXXVIII, 124, Ganglion opticum 124, Punktsubstanz 125, grosse Ganglienzelle mit Vacuolen 126, Bauchmark 128.

Lepus, Papilla vallata, Lymphsinus, Lymphknoten XL, 13.

-- cuniculus, Substantia gelatinosa Rolandi, Entwickelung XXXI, 594.

-, Epithel der Rectumdrüse, Beziehung zum Epithel der Schleimhaut XXXIII, 217, Epithel der Ober-fläche 217, Kern, amöboide Zelle 218, Epithelzelle der Drüsen in Mitosis 219, Schleimzelle, helle Zelle 220, Veränderung 223, Umwandelung zu Becherzellen 224, Beziehung zu Schleimzellen 229, Einfluss von Pilocarpin 230.

, Colondrüse, Beziehung des Epithels zum Epithel der Schleimhaut XXXIII, 233, Oberflächenepithel 234. Becherzelle, Epithelzelle der Drüse 235, Mitosis 236, chromatophile (Schleim) 236, 240 und helle Zellen, Beziehung und Um-wandelung 237, Vergleich mit Mast-

darmdrüsen 238.

-, Mastdarmdrüsen, Vergleich mit Colondrüsen XXXIII, 238.

- ----, Lymphknötchen des Darmes XXXIII, 260, 261, Antheil der Leucocyten 260 im Blinddarm 266.
- zur Entwickelung des Herzens XXXIII, 285.
- ---, Giraldè'sches Organ XXXIII, 445.
- Lymphbahnen der Hornhaut XXXIII, 596.
 - ---, Hinterwurzeln des Rückenmarkes XXXIV, 174, Längsbündel
- -, Bau der Sinushaare XXXV, 59, 60,
- -, zur Entwickelung der häutigen Bogengänge XXXV, 295, Methode, Labyrinthblase 296.

, häutiger Anhang der Leber XXXV, 88, 100.

---, Harder'sche Drüse XXXVI,

— —, graue Substanz des Hirn-balkens XXXVII, 13, Aenderung.

-, Regeneration der Mammilla nebst Bemerkungen über ihre Entwickelung XXXVII, 139.

-, Bau der Uterusmuskulatur

XXXVIII, 52, 66.

---, Knochencement der Zähne, Verhalten zum Schmelzepithel XXXVIII, 154.

Rückenmarkfaserung XXXVIII, 170.

-, Einfluss von Platinchlorid auf die Zellkerne in der Lymphe XXXVIII, 524, weisse Blutkörperchen 593.

Knochenmark, eosinophile Zellen XXXVIII, 613, Methode, Analogie mit Granulationen der Blutzelle des Krebses 617.

Zähne XXXIX, 532, Incisivus, Anlage 533, Rudimentärzähnehen im Unterkiefer 534, Zahnleiste 535. Schmelzorgan 536, Zwischenkiefer 538, Zahnleiste im Oberkiefer 539, Epitheldrüse, Backenzahnanlage 542.

, Stratum granulosum des Ammonis, Nervenzellen Cornu XXXIX, 622, Axencylinder 623.

-, Glandula carotica, Lage und Form XL, 295.

-, Bau des Chromatins der

sympathischen Ganglienzellen XL,

Kern der Schwann'schen Scheide, Verhalten bei Nervendegeneration XL, 409, 414.

-, Kern rother Blutkörperchen XL, 542.

Leuciscus, Spermatozoen, Geissel XXXVI, 239, Axenfaden 243.

Leucoblasten der Milz XXXVIII, 433, indirekte Theilung 434.

und Erythroblasten, Anordnung und Neubildung in den Blutzellenbildenden Organen XXXVIII, 524, Methode, Verhalten von Platinchlorid 524 in der Lymphe des Kaninchens 528, im Krebsblut und Tritonenmilz 529, Verhalten gegen Platinchlorid 555, amitotische Neubildung 557, Beziehung zu mehrkernigen Leucocyten 558, 559, Anordnung 566.

Leucocyten bei Spermatogenese der

Säuger XXXI, 263.

- im lockeren Bindegewebe der weissen Ratte, Beziehung zur Fett-

bildung XXXII, 150.

—, Beziehung zu Lymphknötchen des Darmes bei Kaninchen XXXIII, 260, 264 im Blinddarm, Epithelzelle 266.

der Lymphdrüsen des Hundes,

Uebergang XXXIV, 219.

der Venencapillaren des Knochenmarkes der Vögel, grosse und kleine XXXV, 445, 461, indirelate Theilung 460.

im Epithel des Uterus von Salamandra atra XXXVI, 473.

des Blutes von Pectunculus glycimeris XXXVII, 83.

-, Bemerkungen über den Formen-

wechsel XXXVII, 85,

- , Theilung, Kernformen und über Attractionssphären XXXVII, 249, mitotische Theilung 249 bei Salamandra 253, Kern 257, Beziehung zu Bindegewebszellen 261; über Attractionssphären und Centralkörper und ihr Verhalten bei Kernfragmentierung, direkte Fragmentierung 274, ringförmige Kerne 277, Beziehung zu Fragmentierung 285, Centralkörper 281, Amitose, Bedeutung 288.
- -, Attractionssphären und Centralkörper XXXVII, 701, beim Salamander 709.

der Milz XXXVIII, 432, Schick-

sal 436.

- mehrkernige XXXVIII, 558, Beziehung zu Leucoblasten 559.

Ligamentum laterale pharyngis XXXII, 552.

— latum, Beziehung zur Uterus-muskulatur der Maus XXXVIII, 65.

occipitopharyngeum, Beziehung zum Recessus pharyngeus medius XXXII, 200.

- salpingopalatinum ant., post. et medium XXXII, 499, Beziehung zu Muskeln 502.

- salpingogharyngeum,

deutung XXXII, 497.

-suspensorium hepatis XXXV, 89.

Ligurinus chloris, Spermatozoen XXXII, 422, Kopf 438, Bewegung

Lima, Klebzelle der Tentakel XXXIII, 399.

- hians, Blut XXXVII, 85. - inflata, Blut XXXVII, 85.

-- squamosa, Blut XXXVII, 85.

Limax agrestis, Zelltheilung und Samenbildung in der Zwitterdrüse XXXIII, 125, Methode 126, Nebenkern, Verhalten 127, Spermatogenese, Spermatide 131, Spitzenknopf, Beziehung zu Nebenkern 132.

— cinereoniger, Reductionstheilung XL, 117, 118.
Limitans interna, Verhalten zur Stützsubstanz des Rückenmarkes der Tritonen XXXIV, 140. Limnaea ovata, Wirth von Disto-

mum cylindraceum Zed. XXXVI, 188. echinatum XXXIX, 134.

trunculata, als Wirth für Cercaria Limnaeae trunculatae XXXIX, 331.

Limnophilus rhombicus alsWirth fürDistomum endolobumDuj.XXXIX 332.

Linse des Auges von Pecten XXXIII, 392, Entwickelung 396.

- von Petromyzon Planeri, Entwickelung XXXV, 537.

Lippe, Bau der Oberhaut XXXVII, 162, Pars glabra 163 et Pars villosa 164.

Lippenfurchenleiste beim Menschen XXXVIII, 453.

Lippenwall beim Menschen, Anlage XXXVIII, 453.

Liquor des menschlichen Eies, Bildung XXXI, 382.

Lithodomus dactylus, Blut XXXVII, 84.

Lobus olfactorius von Argulus foliaceus XXXIII, 9.

von Neunauge, Structur

XXXVIII, 12, Lobus ant., beerenförmige Zelle 13, Nervenfasern 14. Lucinia spinifera, Blut XXXVII,

82.

Lumbricus, sensible Nervenfasern, Ursprung, Verlauf und Endigung XXXIX, 102, Integument 103, Epidermis, Zelle 104, Stützzelle, Schleimzelle 105, 109, Beziehung zur Cuti-cula 108, Nervenzellen 105, 109, Formen 110, Fortsätze 111, Bedeutung 113, Nervenfortsatz 115, Nervenfasern, Verlauf in der Epidermis bis zum Bauchstrang 116, centraler Verlauf und Endigung 120, Theilung 122, Bauchmark, Bau 120, Ganglien, Neurochordcylinder 121, Nervenzellen 122, Beziehung der Nervenfasern zur Haut 127, Vergleich mit Wirbelthieren 128, 133.

agricola, Beziehung zu Gregarinen bei Copulation und Sporen-

bildung XXXVII, 105.

Lunge von Proteus anguineus XXXIV,

556, Epithelzellen 558.

Lungengekröse von Kaninchen, zur Entwickelung XXXIII, 294, 296, 313.

Lurche — Amphibia.

Lutra vulgaris, Epithelzelle in den

Tonsillen XL, 23.

-, Beziehung zwischen Papilla vallata und foliata und Driisen des Zungengrundes XL, 26.

kommen XL, 287, 290, Lage und

Form 295.

Lymphe, Verhalten in der Milz XXXVIII, 352, Ableitung durch Venen 356, Injection, Endothel 363.

— des Kaninchens, Einfluss von Platinchlorid auf den Zellkern XXXVIII, 524, Vorkommen weisser Blutkörperchen 593.

Lymphbahnen der Cornea XXXII, 593, Litteratur, Material 595, Methode bei Mensch, Schwein, Kaninchen, Rind 596, Beziehung zu intercellulären Lücken und Epithelzellen 600.

- der Säugethierleber XXXVI, 203, Litteratur 205, Methode 208, Beziehung zu Lebervenen 209, Endothel der Capillarscheiden 211, Isolation gefüllter Capillarscheiden bei der Katze 212, sternförmige Zelle 213 mit Kern bei Hund und Katze 214, Isolation ungefüllter Scheiden, Fibrillen, Kittsubstanz, Sternzellen

216. Beziehung zu Leberstroma 217. Nachweis der Capillarscheiden an Schnitten beim Menschen 219, Beziehung zu Gallencapillaren 221.

Lymphgefässe, Beziehung zu fixen

Zellen XXXVIII, 544.

- der Milz XXXVIII, 394 bei der Spitzmaus 396.

der Rachentonsillen, Verhalten XXXII, 210.

Lymphknötchen des Darmes XXXIII, 255, Geschichtliches 255, Kritik 269, Epithel 258, Zelle mit Kern, Entwickelung 259 bei neu-geborener Katze, Kaninchen von 2½ Tag 260, von 5 Tagen 261, Antheil der Leucocyten, Rückbildung bei Erwachsenen, Katze, Durchwanderung 263, Verhalten der Leu-cocyten 264 und der Epithelzellen 265 im Blinddarm des Kaninchens, Leucocyten in Epithelzelle 266.

- der Papilla vallata beim Hasen

XL, 13.

Lymphraum, glatte Muskelfasern XXXVIII, 46.

-, subpialer der Retina der Säuger XXXVIII, 35.

Lymphsinus der Papilla vallata

beim Hasen XL, 13.

Lymphsystem und Leberzellen, Beziehung bei Proteus anguincus XXXIV, 550, 555.

Lyonsia corruscans, Blut XXXVII,

Macacus, Uterusmuskulatur XXXVIIÍ, 79.

Mactra helvacea, Blut XXXVII, 81. — stultorum, Blut XXXVII, 81.

Magen, Zellen der Drüsen des —

XXXIV, 225, Einfluss der EhrlichBiondi'schen Flüssigkeit auf Belegzellen, Hauptzelle, Pyloruszelle 226, Stöhr'sche Zelle 228, Nussbaum'sche Zelle 229, Belegzelle des Fundus, Vacuolenbildung 230.

-, Nervenendigung XL, 390. - des Alligators, zur Histologie XXXIV, 1, Epithelzelle 1, Structur, Becherzelle 5, Vermehrung 10, Drüsen, Hals mit Epithelzelle 2, 7, Fundus 3, Drüsenzelle 3, 7, Tunica propria 4, Kern 9, Submucosa, Muskulatur 4, Wanderzelle 5.

- von Argulus foliaceus XXXIII,

24.

- von Beroe, Kern des interstitiellen Gewebes XL, 159, säbelförmige Citien am Mundrand, Verhalten zu Epithelzelle 165.

von Beroe, Beziehung zu Radiärmuskeln XL, 210.

von Euchlora, Drüsenzelle XL,

von Proteus anguineus XXXIV, 534, Muskularis, Epithel 535, Becherzelle, Fundusdrüse 536, Schleim- und Belegzelle 537.

- von Salamandra maculata, kolbenförmige Kernkörperchen

Schleimhaut XXXII, 474.

Magendarmkanal, schlauchförmige Drüsen und Beziehung des Epithels dem Oberflächenepithel

Schleimhaut XXXIII, 216.

-, schlauchförmige Drüsen und die Beziehungen des Epithels zum Oberflächenepithel der Schleimhaut XL, 325, Rectumdrüse der Maus, Protoplasmazellen 325, Protoplasma 326, Schleimzellen 327, Verhalten des Schleimes, Mitose der Drüsenzelle 328 beim Hund 329, Protoplasmazelle 331, Schleimzelle 322, Mitose der Drüsenzelle 334, Beziehung der Drüsenzelle zum Oberflächenepithel der Schleimhaut 337; Duodenaldrüse beim Hund 338, Protoplasmazelle 339, Schleimzelle, Kern 341, Mitose der Drüsenzelle 343 bei der grauen Maus 345, Protoplasmazelle, Kern, Protoplasma 348, Schleim-zelle 349, Verhalten des Schleimes, Paneth'sche Zellen 350, Bezichung zu Schleimzellen 351; Verhalten der Schleimhaut bei Fehlen der Drüsen bei Triton 357, Epithel, Protoplasmazelle und Becherzelle 359, Epithel der Kämme und Fornices 360, Verhalten der Schleimzelle, des Schleimes 361, Mitosen der Kerne 265, Ersatzzelle 366 mit Bildung subepithelialer Sprossen, Beziehung zu Schleimzelle 368, Mitose 369.

Magenwulst bei Callianira, Epithelzelle mit Pigmentfleck XL, 177.

Maja squinando, Vergleich mit Muskeln des Seepferdehens XXXII,

Makako — Inuus cynomolgus.

Malermuschel — Unio pictorum. Malurus supulus, Farbe der Federn, Irenetypus XXXV, 77.

Mammalia, zur Kenntniss der Spinalganglienzelle XXXI, 223.

-, zur Spermatogenese XXXI, 236, Litteratur und Synonymik, Sertolische Zellen 240, Litteratur und Bedeutung, Zelle der Wandschicht 242, Henle'sche Zelle, Samenzelle Köllikers 243, Spermatoblast, Bedeutung, Beziehung zur Sertolischen Zelle 244, Material, Methode 246, Litteratur 250, vielkernige Cysten, Bedeutung 248, Keimnetze 253, 256, Theilungserscheinungen der Spermatoblasten 253, Kerne der Membrana propria und der Sertolischen Zellen 254, indirekte, mitotische Kerntheilungen an den Zellen der Wandschicht 258 und Henle'sche Zellen 259, direkte, amitotische 262, 264, Leucocyten 263, Spermatoblasten, körnige Ausscheidungen 266, Bildung 270, Sertolische Zelle, Fett-aufnahme 268, Copulation mit Sa-menzelle 270, 279, Veränderungen des Kernes 272, Stoffwanderung 272, Bedeutung, Bildung der Schwanz-fäden 276, Spermatozoid, Kopfbil-dung 278, Verlauf in Samencanäl-chen 282.

zur Spermatogenese, Nachtrag

XXXI, 424.

über neue Hautsecrete XXXI, 499.

—, Atrophie der Fettzellen des Knochenmarkes XXXIII, 252. zur Entwickelung des Herzens

XXXIII, 284, 285.

, Lymphbahnen der Leber XXXVI, 203, Litteratur 205, Methode 208, Beziehung zu Lebervenen, Endothel der Capillarscheiden 211, Isolation gefüllter Capillarscheiden 212, sternförmige Zelle 213 mit Kern 214, Isolation leerer Capillarscheiden, Fibrillen, Kittsubstanz, Sternzelle 216, Beziehung zu Leberstroma 217, Nachweis an Schnitten 219, Beziehung zu Gallencapillaren 221.

Epithelreste am Opticus und auf der Retina XXXVIII, 32, sub-

pialer Lymphraum 35.

-, Glandula carotica, Lage und

Form XL, 295.

Mammilla, Regeneration nebst Bemerkungen über ihre Entwickelung XXXVII, 139 bei Kaninchen und Hund, Verhalten der Ausführungsgänge, der Epithelien 140, 149, der Epidermis 143, Kerntheilungsfiguren 148, Beziehung zum Epithel 150, Verhalten der Drüsenzelle 151 Ent-

wickelung, Drüsenhals, Anlage 154, Beziehung zwischen Epidermis und Epithel der Ausführungsgänge 155, Zelle mit vacuolärem Kern 156.

Mandelkrähe — Coracias garrula. Mark von Hystrix, Glutinbildner XL, 320.

- des Haares nach Epilation XXXVI, 551.

Markballen des Gehirns von Sida cristallina XXXVIII, 106.

Markhöhle des Unterkiefers, Bildung XXXII, 326.

Markscheide des Rückenmarks, Entwickelung und Faserverlauf bei der Maus XXXIII, 71.

des Rückenmarks, Entwicke-

lung XXXIV, 166, 172, Beziehung zu Burdach'schen Strängen.

— peripherer Nerven, Veränderungen bei Degeneration XXXVI, 590. Marksubstanz des Haares XXXI,

43 Litteratur.

der Muskelfasern der Cephalopoden XXXIX, 307.

der Nebenniere beim Hulm, Bedeutung XXXVIII, 507.

Mastigamoeba Schultzei XXXVIII, 11.

Mastigophora Argentiniens XXXVIII, 5.

XXXVIII, 18.

Matrix des Integumentes von Argulus foliaceus XXXIII, 3.

Mauerbiene - Chalicodoma muraria Fabr.

Maulwurfsgrille — Gryllotalpa vulgaris.

Mus musculus.

Mechanik des Trembley'schen Umstülpungsversuches der Polypen, Methode XXXVII, 513, 536 bei Hydra grisea, Mund- und Fussneubildung 546.

Medulla oblongata, Ursprung und Verlauf des Nervus hypoglossus XXXI, 54 beim Kalb, Kern, Zelle, Wurzelfasern 57, Kranzfasern 58, accessorischer Kern 50, Verbindungsfasern (Fibrae propriae hypoglossi), Commissur der beiden Kerne 60, bei Katze, Taube, Ente 62, Commissurfasern beim Menschen 63, Beziehung zur Olive, accessorischer Kern 64, Kreuzung 66, Fibrae propriae 67, Beziehung zum Accessorius-Vaguskern.

Medullarplatte von Torpedo ocellata XXXIX, 67, Weiterbildung 74. Medullarrohr, Verhalten bei Regeneration des Rückenmarkes bei Frosch- und Tritonenlarven XXXVII,

von Torpedo ocellata, Schluss XXXIX, 80.

Meerdattel - Phòlas dactylus.

Meerkatze - Cercopithecus. Meerschwein -Phocaena

munis.

Meerschweinchen — Cavia cobaya. Meerspinne - Maja squinando.

Megascolides australis, Entwickelungsgeschichte des Nephridialapparates XL, 552, Bauchstrang mit Ganglien 553, Micronephridien, Entstehung, Zellen 554, Ausführungsgang 556, Epithel, Beziehung der Capillaren zum Excretionsprozess 557, Trichteranlage 558, Degeneration 559, Bedeutung 560.

Meise, Blau- — Parus coeruleus. — Lasur- — Parus cyaneus.

Meleagris gallopavo, Spermato-zoen XXXII, 440, Axenfaden 443, Spitzenstück 451.

Membrana Descemetii, Kern- und Zelltheilungsvorgänge bei Entzündung XXXI, 441, Veränderung des Kernes 444, Chromatingerüst 445, Phasen der Theilung, Knäuelstadium 450, Mutterstern 451, Umordnung, Tochterstern 452, Tochterknäuel 453.

beim Frosch, Regeneration des Endothels XXXIII, 159, Verhalten von Zelle und Kern, Beziehung zur indirekten Kerntheilung,

- des Eies von Petromyzon Planeri, Bildung nach Befruchtung XXXII, 635.

des Keimbläschens von Aulostomum gulo XXXIII, 209.

limitans der Nasenhöhle des Menschen XXXIX, 639.

praeformativa bei Zahnentwickelung von Mus musculus XXXVIII, 144.

propria bei Spermatogenese der Säuger, Kern XXXI, 254.

der Zellen des Darmepithels von Ascaris mystax XXXI, 295. des Primärfollikels beim Menschen XXXI, 384.

der Giftdrüse bei Kröten und Salamandern XXXIV, 39.

Mensch, Nervus hypoglossus in der Medulla oblongata XXXI, 63, Beziehung zur Olive, accessorischer

Kern 64, Kreuzung 66, Fibrae propriae 67, Beziehung zum Vagus-Accessoriuskern 68.

-, secundäre Zellen des Dünndarmepithels, Becherzelle, Inhalt der Theka XXXI, 129, Körnchenzelle, Ursprung und Schicksal 184.

-, überSchrumpfungserscheinungen des hyalinen Knorpelgewebes und deren Beziehung zu den Fibrillen XXXI, 303, macroscopische Veränderung 306, Alcoholstructur 310, Beziehung zur Knorpelhöhle 313, Verhalten am Rippenknorpel 315 und Epiphysenknorpel 317, Methode 318, Saftcanälchen 324, Litteratur

und Kritik 325.

-, Bau des Eies XXXI, 342, Litteratur 343, Material und Methode 355, Primordialei 359, Keimbläschen, Protoplasma 361, Kerngerüst, Kernkörperchen 362, Primärfollikel 364, Entstehung 368, Wachsthum 376, Membrana propria 384, Liquorbildung 382, Nährzelle 378, Follikelepithel 364, Entstehung 369; Primordialei 359, Entstehung 366, Vermehrung 372, Wachsthum 376, Deutoplasma 386, Ursprung 389, Aufnahme in das Ei 390, fertiges Ei, Bau 396, Eiepithel 399, Zona pellucida 400, perivitteliner Spaltraum 403, Dotter, Deutoplasma 405, Kernbläschen 406, Veränderungen im ruhenden Ei 409, Kerngerüst 406, Keimstock, Bewegung 407, Luteinzelle 409, Richtungskörper 410, Ovarien Neugeborener 412.

—, Lymphbahnen der Hornhaut XXXII, 596.

-, zur Entwickelung des Herzens, Einmündung der Lungenvenen XXXIII, 334, 342, Litteratur und Kritik.

-, Hinterwurzeln des Rückenmarkes

XXXIV, 175.

- Schwellkörper der Nasenschleimhaut XXXIV, 197, Regio respira-toria, Muskulatur 199, elastische Fasern 202, Venen 204, Circulation 205.

-, Entwickelung des Urogenitalsystems XXXIV, 269, Methode 271, Urniere 273, 277, 286, Rückbildung 209, Sexualtheil 294, Wolff'scher Körper 273, 277, Epithel 279, Lit-teratur 281, Glomeruli 273, 289, Querkanälchen 273, 277, Wolff'scher Gang 273, 277, 286, 346, Epithel

der Urniere 273, Müller'scher Gang 274, 278, Entwickelung 333, Bildungsepithel 343, Keimdrüsenanlage 274, Stroma 275, Keimepithelzelle 274, 305, Plicae urogenitales 275, 279, Sinus urogenitalis 275, Allantoisgang, Epithel 276, Nierenanlage 276, 280, Glomerulusanlage 280, Nierenbecken, Harnkanälchen 276, Nierengang 277, 280, Sexualdrüsen 279, 328, weiblich 299, männlich 309, Trennung der Geschlechter 305, Keimepithelwulst 279, Urnierenleiste 286, Urnierenkanälchen 287, 290, Epithel 296, Nebenhoden, Anlage 294, Mesovarium, Anlage 295, Sexualzelle, weiblich 305, männlich 310, Zwischensubstanzzelle 312, 330, Samenkanälchen 321, Nebeneileiter 350, Hoden 329, Eierstock, Primordialeier 330 und Ursamenzelle, Identität 331, Geschlechtszelle 344, Entwickelung der Niere 361, erste Anlage 361 des Nierenbeckens, der Harnkanälchen 363 und Entwickelung 365, Nierenkapsel 367, Malpighi'sche Körperchen 369, äussere Genitalien 375, Geschlechtshöcker, Anlage 378, Allantoisgang 381, Allantoisstiel 383.

, zur Kenntniss des körnigen Pig-mentes im Körper XXXIV, 452, Abhängigkeit der Pigmentation vom Alter, Methode bei Nieren 460, Leber 462, Herz 463, Nebenniere 465, Samenbläschen 466, Nebenhoden, Hoden 468, Bedeutung, ob physiologisch oder pathologisch 469, Ort der Bildung 470, Entstehung aus Fett oder Blutfarbstoff 482, Iden-tität der einzelnen Pigmente 502.

-, Bau der Placenta XXXV, 1. -, über die Entwickelung des Urogenitalsystems, Berichtigung XXXV,

104 von Prof. Jenošik.

desgl. Bemerkungen von Nagel

XXXV, 107.

die Entwickelung der Urniere XXXVI, 138, Litteratur 145, Urnierenleiste, Wolff'scher Gang 150, Vena cardinalis 151, Urnierengänge 152, Sinus urogenitalis, Cloake 153, Nierengang, Wolff'scher Gang 154, Genese 157, Verhalten des Ectoderm zum Urnierengang 155, Urnieren-canälchen und Malpighi'sche Körperchen 160, Malpighische Kapsel, Beziehung zu Urnierencanälehen 161, Glomerulus 162, Urnierenblastem oder intermediäre Zellmaschen 166,

Bedeutung des Peritonealepithels 164, Lacunenbildung 168.

-, Capillarscheiden der Leber, Nach-

weis XXXVI, 219.

-, Caruncula lacrimalis XXXVI, 291, Litteratur, Krause'sche Drüse 301, Acinus, Wanderung, Epithelzelle 302, Cylinderepithelzelle des Ausführungsganges, Vergleich mit Moll'scher Drüse 303, Epithel 304, Becherzellen 305, Bedeutung 307.

Mucingehalt der Speicheldrüsen XXXVI, 344, Form des Secretes 346, der Nasenschleimhaut 348.

-, Beiträge zur feineren normalen des Geruchsorganes XXXVI.375, Litteratur, Methode382, 386. Kern der Riech- und Stützzellen. verschiedenes Verhalten gegen chemische, thermische Einflüsse und Farbstoffe 383, Riechzelle, Ersatzzelle 388, Drüsen mit Drüsenzelle bei Neugeborenen 390, Pigmentzelle, bei Erwachsenen, Glockenzelle 392.

-, Entwickelung des Hirnbalkens, subepitheliale Zellenschicht XXXVII, 1, 7, 9, zur feineren Anatomie, Antheilnahme der Hemisphärenschich-

ten 10.

-, Entwickelung des Hirnbalkens XXXVII, 289, Litteratur, Methode 304, Commissura mollis, Anlage 310, Foramen Monroi 311, Furchenbildung 312, Schlussplatte 315, Veränderung 317, Septum pellucidum, Anlage 318.

-, Nervenendkörperchen in der Cornea und Conjunctiva bulbi XXXVII, 602, Nervenendknäuel 604, Gestalt, Grösse, Bewegung 605, Bau, Bindegewebskapsel 606, Innenkolben, Nervenendigung 607 in End-

plättchen 613.

-, Entwickelung des Uterus und der Vagina XXXVII,620, Litteratur, Müller'scher Gang, Cylinderzellen 627, Verbindung zum Sinus urogenitalis, Wolff'scher Gang 628, Cylinderepithelzellen 629, Trigonum Lieutaudii, Gartner'scher 630, Geschlechtsstrang, proximaler Abschnitt, Epithel, distales Ende, Epithelzelle 634, Orificium vestibulare 635, Wolff'scher Gang, Rückbildung 630, Verhalten bei männlichen Individuen, Samenbläschen, erste Anlage 641, Prostata, erste Anlage 642, Harnblase, intrauterines Verhalten 644, Trennung von Uterus und Vagina, Verhalten des Epithels 645, hintere Muttermundslippe. Anlage 648, Cervicaldrüse, Anlage 649, Collum uteri, Unterschied vom Corpus 650, Vagina, Hymen, Anlage 651.

--, Uterusmuskulatur, Bau XXXVIII, 85, Entwickelung 86, Anlage der Muskelfasern 87, Gefässschicht 89. , zur Zahnentwickelung, Epithelscheide in der Jugend XXXVIII, 145. nervöse Elemente der Retina XXXVIII, 317, Neuroepithelschicht (Schicht der Sehzellen), Stäbehen, Zapfen 319, subepitheliale Nervenzelle mit äusserem 320 und innerem Fortsatz 321, innere Körnerschicht 322, Ganglion retinae, grosse, sternförmige Zelle 324, mit äusserem 325, innerem Fortsatz und Axencylinderfortsatz 326 (terminales Nervennetz 325), kleine, sternförmige Zelle mit Kern, äusserem Fort-

satz 328, innerem Fortsatz und Axencylinderfortsatz 329, bipolare Zelle mit äusserem 330 und innerem Fortsatz 332, Ganglion optici 333, Zelle mit Protoplasmafortsatz 334 und Axencylinderfortsatz 336, Spongioblastenschicht (mittlere, gangliöse Schicht) 337, grosse Nervenzelle 338 mit Nervenplexus, kleine Nervenzelle 339.

Capillarscheiden der Milz XXXVIII, 420.

Entwickelung derZähneXXXVIII, 447, Material, Methode 448, Schmelzleiste und Zahnleiste 451, erste Anlage, Kieferwall und Lippenwall, Lippenfurchenleiste 453, Zahnpapille, Einstülpung 454, Zahnfurche 455, Abschnüren der Milchzähne, Sternzelle, Schmelzpulpe 456, Verbindungsbrücken 457, Zahnfurche, äusseres Schmelzepithel 458, Eindringen 459, Dentin 461, Ersatzzähne, Keim 463, Histogenese der Zähne, Bildungszelle 469, Zahnbein, Beziehung zur Schmelzmembran 471, Schmelz, Verhalten zur Sternzelle der Pulpa 472, Litteratur 474.

-, Entwickelungsgeschichte und feinere Anatomie der Bartholinischen und Cowper'schen Drüsen XXXIX, 33, Bartholini'sche Drüse, erste Anlage 36, Zelle 37, Anlage der Drüsenendkammern 38, Epithel, Schleimzellen 39, Vestibulum vaginae, Pflasterepithel 41, Beziehung zwischen Corpus cavernosum vestibuli und Muskulus bulbocavernosus 42, Cowper'sche Drüse 46, Anlage 47, Umwandelung des Epithels zu Schleimzellen, Gianuccische Halbmonde 48, Ausführungsgang 51.

-, über das normale Wachsthum der Röhrenknochen, sowie einige Thatsachen betreffend den normalen Bau des Knochengewebes XXXIX. 151, 197, Methode 155, Verhalten des Havers'schen Systems bei Färbung 157, der Sharpey'schen Fasern allgemeine Resultate 177, 174, Dickenwachsthum durch Apposition von Seiten des Periost 178, 181, Längenwachsthum durch Apposition von Seiten des intermediären Knorpels 178, 181, Resorption der äusseren Knochenfläche 181, Sulcus intertubercularis, Bildung 183, Knochenmarkeanal, Bildung durch Resorption 178, 184, Knochenrinde, Appositions- and Resorptionserscheinungen 187, Haversian spaces und Havers'sches System, Verhalten 188, Resorption 193, Resorption des alten Knochens, Volkmann'sche Canäle, Verhalten 191, interstitielles Wachsthum 194, Bildung der Knochen-canälchen 198, Verhalten der Kno-chenlamelle zu Anilinfarbe und salpetersauren Salzen 201.

Studien über Verhornung der Oberhaut XXXIX, 581, Methode, Verhalten des Stratum lucidum et corneum 587, Einwirkung der Verdauung 588, Verhalten des Stratum corneum, Stratum lucidum 591, der Fibrillen, der Coriumpapillen 593.

-, zur mikroskopischen Anatomie der Nasenhöhle XXXIX, 632, Ausdehnung des typischen Riechepi-thels 633, Methode 634. Riechepithel, Verhalten zum Nervus olfactorius 637, Riechhäärchen 638, Membrana limitans 639, Glockenzelle 641, Endigung der Olfactoriusfibrillen in den Riechzelten, Schleimhaut der Regio olfactoria 643, Drüsen 644, Epithel des Ausführungsganges, Blase der Bowman'schen Drüsen 645, Drüsenepithelzelle 646, Crypten, als Drüsenöffnung mit Flimmerepithel 647, Pigmentirung der Bow-mann'schen Drüsen 648.

-, die nervösen Elemente der Retina, H. Mittheilung XL, 29, Nervenfaserschicht, Bau der Axencylinder aus Fibrillen und Axoplasma 29, Beziehung zur Fovea centralis 31, Methode 34, subepitheliale Nerven-

zelle, Verhalten 37.

-, zur Entwickelung der Urethra und des Dammes XL, 264, Geschlechtshöcker, Anlage 266, Geschlechtsstrang, erste Anlage 267. Cloake, Veränderungen des vorderen Theiles 268, des mittleren und hinteren Theiles 273, Anlage der Glans 270, Praeputium, Frenulum, Epithel mit Epithelperlen, Epithelzelle 271, Tyson'sche Drüse, Anlage 272, Schwellkörper der Glans, Anlage, Glans, Verhalten beim weiblichen Embryo 273, Fossa navicularis anterior 276, Dammbildung durch Epithelverdickung der Cloakenwandung 279, Fissura transversalis, Bedeutung 283, Bartholinische Drüse, Anlage 284.

—, Glandula carotica, Lage und Form XL, 295, Histologie 296, Kapsel 298, Blutgefässe und Nerven 299, 301, Capillarnetz 299, interstitielles Bindegewebe 298, Zunahme, Gefässneubildung 301, Drüsengewebe 302, Zellballen mit Zellen, Anordnung und Verhalten zu Capillaren 303, Bau der Zelle 306, reticulirtes Zwischengewebe 308 und Beziehung zu Zellen 309, 313, Kern

312, Zellgrenze 313.

, Bau des Chromatins der sympathischen Ganglienzellen nach der Entwickelung XL, 380, Gehalt an gelbem Pigment 381, Zerfall mit dem Alter 384.

Einfluss der Entwickelung der Blutgefässe auf die Entwickelung von Darm, Darmgekröse und Pancreas, hemmend XL,440, fördernd447.

—, Epithel der Ausführungsgänge der grösseren Drüsen XL, 484, Speicheldrüsen 485, Glandula sublingualis 485, Ductus Bartholinianus, Cylinderepithelzelle 486; Glandula submaxillaris, Ductus Whartonianus, Cylinderzelle 487; Glandula Parotis, Ductus Stenonianus, Cylinderzelle 488, Leber, Gallenblase, Cylinderzelle 489, Ductus choledochus 491, Cylinderzelle 492, Pancreas 492, Ductus Wirsungianus, Cylinderzelle 493, Vas deferens 494.

Mermis, Bemerkungen über -XXXIV,

390.

- contorta XXXIV, 391.

- crassa XXXIV, 392, Litteratur, Längswülste 393, Muskulatur, Nervensystem 394, Oesophagus, Zellkörper 395, Geschlechtsanlage 396. , Bau XXXVII, 244, Wirth

von Chironomus plumosus.

in Chironomus plumosus und Chironomus leucopaga Meig. XXXIX, 328.

- Gammari n. sp. in Gammarus pulex XXXIX, 329.

Hyalinae in Hyalina cellaria

XXXVII, 245.

-- ingrescens Duj. XL, 498, Kopfende 499, Hautschicht, Oesophagus 500, Muskelfelder, Fettkörper 501, Tastorgan, Gehirn, Beziehung zwischen Nerv und Muskel 506, Ovarium, Uterus, Vagina, Eier 508.

— Sialidis in Sialis lutaria XXXIX,

329.

Mermithen XXXIX, 328.

Merocyten des Dotterorganes bei Lacerta an der Bodenschicht XL, 42; protoplasmaarme 51 und protoplasmareiche 52 in dem mittleren Theile der Bodenschicht 59: - des Randes 60, Beziehung zur Bildung der Dotterzellen 85.

Mesenchytraeus setosus n. sp. XXXI, 494, Borsten 494, Kopfporus 495, Schlundnervensystem 496, Ge-

schlechtsorgan 497.

Mesenterium gastroduodenale,

Ursprung XL, 462.

Mesoderm von Anguis fragilis, Verbindung mit Entoderm XXXVI, 610, Stiel 612, Veränderung 616.

von Petromyzon Planeri XXXV, 500, Bildung der Segmentalplatte 500, dorsale Kantenzelle 513.

von Torpedo ocellata, Entstehung XXXIX, 63, 65, Vergleich mit Vertebraten 75, Differentiation 76.

Mesodermbildung bei Cyclops, Kerntheilungsvorgänge XXXIX, 556.

Mesodermbildungsrinne Torpedo ocellata XXXIX, 66, 69, Ausbildung 67.

Mesodermsegmente des Rumpfes der Selachier und die Entwickelung des Excretionssystems XXXIII, 461. esodermstreifen bei Cyclops Mesodermstreifen Cyclops

XXXIX, 569.

Mesogastrium, Ursprung XL, 462. Mesomer der Selachier, Bedeutung

XXXIII, 464.

Mesonephros der Selachier XXXIII, 488, Beziehung zur Abschnürung Register z. Archiv f. mikrosk. Anatomie.

der Myotome 490, bei Pristiurus 491, Vergleich mit anderen Cranioten 504, mit Pronephros 505.

Mcsovarium, Anlage beim Menschen XXXIV, 295.

Messerscheide, gemeine - Solen vagina.

Metakinesis, Bedeutung XXXII, 610. Metamorphose bei Leidyonella

cordubensis XXXVIII, 314.

Metanucleolus bei Furchung des Eies von Aequorea Forskalea XL. 251 und Aurelia aurita 255, Vergleich mit Paracopulationszelle der Daphniden 256.

Methylenblautinction der motorischen Nervenendigungen in den Muskeln der Amphibien und Reptilien XXXV, 305, bei Rana 312, Beziehung der Nerven zu den Muskelspindeln oder Muskelknospen 316 bei Reptilien (Lacerta agilis und viridis) 317.

Micronephridien von Megascolides australis, Entstehung XL, 554, Zelle 554, Ausführungsgänge 556, Epithel, Beziehung der Capillaren zum Excretionsprozess 557, Trichteranlage

558, Degeneration 559.

Microsoma des Eies von Petromy-zon Planeri XXXII, 646.

Miessmuschel - Mytilus edulis. Milvus, Spermatozoen, Kopf XXXII,

448.

Milz, weitere Mittheilung über Kernund Zelltheilungen XXXI, 541, Methode 543 bei der weissen Maus 541, kleine, lymphoide Zellen 545, grosse 548, indirekte Fragmentierung 552, Verhalten der Kernmembran 554.

Untersuchungen über die -XXXVIII, 345, bei Katzen, grobes Gerüstwerk 349, Kapsel, Gefässscheiden für Arterien und Venen 350, feineres Gerüstwerk, Beziehung zur Blutbahn ohne Wandung 352, Verhalten der Lymphe, Ableitung durch Venen 356, Diapedese der Blutkörperchen 357, intermediäre, lacunäre Blutbahn 358, Venen, Injection 363, Endothel, Vortäuschung des direkten Ueberganges zwischen Arterien und Venen 369, arterielle Endigungen 371, Beziehung zum Keimlager 373, Uebergang in Pulpa 374, Verhalten der Adventicia 374, 385, Keimlager, Machairische Könnek 276, Brit Malpighi'sche Körperchen 376, Bil-

dung, Verhalten der Arterien, der Adventicia 384, der Pulpa 389, Capillaren der Keimcentren, Verhalten 391, des reticulären Gewebes 392, Keimlager, Saftlücken und Lymphgefässe 394, Vorkommen bei der Spitzmaus 396, Capillarhülsen oder Capillarscheiden 398, Litteratur 400, eigener Befund bei Katzen, Unterschied nach Alter 403, Endothel 405, Blutfüllung und Bedeutung 406, 417, Injection 409, Vor-kommen 417 beim Menschen 420, Bedeutung und Funktion 421, Bezichung zu Venen 424, zur Bildung der Pulpa 425, Leucocyten 432, Schicksal 436, Leucoblasten 433, indirekte Theilung 434, Erythroblasten 433, eosinophile Zellen, Granula, Bedeutung als Hämoglo-bin 438, Erythrocyten, Granula 441,

Bedeutung, Kern 443.

—, fixe Zellen XXXVIII, 545.

Mitosis der Epithelzellen der Rectumdrüsen beim Kaninchen XXXIII, 219, der Colondrüsen 236.

- bei Säugethieren XXXIII, 517, im Amnion der Ratten 517.

im Rückenmark der Tritonen XXXIV, 133.

der rothen Blutkörperchen des Knochenmarkes der Vögel XXXV, 452.

- der Erythroblasten XXXV, 454. des Gehirnes von Petromyzon Planeri XXXV, 533.

der Follikelzellen des Haares nach Epilation XXXVI, 533.

der fixen Bindegewebszellen bei Regeneration des Bindegewebes von Rana esculenta XXXVII, 446.

Veränderung des Zellkörpers

XXXVII, 695.

- des Kernes, Verhalten der Protoplasmafaserung der Epithelzellen XXXIX, 198.

, normale der B-zelle bei Cyclops XXXIX, 565.

- – der Drüsenzelle der Rectumdrüse der Maus XL, 328, des Hundes 333, der Schleimzelle 334, der Duodenaldrüse beim Hund 343, Schleimzelle beim Triton 369.

— der Kerne der Schwann'schen Scheide bei Nervendegeneration XL,

Mitosomen bei Spermatogenese der Lepidopteren, Beziehung zu Centrosomen XXXIII, 199, 200.

Mitteldarm von Proteus anguineus

XXXIV, 538, Epithel, Drüsen 539, Wanderzellen 540 mit Einschlüssen 541, Pigmentzellen 542.

der Insecten, nucleoläre Kern-

halbierung XXXIX, 21.

von Chalicodoma muraria, Anlage XXXV, 157, Epithel 144. Modiola adriatica, Blut XXXVII, 84.

- barbata, Blut XXXVII, 84.

Möven - Larida.

Mollusken, Auge XXXIII, 378.

-, Reductionstheilung XL, 118. — acephale, zur Histologie des Blutes XXXVII, 22, Historisches, Material 37, Methode 38, histiochemische und histologische Beschaffenheit, chemisch - physikalisches Verhalten, Farbe, Reaction 43, spectroscopische Erscheinungen 45, Häminkrystalle 46, farbige Blutkörperchen 47, amöboide Zellen 52, Vacuolen, Pseudopodien 64, Plasmahaut, Bedeutung 67, Ursache der Veränderung, Kern 72, Kernhöhle 74, Beziehung zwischen Kern- und Zellmembran 75.

Monocystis agilis, Conjugation und Sporenbildung XXXVII, 105, Kern 106, Kernkörperchen 107, Bedeutung der Körner 108, Richtungskörper, Bildung und Ausstossung 110, Sporogonien 112, mitotische Theilung, Sporocysten 113, Sporo-

phor, Sporen 114.

magna, Conjugation und Sporenbildung XXXVII, 105, Kern 106 und Kernkörperchen 107, Bedeutung der Körner 108, Richtungskörper, Bildung und Ausstossung 110, Sporogonien 112, Sporocysten 113, Sporophor, Sporen 114.

Moschus javanicus, Papilla vallata

XL, 11.

Motacilla flava, Spermatozoen, fibrilläre Bildung des Axenfadens XXXII, 427.

durch basische Theerfarbstoffe 311, Thionin o. Lauth'sches Violett 314 (Metachromasie), Methylenblau 320, Methode 321 im Fusse der Wein-bergschnecke 331, Becherzelle 333, Darmcanal 334, Entstehung 340, in Schleim- und serösen Drüsen 341, Schleimspeicheldrüse und Unterkieferdrüse bei Hund und Katze 342, Speicheldrüse von Meerschweinchen, Maus und Ratte, Unterkieferdrüse bei Igel, Speicheldrüse beim Menschen 344, Form des Secretes 346, Schleimdrüse des Pharynx, der Nasenschleimhaut des Menschen 348, Eileiter bei Fröschen und Kröten 351, Drüsenzelle 352, in Hautdrüsen der Amphibien 354, chemische Na-tur 359, Litteratur 362.

Mucosa der Urethra, Ganglien der Pars pendula XXXI, 30.

Mund von Pyrodactylus elegans Nord.

XXXIX, 335.

- von Hydra grisea, Neubildung nach Trembley'scher Umstülpung XXXVII, 546.

von Phylline Hendorffii XXXIII,

167.

- von Trichodina sp. XXXIII, 403. Mundhöhle von Proteus anguineus XXXIV, 516, Epithel, Epithelzelle 518, Becherzelle 519, Wanderzelle mit Einschlüssen 523, 524.

Mundspalte von Argulus foliaceus XXXIII, 22, Oberlippe und Unter-

lippe 23.

Mus decumanus, zur Entwickelung der Zähne, Rudimentärzähnchen

XXXIX, 548.

- musculus, secernierende Zelle des Dünndarmepithels XXXI, 113, Becherzelle 121, Inhalt der Theka 127, Uebergang aus Epithelzelle 132, Bourrelet, Bedeutung, Streifung 140, Wanderzelle im Epithel 142, Epithel der Lieberkühn'schen Crypten, Vergleich mit Zottenepithel 173.

— —, Substantia gelatinosa Rolandi, Entwickelung XXXI, 609.

-, Rückenmark, Entwickelung und Faserverlauf der Markscheiden XXXIII, 71, graue Substanz und gelatinöse Formation 74, Rolandosche Formation, Bedeutung 76, Zelle 78, Nervenzellengruppe und Fasernetz 80, Myeloidörner 80, 88 der Vorderhörner 81, Centralgruppe 83, Clarke'sche Säule 85, solitäre Nervenzelle der Hinterhörner 87, weisse Substanz im Allgemeinen, Faserkaliber, Grossfaserbündel 89, Vorderwurzel 94, Vorkommen von Wurzelfasern, vordere Commissur 96, Vorderstrang 98, Seitenstrang 102, Hinterwurzeln 108, mediale 109 und laterale Partie 110, Hinterstrang, Burdach'scher Strang 111,

Goll'scher Strang und hintere Commissur 113, vordere 114, Beziehung zu sensitiven Nerven der hinteren Extremität 119, Pyramidenbahn, Praemedulla 120, Nuclei funiculi

gracilis et cuneati 121.

, zur Histologie des Hodens XXXIV, 58, Kern der v. Ebner-schen Spermatoblasten 69, Kernkörperchen, Bau 71, histologische Beschaffenheit der Drüsenepithelien, Spermatogonien, Bau und Bedeutung 74, Spermatocyten 75, Neben-kern 76, Theilungsmodus, Verhalten des Kernes 77 nach Heterotypie, Polarkörperchen und achromatische Spindel, Bedeutung 78, Spermatide und Samenzelle 79 mit Kern und Nebenkern, Spermatogonien, Bedeutung 80, Umwandelung zu Spermatozoen 81, Kopfkappe, Bildung, Spitzenknopf und Schwanzkappe 82, Verhalten des Nebenkernes 83, Beziehung zu Schwanzfaden 84, Schwanzscheide 86, Nebenkern in der Samenzelle, Ursprung 87, Beziehung zum Kern, Vergleich mit Centrosomen 88, Schicksal 89.

— —, Hinterwurzeln des Rücken-markes XXXIV, 175, hintere Com-missur 185, Zelle der Substantia

gelatinosa 195.

-, die postfoetale Histiogenese des Hodens bis zur Pubertät XXXIV, 429 Litteratur 431, Follikelzelle 432, Kern mit Nucleolus, Spermatogonien 433, Veränderung der Follikelzelle bei Eintritt der Pubertät 434, 435, Spirembildung 435, Spermatide, Auftreten 436.

-, Epithel der Harnblase

XXXV, 402.

Mucingehalt der Speichel-

drüsen XXXVI, 344.

----, Bau der Uterusmuskulatur XXXVIII, 61, 65, Beziehung zum Ligamentum latum 65 und Peritoneum 66, Ringmuskeln 65, 68, Längsmuskeln 65, Verhalten an der Tubenöffnung 66, Submucosa, Existenz 70.

-, ZahnentwickelungXXXVIII, 142, Epithelscheide, Membrana prae-

formativa 144.

-, zur Entwickelung der Zähne XXXIX, 548, Rudimentärzähnchen.

–, Papilla vallata XL, 11.–, Rectumdrüsen XL, 325, Protoplasmazellen 325, Protoplasma

326, Schleimzelle 327, Verhalten des Schleimes, Mitose der Drüsenzellen

-, Duodenaldrüse XL, 345, Protoplasmazelle, Kern, Protoplasma 348, Schleimzelle 349, Verhalten des Schleimes 350, Paneth'sche Zelle, Beziehung zur Schleimzelle 351.

weisse, über Kern- und Zelltheilung in der Milz XXXI, 541, kleine, lymphoide Zelle 545, grosse 548, indirekte Fragmentierung 552, Verhalten der Kernmembran 554.

rattus, Mitosis im Amnion

XXXIII, 517.

-, häutiger Anhang der Leber XXXV,88,100 Leberzellenschläuche. Epithel der Harnblase

XXXV, 402.

-, Hardersche Drüsen XXXVI, 198.

Mucingehalt der Speichel-

drüsen XXXVI, 344. - - --, Papilla vallata XL, 11.

-, weisse, kugelförmige Zellen im lockeren Bindegewebe XXXII, 123, Wachsthum 124, Beziehung zu Gefässen 129, Atrophie, Bedeutung 145, freie Kerne, Vorkommen 136, Kerntheilung 137, Ranvier'sche Bindegewebszellen, Bedeutung 142, Leucocyten, Beziehung zur Fettbildung 150, Fettgewebe, functionelle 155 und physiologische Bedeutung 160, Bedeutung des lockeren Bindegewebes 165, Verhalten zur Entzündung 168.

-, zur vergleichenden Anatomie der Placenta XXXVII, 335, 338, Muskelspindelzelle 341, Decidualzelle, Monstrezelle 342, Verhalten der Uterindrüsen 344, foetales Epithel 345, Chorionzotten 346, Eihäute 347, Amnios 347, 348, Zellen 348, Zellen der serösen Membran 347, Allantois 348, Placentarherz, Bedeutung 351, intervillöse Scheide, Subplacenta 352, subglanduläre Zone

Musca, Vergleich der Muskeln mit

Seepferdchen XXXII, 239.

Muscicapa grisola, Spermatozoen XXXIII, 422, 423, Entwickelung, Bildung des Spiralsaumes 433, Kopf

Muscularis des Magens von Proteus anguineus XXXIV, 535.

--- des Oesophagus von Proteus anguineus XXXIV, 534.

- der Speicheldrüse XXXIX, 608, Hauptausführungsgang 608.

— mucosae des Dünndarmes XXXVIII, 18, Verhalten zu Lieberkühn'schen Drüsen, Zelle 19, Epithel 20.

Musculus buccinator, Beziehung zur Gaumenaponeurose XXXII, 580.

bulbocavernosus, Beziehung zu Bartholin'schen Drüsen des Menschen XXXIX, 42.

obliquus superior, Anlage bei Anguis fragilis XXXVI, 521. palatopharyngeus

492.

palatosalpingopharyngeus XXXII, 492.

pectinatus des Herzens von Kaninchen XXXIII, 334. petrosalpingostaphylinus,

Ursprung, Insertion XXXII, 503. rectus externus, Anlage bei

Anguis fragilis XXXVI, 519.
—sphenosalpingostaphylinus, Ursprung, Insertion XXXII, 514,

515, Verlauf 522.

Muskeln der Amphibien und Reptilien, motorische Nervenendigungen XXXV, 305 bei Rana 312, Beziehung der Nerven zu Muskelspindeln und Muskelknospen 316 bei Reptilien, Lacerta agilis und viridis 317.

von Distomum cylindraceum Zed.

XXXVI, 175.

-vonGordius tolosanus Duj.XXXIV, 256.

von Hydra fusca XXXV, 335, Lagerung 337.

des Kehlkopfes von Proteus anguineus XXXIV, 563.

von Mermis ingrescens Duj., Be-

ziehung zu Nerven XL, 506. - von Phylline Hendorffii XXXIII, 164, der Rindenschicht, des Paren-

chyms 166. - der Taube XXXII, 491, Beziehung

zum Ligamentum salpingopalatinum 502.

- Augen-bei Anguis fragilis, Anlage XXXVI, 617.

- circuläre bei Hormiphora XL, 223.

- Flossen- des Seepferdchens und über Muskelstructur im Allgemeinen XXXII, 233, Methode 235, Muskelsäulchen 238, Kern 239, Querschnitte und Sarcoplasma, Anordnung, Vergleich mit Muskeln der Fliege 239, bei Crustaceen, Maja squinando 241, Vergleich mit den anderen Muskeln des Seepferdchens 242, Längsschnitte 243, Untersuchung im polarisirten Lichte 249, Litteratur 250.

des Seepferdchens, Bau

XXXVII, 682.

-, Parenchym bei Distomum cylindraceum Zed. XXXVI, 175, Zelle.

Radiär-der Ctenophoren, Beroe XL, 209, Beziehung zum Magen 210, Bildung 214.

Muskelanlage bei Anguis fragilis

XXXVI, 617.

Muskelfasern der Stinkdrüse der

Forficulidae XXXVI, 574.

—, Regeneration XXXVII, 452, 454, Umwandelung aus Sarcoblast 455 bei Siredon, blasige Entartung 462, Spaltung der -, Bedeutung 468, Knospung 452, 471.

— des Uterus beim Menschen, Ent-

wickelung XXXVIII, 87.

der Cephalopoden XXXIX, 291, Methode 292, Kern, Sarcoplasma 293, Rindensubstanz 294 im Muskel von Sepiola Rondaletii, Spiralform bei Eledone moschata Spiralfasern bei Octopus und Sepia 301, Zusammensetzung aus Fibrillen 302, Körnchenstructur, interfibräre Zwischensubstanz, Bedeutung 303, Sarcoplasma 305 und Sarcosomen 306, Marksubstanz, Structur 307, Körner, besonders bei Sepiola Rondaletii 309, Litteratur 311.

der Tentakel der Ctenophora XL, 190, Auftreten und Wachsthum 191, 193, 195, Perimysium 195.

der Ctenophora, Beroe XL, 207, Sarcolemma, Verbindungen unter einander 208, unter dem Epithel 218, Beziehung zwischen Epithel und Ectoderm 219.

glatte, Zellbrücken über XXXVIII, 38, Methode, Muskelleisten 39 in dem Darm der Katze, Verhalten zur Kittsubstanz 43, Bedeutung 45, Lymphräume 46.

bei Beroe unter dem Epi-

thel XL, 211.

mesodermale bei Cestus XL, 220.

quergestreifte, über Nebenscheiben, Sarcoplasma und Contraction XXXVII, 654, Untersuchung mit Polarisationsapparat 660, Scheibenzerfall in Alcohol 663 bei Käfern, Scarabaeus laticollis 665, Astacus fluviatilis 668, fixirte Contractionswelle 671, arimetabole und metabole Schichten 675, Ruhestadium, Uebergangsstadium, Combinationsstadium 677, Contractionswelle von Cassida equestris 678, Einfluss starker Säuren 679, intercolumnare Spalträume, Flossenmuskeln des Seepferdchens 382.

Muskelfelder von Mermisingrescens

Duj. XL, 501.

Muskelfibrille, Regeneration und Bildung XXXVII, 458.

Muskelknospen bei Rana, Beziehung

zu Nerven XXXV, 316. Muskelleisten XXXVIII, 39.

Muskelsäulchen des Flossenmuskels vom Seepferdchen XXXII, 238, Kern 239.

Muskelschicht, subseröse des Uterus bei Kalb und Schaf XXXVIII,

Muskelschlauch bei Bilharzia haematobia XXXI, 208.

Muskelsegmente, Bildung bei Regeneration XXXVII, 458.

Muskelspindel bei Rana, Beziehung zu Nerven XXXV, 316.

Muskelsubtanz, feiner Bau XXXIX,

Muskelzellenschlauch, Bedeutung bei Regeneration XXXVII, 462.

Muskulatur von Argulus foliaceus XXXIII, 8.

von Bilharzia haematobia XXXI, 219, 229.

von Ctenophora, Beroe XL, 207, Entwickelung und Wachsthum 211, Cestus 218, Callianira, Hormiphora 223.

- des Darmes, Nerven XL, 390. -des Magens von Alligator XXXIV,4.

von Mermis crassa XXXIV, 394. - des Schwellkörpers der Nasenschleimhaut XXXIV, 199.
— des Tuben und ihrer Fascien

XXXII, 479, Methode 480.

des Uterus, zur vergleichenden Anatomie und Entwickelungsgeschichte XXXVIII, 52, Litteratur, Methode 61 bei Nagern, Kaninchen 60, Maus, Beziehung zum Ligamentum latum 65, Peritoneum 66, Ringmuskulatur 65, 68, Längsmuskulatur 65, Verhalten an der Tubenöffnung 66, Submucosa, Existenz 70 bei Carnivoren, Katze, Verbindungsfasern zwischen Ring- und Längsmuskulatur 72 bei Hufthieren, Schwein 74, Kalb, Schaf, Verhalten der Tuben 75, subseröse Muskelschicht 76, Halbaffen, Lemur rubri-frons, Fledermaus, Pteropus 78, Affen, anthropoide und nicht anthropoide, Macacus, Cercopithecus 79, Corpus uteri 80, Collum 81, Chimpanse 83, Mensch 85, Entwickelung 86, Ursprung der Muskelfasern 87, Gefässschicht, Entwickelung 89.

glatte in der Schleimhaut des Dünndarmes XXXI, 15, Litteratur 15, Methode 17, Muscularis mucosae 18, Verhalten zu Lieberkühn'schen Drüsen, Zellen 19, Epithel 20.

- Längs- des Uterus der Maus XXXVIII, 65, Verhalten an der Tubenöffnung 66, Verbindungsfaser mit Ringmuskulatur bei Katzen 72. quergestreifte, Regeneration

XXXVII, 449 bei Siredon 456.

— Ring- des Uterus bei der Maus XXXVIII, 65, 68, Verbalten an der Tubenöffnung 66, Verbindungsfasern mit Längsmuskulatur bei der Katze 72.

Muttermundslippe, hintere, Anlage beim Menschen XXXVII, 647. Mya arenaria, Blut XXXVII, 79.

Myelinscheide der Nervenzelle des Sympathicus der Amphibien XXXV, 412, Verlauf 413.

Myeloidkörner des Rückenmarkes der Maus XXXIII, 80, der Vorderhörner 81, Centralgruppe 83. Myocyten bei Petromyzon Planeri,

Bildung XXXV, 502, Verbindung mit Neurocyten 529.

Myomacophaga tridactyla, zur Entwickelung des Herzens, Valvula foraminis ovalis XXXIII, 361.

Myopotamus coypus, Papilla vallata XL, 11.

Myotom der Selachier, Beziehung zu Mesonephros XXXIII, 490.

Mytilus edulis, Blut, gefärbte, amöboide Zellen XXXVII, 84.

Nabelstrang, Einfluss des Thionins auf das Gallertgewebe des -XXXVI, 355.

Nagelrochen -- Raja clavata.

Nager — Rodentia.

Nahrungsaufnahme bei Leidyonella cordubensis XXXVIII, 311.

Nahrungsvacuolen bei Trichodina sp. XXXIII, 410.

Nanotragus spinigerus, Gesichts-drüsen XXXI, 527.

Nase, Schwellkörper der Schleimhaut XXXIV, 197, beim Menschen, Regio respiratoria, Muskulatur 199, elastische Fasern 202, Venen 204, Circulation 205.

-, Bau der Oberhaut XXXVII, 177. Nasenhöhle, zur Anatomie beim

Menschen XXXIX, 632.

Nasenknorpel des Hammels, über pericelluläre und intracelluläre Einlagerungen XXXIV, 409.

Nasenschleimhaut des Menschen, Mucingehalt XXXVI, 348.

Natatores, Spermatozoen XXXII, 439.

Nebeneileiter beim Menschen XXXIV, 350.

Nebenhoden, Anlage beim Menschen XXXIV, 294.

beim Menschen, körniges Pigment XXXIV, 468.

Nebenkern der Spermatide von Aleyonella fungosa XXXI, 336.

— der Zwitterdrüse von Limax agrestis, Verhalten bei Zelltheilung XXXIII, 127 zum Spitzenknopf der Spermatide 132.

der Hodenzelle von Paludina vivipara und Helix pomatia XXXIII,

134, 140.

des Pancreas, Entstehung und Bedingung, ein Beitrag zur Lehre von der Secretion XXXIII, 180, Entstehung durch Kernsprossung 184, 189, Bedeutung 188 im Pancreas von Salamandra maculata 185, Form und Anzahl bei Anuren und Reptilien 188.

- bei Samenbildung der Lepi-

doptera XXXIII, 197.

der Spermatocyten der Maus XXXIV, 76.

der Samenzellen von Salamander und Maus XXXIV, 87, Ursprung, Beziehung zum Kern, Vergleich mit Centrosom 88, Schicksal 89.

der Spermatide der Maus XXXIV, 79, 81, Beziehung zu Schwanzfaden. Nebenkörper der Spermatozoen von

Salamandra, Bau und Bedeutung, XXXIV, 62, 67.

Nebenniere der Selachier XXXIII 498 Pristiurus 498, Verhalten der Spinalnerven 499.

des Menschen, körniges Pigment

XXXIV, 465.

- bei Vögeln, Entwickelung und Structur XXXVIII, 492, Litteratur, beim Huhn, erstes Auftreten 499, Beziehung zum Coelomepithel 501, Peritonealepithel 502, zum rudimentären, distalen Abschnitt des Pronephros 503, Bildung der Marksubstanz 507, Beziehung zum Sympathicus, den sympathischen Nervenzellen 508 und embryonalen Gang-lienzellen 509, Verwandtschaft mit Markzellen 511, Structur 512, Länge und Lage, Kapsel, Färbung durch Fetttröpfchen 513, Zellen der Hauptstränge bei Tauben 514, Kern, Zellvermehrung 515, Blasenzelle 516, Zwischenstränge 517, Markzelle, Ganglienzelle, Uebergangszelle 518.

Nebenpancreas, Bedeutung und Ursprung XL, 454, Factoren der

Umbildung 472.

Nebententakel der Ctenophora XL, 190, Bildung 196, Drüsenzelle, Veränderung 200, Kern 201.

Nebenscheibe der quergestreiften Muskelfasern XXXVII, 654.

Nebenspermakern von Anguis

fragilis XXXIX, 226.
— von Tropidonotus natrix XXXIX, 234, Ursprung aus Spermatozoen 262, Schicksal 274.

von Lacerta viridis XXXIX, 275. Nematoden, Vergleich der Ei- und Samenbildung XXXVI, 1, 58, Keim-zone 58, Wachsthumszone 69, Theilzone 61.

-, Befruchtungsprozess XXXVI,100, Verhalten zwischen Ei- und Samenkern 100, Verhalten des Chromatins

103.

--, XXXIX, 325.

Nematodum Gammari n. sp. in Gammarus colleoptratorum XXXIX,

Neotragus hemiprichianus, Drüsen XXXI, 528.

Nephridialapparat von Megascolides australis, Entwickelungsgeschichte XL, 552, Bedeutung 560.

Nephrotom der Selachier, Vermehrung XXXIII, 493 und Entwicke-

lung 496. Nerv, Verlauf in der Haut der Epithelialschicht der Haut von Neunaugen XXXVIII, 10.

der Antennen von Sida cristal-

lina XXXVIII, 109.

Brust- bei Sida cristallina XXXVIII, 113.

von Daphnia sima XXXVIII, 115, 116.

der Glandula carotica beim

Menschen XL, 299, 301.

— Haut- von Petromyzon fluviatilis XXXIV, 117.

— des Hérzens beim Frosch XXXVI, 491, 494, Beziehung zur Nervenzelle 494, bei Emys caspica, Verlauf 499.

— Hirn- bei Petromyzon Planeri, Anlage XXXV, 505, 510.

– von Mermis ingrescens Duj., Beziehung zu Muskeln XL, 506.

- der Muskeln von Rana, Verhalten zu Muskelspindeln und Muskelknospen XXXV, 316.

des Pancreas XL, 405, Nervenplexus, Nervenfasern, Beziehung zu Zellen 406, sympathischen Ganglienzellen 407.

von Pecten, Verbindung mit Stäbchen XXXIII, 395.

Riechvon Daphnia sima XXXVIII, 115.

— Schild- von Argulus foliaceus, Endverhalten XXXIII, 13.

der Schleimhaut des Darmes, Verhalten XL, 399.

Seiten- des Auges von Pecten

XXXIII, 395.

— Spinal-, Verhalten der Nebenniere der Selachier XXXIII, 499.

von Petromyzon Planeri, Entwickelung XXXV, 547.

der Zotten des Darmes XL, 403, Beziehung zu Epithelzelle 407.

— periphere, über Degeneration XXXVI, 579, Litteratur, Methode 585, Veränderungen der Markscheide und des Axencylinders 590, des Kernes 591.

sensitive der hinteren Extremitäten der Maus, Beziehung zum Goll'schen Strang des Rückenmarkes

XXXIII, 119.

Nervenendigung inder männlichen Harnröhre XXXI, 30.

in den Sinnesborsten von Argu-

lus foliaceus XXXIII, 16.

in den Nervenendkörperchen der Cornea und Conjunctiva des Menschen XXXVII, 607, in Endplättchen 613.

im Magen, Darm und Pancreas

XL, 390.

motorische in den Muskeln der Amphibien und Reptilien, Methylenblautinction XXXV, 305, bei Rana 312, Beziehung der Nerven zu Muskelspindeln und Muskelknospen 316 bei Reptilien, Lacerta agilis et viridis 317.

Nervenendknäuel, Bedeutung

XXXVII, 604.

Nervenendkörperchen in der männlichen Harnröhre, Vorkommen XXXI,22, Methode 29, Nervenverlauf, Verbindungen verschiedener Nervenfasern 25, Lage der Körperchen 26, Anzahl, Form, Grösse, Verbindung mit Nerven 27, Verhalten der Henle-schen Scheide, Kapsel 28, Bedeutung als Krause'sche Endkolben 29, Endigung, Ganglien in der Mucosa der Pars pendula 30.

- (Endkolben W. Krause's) in der Cornea und Conjunctiva des Menschen XXXVII, 602, Nervenend-knäuel 604, Gestalt, Grösse, Lagerung 605, Bau, Bindegewebskapsel 606, Innenkolben, Nervenendigung

607 in Endplättchen 613.

Nervenfasern, Verlauf in der männlichen Harnröhre XXXI, 25, Verbindungen unter einander 25, mit Nervenendkörperchen 27, Verhalten der Henle'schen Scheide 28.

—, über den Bau XXXI, 100 beim Neunauge, Axencylinder, Mauthner-

sche Scheide 101.

des Geruchsorganes des Hundes, Verhalten zu Geruchszelle XXXIV,

von Argulus foliaceus, Bau XXXIII, 13.

—, Regeneration XXXVII, 429. — des Geruchsorganes vom Neunauge, Verbindung mit Neuroepithelzellen XXXVIII, 8.

— des Lobus olfactorius vom Neun-

auge XXXVIII, 14.

--- des Rückenmarkes, Beziehung zu Nervenzellen XXXVIII, 280, 283.

des Alveus XXXIX, 613.

des Darmes, Verbindung mit Muskelzellen XL, 396.

— des Pancreas XL, 405, Beziehung

zu Zellen 406.

— sensible bei Lumbricus, Ursprung, Verlauf und Endigung XXXIX, 102, Verlauf von der Epidermis bis zum Bauchstrang 116, centralen Verlauf und Frahren verlauf verl traler Verlauf und Endigung 120, Theilung 122, Beziehung zur Haut 127, 133. Vergleich mit Vertebraten 128,

Nervenfaserschicht der Retina des Menschen, Bau der Axencylin-

der, Fibrillen, Axoplasma XL, 29, Beziehung zur Fovea centralis 31. Nervenfortsatz der Nervenzellen

derEpidermis von Lumbricus XXXIX, 105.

Nervengewebe des Rückenmarkes, grauer und weisser Theil XXXVIII,

Nervenhöhle von Distomum cylindraceum Zed. XXXVI, 179.

Nervennetz graues des Rückenmarkes, Bildung XXXVIII, 288.

terminales der Retina des Menschen XXXVIII, 325.

umstrickendes der Nervenzellen des Sympathicus der Amphibien XXXV, 409.

Nervenplexus der Spongioblastenschicht der Retina des Menschen XXXVIII, 339.

— im Pancreas XL, 405. — ectodermaler bei Callianira XL, 225.

Nervensubstanz des Rückenmarkes, über Aufbau XXXVIII, 264.

Nervensystem, Beziehung zur Urmundspalte XXXIX, 372.

- von Argulus foliaceus XXXIII, 9, feinerer Bau 11.

- der Ctenophora XL, 224.

-- von Gordius tolosanus XXXIV, 258. Duj.

des Herzens, zur Lehre XXXVI, 483, Litteratur, Methode 486, beim Frosch 491, Emys caspica 499, Eidechse, Phrynocephalus helioscopus, Tritonen. Triton cristatus 501.

- von Mermis crassa XXXIV, 394. - centrales, Imprägnation mit Quecksilbersalzen XXXVII, 16.

- der Cladoceren XXXVIII, 100, Sida cristallina 101, Bauchmark 102, Opticus, Sehganglien, Punktsubstanz 103, Sehcommissuren 104, Umhüllungsmembran 105, Gehirn, Markballen 106, Schlundcommissuren, Centralkörper 107, Bedeutung 108, Riechcentren, Schlundcommissuren, Nerven der Antennen 109, retroösophageales Ganglion 110, 113, Oberlippenganglion 110, Mandibelganglion 111, Bauchmark, unterer Theil, Brustnerven 112; bei Daphnia sima, Sehganglion 114, un-paares Auge, Verhalten, Riechnerv 115, Schlundcommissuren, Entwickelung des Bauchmarkes, Nerven; bei Bythotrephes longimanus 118, Sehganglion, Augen 119, Punktsubstanz, Sehfasern 120, Chiasma, Sehcommissuren 122, Centralkörper, Schlundcommissuren, retropharyngeales Ganglion 123; bei Leptodera hyalina, Ganglion opticum 124, Punktsubstanz 125, grosse Ganglienzelle mit Vacuolen 126, Bauchmark 128, Litteratur 129.

- peripheres von Argulus folia-

ceus XXXIII, 12.

von Petromyzon Planeri,

Entwickelung XXXV, 538.

Nervenwurzeln bei Anguis fragilis, Beziehung zum Ganglion spinale XXXVIII, 159.

Nervenzellengruppe des Rücken-markes der Maus XXXIII, 80.

Nervus accessorius-vagus, ziehung zum Kern des Nervus hypoglossus beim Menschen XXXI, 68, Kern.

- acusticofacialis bei Petromyzon Planeri XXXV, 515, 522, 541. - bronchiogastricus von Petromyzon Planeri XXXV, 544.

- hypoglossus, Ursprung und Verbindungen in der Medulla oblongata XXXI, 54, Litteratur 54 beim Kalb 56, Kern, Zelle, Wurzelfasern 57, Kranzfasern 58, accessorischer Kern 59, Verbindungsfasern, Fibrae propriae, Commissur der beiden Kerne 60 bei Katze, Taube, Ente 62, Commissurfasern beim Menschen 63, Beziehung zur Olive, accessorischer Kern 64, Kreuzung 66, Fibrae propriae 67, Beziehung zum Accessorius-Vaguskern 68.

- lateralis bei Petromyzon Pla-

neri XXXV, 546.

olfactorius von Neunaugen XXXVIII, 12, bipolare Zelle im Verlauf.

Verhalten zum Ricchepithel XXXIX, 639 beim Menschen, Endigung der Fibrillen, Riechzelle

--- beim Schaf, Endigung der Fasern im Jacobson'schen Organ

XXXIX, 651.

- opticus, Epithelreste XXXVIII, 24, Litteratur bei Corallenembryo 27, Amphibien, Triton taeniatus 29, Hühnerembryonen 30, Säugern 32, Ammocoetes 35.
- --- von Sida cristallina XXXVIII, 103.
- pneumogastricus von Petromyzon Planeri XXXV, 546.

- sympathicus, Beziehung zur Anlage der Urniere beim Huhn

XXXVIII, 508.

der Amphibien, Nervenzelle XXXV, 407, Material 407 und Methode 408, umstrickendes Nervennetz 409, Spiralfasern, Bedeutung 410, Myelinscheide 412, Verlauf 413, Verbindungsfaden 411, gerade Fasern 412, Verlauf 413, Zellenmasse 416.

trigeminus bei Petromyzon Planeri, Anlage XXXV, 513, Ganglien 519, Entwickelung 538, Gang-

lienwurzel 539.

vagus bei Petromyzon Planeri. Anlage XXXV, 517, Entwickelung 544, Ganglien 545.

Nesotragus moschatus, Drüsen XXXI, 527.

Nesselkap sel bei Hydra fuscaXXXV,

der Nährzelle von Hydra fusca XXXV, 357.

Netz, grosses, Anlage und erste Entwickelung XL, 445. Netzhaut — Retina.

Neunauge - Petromyzon fluviatilis. Neuntödter - Lanius collurio.

Neuralstrang bei Petromyzon Pla-neri XXXV, 498, Zelle 499.

Neuroblasten des Rückenmarkes der Tritonen XXXIV, 136, Verhal-ten zu Dotterkörnern 137, Vacuolenbildung 138.

Neurochordcylinder des Bauchstranges von Lumbricus XXXIX,

122.

Neurocyten von Petromyzon Planeri, Verbindung mit Myocyten XXXV, 529.

Neuroglia des Rückenmarkes XXXVIII, 264, Neurogliastützgerüst, Neurogliasubstanz, Structur 271 bei Amphibien 278.

des Cornu Ammonis im Alveus XXXIX, 624 und Fascia dentata, Gliazelle 625.

Neuromeren bei Petromyzon Planeri XXXV, 500.

Niere beim Menschen, Anlage XXXIV, 276, 280, Glomerulus.

beim Menschen, Anlage und Ent-

wickelung II XXXIV, 361.
— beim Menschen, körniges Pig-

ment XXXIV, 460.

der Schnecken, Beziehung zu Conjugation und Sporenbildung der Gregarinen XXXVII, 124, Nierenzelle.

- bleibende, Entwickelung bei Crocodilen und Schildkröten, Litteratur XXXVI, 442, Crocodilus biporcatus, Nierengang, Ureter 445, Chelonia midas 450, Beziehung zur Urniere, Ureter 451.

Nierenbecken, Anlage beim Menschen XXXIV, 276.

- beim Menschen, Anlage II.XXXIV,

Nierengang beim Menschen XXXIV, 277, 280.

beim Menschen, zur Entwickelung der Urniere XXXVI, 154. —, Anlage bei Crocodilus bipor-

catus XXXVI, 445.

Nierenkapsel beim Menschen, An-

lage XXXIV, 367.

Nucleolus der Zellen der Malpighischen Gefässe von Dytiscus marginalis bei Theilung XXXIII, 146.

- der Primordialeier bei Salaman-

der XXXIV, 91.

der Follikelzelle im Hoden vom

Salamander XXXIV, 91.

der Samenmutterzelle bei Ascaris megalocephala, Verhalten bei der Theilung, Vorstadien XXXVI, 28 bei Ascaris univalens 28 und bivalens 30.

claviformis in der Magenschleimhaut von Salamandra macu-

lata XXXII, 474.

Nucleus fasciae dentatae Cornu Ammonis XXXIX, 620.

der Follikelzellen im Hoden vom

Salamander XXXIV, 91.

- funiculi cuneati des Rückenmarkes der Maus XXXIII, 121.

gracilis des Rückenmarkes der Maus XXXIII, 121.

— der Primordialeier vom Salamander XXXIV, 91.

Nucula nucleus, Blut XXXVII, 83.

Uberhaut — Epidermis.

Oberhautfelderung XXXVII, 133. Oberhäutchen des Haares XXXI,

Oberkiefer von Argulus foliaceus

XXXIII, 23.

Oberkieferhöhle, Schleimhaut, besonders die Drüsen XXXII, 222, Methode und Material 222, Becher-zelle 223, Faltenbildung 224, 225, Bedeutung als Eiweissdrüsen, Epithel 227.

Oberlippe von Argulus foliaceus

XXXIII, 23.
— von Chalicodoma muraria, An-

lage XXXV, 148. Ocellen von Gordius tolosanus Duj. XXXIV, 262.

von Phylline Hendorffii XXXIII, 168.

Ochs, Harder'sche Drüse, Vergleich mit Thränendrüse XXXVI, 198.

Octopus, Spiralfasern XXXIX, 301. — vulgaris, Bau der hinteren Speicheldrüse XXXIX, 596.

Oeĥrlinge — Forficulidae.

Oesophagus von Mermis crassa XXXIV, 395.

von Mermis ingrescens Duj.

XL, 500.

von Proteus anguineus XXXIV, 530, Epithel, Becherzelle 532, Drüse, secernierende Zelle 533, Muscularis 534.

von Torpedo ocellata XXXIX, 92.

Oligoneuria rhenana, als Wirth für Filaria Ephemeridarum XXXIX,

Olive beim Menschen, Beziehung zum Kern des Nervus hypoglossus XXXI, 64.

Olm - Proteus.

Ommatidium, Bau XXXIII, 384.

Ootyp von Phylline Hendorffii XXXIII, 172.

Ophidii, Spermatozoen, Geissel XXXIII, 276.

, Zellenstränge der subgerminalen Höhle des Dotterorganes XL, 61.

Organ, Blutzellenbildendes, Anordnung und Neubildung von Leucoblasten und Erythroblasten XXXVIII, 524.

fettbildendes im lockeren Bindegewebe, neue Art XXXII, 123.

Giralde's nach Untersuchungen von Kaninchen, Hunden, Katzen XXXIII, 445, Rückbildungsprozess 447, Dauer und Lage des Organes 450, Methode 452, Flimmerepithelzelle 454, Malpighi'sche Körperchen 455, Rückbildung des Epithels, Inhalt 457, Riesenzelle 458.

Jacobson'sches des Schafes, Endigung der Olfactoriusfasern

XXXIX, 651.

interrenales der Selachier XXXIII, 500.

-- des Kopfes, Anlage bei Torpedo ocellata XXXIX, 91.

---- lymphatisches, Bedeutung der Secundärknötchen XXXVIII, 573.

Orificium vestibulare, Entwickelung beim Menschen XXXIX, 635. Ornithorrhynchus, Entwickelung

des Herzens, Valvula foraminis ovalis XXXIII, 360. Oriolus, Spermatozoen XXXII, 429,

Bildung des Spiralsaumes 443, Kopf

438, Bewegung 452.

— regens Gaimard, Farbe der Federn, Graufärbung XXXV, 83. Ossificationsgrenze, über histo-

logische Vorgänge mit besonderer Berücksichtigung des Verhaltens der Knorpelzelle XXXII, 214, Methode 216, Karyokinese 217, Zellsäulen, Kern, Veränderung 218, provisorische Verkalkung und Gefässbildung 219.

Ossificationslinie, Auftreten im Unterkiefer XXXII, 320, 350.

Osteoblasten, Auftreten bei Ossification des Unterkiefers XXXII, 313, Structur und Thätigkeit 338.

Osteoklasten des Unterkiefers, Beziehung zu Gefässen XXXII, 327,

Ursprung 328.

Ostium abdominale des Pronephros der Selachier XXXIII, 478, Scyllium, Raja, Pristiurus 479.

tubae, Anlage bei Crocodilus biporcatus XXXVI, 456.

- atrioventriculare des Herzens beim Kaninchen, XXXIII, 307. - interventriculare des Herzens beim Kaninchen XXXIII, 295,

319. Ostrea edulis, Blut XXXVII, 85.

Otolithen der Ctenophora XL, 181 mit Kern bei Beroe, Hormiphora, Callianira.

Ovarium von Bilharzia haematobia XXXI, 212.

- von Gordius tolosanus Duj.XXXIV, 265.

- von Mermis ingrescens Duj. XL, 508.

- Neugeborener, Bau XXXI, 412. von Phylline Hendorffii XXXIII, 173, Zelle 172.

Ovis aries, Verknöcherung des Unterkiefers und die Metaplasiefrage

XXXII, 266, 270, 290.

-, Pigmentation der Uterinschleimhaut XXXVI, 507, Litteratur, Karunkeln, Färbung 510, Beziehung zum Epithel 511.

-, Uterusmuskulatur XXXVIII, 75.

---- Endigung der Olfactoriusfasern im Jacobson'schen Organ XXXIX, 651.

-, Epithelzellen in den Tonsillen XL, 23.

Glandula carotica, Lage und Form XL, 295.

Ovogenese der Copepoden XXXIX, 576, Cyclops signatus.

Ovomeriten von Petromyzon Pla-neri XXXII, 644.

Pachydrilus . sphagnetorum Vejdowsky var. glandulosus XXXI, 490, Segmentalorgan, Zelle 491, Septaldrüse, Geschlechtsorgan 492, Samentasche 493.

Palaeornis haematodus, Farbe der Federn, Blaurackentypns XXXV,

Paludina vivipara, Zelltheilu und Samenbildung XXXIII, 134. Zelltheilung

Pancreas, Entstehung und Bedeutung der Nebenkerne, ein Beitrag zur Lehre von der Secretion XXXIII, 180, Methode, Material, bei Amphibien und Reptilien, in den Malpighischen Gefässen von Dytiscus marginalis, Hydrophilus piceus, Salamandra, Zelle 182 im Hungerzustande, Secretion, Bildung der Secrettropfen 183, Nebenkern, Entstehung durch Kernsprossung 184, 189, Bedeutung bei Salamandra maculata 188, Form und Anzahl bei Anuren und Reptilien, Chromatolyse 189, erschöpfte Drüsenzelle 186.

- von Proteus anguineus XXXIV, 545, Körner 546, Ausführungsgang

547.

-, Nerven XL, 405, Nervenplexus, Nervenfasern, Beziehung zu Zellen 406, sympathische Ganglienzellen 407.

, hemmender Einfluss der Blutgefässe auf die Entwickelung beim Menschen XL, 440, bei Amphibien 441; fördernder Einfluss 447, Factoren der Umbildung 470.

, Epithel des Ductus Wirsungianus, Cylinderzellen XL, 493.

Panther — Felis pardus.

Paraplasma von Petromyzon Planeri, Bedeutung XXXV, 474.

Parenchym von Bilharzia haematobia XXXI, 208, 219.

von Phylline Hendorffii XXXIII,

170, Muskeln 166.

des Knochenmarkes der Vögel, Verhalten zu Venencapillaren XXXV 439, Verhalten nach Aderlass 450, Gefässnetz 460.

Parthenogenese und Bedeutung des II. Richtungskörpers XXXVI, 109 bei Eiern von Asteracanthium 113.

Parus Ammon, Spermatozoen XXXII,

coeruleus, Farbe der Federn, Blaukehlentypus 78, Grünfärbung

— cyaneus, Farbe der Federn, Grünfärbung XXXV, 83.

Passer, Bauder Spermatozoen XXXII,

domestica, Spermatozoen

XXXII, 424, Geissel 426.

Pecten, Auge XXXIII, 390, Stiel, Pigmentmantel, Pellucida, Epithel 391, Linse 392, Entwickelung 396, Septum 392, Retina 393, Entwickelung 396, Stäbchenzelle 393, spindelförmige Zelle, Stäbchen, Verbindung mit Nerv, Seitennerv 395, Tapetum 397.

- Jacobaeus, Blut XXXVII, 84. - opercularis, Auge, Pigment-

mantel XXXIII, 391.
—, Blut XXXVII, 84. - tectae, Blut XXXVII, 84.

— varius, Blut, Blutkörperchen, Häminkrystalle XXXVII, 84.

Pectunculus glycimeris, Blut, Farbe und Reaction XXXVII, 43, Häminkrystalle 46.

- ---, Blut, Leucocyten, farbige Blutkörperchen mit Kern XXXVII, 83.

Pediotragus rufescens, Drüsen XXXI, 527.

tragulus, Drüsen XXXI, 527. Pelobates fuscus, Spermatozoen XXXVI, 250, Kopf 253, Geissel 254. Penis, Bau der Oberhaut XXXVII, 165.

Perca fluviatilis, Spermatozoen, Geissel XXXVI, 239, Axenfaden 243, Kopf 244.

Perimysium der Muskelfasern der Tentakel der Ctenophora XL, 195.

Periost, Beziehung zum Dickenwachsthum des Knochens XXXIX, 178, 181.

Periplaneta orientalis, Beziehung

zu Conjugation und Sporenbildung der Gregarinen XXXVII, 117.

Peritonealtrichter bei Entwickelung der Niere von Crocodilus biporcatus, Anlage XXXVI, 421, 426, 430, Chelonia midas 438.

Peritoneum des Menschen, Beziehung des Epithels zur Entwickelung

der Urniere XXXVI, 164. —, Beziehung zur Uterusmuskulatur bei der Maus XXXVIII, 65.

Petroceras quadricornus, Drü-

sen XXXI, 528.

Petromyzon fluviatilis, feinere Structur des Geruchsorganes XXXI. 1, Methode, Lage, Höhle 2, Anwesenheit von Drüsen 3, Epithel, Falten des Geruchsorganes 4, Flimmerzelle 5, Bindegewebe, Stützzelle, Cilien 6, becherförmige Zelle, Neuroepithelzelle 7, cylinderförmige 9, Verbindung mit Nervenfasern, Stäbchen 8, Drüsen, becherförmige Zelle 11, Kern, Bedeutung als Schleimdrüsen, Nervus et Lobus olfactorius, Structur, bipolare Zellen im Verlauf — 12, Lobus anterior, beerenförmige Zelle 13, Nervenfasern 14.

— —, Bau der Nervenfasern XXXI, 100, 101, Axencylinder, Mauthner'sche Scheide.

——, über die Haut XXXIV, 106, Methode 107, Basalmembran, Corium, Epithelschicht, Epithelzelle 109 mit Kern, Fortsetzung und Cuticula, Ersatzzelle, Nervenzelle 110, Kolbenzelle, Bedeutung 112, Endothelzelle 114, Hautnerv mit Ganglienknoten 117, Körnerzelle 118, Bedeutung, Fortsätze 119, Hautgrübchen 120, Zelle, Bedeutung 122. anterior XXXVIII, 13.

Planeri, Reifung und Befruchtung des Eies XXXII, 613, Reifung, Litteratur 614, zur Zeit der Metamorphose, Eihaut mit Granulosazelle 623, 625, Keimbläschen mit Deckel 625, Polplasma, Befruchtung, Litteratur 626, Methode 634, Veränderung des Polplasmas, Membranbildung 635, Richtungskörperchen 636, Dotterheerd, Aenderung des Polplasmas 637, 642, 644, Bedeutung 653, II. Richtungskörperchen, Auftreten 638 und Vorkommen 642, 644, Spermakopf mit Strahlung 640, Umwandelung 641 (Spermatomeriten), Ovomeriten 644, provisori-scher Furchungskern, Bedeutung 645, Microsoma 646, definitiver Furchungskern 647, Karyomeriten

Befruchtung und Furchung 471, Plasma des befruchteten Eies 473, Protoplasma und Paraplasma 474, Blastodermbildung und Gastrulation 479, Embryonalschild 480, Blastoporus 479, 480, Urdarm 481, Telo-blast 482, Centralnervensystem 484, Anlage 490, Chorda dorsalis 485, 487, Chordazelle 487, Keil, Bedeutung und Veränderung 485, Ganglienleiste 486, Kopfganglien, Hirn 487, Teloblast 492, Telocyten 493, Vergleich mit der Sichel der Gnathostomen 494, vordere Enddarmtasche 497, Neuralstrang 498, Zellen 499, Neuromeren, Chordazellen, Mesoderm, Segmentalplatte, Bildung 500, Segmentation, Muskelzelle, Bildung, Myocyten 502, Nervensystem und Sinnesorgane, Anlage 505, Hirn-nerven, Augenblase 505, 510, Ganglien 510, dorsale Kantenzelle des Mesoderm, Trigeminus 513, Labyrinthgrube 515, Acusticofacialis 515, 522, Kiementasche 514, Vagus 517, Riechorgan 518, Trigeminusganglien 519, Gehörbläschen, Fibrillen 523, Facialisganglien 524, Vagusganglien 525, Verbindung zwischen Myocyten und Neurocyten 529, Hirn, Entwickelung, weisse Substanz 531, Mitose 533, Geruchsorgan 536, Linsen und secundäre Augenblasen 537, peripheres Nervensystem, Trigeminus 538, Ganglienwurzeln 539, Acusticofacialis 541, Ganglion epibranchiale, Gehörbläschen 542, Vagus 544, Nervus lateralis, pneumogastricus 546, Ganglien 545.

Pferd — Equus caballus. Pfrille — Phoxinus laevis.

Phagocyten der Lymphdrüsen des · Hundes XXXIV, 220.

Phasianus pictus, Farbe der Federn, Grünfärbung XXXV, 80, 83.

Phocaena communis, Glandula carotica, Vorkommen XL, 287, 291, Lage und Form 295.

Pholas daetylus, Blut XXXVII, 79. Phoxinus laevis als Wirthfür Echinorrhynchus Proteus XXXIX, 331. Phrynocephalus helioscopus, Nervensystem des Herzens XXXVI, 501.

Phylline Hendorffii, zur Anatomie XXXIII, 163, Kopfscheiben 163, Cuticula und Muskeln 164, Hackenpaare 165 und Sehnen, Drüsen, Muskeln der Rindenschicht, Parenchymmuskeln 166, Mund, Darm 167, Gefässsystem, Gehirn 168, Ocellen 169, Parenchym, Hoden, Zellen, Mutter- und Tochterzellen 170, Vas deferens, Samenblasen, Vas efferens, Zelle, Cirrus 171, Ovarien, Zelle mit Kern, Dotterstöcke, Dotterelemente 172, Receptaculum seminis, Ootyp, Schalendrüsen, Eier, Bau 173, Fehlen des Laurer'schen Canales 174, Entwickelung 177.

Phyllodromia germanica, Stink-drüsen XXXVI, 577.

Phylopneuste hypolais, Spermatozoen XXXII, 422, Bewegung 452. -sibilatrix,Spermatozoen XXXII,

425, Kopf 438.

Pia mater, Zusammenhang mit den Gliazellen des Rückenmarkes XXXVIII, 277.

Picus, Spermatozoen XXXII, 442, Kopf 449, Spitzenstück 451.

Pigment der Cutis von Kröte und Salamander XXXIV, 28.

des Integumentes von Argulus foliaceus XXXIII, 8.

-- des Stirnauges von Argulus foliaceus XXXIII, 19, der Seitenaugen

31. der verästelten, intraepithelialen Pigmentzellen bei Salamandra maculata, Verhalten bei Kerntheilung XXXVI, 408.

gelhes in den sympathischen Ganglienzellen des Menschen XL,

körniges im Körper des Menschen XXXIV, 452, Abhängigkeit der Pigmentation von Alter und Beginn, Methode bei der Niere 460, Leber 462, Herz 463, Nebenniere 465, Samenbläschen 466, Nebenhoden, Hoden 468, Bedeutung 469, Ort der Bildung 470, Entstehung aus Fett- und Blutfarbstoff 482, Identität der einzelnen Pigmente 502.

Pigmentation der Schleimhaut des Uterus beim Schaf XXXVI, 507.

Pigmentfleck im Epithel von Callianira XL, 176, mit glatten Epithelzellen 177.

Pigmentierung des Haares nach

Epilation XXXVI, 551.

der Bowmann'schen Drüsen der Regio olfactoria beim Menschen XXXIX, 648.

Pigmentkörner des Haares nach

Epilation XXXVI, 549.

der sympathischen Ganglienzellen

beim Pferd XL, 380.

Pigmentmantel des Auges von Pecten XXXIII, 391, Pecten opercularis 391.

Pilgermuschel-Pecten Jacobaeus. Pinna nobilis, Blut XXXVII, 84.

Pirol - Oriolus.

Pisces, Bau der Spermatogonien

XXXVI, 225, 226.

Pisidium fossarium Clasen als Wirth für Distomum echinatum Zed. XXXIX, 334.

Pitta cyanoptera, Farbe der Federn, Beziehung der Schleimzelle zur Blaufärbung XXXV, 73, 75, 77.

Placenta des Hundes, Entwickelung und Structur XXXIII, 419, Beziehung zur Uterinschleimhaut 423.

bei Mensch und Affe, Bau XXXV, 1. über Gehalt an mütterlichem Blut in den intervillösen Räumen 1, Methode 13, bei Inuus nemestrinus 15, Verhalten der Blutgefässe des Uterus zur - 17, der Arterien und Venen 33, Begrenzung der placentaren Räume, Zottenepithel 34, Begrenzung der placentaren Räume 44,

Decidua, Entstehung 47.

—, zur vergleichenden Anatomie XXXVII, 335 bei der weissen Ratte 338, Muskelspindelzelle 341, Decidualzelle, Monsterzelle 342, Verhalten der Uterindrüsen 344, foetales Epithel 345, Chorionzotten 346, Eihaut, Amnios 347, 348, Zellen 348, Zellen der serösen Membran 347, Allantois 348, Placentarherz, Bedeutung 351, intervillöse Scheide-wände, Subplacenta 352, subglan-duläre Zone 353.

- bei der Katze, Entwickelung und Structur XXXVII, 357, Veränderungen der Uterusschleimhaut 358 und Verhalten der Chorionzotten, Anlagerung des Eies 359, Drüsenzellen, Veränderung 360, 363, erste Anlage 361, Chorionzotten, Verhalten 361, 366, Syncytium, Bildung 363, Bedeutung 370, Epithelzelle des Chorion mit Blutkörperchen 365, 366, 369, Uterinmilch, Wesen 367, Blut zwischen Chorion und Uterinschleimhaut 368, Gefässe des Uterus, Verhalten zur - 369.

Placentarherz der weissen Ratte, Bedeutung XXXVII, 351. Plaques, Peyer'sche, fixe Zelle

XXXVIII, 544.

Plasma des befruchteten Eies von Petromyzon Planeri XXXV, 473.

von Leidyonella cordubensis XXXVIII, 309.

Plasmahaut amöboider Zellen im Blut der Mollusken XXXVII, 67, Bedeutung.

Plasmasaum der Spermatozoen bei Fischen, Raja clavata XXXVI, 232,

Teleostei 240, Hecht 541. Platycercus Pennantii, Farbe der Federn, Beziehung der Schleimzellen zur Blaufärbung XXXV, 76.

Plexus Auerbachs der Darmwand, Anastomose $_{
m mit}$ Meissner'schem Plexus XL, 396, 399.

Meissner'scher des Darmes, Anastomose mit Auerbach'schem Plexus XL, 396, 399.

Plica arteriae hepaticae, Anlage

XL, 446, 469.

duodenojejunalis, XL, 458.

duodenomesocolica, Anlage XL, 459, Ursprung 469.

- jejunalis, Anlage XL, 460. mesocolicojejunalis,

lage XL, 460, Ursprung 469.

— urogenitalis beim Menschen XXXIV, 275, 279.

vasoenterica, Anlage XL, 451, Ursprung 469.

Polarkörperchen der Spermato-genese der Maus XXXIV, 78.

der Eizelle des Spulwurmes beim

Hund XXXIV, 401, 403. Polkörperchen, Verhalten bei der Theilung der Samenmutterzelle von Ascaris megalocephala in den Vorstadien bei univalens XXXVI, 29 und bivalens 33, bei der II. Thei-

lung 44. Polplasma des Eies von Petromyzon Planeri, Bildung XXXII, 626, Veränderung bei Befruchtung 635.

— der Eier von Tropidonotus natrix XXXIX, 235.

Polycystidae XXXVIII, 18.

Polypi, Umstülpung XXXV, 111, Deutung.

-, Mechanik des Trembley'schen

Umstülpungsversuches XXXVII,513, Methode.

Polyspermie bei Tropidonotus natrix XXXIX, 271.

Prächordalplatte von Anguis fragilis XXXVI, 612, Verhalten der Zelle 614.

Praemedulla bei der Maus XXXIII, 120.

Praeputium, Bau der Oberhaut XXXVII, 165.

----, Anlage beim Menschen XL, 271. Prestandreae, Reductionstheilung

XL, 117.

Primärfollikel des menschlichen Eies XXXI, 364, Entstehung 368, Wachsthum 376, Membrana propria 384.

Primordialei beim Menschen XXXI, 359, Entstehung 366, Vermehrung 372, Wachsthum 376.

vom Salamander XXXIV, 89 mit Nucleus und Nucleolus 91.

— beim Menschen XXXIV, 330 und Ursamenzelle 331.

Pristiurus, Entwickelung des Excretionssystems XXXIII, 476, Pronephros 476, Ostium abdominale 479, Metanephros 491, Nebenniere

498.

Pronephros der Selachier XXXIII, 472, Scyllium canicula, Pristiurus, Verschmelzen des Ostium 476, Ostiumabdominale 478 bei Scyllium, Pristiurus, Raja 479, Glomus 480, Gefässe 481, Vergleich mit andern Cranioten 501, Vergleich mit Mesonephros 505.

—, Beziehung zur Anlage der Nebenniere beim Huhn XXXVIII, 503.

Pronephrosgang der Selachier XXXIII, 482, Beziehung zum Ectoderm bei Scyllium catulus und canicula, Raja 485, Beziehung zur Cloake 486, Spaltung in Wolff'schen Körper und Müller'schen Gang 487, Vergleich mit anderen Cranioten 501, Erklärung für die Spaltung beim Männchen 503.

Pronucleus, Bildung bei Befruch-

tung XXXII, 78.

—— von Ascaris marginata, Bedeutung, Zahl und Bau XXXII, 679.

von Ascaris megalocephala, Bildung bei Befruchtung XXXI, 579,
 Karyokinese 582.

— der Eizelle des Spulwurmes des Hundes XXXIV, 403, Karyokinese 404.

Prostata, erste Anlage beim Men-

schen XXXVII, 642.

Proteus anguineus, Beiträge zur Anatomie XXXIV, 511, Verdauungstractus 511, Litteratur, Methode 514, Mundhöhle, Zunge 516, Epithel, Epithelzelle 518, Becherzelle 519, Gallertröhre 521, Wanderzelle 522 mit Einschlüssen 523, 524, Thränencanal 524, Drüsengänge der Schnauzenspitze 526, Schilddrüse 529, Oesophagus 530, Epithel, Becherzelle 532, Drüsen, secernierende Zelle 533, Muscularis, Magen 534, Muscularis, Epithel 535, Becherzelle, Fundusdrüsen 536, Schleimzellen und Labzelle 537, Mitteldarm 538, Epithel, Drüsen 539, Wanderzelle 540 mit Einschlüssen 541, Pigmentzellen 542, Enddarm, Drüsen, Pancreas 545, Körner 546, Ausführungsgang 547, Leber 548, Lymphsystem und Leberzellen 550, 555, Lymphzellen 551, Pigmentzellen 552, Gallencapillaren und Gallengänge 555, Länge 556, Epithelzellen 558, Stimmlade, Tracheobronchialraum, Larynx 561, Epithel 562, Kehlkopfmuskeln 563.

— —, Beiträge zur Entwickelungsgeschichte XXXV, 121, äussere Formverhältnisse 123.

— — , Entstehung der karyokinetischen Spindel in den Spermatozoen XXXVII, 583.

Protoplasma von Ascaris megalocephala, Theilung bei Befruchtung XXXI, 588.

—— des Dotterorganes bei Lacerta, peripherisches XL, 52, 60, und ober-

flächliches 53, 60.

— des Eies von Ascaris marginata, Beziehung zu Richtungskörperchen XXXII, 678.

des Keimbläschens des mensch-

lichen Eies XXXI, 361.

von Petromyzon Planeri, Bedeutung XXXV, 474.

— der Becherzellen des Dünndarmepithels XXXI, 124.

— der Epithelzellen des Dünndarm-

epithels XXXI, 142.

der fixen Zellen der Blutzellenbildenden Organe XXXVIII, 542.

— der Zellen der Glandula carotica beim Menschen XL, 312.

- der Protoplasmazellen der Duodenaldrüsen der Maus XL, 348.

der Protoplasmazellen der Rectumdrüsen der Maus XL, 326.

Protoplasmafaserung der Epithelzellen XXXIX, 141 in den Cylinderzellen der Haut, der Epidermis eines Epithelioms 145, Verhalten bei Mitose des Kernes 148.

vespertina, Blut Psammobia

XXXVII, 81.

Psammodromus, Spermatozoen, Geissel XXXVI, 274, Axenfaden 275. Pseudopodien amöboider Zellen im Blute der Mollusken XXXVII, 64.

Pseudopus Pallasii XXXVIII, 203, Zungenepithel 203, Becherzelle, Anordnung, Bau 204, Kaninchen 205, Bedeutung, Secretbildung 209, Verhalten zu Netzwerk 212, interpapilläre Räume, Bedeutung 215, Litteratur 216, Veränderung der Becherzellen nach intensiver Secretion 224 unter Anwendung von Pilocarpin, Veränderung des Kernes, Vacuolenbildung 226, Auftreten runder Zellen, Bedeutung 229.

Pteropus, Uterusmuskulatur XXXVIII, 78.

Pterostichus niger als Wirth für Gordius tolosanus Duj. XXXVII, 238. von Ascaris Pterostichi

XXXIX, 325.

Pulpa der Milz, Beziehung zu arteriellen Endigungen XXXVIII, 374, Verhalten zu Malpighi'schen Körperchen 389, Beziehung zu Capillarscheiden 425.

Punktsubstanz des Centralnervensystemes von Bythotrephes longima-

nus XXXVIII, 120.

des Centralnervensystemes von Leptodera hyalina XXXVIII, 125. der Sehganglien von Sida cri-

stallina XXXVIII, 103.

Pygaera bucephala, Spermatogenese XXXIII, 199, Mitosen, Bedeutung 199, Spermatide, Lage und Bau, Centrosomen und Mitosomen Bau, Centrosomen und Entrosomen 200, Verhalten zum Kern, zu Spermatosomen 201.

Pyramidenbahn des Rückenmarkes

der Maus XXXIII, 120.

Querder - Ammocoetes.

Rabe - Corvus.

Rachentonsille, zur Entwickelung XXXII, 187, Litteratur 187, 205, Recessus pharyngeus medius, Bedeutung und Beziehung zum Hypophysengang 193, Ursprung 199, Beziehung zum Ligamentum occipito-pharyngeum 200, Vergleich mit Gau-mentonsille 206, Verhalten der Blutund Lymphgefässe 210.

Räderthiere - Rotatoria.

Raja, Entwickelung des Excretions-systemes XXXIII, 476, Pronephros, Ostium abdominale 479, Glomerulus 480, Pronephrosgang 485.

clavata, Bau der Spermatozoen XXXVI, 229, Kopf 230, Verbindungsstück mit Plasmaanhang 232, Geissel

Ramus communicans des Rückenmarkes bei Anguis fragilis XXXVIII,

Rana, Regeneration des Endothels der Hornhaut XXXIII, 155, Membrana Descemetii, Verhalten der Zellen und Kerne 159, Beziehung zur indirekten Kerntheilung 161.

-, Methylenblautinction der motorischen Nervenendigungen im Muskel XXXV, 317, Beziehung der Nerven zu Muskelspindeln und Muskel-

knospen 316.

-, Mucingehalt der Eileiter XXXVI,

-,Nervensystem desHerzensXXXVI, 491, Bidder'scher Knoten 491, Nervenzelle, Remak'scher und Ludwigscher Knoten 493, Beziehung zu Nerven 494, Structur, Kern 495, Fortsätze 496, Richtung 498.

-, Gliazelle des Rückenmarkes, faserartige Zellen XXXVIII, 279.

 esculenta, Regeneration des Bindegewebes XXXVII, 446, Cutis, Cutislamelle 448, Bildung von Muskelfibrillen 457.

fusca, Regeneration der Schwanzspitze und Versuche über functionelle Anpassung XXXVII, 397.

-, Regeneration der Epidermis der Schwanzspitze XXXVII, 409, Bildung von Muskelfibrillen 460.

- temporaria, Urmund, Spina bifida XXXIX, 353.

Randschicht, lymphatische der Salamandrinen leber, Kerntheilung durch indirekte Fragmentierung

XXXVII, 375, Litteratur, Ringform der Kerne 381, Theilungsvorgang 383, Verhalten des Chromatin 387.

Raptatores, Spermatozoen XXXII,

Ratte - Mus rattus.

- Wander- - Mus decumanus.

Raubvögel - Raptatores.

Raum, interpapillärer der Zungenpapillen von Pseudopus Pallasii XXXVIII, 215.

Receptaculum seminis bei Phylline Hendorffii XXXIII, 172.

Recessus pharyngeus medius, Bedeutung und Beziehung zum Hypophysengang XXXII, 193, Ursprung 197, Beziehung zum Ligamentum occipitopharyngeum 200.

Regeneration der Schwanzspitze von Rana fusca und Versuche über functionelle Anpassung XXXVII,

der Gewebe, zur - XXXVII, 406, Epidermis der Schwanzspitze bei Froschlarven 409, Triton taeniatus 412, Rana fusca, Verhalten der Epithelzellen 413 bei Triton cristatus, Siredon pisciformis, Ursprung 417, indirekte Kerntheilung 419, freie Kernbildung, Verhalten der Wanderzellen 421; — des Rückenmarkes 424 beim Frosch, Tritonen-larven, Erweiterung des Medullarrohres und Verhalten der Zellen 425, Zerfall von Wanderzellen 427, amöboide Bewegung 426, mitotische Kerntheilung 427; — der Spinal-ganglien 428 und Nervenfasern 429, der Chorda dorsalis und des Knorpelstabes 430, Verhalten zwischen Epithel- und Chordazellen, Verhalten der Chordascheide, des Chordaepithels 431, Knorpelstab, Beziehung zur Chorda 435 bei Larven von Triton cristatus, Verhalten der Chordazellen 437 bei Triton taeniatus 438, Chordazelle, hyaline Umwandelung 442; - bei Bindegewebe, Cutis und Gefässen von Rana esculenta, Mitose der fixen Bindegewebszellen 446, Cutislamellen 447 bei Rana esculenta; — Verhalten der Capillaren 448 bei Siredon; — der querge-streiften Muskulatur 449 bei Siredon 451, Sarcoblast, Bedeutung 452, 454, Knospung 452, Umwandelung zu Muskelfasern 455 bei Siredon, Fibrillen, Bildung 456 bei Rana esculenta 457, Muskelsegmente, Bildung 458 bei Rana fusca 460, vorbereitende Rückbildung 461, blasige Entartung der Muskelfasern 462, Muskelzellenschläusche, Bedeutung 462, Sarcolyten 465, Spaltung der Muskelfasern, Bedeutung 468, Knospung der Mukelfasern 471, Sarcoblasten 472, Bedeutung der mitotischen Kerntheilung 477.

Regenwurm - Lumbricus.

Regio olfactoria, Schleimhaut beim Menschen XXXIX, 643, Drüse 644, Ausführungsganges, Epithel des Blase der Bowmann'schen Drüse 645, Drüsenepithelzelle 646,

respiratoria der Nase des

Menschen XXXIV, 199.

Reifung des Eies von Ascaris marginata XXXII, 671.

des Eies von Petromyzon Planeri XXXII, 613.

Reptilia, Nebenkern des Pancreas XXXIII, 182, Form und Zahl 188. -, Methylenblautinction der motorischen Nervenendigungen im Muskel XXXV, 305, 317.

-, Spermatozoen XXXVI, 271, Kopf 272, Geissel, Verbindungsstück 274,

276, Axenfaden 275, 276.

-, Befruchtung der Eier XXXIX, 215.

-, Drüsen des Zungengrundes, Ausführungsgang XL, 22.

Reticulum der Lymphdrüsen des Hundes XXXIV, 208.

Retina, Epithelreste XXXVIII, 24, Litteratur, bei Forellenembryonen 27, Amphibien, Triton taeniatus 29, Hühnerembryo 30, Säugern 32, Ammocoetes 35.

des Menschen, nervöse Elemente XXXVIII, 317, Neuroepithelschicht (Schicht der Sehzellen), Stäbchen, Zapfen 319, subepitheliale Nervenzelle mit äusserem 320 und innerem Fortsatz 321, innere Körnerschicht 322, Ganglion retinae, grosse, sternförmige Zelle 324 mit äusserem Fortsatze (terminales Nervennetz) 325, innerem Fortsatz und Axencylinderfortsatz 326, kleine, sternförmige Zelle mit Kern, äusserem 328, innerem Fortsatz und Axencylinderfortsatz 329, bipolare Zelle mit äusserem 330 und innerem Fortsatz 332, Ganglion optici 333, Zelle mit Protoplasmafortsatz 334 und Axencylinderfortsatz 336,

Spongioblastenschicht (mittlere, gangliöse Schicht) 337, grosse Nervenzelle 338 mit Fortsatz und Nervenplexus, kleine Nervenzelle 339.

des Menschen, nervöse Elemente, II. Mittheilung XL, 29, Nerven-faserschicht, Bau der Axencylinder und Fibrillen, Axoplasma 29, Beziehung zur Fovea centralis 31, Methode 34, subepitheliale Nervenzelle, Verhalten 37.

von Pecten XXXIII, 393, Entwickelung 396, Stäbchenzelle 393, spindelförmige Zelle, Stäbchen, Verbindung mit Nerv 395, Tapetum 397,

Seitennerv 395.

Rhachis der Eierstocksröhre bei Ascaris megalocephala XXXVI, 52.

der Hodenröhre von Ascaris megalocephala XXXVI, 9, Anordnung der Rhachislamellen 10.

Rhachislamellen der Hodenröhre von Ascaris megalocephala, Anord-

nung XXXVI, 10.

Richtungskörper des menschlichen Eies XXXI, 410.

- von Ascaris megalocephala, Bildung XXXI, 572.

-, Bildung bei Befruchtung XXXII,

70. - des Eies von Petromyzon Pla-

neri XXXII, 636, 638. -, Ausstossung bei Ascaris margi-

nata XXXII, 675. - bei Samenbildung der Lepidoptera XXXIII, 194, 195.

des Eies von Ascaris megalocephala XXXVI, 57.

, zur Bedeutung der Ersatztheorie von Minot XXXVI, 78, van Beneden 79, Weismann 86; zur Geschichte 117, Theorie des — 126.

der Gregarinen bei Sporenbildung und Conjugation, Monocystis magna und agilis, Bildung und Ausstossung XXXVII, 110.

-, Einfluss auf Veränderungen des Eies bei Follikelatresie XXXVII,

208.

- bei Cyclops, Schicksal XXXIX, 573, Beziehung zur A-zelle 574.
- zweiter, Bedeutung und die Parthenogenese XXXVI, 109.
- Richtungsspindel bei Samenbildung der Lepidoptera XXXIII, 194.
- im Ei von Aulostomum gulo XXXIII, 204, 212, Verhalten der Centrosomen 217.

Riechcentrum bei Sida cristallina XXXVIII, 119.

Riechhäärchen beim Menschen XXXIX, 638.

Riechkolben von Argulus foliaceus XXXIII, 17, 39.

Riechorgan von Petromyzon Planeri, Anlage XXXV, 518.

Riesenschildkröte Chelonia midas.

Rind, Lymphbahnen der Hornhaut XXXII, 596.

Rindensubstanz des Haares XXXI, 47.

 der Muskelfasern im Muskel von Sepiola Rondaletii, Spiralfasern XXXIX, 295.

Ringelnatter - Tropidonotus na-

trix.

Rippenknorpel, Schrumpfungserscheinungen XXXI, 315.

Rippenguallen — Ctenophora. Rodentia, zur Entwickelung des Herzens, Lungenvenen, Einmündung XXXIII, 334.

Epithel der Harnblase XXXV,

402.

Bau der Muskulatur des Uterus

XXXVIII, 52.

-, Verbindung zwischen Zahn und Alveole XXXVIII, 149, Alveodentalperiost.

, zur Entwickelung der Zähne XXXIX, 525.

-, Papilla foliata XL, 18. Röhrenknoch en des Menschen, über das Wachstum XXXIX, 151. Rotatoria XXXVIII, 21.

Ruderplättchen der Ctenophora XL, 182, Cilien bei Callianira und Cestus 184, Flimmerzellen, Basalpolsterzelle bei Callianira 183, Verbindung unter einander durch Flimmerstreifen, Verbindungsfasern bei Callianira 185, Euchlora, Hormiphora, Beroe 186, Bedeutung 187.

Rudimentärzähnchen bei Lepus cuniculus XXXIX, 534, Schmelzorgan 536 bei Sciurus 540, Cavia cobaya 547, Cricetus fumarius, Mus musculus et decumanus 548.

Rückencanal von Gordius tolosanus Duj., Verbindung mit Geschlechtsorganen XXXVII, 243.

Rückenmark, Markscheiden, Entwickelung und Faserverlauf bei der Maus XXXIII, 71, graue Substanz und gelatinose Formation 74, Rolando'sche Formation, Bedeutung 76,

Zelle 78, Nervenzellengruppe und Fasernetz 80, Myeloidkörner 80, 88 der Vorderhörner 81, Centrallappen 83, Clarke'sche Säule 85, solitäre Nervenzelle der Hinterhörner 87, weisse Substanz im Allgemeinen und Faserkaliber, Grossfaserbündel 89, Vorderwurzeln 94, Vorkommen von Wurzelfasern, vordere Commissur 96, Vorderstrang 98, Seitenstrang 102, Hinterwurzeln 108, mediale Partie 109, laterale Partie 110, Hinterstrang, Burdach'scher Strang 111, Goll'scher Strang und hintere Commissur 113, vorderer 114 und hinterer Theil 115, Beziehung zu sensitiven Nerven der hinteren Extremität 119, Pyramidenbahn, Praemedulla 120, Nuclei funiculi gracilis et cuneati 121.

der Tritoneu, histologische Untersuchungen XXXIV, 131, Methode 132, Mitose 133, Bildung der Neuroblasten 136, Verhalten zu Dotterkörnern 137, Vacuolenbildung 138, Spongioblasten und Stützsubstanz, Bildung 139, Umbildung, Verhalten zur Limitans int. 140, Ganglienzellen, grosse 143, kleine 144, Hinterzellen 144, 147, Lymphoidzelle, Vorkommen 146, Topographie 147, Centralcanal, Schluss 148, Umwandelung bei erwachsenen Thieren, Veränderung der Zahl der Zellkerne 150, Längenwachsthum, Epithelzelle mit Axencylinder 151.

Verlauf der Hinterwurzeln XXXIV, 157, Material, Litteratur 159, mediale Gruppe 163, 165, Einstrahlungszone 165, 166, mittlere Gruppe, laterale Gruppe 163, Burdach'sche Stränge, Verlauf 165, Eintheilung und Beziehung zu Gliasepten- und Markscheidenentwickelung 166, Zeit 172, Endigung in Vorderhörnern 168, Beziehung zu Clarke'schen Säulen 169 und deren Zellen 170, Beziehung zur vorderen Commissur 171, zur hinteren Commissur 172; — bei der Katze 173, Kaninchen, Meerschweinchen 174, Maus, Mensch, Längsbündel 175, Verlauf und Zusammensetzung 177 bei der Katze 180, Kaninchen, Meerschweinchen 181, Hinterhörner 182. Bau, hintere Commissur 189 bei der Maus 185, Stützgewebe 187, 189, Substantia gelatinosa, Zelle 191 bei Hund, Katze, Meerschweinchen 194, Maus 195.

—, Regeneration XXXVII, 424 bei Frosch- und Tritonenlarven, Erweiterung des Medullarrohres und Verhalten der Zellen 425, mitotische Kerntheilung 427, amöboide Bewegung 426, Zerfall von Wanderzellen 427.

-, vom Aufbau XXXVIII, 264, Histologisches über Neuroglia und Nervensubstanz, Methode 264, Neurogliastützgerüst, Neurogliasubstanz, Structur 271, Rückenmarksgliazelle 272, Verhalten der Fortsätze 273, Zusammenhang mit Gefässen 276, mit Pia und dem Epithel des Centralcanales 277 bei Amphibien 278, Gliazelle, Frosch, faserartige Zelle 279, Nervenzelle und Nerven, Bau und Beziehung, Strichelung 280, Kern, Fortsätze 281, Beziehung zu Kern 283, Nervengewebe, grauer und weisser Theil 284, Nervennetz, graues, Bedeutung, varicose Fasern 288, Axencylinderscheide oder Axolemma 291.

Rückenmarksfaserung, vergleichend-anatomische Untersuchungen XXXVIII, 157 bei niederen Vertebraten, Anguis fragilis, weisse Substanz, graue Substanz 159, Ganglion spinale, Beziehung zu Nervenwurzeln, Ramus communicans anterior et posterior, Vorderwurzeln, Vordercommissur 160, Fasciculus medullae inferior s. ventralis, Hinterwurzeln, mediale und laterale Partie 162; bei Ringelnatter, Hinterwurzel, mediale, mittlere und laterale Partie, Anteroposteriores 164, hintere Commissur 165, Verlauf 166; bei höheren Vertebraten, Kaninchen, Katze, Fledermaus 170, Fasern aus Seitenstrang zum gekreuzten Vorderstrang, aus Hinterwuzeln, Anteroposteriores 171.

Rûminantia, Gesichtsdrüsen XXXI, 514.

-, Papilla vallata XL, 11.

R umpf der Selachier, Mesodermsegsegmente und die Entwickelung des Excretionssystemes XXXIII, 461.

Ruticilla phoenicura, Spermatozoen XXXII, 422, 423, Kopf 438. Säule, Clarke'sche im Rückenmark der Maus XXXIII, 85.

Beziehung zum Vorderhorn des Rückenmarkes XXXIV, 169, Zelle 170.

Säugethiere - Mammalia.

Säugethier-Mitose im histologischen Kurs XXXIII, 517, im Amnion der Ratte.

Saftbahnen des Knorpels, zur Kenntniss XXXVII, 492, Verhalten der Knorpelzelle 503.

Saftcanälchen des hyalinen Knorpels XXXI, 324.

Saftlücken der Milz XXXVIII, 394. Saitenwürmer — Gordiacei.

Salamander, Erd- - Salamandra. — —, gefleckter — Salamandra atra.

-, gefleckter - Salamandra ma-

culata.

- Wasser- - Triton cristatus.

Salamanderlarven, Theilung der Wanderzellen der Capillaren, Beziehung zwischen Kern- und Zelltheilung XXXV, 275.

Salamandra, Nebenkern in den Malpighi'schen Gefässen XXXIII, 182. Giftdrüse und Beziehung zur

Haut XXXIV, 11, Vorkommen 12,

Methode 13.

-, zur Histologie des Hodens XXXIV. 58, Entwickelung des Mittelstückes und des Flossensaumes der Spermatozoen 61, Verhalten des Kernes, Nebenkörper, Bau und Bedeutung 62, Ursprung 67, Schwanzfaden, Bildung und Ursprung 66, Neben-kern in den Samenzellen 87, Ursprung und Beziehung zum Kern, Vergleich mit Centrosomen 88, Schicksal, Regeneration des Hodens 89, Inhalt der Hodencanälchen, Primordialeier mit Nuleus und Nucleolus, Follikelzelle, Nucleus und Nucleolus 91, indifferente Körnerzelle, Bedeutung 92, Umbildung zu Spermatogonien 95, polymorphe Kerne, Bedeutung 92, Stellung der Spermatozoen in den Hodencanälchen 99.

-, amitotische Kerntheilung im Blasenepithel XXXIV, 437, durch-löcherte Kerne der Epithelzelle 438, Eigenthümlichkeit der Färbung 442, Zelltheilung 445, Deutung 447.

-. Pigmentzellen der Larve XXXV, 275, Methode 276, Bau 277, Beziehung zwischen Kern- und Zelltheilung 279.

-,Spermatozoen, undulierendeMembran XXXVI, 363, Endstücke der Geissel.

-, mitotische Theilung der Leucocyten XXXVII, 253, Kern 257.

-, Entstehung der karyokinetischen Spindel in den Spermatocyten XXXVII, 570, Bildung der kleinen Spindel 573, Centralspindel 580.

-, Attractionssphären und Centralkörper in den Gewebszellen XXXVII,

709.

-, zur Mechanik der Zelltheilung und über die Entstehung der Kernspindel in Gewebszellen XXXVII, 715, 722, Spaltung der Chromosomen.

-, Verhalten der Kernmembran in den Spermatocyten XXXVII, 731,

739.

— atra, Beiträge zur Entwicke-lungsgeschichte XXXVI, 469, Me-thode, Uterus, Schleimhaut 472, Epithel mit Wimperzellen und Leucocyten 473, rothe Blutzellen 474, Bedeutung als Sauerstoffträger 477.

maculata, weitere Beobachtungen über die Entwickelung der Spermatosomen XXXI, 71, Methode 75, Spermatogenese, äussere Erkennungsmöglichkeit 76, Spermatozoenköpfe, Bildung 78, Verhalten der Spermatidenkerne, Elasticität 79, Verhalten des Chromatin, Scheide aus Kernmembran 81, Mittelstück, Entstehung 82, Schwanzfaden 83, 84, Verhalten zur Kernmembran 83, Köpfe, Verhalten zu Safranin 85, Anordning in den Cysten 86, Auftreten chromatischer Körner, Cystenwand 87.

kolbenförmige Kernkörperchen in der Magenschleimhaut

XXXII, 474.

---, Theilung rother Blutzellen XXXII, 603, Methode 604, ruhender Kern 605, chromatische Substanz 606, enger Knäuel, loser Knäuel 607, Sternfigur, Längsspaltung der Fäden 608, Verhalten der Zellmembran 609, Metakinesis 610.

———, Nebenkern des Pancreas XXXIII, 188.

-, Theilung der verästelten, intraepithelialen Pigmentzellen XXXVI, 404, 407, Verhalten des Pigmentes 408.

-, zur Entwickelungsgeschichte

XXXVI, 480.

Salamandrinen, Kerntheilung durch indirekte Fragmentierung in der lymphatischen Randschicht der Leber XXXVII, 375, Litteratur, Ringform der Kerne 381, Verhalten des Chromatins 387, Theilungsvorgang

Samenbildung in der Zwitterdrüse von Limax agrestis XXXIII, 125.

- bei Paludina vivipara und Zelltheilung bei Helix pomatia XXXIII, 134.

— der Lepidoptera XXXIII, 192. bei Ascaris megalocephala

XXXVI, 2.

- bei Nematoden, Vergleich mit Eibildung XXXVI, 1, 58, Keimzone 58, Wachsthumszone 60, Theilzone
- Samenbläschen beim Menschen, körniges Pigment XXXIV, 466.

-, erste Anlage beim Menschen XXXVII, 641.

Samenblase von Bilharzia hämatobia XXXI, 218, Cuticula 220.

- von Phylline Hendorffii XXXIII, 171.

von Distomum cylindraceum Zed.

XXXVI, 181. Samencanälchen, Anordnung der Spermatozoiden XXXI, 282.

beim Menschen, Anlage XXXIV,

Samenfäden bei Spermatogenese von Gryllotalpa vulgaris Latr., Be-

deutung XL, 105. Samenkern der Nematoden, Verhalten zu Eikern bei Befruchtung XXXVI, 100.

Samenkörperchen von Gordius tolosanus Duj. XXXIV, 263.

, Bau bei Ascaris megalocephala univalens et bivalens XXXVI, 49.

Samenleiter bei Ascaris megalocephala, Inhalt XXXVI, 47, Samenzellträger.

Samentasche bei Pachydrilus sphagnetorum Vejdowsky var. glandulosus XXXI, 493.

bei Argulus foliaceus XXXIII, 34.

Samenzellträger bei Ascaris me-

galocephala XXXVI, 47. Sammelgefäss des linsenförmigen Gefässkörpers im Auge der Cyprinoiden XL, 425.

Sammtmuschel — Pectunculus.

Sarcoblast, Bedeutung XXXVII, 452, 454, Umwandelung zu Muskelfasern 455 bei Siredon 472, mitotische

Kerntheilung 477. Sarcolemma der Muskelfasern der Cephalopoden XXXIX, 293.

der Muskelfasern von Beroe XL, 207.

Sarcolyten, Bedeutung XXXVII, 465.

Sarcom, über granuläre Einschlüsse in Geschwulstzellen XXXIX, 140.

Sarcoplasma des Flossenmuskels vom Seepferdchen XXXII, 239.

quergestreifter Muskelfasern XXXVII, 654.

der Cephalopoden mit Sarcosomen XXXIX, 305, 306.

Sarcosomen der Cephalopoden XXXIX, 306.

Saugnapf bei Distomum cylindraceum Zed. XXXVI, 176.

Saugnapffüsse von Argulus folia-ceus XXXIII, 40, 46.

Saugscheibe von Argulus foliaceus XXXIII, 3.

Saugwürmer - Trematoda.

Saugwurm - Gyrodactylus elegans. Saurii, Nervensystem des Herzens XXXVI, 501.

Scansores, Spermatozoen XXXII,

Scarabaeus laticollis, quergestreifte Muskelfasern, Scheibenzerfall XXXVII, 665.

Sciurus, zur Entwickelung der Zähne XXXIX, 542, Rudimentärzähnchen, Zahnleiste und Schmelzorgan 544 im Oberkiefer 546.

Scolopax major, Farbe der Federn, Körnchengehalt des braunen Pigmentes und Beziehung zu Pigmentzellen XXXV, 70.

Scopophorus montanus, Drüsen XXXI, 527.

- scoparius, Drüsen XXXI, 527. Scrotum, Bau der Oberhaut XXXVII,

Scyllium canicula, Entwickelung des Excretionssystemes XXXIII, 476, 476, Pronephros 476, Ostium abdominale 479.

catulus, Pronephrosgang, Beziehung zu Ectoderm XXXIII, 485.

Secretbildung der Becherzelle der Zungenpapille von Pseudopus Pallasii XXXVIII, 209, Verhalten zum Netzwerk 212.

Secretblase der Fermentzelle der

Mitteldriise von Carcinus maenas XXXIX, 7.

Secretion der Epithelmuskelzellen von Hydra fusca XXXV, 327.

Secundärknötchen der lymphatischen Organe, Bedeutung XXXVIII,

Seepferdchen - Hippocampus. Segmentalbläschen der Selachier XXXVIII, 474.

Segmentalgang der Selachier XXXIII, 482.

Segmentalorgan bei Stercutus ni-

veus n. sp. XXXI, 485.

-- bei Pachydrilus sphagnetorum Vejdowsky var. glandulosus XXXI,

Segmentalplatte, Bildung bei Petromyzon Planeri XXXV, 500.

Segmentation bei Petromyzon Planeri XXXV, 502.

Selicommissuren bei Sida cristallina XXXVIII, 104.

- bei Bythotrephes longimanus

XXXVIII, 122. Sehfasern bei Bythotrephes longimanus XXXVIII, 120.

Seitencanalsystem bei Trichodina sp. XXXIII, 406, Aufnahme von Lymphzellen 408.

Seitenstrang des Rückenmarkes der

Maus XXXIII, 102.

- des Rückenmarkes höherer Vertebraten, Beziehung zum Vorderstrang

XXXVIII, 291.

Selachii, der Ursprung der mesenchymatischen Gewebe XXXII, 378, Bildungsgewebe 380, Zelle, Entstehung im Rumpfe 382 aus dem Splanchnopleur der Ursegmente 383, Urnierencanälchen, Bildung 385, Extremi-

tätenleisten 388.

-, über die Mesodermsegmente des Rumpfes und die Entwickelung des Excretions systemes XXXIII, 461, 472, Pronephros 472, Segmentalbläschen 474, Verschmelzen der Ostien 476, Ostium abdominale 478, Glomus, Bedeutung 480, Gefässe 481, Pronephrosgang (Urnierengang, Segmentalgang) 482, Beziehung zu Ectoderm 485, zur Cloake 486, Spaltung in Wolff'schen Körper und Müllerschen Gang 487, Mesonephros (Urniere) 488, Beziehung zur Abschnürung der Myotome 490, Nephrotom, Vermehrung 493 und Entwickelung 496, Nebenniere 498, Verhalten der Spinalnerven 499, interrenales Organ 500, Vergleich mit den übrigen Cranioten, Pronephros und Gang 501, Müller'scher Gang, Entstehung bei Amnioten 502, Vornierengang, Erklärung für Spaltung beim Männ. chen 503, Mesonephros 504, Vergleich mit Pronephros 505, Urgeschichte des Excretionsorganes der Cranioten 506.

, Bau der Spermatozoen XXXVI,

225, 226.

Sepia, Spiralfasern XXXIX, 301. Sepiola Rondaletii, Rindensubstanz der Muskelfasern im Mantel

XXXIX, 295, Körner 309. Septum des Auges von Pecten XXXIII,

392.

pellucidum des Hirnbalkens beim Menschen, Anlage XXXVII,

- spurium des Herzens beim Kaninchen XXXIII, 306, 312, 327. Sialia, Farbe der Federn, Blaukehl-

chentypus XXXV, 78.

Sialis lutaria, als Wirth für Gor-dius tolosanus Duj. XXXIX, 329, für Mermis sialidis 329, Distomum sialidis 334.

Sida cristallina, centrales Nervensystem XXXVIII, 101, Bauchmark 102, Opticus, Sehganglion, Punkt-substanz 103, Sehcommissuren 104, Umhüllungsmembran 105, Gehirn, Markballen 106, Schlundcommissur, Centralkörper 107, Bedeutung 108, Riechcentrum, Nerven der Antennen 109, retroösophageales Ganglion 110, 113, Oberlippenganglion 110, Mandibelganglion 111, Bauchmark, unterer Theil, Brustnerven 112.

Simia troglodytes, Uterusmusku-

latur XXXVIII, 83.

Singvögel — Passeres.

Sinnesborsten von Argulus foliaceus XXXIII, 14, Nervenendigung

Sinneskörper der Ctenophora XL, 180, Meridianstreifen, Polplatte 180, Otolithen mit Kern bei Beroe, Hormiphora, Callianira 181, Wimperrinne, Epithelzelle bei Hormiphora und Beroe, Ruderplättchen, Flimmer-zelle 182, Basalpolsterzelle bei Callianira 183.

Sinnesorgane von Argulus foliaceus XXXIII, 14.

- von Petromyzon Planeri, Anlage XXXV, 505. Sinus lateralis des Uterus beim Hund, Verhalten zum Chorionepithel XXXIII, 433.

urogenitalis des Menschen

XXXVI, 153. des Menschen, Entwicke-

lung XXXVII, 628.

- venosus beim Kaninchen, zur Entwickelung XXXIII, 297, 302, 304, 314.

Sinushaare, zur Lehre vom Bau der - XXXV, 52 bei der Katze 58, Hund, Blutgehalt 59 Kaninchen 59, 60, Gegensatz zwischen Kolbenund Papillenhaar 60.

Siphonisata, zur Histologie des

Blutes XXXVII, 79.

Siredon pisciformis, Spermatozoen XXXVI, 258, undulierende Membran 261, Endstück der Geissel 263.

-, Regeneration der Epidermis der Schwanzspitzen XXXVII, 417, der Capillaren 448, quergestreifte Muskulatur 451, Sarcoblast, Umwandelung zur Muskelfaser 455.

Sitta, Spermatozoen XXXII, 424,

Kopf 438.

- europea, Spermatozoen XXXII, 426.

Sole mya togata, Blut XXXVII,82. Solen legumen, Blut, Farbe und Reaction XXXVII, 43, farbige Blutkörperchen 47.

— —, Blut XXXVII, 80.

— siliqua, Blut XXXVII, 80. vagina, Blut XXXVII, 80. Solenocurtus strigillatus, Blut XXXVII, 80.

Solitärfollikel, fixe Zellen

XXXVIII, 544.

Somateria mollissima, Farbe der Federn, Grünfärbung XXXV, 80.

Sonnenthierchen - Actinophrys. Sorex, Lymphgefässe der Milz XXXVIII, 396.

Spaces Haversian, Verhalten XXXIX, 188, Resorption 193.

Spalt, perilicethaler des Dotterorganes bei Lacerta, Umgebung XL, 76, 82, Dottersackepithel 80.

-, subgerminaler des Dotterorganes der Wirbelthiere XL, 40.

Spaltraum, intercolumnarer der quergestreiften Muskelfasern XXXVII, 682.

perivitelliner des menschlichen Eies XXXI, 403.

Spaltsystem im Knochenmark der Taube XXXVIII, 568.

Spatium interseptale des Herzens vom Kaninchen XXXIII, 307.

- intervalvulare des Herzens beim Kaninchen XXXIII, 307.

Specht - Picus.

Blau- Sitta europaea.
Sperling - Passer.

Spermakern von Anguis fragilis XXXIX, 223, Conjugation mit weiblichem Vorkern 224.

- von Tropidonotus natrix XXXIX, 250, Bildung aus Spermatozoenkopf

254.

Spermakopf von Petromyzon Planeri XXXII, 640 mit Strahlung,

Umwandelung 641. Spermatiden von Salamandra maculosa, Verhalten des Kernes XXXI, 79, Elasticität, Verhalten des Chromatins, Scheide mit Kernmembran 81, Mittelstück, Entstehung 82, Schwanzfaden 83, 84, Verhalten zur Kernmembran 83, Anordnung in den Cysten 86, Auftreten chromatischer Körner, Cystenwand 87.

von Aleyonella fungosa XXXI, 335, Nebenkern und Kern 336, Ein-

dringen in Eizellen 338.

- von Limax agrestis, Bildung XXXIII, 131, Spitzenknopf, Beziehung zum Nebenkern 132.

-, Lage und Bau bei Sphinx Euphorbiae und Pygaera bucephala XXXIII, 200.

der Maus mit Kern und Neben-kern XXXIV, 79, Umwandelung zu Spermatozoen 81.

- der Maus im Hoden XXXIV, 436. Spermatoblast, Bedeutung XXXI, 244, Beziehung zur Sertolischen Zelle 244, Theilungserscheinungen 253, körnige Ausscheidungen 266, Bildung 270, Stoffanordnung.

- von Ebners bei der Maus, Kern XXXIV, 69, Kernkörperchen

71.

Spermatocysten von Alcyonella fungosa, Umbildung aus Spermatogonien XXXI, 335.

Spermatocyten von Paludina vivipara und Helix pomatia, letzte Theilung XXXIII, 139.

- im Hoden der Lepidoptera, Theilung XXXIII, 193, Veränderung der

Centrosomen 198.

- der Maus, Bau und Bedeutung XXXIV, 75, Nebenkern 76, Theilung, Verhalten des Kernes 77 nach Heterotypie, Polarkörperchen und

achromatische Spindel 78, Verhalten

bei Degeneration 100.

— von Salamandra, Verhalten der Kernmembran bei Theilung XXXVII,

731, 739.

—, Entstehung der karyokinetischen Spindel bei Salamandra XXXVII, 570, erste Generation, Kern 571, Archoplasma, Centrosom 572, Bildung der kleinen Spindel, Fibrillen bildung 576, Centralspindel 580; bei Proteus anguineus 583, Kern, Centrosoma 584.

Spermatogemme der Maus, Be-

deutung XXXIV, 80.

Spermatogenese bei Salamandra maculosa, äussere Erkennungsmöglichkeit am Hoden XXXI, 76.

der Säuger XXXI, 236, Litteratur und Synonymik, Material, Methode 246, Litteraturübersicht 250.
 der Säuger, Nachtrag XXXI, 424.

der Zwitterdrüse von Limax agrestis XXXIII, 125, 131.

— bei Pygaera bucephala und Sphinx Euphorbiae XXXIII, 199. — bei Gordius tolosanus Duj.XXXIV,

-263.

- bei Gryllotalpa vulg. Latr. XL, 102, Methode, Ursamenzelle, Samenmutterzelle, Samenfäden, Wortbedeutung, Idant und Ide, Bedeutung 105, Reductionstheilung, Bedeutung; I. Periode der Theilung der Ursamenzelle (Spermatogonie) 106, Verhalten des Chromatin 107; II. Periode der Ruhe und des Wachsthumes der Samenmutterzelle 109; III. Periode der Reifung und letzten Theilung, Verhalten der Chromosomen 110, Reductionstheilung 112; IV. Periode der Umwandelung der Spermatide in Spermatozoen 114.
- Spermatogonie von Aleyonella fungosa XXXI, 335, Umbildung zu Spermatocysten.
- der Maus, Bau und Bedeutung XXXIV, 74, Beziehung zu indifferenten Keimzellen bei Salamander 95.
- von Astacus fluviatilis, ruhende XXXIX, 504, Karyokinese 521.
- Spermatologie, Beiträge zur XXXI, 334 bei Alcyonella fungosa 334, Spermatogonie, Umwandelung zu Spermatocyst, Spermatide 335,

Nebenkern und Kern 336, Eindringen in Eizellen 338.

Spermatomerit von Petromyzon

Planeri XXXII, 641.

Spermatosom von Salamandra maculosa, Entwickelung XXXI, 71, Methode 75.

— der Lepidoptera, Verhalten zum

Kern XXXIII, 201.

Spermatozoen von Salamandra maculosa, Bildung der Köpfe XXXI, 78, Verhalten zu Safranin 85.

von Ascaris megalocephala, Verhalten bei Befruchtung XXXI, 576, Pronucleus 579, Karyokinese 582, Theilung des Protoplasma 588.

-, Untersuchungen über die Structur XXXII, 401; - der Vögel, Material 406, Singvögel, Fringilla caelebs, Geissel 408, Spiralsaum 411, Axenfaden 413 mit Endknöpfchen und Elementarfibrillen 417; Ligurinus chloris, Muscicapa grisola 422, 423, Fringilla cannabina, Ruticilla phaenicura 422, 423, Phyllopneuste hypolais, Alauda arvensis, Chelidon urbica 422, Certhia, Sylvia, Hirundo, Sitta, Parus Ammon, Emberiza citrinella, Sperling, Hirundo rustica 424, Sylvia atriocapella, Phyllopneuste sibilatrix 425, Sitta europaea, Sylvia risoria, isolierte Spiralen, Bedeutung 426, fibrilläre Structur des Axenfadens bei Motacilla flava, Sylvia hortensis 427, bei Oriolus, Lanius, Corvus 429, Corvus frugilegus, fibrilläre Structur 430 Caprimulgus europaeus, Entwickelung 431, Bildung des Spiralsaumes 432 bei Muscicapa grisola, Oriolus, Lanius 433 aus Cytoplasma, Structur des Kopfes beim Buchfink 435, Fringilla cannabinna, Ligurinus chloris, Muscicapa grisola, Ruticilla phoenicura 437, Sylvia, Sitta, Oriolus, Lanius, Corvus, Phyllopneuste 438, Natatores, Grallatores, Gallinacei, Columbinae, Scansores, Raptatores, Caprimulgus europaeus, Geissel 439, Querstreifung des Verbindungsstückes bei Larus, Milvus, Cuculus, Truthahn 440, Ente, Vanellus cristatus 441, Caprimulgus, Picus, Gallina 442, Axenfaden, fibrilläre Structur bei Tadoma vulpanser, Cuculus canorus, Truthahn, Caprimulgus europaeus 443, Haushuhn 444, Columba domestica 446, Bau des Kopfes bei Laridae, Milvus, Vanellus, Larus canens 448, Cuculus, Picus, Columba, Gallus, Tadoma, Anas 449, Spitzenstück bei Truthahn, Picus, Cuculus, Riesenformen bei Tadoma, Larus ridibundus, Truthahn 451, Bewegung bei Oriolus, Larus, Sylvia atriocapella, Buchfink, Emberiza citrinella, Sylvia cinerea et risoria, Ligurinus chloris, Phyllopneuste hypolais, Chelidon urbica, Lanius collurio 452, 455, Haushuhn, Tadoma, Vanellus 455, Bedeutung des Axenfadens für die Bewegung 456.

von Salamandra, Entwickelung des Mittelstückes und Flossensaumes XXXIV, 61, Verhalten des Kernes, Nebenkörper, Bau und Bedeutung 62, Ursprung 67, Schwanzfaden, Bedeutung und Ursprung, Stellung in den Hodencanälchen 99.

- der Maus, Umbildung aus Spermatide XXXIV, 81, Verhalten des Nucleus und Nucleolus, Kopfkappe, Bildung, Spitzenknopf und Schwanzkappe 81, 82, Verhalten des Nebenkernes 83, Beziehung zu Schwanzfaden 84, Schwanzscheide 86.

im Hoden der Maus XXXIV, 433.

-. Untersuchungen über die Structur XXXVI, 225, bei Fischen, Amphibien und Reptilien; Fischen 226, Selachiern, Raja clavata 229, Kopf 230, Verbindungsstück 231 mit Protoplasmaanhang 232, Geissel 233, Ganoidei, Stör 235, Kopf, Verbin-dungsstück, Geissel 236, Teleostei, Verbindungsstück 237, Geissel 238 bei Acerina cernua, Perca fluvia-tilis, Leuciscus 239, Plasmasaum 240 bei Hecht 241, Axenfaden, fibrilläre Structur bei Hecht 242, Perca und Leuciscus, Geissel bei Zoarces viviparus, Kopf 243 bei Perca, Acerina, Hecht, Karpfen, Zoarces 244, Clupea harengus 248; Amphibien, Anura, Alytes obstetricans, Pelobates fuscus 250, Geissel 251, 254, Kopf 253 Urodela 254, Triton marmoratus, Kopf 255, 256 Triton cristatus, Kopf 257, 258, Verbindungsstück bei Axolotl, Triton cristatus, Geissel, Axenfaden 260, Nebenfaden 261, 265 bei Triton helveticus, undulierende Membran bei Salamandra, Axolotl, Triton marmoratus 261, Endstück 262 bei Salamandra, Axolotl, Tritonen 263,

feiner Bau 265, Axenfaden, feinerer Bau 268, Randfaden, fibrilläre Structur 269; Reptilia 271, Kopf bei Vipera berus 272, Anguis fragilis 272, Geissel bei Psammodromus, Anguis, Testudo, Lacerta, Verbindungsstück 274, Axenfaden bei Testudo, Lacerta, Psammodromus 275, Geissel bei Ophidiern, Vipera. Coluber, Verbindungsstück 276 und Axenfaden 278, Geissel bei Vipera berus 279, Axenfaden, fibrilläre Structur bei Lacerta, Anguis, Testudo mauritanica 280.

- von Tropidonotus natrix, Bezichung zur Bildung des Spermakernes XXXIX, 254, Beziehung zum Ne-

benspermakern 262, 265.

Spermatozoid der Säuger, Kopf-bildung XXXI, 278, Schwanzfaden, Bildung 276.

-, Eindringen in die Eizelle des Spulwurmes vom Hund XXXIV,

401.

Sphères attractives, Bedeutung bei Befruchtung von Ascaris megalocephala XXXI, 585.

Beziehung zur Befruch-

tung XXXII, 31.

Sphinx Euphorbiae, Spermatogenese XXXIII, 199, Mitosom, Bedeutung 199, Spermatide, Lage und Bau, Centrosom und Mitosom 200, Beziehung zu Kern und Spermatosom 201.

Spina bifida und Urmund XXXIX,

353 bei Rana temporaria.

Spindel, achromatische der Spermatocyten der Maus bei Theilung, Bedeutung XXXIV, 78.

- karyokinetische, zur Lehre von der Entstehung XXXVII, 569 in der Spermatocyte des Salamanders 570, erste Generation, Kern 571, Archoplasma, Centrosomen 572, Bildung der kleinen Spindel 573, Fibrillenbildung 576, Centralspindel 580 bei Proteus anguineus, Spermatocyten 583, Kern, Centrosom 584.
- Spindelfaser der Hodenzelle von Paludina vivipara und Helix pomatia XXXIII, 134, 142.
- Spiralfaden der Tentakel der Ctenophora XL, 198, Beziehung Centralfaden, Bedeutung 202.
- Spiralfaser der Nervenzelle des Sympathicus der Amphibien XXXV, 410.

- bei Octopus und Sepia XXXIX, 301, Zusammensetzung aus Fibrillen 302, Körnchenstructur 303.

Spiralsaum der Spermatocyten der Vögel XXXII, 410, Bildung 432.

Spirembildung im Hoden der Maus XXXIV, 435.

Spitzenfortsatz des Stratum radiatum des Cornu Ammonis XXXIX, 617.

Spitzhornschnecke - Limnaea.

Spitzmaus - Sorex.

von Torpedo Splanchnopleur ocellata, Beziehung zur Bildung der mesenchymatischen Gewebe XXXII, 383.

Spongioblasten des Rückenmarkes der Tritonen, XXXIV, 139, Umbil-

dung 140.

Spongioblastenschicht der Retina des Menschen XXXVIII, 337, grosse Nervenzelle 338 mit Fortsatz und Nervenplexus, kleine Nervenzelle 339.

Sporen bei Monocystis magna und agilis XXXVII, 114, Clepsidine Blattarum in Epithelzellen 122,

Klossia 130.

Sporenbildung und Conjugation bei Gregarinen XXXVII, 99.

Sporocysten bei Monocystis magna und agilis XXXVII, 113, bei Klossia 129.

Sporogonie der Gregarinen, Monocystis magna und agilis XXXVII, 112, mitotische Theilung 113, Klossia 129.

Sporophor bei Monocystis magna und agilis XXXVII, 113, bei Klossia

130.

Sporozoea XXXVIII, 17.

Sprute — Sepia.

Spulwurm — Ascaris.

des Hundes — Ascaris marginata. — der Katze — Ascaris mystax.

Submucosa des Magens beim Alligator XXXIV, 4 mit Wanderzellen 5.

- des Uterus bei Maus, Existenz XXXVIII, 70.

Subplacenta der weissen Ratte XXXVII, 352.

S u b s t a n z, graue des Rückenmarkes der Maus XXXIII, 74.

- des Hirnbalkens, Aenderung XXXVII, 11 bei Affe, Schwein, Kaninchen 13, untere Fläche 14.

--- des Rückenmarkes Anguis fragilis XXXVIII, 159.

- weisse des Rückenmarkes der Maus, Fasercaliber XXXIII, 89.

des Gehirns von Petromyzon Planeri XXXV, 531.

des Rückenmarkes bei Anguis fragilis XXXVIII, 158.

Substantia gelatinosa desRücken-markes XXXIV, 191, Zellen 191 bei Hund, Katze, Meerschweinchen 194, Maus 195.

Rolandi beim Kaninchen, Entwickelung XXXI, 594, Litteratur, bei Schwein, Tiger 608, Meerschwein-

chen, Maus 609.

Sulcus intertubularis des Knochens, Bildung XXXIX, 183. Sumpfschildkröte — Emys.

Sumpfschnecke - Paludina. Sumpfvögel - Grattatores.

Sus, Substantia gelatinosa Rolandi, Entwickelung XXXI, 608.

Lymphbahnen der Hornhaut

XXXII, 596. , Anlage der Sexualdrüse XXXIV,

-, Hardersche Drüsen XXXVI, 197. zur feineren Anatomie des Hirnbalkens XXXVII, 1, Balkenbündel, Auftreten 6, Verhalten der subepithelialen Zellenschicht 7, graue Substanz, Aenderung 13.

-, Uterusmuskulatur XXXVIII, 74. -, Stratum granulosum des Cornu Ammonis, Nervenzelle XXXIX, 622,

Axencylinder 623.

–, Papilla foliata XL, 19. Sylvia, Spermatozoen XXXII, 424,

Kopf 438. atricapella, Spermatozoen

XXXII, 425, Bewegung 452. - cinerea, Spermatozoen, Be-

wegung XXXII, 452.

— hortensis, Spermatozoen, Fibrillen-Bildung des Axenfadens XXXII, 427.

risoria, Spermatozoen XXXII, 426, isolierte Spirale, Bedeutung, Be-

wegung 452.

Syncytium bei Anlage der Placenta der Katze Bildung XXXVII, 363, Bedeutung 370, 376.

Schaben — Blattidae.

Schaf - Ovis aries.

Schalenbildung bei Distomum cylindraceum Zed. XXXVI, 187.

Schalendrüsenhöhle bei Bilharzia haematobia XXXI, 203, Epithel 210.

Scheide Henle'sche der Nervenfasern, Verhalten zu Nervenendkörperchen der männlichen Harnröhre XXXI, 28.

----, Beziehung zur Kapsel der Spinalganglienzelle beim Pferde XXXI, 227.

Mauthner'sche der Nervenfaser von Neunauge XXXI, 101.

— Schwann'sche, Verhalten der

Kerne bei Nervendegeneration XL, 409 beim Kaninchen, Methode 412, Mitose der Kerne 414.

Scheidengewölbe beim Menschen,

I. Anlage XXXVII, 648.

Scheltopusik - Pseudopus Pallasii. Schicht, epitheliale des Blastoderm von Torpedo ocellata XXXIX, 58.

Henle'sche der inneren Wurzelscheide des Haares, Bedeutung XXXI, 47, 48.

des Haares, Verhalten nach

Epilation XXXVI, 540.

Huxley'sche des Haares nach Epilation XXXVI, 544.

mittlere gangliöse der Retina des Menschen XXXVIII, 337.

— Neuroepithel- der Retina des Menschen XXXVIII, 319, Stäbchen und Zapfen 319, subepitheliale Nervenzelle mit äusserem 320 und innerem Fortsatz 321.

der Sehzelle der Retina des Men-

schen XXXVIII, 319.

— Subcuticular- bei Distomum cylindraceum Zed., Zelle XXXVI, 175.

Schildkäfer - Cassida.

Schildkröte - Chelonia.

Schillerechse - Chamaeleon.

Schlammpeitzger - Cobitis barba-

Schlangen — Ophidii.

Schleihe - Tinca vulgaris.

Schleimhaut des Dünndarmes, Verbreitung der glatten Muskulatur XXXI, 15, Litteratur 15, Methode 17, Muscularis mucosae 18, Verhalten zu Lieberkühn'schen Drüsen, zu Zellen 19, Epithel 20.

-, besonders die Drüsen der Oberkieferhöhle XXXII, 222, Methode und Material 222, Becherzellen 223, Faltenbildung 224, 225, Bedeutung der Eiweissdrüsen, Epithel 227.

- des Magens von Salamandra maculata, kolbenförmige Kernkörper-chen XXXII, 474.

des Magendarmcanales, Beziehung des Epithels zum Epithel der schlauchförmigen Drüsen XXXIII, 216.

- des Uterus vom Hund, Bau XXXIII, 421, Drüsen und Krypten 421, Veränderung durch Gravidität und Beziehung zur Placenta 423, zum foetalen Ectoderm 425, zu Chorionzotten 427.

der Nase, Schwellkörper XXXIV. 197 beim Menschen, Regio respiratoria, Muskeln 199, elastische Fasern 202, Venen 204, Circulation 205.

der Nase des Menschen, Mucin-

gehalt XXXVI, 348.

des Uterus von Salamandra atra, Bau XXXVI, 472, Epithel mit Wimperzelle und Leucocyten 473, rothe Blutzelle 474, Bedeutung als Sauerstoffträger, Zerreissung des Epithels und Bedeutung 477.

- des Uterus vom Schaf, Pigmentation XXXVI, 507, Litteratur, Karunkel, Färbung 510, Beziehung zum

Epithel 511.

— des Uterus der Katze, Veränderungen bei Entwickelung der Placenta XXXVII, 358, Blut zwischen - und Chorion 368.

der Regio olfactoria beim Menschen XXXIX, 643, Drüsen 644, Epithel des Ausführungsganges 645, Drüsenepithelzelle 646, Blase der Bowmann'schen Drüse 645.

der Papilla vallata mit Drüsenöffnungen beim Pferd XL, 12.

des Magendarmcanales beim Hund, Beziehung der Drüsenzellen der Rectumdrüse zum Epithel XL,

- des Magendarmcanales, Beziehung des Oberflächenepithels zu dem Epithel der schlauchförmigen Drüsen XL, 325, Verhalten bei Fehlen der Drüsen bei Triton 357, Epithel, Protoplasmazelle und Becherzelle 359, Epithel der Kämme und Fornices, Verhalten der Schleimzellen und des Schleimes 360, Mitose der Kerne 365, Ersatzzelle 366 mit Bildung subepithelialer Sprossen, Beziehung zu Schleimzellen 368, Mitose 369.
- des Darmes, Nervenendigung XL, 390, Verhalten der Nerven 399.

Schleimschicht der Epidermis von Kröte und Salamander XXXIV, 14, Zelle mit Fortsätzen 15.

Schlund von Argulus foliaceus XXXIII, 23.

Schlundcommissur von Sida eristallina XXXVIII, 107, 109.

von Daphnia sima XXXVIII, 116. von Bythotrephes longimanus XXXVIII, 123.

Schlundkopf bei Distomum cylindraceum Zed. XXXVI, 177.

Schlundnervensystem von Mesenchytraeus setosus nov. sp. XXXI,

- von Chalicodoma muraria XXXV, 148.

Schlundrohr von Chalicodoma muraria, Anlage XXXV, 148.

Schmelz, Verhalten zur Sternzelle der Pulpa XXXVIII, 472.

Schmelzleiste beim Menschen, Anlage XXXVIII, 451.

Schmelzmembran, Beziehung zum Zahnbein XXXVIII, 471.

Schmelzorgan der Rudimentärzähnchen von Lepus cuniculus

XXXIX, 536, Sciurus 544.

der Edentata, Ausbildung im
Embryo und die Persistenz seines Keimrandes beim erwachsenen Thier XL, 133.

der Edentata, Rückbildung XL, 141, Dentin 142, Keimrand 144, Persistenz durch Epithelwucherung, Zelle, Verhalten zur Pulpazelle 153, Beziehung zur Dentinbildung 155.

Schmelzpulpa beim Menschen XXXVIII, 456, Eindringen der Capillaren 459, Beziehung zur Sternzelle 472.

Schmelzschupper - Ganoidea. Schmetterlinge - Lepidoptera. Schnabelthier - Ornithorrhynchus.

Schnauzenspitze von Proteus anguineus, Drüsengänge XXXIV, 526.

Schnecken — Gasteropoda.

Schnepfe - Scolopax. Schwalbe - Hirundo.

- Rauch- - Hirundo rustica.

Schwanzdarm bei Rana temporaria XXXIX, 404.

Schwanzfad en der Spermatiden von Salamandra maculata, Bildung XXXI, 83, 84.

der Spermatozoen von Salamandra, Bedeutung und Ursprung XXXIV, 66 bei der Maus, Beziehung zum Nebenkern 84.

Schwanzflosse von Argulus folia-

ceus XXXIII, 45.

Schwanzkappe bei Torpedo ocellata XXXIX, 67, Ausbildung 76, Vereinigung 86.

Schwanzknopf von Torpedo ocellata, Bildung XXXIX, 87.

Schwanzscheide der Spermatozoen

der Maus XXXIV, 86. Schwanzspitze von Rana fusca, Regeneration, Versuche über functionelle Anpassung XXXVII, 397.

, Regeneration der Epidermis bei Froschlarven XXXVII, 409, Triton taeniatus 412, Verhalten der Epithelzelle 413 bei Triton cristatus, Sircdon pisciformis, Ursprung, indirekte Kerntheilung der Epithelzelle 419, freie Kernbildung, Fehlen, Wanderzelle, Verhalten 421.

Schwein - Sus.

Schweinsaffe - Inuus nemertinus. Schwellkörper der Nasenschleimhaut, zur Anatomie XXXIV, 197 beim Menschen, Regio respiratoria, Muskulatur 199, elastische Fasern 202, Venen 204, Circulation 205.

der Glans beim Menschen, An-

lage XL, 273.

Schwimmfüsse von Argulus foliaceus XXXIII, 43.

Schwimmvögel - Natatores. Stachelroche - Raja clavata.

Stäbehen der Retina von Pecten XXXIII, 394, Verbindung mit Nerv 395.

- der Retina des Menschen XXXVIII, 319.

- der Neuroepithelzelle des Geruchsorganes vom Neunauge XXXVIII, 8. Steckmuschel - Pinna.

Steigbügel, I. Anlage XL, 519, Beziehung zur Labyrinthkapsel 521, zum Reichert'schen Knorpel 523.

Stelzvögel — Grallatores.

Stercutus niveus nov. sp. XXXI, 483, Borste, Kopfporus 484, Seg-mentalorgan, Blut, Herzkörper 485, Darm 486, Chloragogenzellen, Sep-

taldriise 487, Geschlechtsorgan 489. Stichling — Gasterosteus aculeatus. Stiel des Auges von Pecten XXXIII,

Stieglitz — Fringilla cardualis. Stigmen von Chalicodoma muraria, Anlage XXXV, 149.

Stimmlade von Proteus anguineus XXXIV, 560.

Stirnauge von Argulus foliaceus XXXIII, 18, bei Larve, Pigment 19.

Stör - Acipenser sturio.

Stomata der Becherzellen der Zungenpapillen von Anguis fragilis XXXVIII, 185.

Strang, Burdach'scher des Rückenmarkes der Maus XXXIII, 111.

des Rückenmarkes, Verlauf XXXIV, 165, Eintheilung und Beziehung zu Gliasepten 166, Zeit

- Gollscher des Rückenmarkes der Maus, hintere und vordere Commissur XXXIII, 113, 114, Beziehung zu sensiblen Nerven der hinteren Extremität 119.

Stratum corneum der Oberhaut des Menschen, Verhalten bei Verhornung XXXIX, 587, Einwirkung

der Verdauung 591.

granulosum des Cornu Ammonis, Nervenzelle bei Kaninchen und Schwein XXXIX, 622, Fortsätze zur Rindenoberfläche, zu Hilus, Axencylinder beiKaninchen. Schwein. Verhalten der Fortsätze zum Stratum lucidum Honegger's 623, zur Zona reticularis Honegger's 624.

· intermedium der Zahnpapille

der Edentata XL, 140.

- lacunosum des Cornu Ammo-

nis XXXIX, 619.

- lucidum der Oberhaut des Menschen, Verhalten bei Verhornung XXXIX, 587, Einwirkung der Verdauung 591.

- Honeggers, Beziehung zum Stratum granulosum des Cornu

Ammonis XXXIX, 623.

- medullare medium des Cornu Ammonis XXXIX, 619.

- moleculare des Cornu Ammonis XXXIX, 619, Nervenzelle mit Fortsätzen 620.

oriens des Cornu Ammonis XXXIX, 610, Nervenzelle 613, polymorphe mit aufsteigendem Axencylinder 614.

- radiatum des Cornu Ammonis, Spitzenfortsatz XXXIX, 617.

Strix, Fasern in der Medulla oblongata XXXI, 62, 63, Nervus hypoglossus, Commissur.

Stroma, Verbindung mit Dünndarm-epithel XXXI, 144, Fehlen der Grenzmembran 145.

der Keimdrüse des Menschen XXXIV, 275.

Stützfasern des Bindegewebes der Ctenophora, Beroe XL, 216, Callianira 223.

Stützgewebe des Rückenmarkes XXXIV, 189.

Stützlamelle von Hydrafusca XXXV, 336, Entoderm 359.

Stützsubstanz des Rückenmarkes bei Tritonen XXXIV, 139, Verhalten zur Limitans interna.

Tadona vulpanser, Spermatozoen XXXII, 443, Kopf 449, Riesenform

451, Axenfaden, Bewegung 455. Tanagra lutea, Farbe der Federn, Grünfärbung XXXV, 81.

Tapes geographica, Blut XXXVII,

Tapetum der Retina des Auges von

Pecten XXXIII, 397.

Tapir, Papilla foliata XL, 19.

Taschenkrebs, kleiner — Carcinus maenas.

Tastorgan von Mermis ingrescens Duj. XL, 506.

Tastpapillen von Cestus, Epithel XL, 171.

Taube - Columba.

Teichhuhn - Gallinula chloropus. Teichmuschel - Anodonta.

Teleostei, Bau der Spermatozoen XXXVI, 237, Verbindungsstück 237, Geissel 238, Plasmasaum 240, Axenfaden, fibrilläre Structur 242, Geissel, Kopf 243.

—, Terata mesodidyma und kata-didyma XXXIX, 413.

—, Beziehung des Urmundes zur Gastrulation XXXIX, 468.

Tellermuschel - Tellina. Tellerqualle - Aequorea.

Tellina baltica, Blut, Häminkrystalle XXXVII, 80.

- donacina, Blut XXXVII, 80.

- exigua, Blut XXXVII, 80. planeta, Blut, Farbe und Re-

action XXXVII, 43, 80,

Teloblast bei Petromyzon Planeri XXXV, 481, 483, Vergleich mit der Sichel der Gnathostomen 496, Telocyten 493.

Telocyten bei Petromyzon Plancri

XXXV, 493.

Tendo navalis, Blut XXXVII, 79. Tensor tympani, Beziehung zur Gaumenaponeurose XXXII, 530.

Tentakel von Sima, Klebzelle XXXIII,

399.

der Ctenophora XL, 188, Basis bei Hormiphora, Mittelstreifen 189, Veränderung, Nebententakel, Bildung, Axenstrang des Mittelstreifens, Muskelfasern, Auftreten 190 und Wachsthum 191, Mittelstreifen bei Callianira, Muskelanlage 193, Seitenstreifen, Epithel, Drüsenzellen 194, Muskelfasern, Perimysium, Axenstrang 195 bei Callianira, Hormiphora, Nebententakel 196, Tentakelepithel bei Callianira und Hormiphora 197 aus Greifzelle und interstitiellem Gewebe, Spiralfaden 198 und Centralfaden 199, gegenseitige Beziehung, Veränderung der Drüsenzelle der Nebententakel 200, Kern, Spiralfaden, Bildung 201, Greifzellen, Bedeutung, Veränderung des Tentakelepithels bei Hormiphora 202.

Tentorium von Chalicodoma muraria, Anlage XXXV, 153.

Terata mesodidyma und katadidyma der Teleostei XXXIX, 413. Testudo, Spermatozoen, Geissel

XXXVI, 274, Axenfaden 275. — graeca, Harder'sche Drüse,Vergleich mit Thränendrüsen XXXVI, 195.

Axenfaden XXXVI, 280.

Theca der Becherzellen des Dünndarmepithels XXXI, 123 mit Nerv, Inhalt 127 bei Maus und Triton 128, Hund, Mensch 129.

- folliculi, Veränderung bei Atro-

phie XXXVII, 223. Theilung der Deckzelle bei Hydra fusca XXXV, 329.

der Samenmutterzelle von Ascaris megalocephala, Vorstadien bei univalens XXXVI, 23 und bivalens 30, Verlauf der I. — bei univalens 37, bivalens 40.

– der A-zellen der Copepoden

XXXIX, 576.

- amitotische bei Befruchtung XXXII, 38.

 der Leucoblasten XXXVIII, 557.

- im Hoden von Gryllotalpa vulg. Latr. XL, 115, Zelle und Kern, Bedeutung.
- direkte der Epithelzellen der Harnblase XXXI, 398.
- heterotypische der Copepoden XXXIX, 561, 575.
- -- indirekte der Epithelzellen der Giftdrüse von Kröte und Salamander XXXIV, 45.

— — der Leucocyten des Knochenmarkes der Vögel XXXV, 450. der Leucoblasten der Milz XXXVIII, 434.

- mitotische der Sporogonien bei Monocystis magna und agilis

XXXVII, 113.

- der Leucocyten XXXVII, 249 bei Salamandra 253, Kern 257. - der fixen Zellen der Blutzellenbildenden Organe XXXVIII, 539.

-der Erythroblasten XXXVIII,

553.

-Reductions-beiCyclops XXXIX,

bei Spermatogenese von Gryllotalpa vulg. Latr., Bedeutung XL, 105 bei Copepoden, Eucheta, Calamus 113, Hydrophilus piceus, Dytiscus marginalis, Crustacea, Astacus fluviatilis, Branchipus stagnalis, Heterocope saliens, Canthocamptus, Prectandreae, Calamus gracilis 117, Mollusken, Helix pomatia, Limax cinero-niger 118.

Thionin zum Nachweis des Mucins in den thierischen Geweben XXXVI, 310, Einfluss auf hyalinen Knorpel, Gallertgewebe des Nabelstranges 355,

Mastzellen 357.

Thracia papyracea, Blut XXXVII, 79.

Thränencanal von Proteus anguineus XXXIV, 528.

Tibia des Huhns, Atrophie der Fettzellen des Knochenmarkes XXXIII,

Tiger - Felis tigris.

Tinca vulgaris, linsenförmiger Gefässkörper im Auge, Gefässverlauf XL, 420.

Tonsille, Epithelzelle bei Pferd,

Schaf, Fischotter XL, 23.

Torpedo ocellata, Ursprung der mesenchymatischen Gewebe XXXII, 378, Bildungsgewebe 380, Zelle 383, Entstehung im Rumpfe 382, aus Splanchnopleur der Ursegmente 383, Urnierencanälchen, Bildung 385, Extremitätenleisten, Bildung 388.

zur Entwickelungsgeschichte XXXIX, 56, Gastrulation 57, epitheliale Schicht des Blastoderm 58, Dotterentoderm, gastrales Entoderm 59, 64, Beziehung zu Dotterzellen der Amphibien 61, Blastocoelblase, Bedeutung 62, Embryonalschild 63, Mesoderm, Entstehung 63, 65, Mesodermbildungsrinne 66,72, Medullarplatte, Schwanzkappe 67, Chorda, Anlage 67, 69, Ausbildung 67, Darmeanal, Anlage 68. Weiterbildung der Medullarplatte 70, Schwanzkappe 76, Vereinigung 86, Mesoderm, Differentiation 76, Mesodermstreifen 79, Darmanlage, Medullarrohr, Schluss, Herz, erste Anlage, Blastocoelknopf 80, Canalis neurentericus, After, Anlage 86, Schwanzknopf, Bildung 87, Kopf, Organanlage, Kiemenspalte, Durchbruch, Extremitätenleiste, Schwanz, Wachsthum, Dottergefässe 91, Oesophagus 92.

Trabeculae carneae des Herzens von Kaninchen XXXIII, 322.

Tracheen von Chalicodoma muraria, Anlage XXXV, 151.

Tracheobronchialraum von Proteus anguineus XXXIV, 561. Trematoden XXXIX, 331.

Trichodina sp. im Seitencanal von Cottus gobio XXXIII, 402, Bau, Haftapparat, Mund 403, Kern 404, Entoplasma 404, Entoplasma mit Vacuolen 405, Kernballen, Aufnahme von Lymphzellen 409, Seitencanalsystem 406, Einwanderung von Lymphzellen in dasselbe und in die Epidermis 407, Nahrungsvacuolen 410.

Trichonymphidae XXXVIII, 19. Trichosoma Bombinatoris n. sp. in Bombinator igneus XXXIX, 327.

Trichteranlage der Micronephridien von Megascolides australis XL,

Trigonum Lieutaudii, Entwickelung beim Menschen XXXVII, 630.

Triton, secernierende Zelle des Dünndarmepithels XXXI, 122, Becherzelle 122, Inhalt der Theka 128, Uebergang aus Epithelzelle 132, Bourrelet, Bedeutung 140, Wanderzelle im Epithel 142.

--, Rückenmark, histologische Untersuchungen XXXIV, 131, Methode 132, Mitose 133, Bildung der Neuroblasten 136, Verhalten zu Dotter-körnern 137, Vacuolenbildung 138, Spongioblasten und Stützsubstanz, Bildung 139, Umbildung, Verhalten zur Limitans interna 140, Ganglien-zelle, grosse 143, kleine 144, Lymphoidzelle, Vorkommen 146, Hinterzelle 144, 147, Topographie 147, Centralkanal, Schluss 148, Umwandelung beim erwachsenen Thier, Verminderung der Zahl der Zellkerne 150, Längenwachsthum, Epithelzelle mit Axencylinder 151.

Nervensystem des Herzens

XXXVI, 501.

-, Schleimhaut des Magendarmcanales, Verhalten bei Fehlen der Drüsen XL, 357, Epithel, Proto-plasmazelle, Becherzelle 359, Epithel der Fornices und Kämme 360, Verhalten der Schleimzellen und des Schleimes 361, Mitose der Kerne 365, Ersatzzelle 366 mit Bildung subepithelialer Sprossen, Beziehung zu Schleimzellen 368, Mitose 369.

cristatus, Spermatozoen, Kopf XXXVI, 257, 258, Verbindungsstück, Axenfaden 258, Geissel 260.

XXXVI, 501.

-, Regeneration der Epidermis der Schwanzspitze XXXVII, 417, der Chorda dorsalis bei Larven, Verhalten der Chordazelle 437, hyaline Umwandelung 442.

- helveticus, Spermatozoen, Ne-

benfaden XXXVI, 261, 265.

— marmoratus, Spermatozoen, Kopf XXXVI, 255 mit Spiess 256, undulierende Membran 261, End-

stück der Geisseln 263.

taeniatus, Regeneration der der Schwanzspitze Epidermis XXXVII, 412, Verhalten der Epithelzellen 413, indirekte Kerntheilung der Chorda dorsalis 438, hyaline Umwandelung der Chordazellen 442.

Epithelreste am Opticus und auf der Retina XXXVIII, 30,

Borgmeister'scher Zapfen.

Tritonlarven, Regeneration Rückenmarkes XXXVII, 424.

Trogmuschel - Mactra.

Tropidonotus natrix, Blutbildung aus dem Entoderm XXXVI, 516, 517, Entodermzelle 518.

XXXVIII, 164, Hinterwurzeln, me-Rückenmarksfaserung diale, mittlere und laterale Partie, Anteroposteriores 164, hintere Commissur 165, Vergleich mit Anguis

fragilis 166.

Befruchtung der Eier XXXIX, 230, Keimscheibe mit Dotter 231, Furchungskern, Bedeutung, Nebenspermakern 234, Polplasma, Theilung 235, Grube der Keimscheibe mit Kern 237, Kern mit Strahlung 239, Verhalten der Dotterhaut 245, männlicher und weiblicher Vorkern, Spermakern, Bedeutung 250, Bildung aus Spermatozoenkopf 254, Conjugation, Fur-chungskern 255, 259, Nebenspermakern, Ursprung aus Spermatozoen 267, Polyspermie 271, Nebenspermakern, späteres Schicksal 274.

Truthahn - Meleagris gallopavo. Trutta fario, Embryo, Epithelreste am Opticus und auf der Retina XXXVIII, 27, Borgmeister'scher

Zapfen 29.

Tuben, zur Kenntniss der Muskulatur und ihrer Fascien XXXII, 479, Methode 480, Skelett 482, Beziehung zum Fibrocartilago basilaris 484, zur Fossa scaphoidea 488, Muskel 491, Musculus palatopharyngeus (palatosalpingopharyngeus) Ligg. salpingopharyngea, Bedeutung 497, Ligg. salpingo-palatinum anticum, posticum und medium 499, Beziehung zum Muskel 502, Musculus petrosalpingostaphylinus 514, Ursprung 515, Verlauf 522, Gaumenaponeurose, Bedeutung 524, Beziehung zum Tensor tympani 530, Fascien 537 des Pharynx 541, Bedeutung 538, interior et exterior 545, Beziehung zur Halsfascie 550, Lig. laterale pharyngis 552, inneres Blatt 554, mittleres, Beziehung zur membranösen Tube 560, äusseres Blatt 572, Beziehung zum Musculus buccinator 580.

Verhalten der Oeffnungen zu der Längs- und Ringmuskulatur des Uterus bei der Maus XXXVIII, 66,

Kalb, Schaf 75.

Tubularia larynx, histologische Elemente XXXV, 364, Ganglienzelle 364, Nesselzelle 365.

Tunica propria der Drüsen des Magens vom Alligator XXXIV, 9. - der Speicheldrüsen XXXIX,

607.

Uebergangsgewebe bei Ossifica-tion des Unterkiefers XXXII, 305. Unke — Bombinator igneus. Unio pictorum, Blut XXXVII, 82. Unterkiefer, Verknöcherung oder die Metaplasiefrage XXXII, 266,

Historisches 270, beim Frosch 285, Material und Methode 290 beim Schaf, erste Anlage des Gelenk- und Knochenfortsatzes, Meckel'scher Knorpel, erste Anlage 294, Grundsubstanz, Entstehung 296, Verhalten zu Knochenbildungszellen, Aufnahme der Kalksalze, Beziehung der Gefässe zur Ossification 297, Karyokinese 298, weitere Entwickelung beim Embryo von 5½ cm 302, Uebergangsgewebe 305, Knorpelkern; erstes Auftreten im Gelenkfortsatz 309, appositionelles und expansives Wachsthum 311, osteoider Knorpel, Bedeutung 312, Auftreten der Osteoblasten, Knorpelcanäle, Bildung und Bedeutung 313, Knorpelkern im Kronenfortsatz 315, weitere Ent-wickelung im Gelenkfortsatz 318, weitere Verkalkung 319, Ossifi-cationslinien, Auftreten, Knorpelzelle, Anordnung 321, Schrumpfung 323, chondrogene Schicht, Bedeutung 324, Verknöcherung des Kronenfortsatzes 325, Markhöhle, Bildung 326, Resorption des Knorpels 328, neoplastische Knochenbildung 326, Osteoblasten und Beziehung zu Blutgefässen 327, Ursprung 328, Osteoblasten, Natur und Thätigkeit 335, Bildungszelle, Wesen 336, Polständigkeit der Kerne, Bildung der Knochengrundsubstanz 338, Gelenkfortsatz, Verknöcherung 339 nach perichondralem und enchondralem Typus, Grenzlamelle 341, Ossifica-tionslinie, Auftreten und Bildung 350, Uebergang der Knorpelgrundsubstanz 353, Verhalten der Gefässe, Chondrolyse, Bedeutung 354, Schicksal der Knorpelzelle und Herkunft der Markzelle 360.

Unterlippe von Argulus foliaceus XXXIII, 23.

Urdarm bei Petromyzon Planeri XXXV, 481.

- bei Lacerta, Beziehung zu Lecithoderm des Dotterorganes XL, 57.

Ureier von Ascaris megalocephala

XXXVI, 52, Kern 56.

Ureter, Anlage bei Crocodilus bipor-catus XXXVI, 445, Chelonia midas

Urethra, zur Entwickelung beim Menschen XL, 264.

Urhöhle bei Chalicodoma muraria XXXV, 143.

Urmund und Spina bifida XXXIX,

353, Studien bei Rana temporaria mit Ueberfruchtung 353, a) Furchungsprozess, Störungen 356, b) monströse Entwickelung von Eiern mit theilweiser Untheilbarkeit des Dotters, Vacuolen im Dotter 358, c) Störungen im Gastrulationsprocess mit mangelhaftem Verschluss des Urmundes 363, a) totale Urmundspalte 364, Schwanzknospen, Verhalten 365, Hemmungsmissbildungen 371, Beziehung zur Anlage des Nervensystemes und Vergleich mit Wirbelspalte in der Rückengegend 375, Verhalten des Schwanzendes 384, 403, Keimring, Bedeutung und Verhalten 385, Beziehung zur After-bildung 386, Verhalten der Afterrinne 403, Schwanzfaden 404, y) partielle Urmundspalte in der Aftergegend 409, Vergleich mit Missbildungen anderer Wirbelthierklassen 412, mit Terata mesodidyma und katadidyma der Knochenfische 413, Verschiedenheit in Folge der verschiedenen Herzanlage und Entwickelung 416 bei Amphibien 418 mit Spaltbildungen bei den drei höheren Wirbelthierklassen, Spina bifida 418; Urmundtheorie 424, Entstehung des mittleren Keimblattes 429, Gastrulation bei Amphibien 430, Concrescenttheorie 432, Beziehung zur Urmundtheorie bei Amphioxus und Amphibien 437, bei meroblastischen Eiern Schwanz- und Afterbildung der Wirbelthiere 452, Aftermembran, After-strang 454, Entodermstrang des Schwanzes 457, Coelomtheorie 459, Chordacanal 462, Urmund, Beziehung zu Missbildungen 464, zur Gastru-lation 467 bei Knochenfischen 468, Urspung mehrerer Anlagen aus einfacher Eizelle 476.

Urmundspalte, partielle bei Rana temporaria XXXIX, 375 in der Rückengegend 375, Aftergegend 409.

— to tale bei Rana temporaria XXXIX, 364, Beziehung zur Anlage des Nervensystemes und Vergleich mit Vertebraten 372.

Urnenthierchen - Trichodina.

Urniere des Menschen, Entwickelung XXXIV, 273, 277, 286, Rückbildung 289, Sexualtheil 294, Epithel 273. des Menschen, zur Entwickelung

XXXVI, 138, Litteratur 145, Ur-Register z. Archiv f. mikrosk. Anatomie. nierenleiste 150, Venae cardinales 151, Urnierengänge 152, Sinus urogenitalis, Cloake 153, Nierengang, Wolff'scher Gang 154, Verhalten des Ectoderm zum Urnierengang 155, Urnierencanälchen und Malpighi'sche Körperchen 160, Beziehung zur Malpighi'schen Kapsel 161, Glomerulus 162, Urnierenblastem oder intermediäre Zellenmasse 166, Bedeutung des Peritonealepithels 164, Lacunenbildung 168.

—, Anlage und Entwickelung bei Crocodilen und Schildkröten, Crocodilus biporcatus XXXVI, 411, 416, 421, Chelonia midas 437, Beziehung zur bleibenden Niere 451.

— der Selachier — Mesonephros. Urnierenblastem beim Menschen XXXVI, 166.

Urnierenkanälchen bei Torpedo ocellata, Bildung XXXII, 385.

beim Menschen XXXIV, 287, 290, Epithel 296.

beim Menschen XXXVI, 160, Beziehung zur Malpighi'schen Kapsel 164.

Urnierengang der Selachier, primärer XXXIII, 482.

— beim Menschen XXXVI, 152, Beziehung zu Ectoderm 156.

Urnierenleiste beim Menschen XXXIV, 286.

bei Entwickelung der Urniere des Menschen XXXVI, 150.

Urogenitalapparat, Entwickelung bei Crocodilen und Schildkröten XXXVI, 410, Vorniere 411 und Urniere 416, Litteratur bei Crocodilus biporcatus, Gefässknäuel oder Glomus 421, Anlage 423, Veränderungen 430, Umbildung zu Glomerulus 432, Rückbildung 436, Peritoneal-trichter (Nephrostom), Anlage 421, 426, Drüsenepithel 424, Epithel des Vornierenganges 425, Peritonealtrichter II. Ordnung 430, Vorniere und Urniere bei Chelonia midas, Glomus 437, Bildung des Glomerulus 439, Drüsenschläuche 437, Peritonealtrichter 438, bleibende Niere (Metanephros), Litteratur 442 bei Crocodilus biporcatus, Nierengang, Anlage 445, Ureter 445, Harnblase 449, Chelonia midas 450, Beziehung zur Urniere, Ureter 451, Müller'scher Gang, Litteratur 452, Anlage bei Crocodilus biporcatus,

Ostium abdominale tubae, Anlage 456 bei Chelonia midas 458.

Urogenitalsystem des Menschen, Entwickelung XXXIV, 269, Methode

Menschen, Berichtigung XXXV, 104, Beitrag von Janošik,

von Nagel 107.

Ursegmente von Torpedo ocellata, Beziehung zur Bildung der mesen-chymatischen Gewebe XXXII, 383. Uterinmilch bei der Katze, Wesen

XXXVII, 367. Uterus, Verhalten der Blutgefässe zur Placenta XXXV, 17, der Arterien und Venen 17, 27, 33.

- -, zur vergleichenden Anatomie und Entwickelung der Muskulatur XXXVIII, 52, Litteratur, Methode 61 bei Nagern, Kaninchen, Maus, Beziehung zum Ligamentum latum 65, 66, Peritoneum 66, Ringmuskulatur 65, 68, Längsmuskulatur 65, Verhalten an der Tubenöffnung, Lacunen am unteren Ende 67, Submucosa, Existenz 70; bei Carnivoren, Katzen, Verbindungsfasern zwischen Ring- und Längsmuskulatur 72 bei Hufthieren, Schwein 74, bei Kalb und Schaf, Verhalten der Tube 75, der subserösen Muskelschicht 76, Halbaffe, Lemur rubrifrons, Fledermaus, Pteropus 78, Affen, anthropoide und nicht anthropoide, Macacus, Cercopithecus 79, Corpus Uteri 80, Collum 81, Chimpanse 83, Mensch 85, Entwickelung beim Menschen 86, Muskelfasern, Anlage 87, Gefässschicht 89.
- bei Distomum cylindraceum Zed. XXXVI, 182.
- von Gordius tolosanus Duj.XXXIV. 260.
- vom Hund, Mucosa, Bau XXXIII, 421, Veränderung durch Gravidität, Beziehung zur Placenta 423, zum foetalen Ectoderm 425, zu Chorionzotten 427, Sinus lateralis, Verhalten zum Chorionepithel 433.
- der Katze, Beziehung zur Entwickelung und Anlage der Placenta XXXVII, 357, Veränderungen der Schleimhaut 358, der Drüsenzellen 360, 363, Blut zwischen Chorion und Schleimhaut 368, Verhalten der Gefässe zur Placenta 369.
- des Menschen, Entwickelung XXXVII, 620, Litteratur, Trennung

von Vagina 645, Collum, Unterschied von Corpus 650.

von Mermis ingrescens Duj. XL,

508.

— der weissen Ratte, Verhalten der Drüsen zur Placenta XXXVII, 344.

von Salamandra atra, Schleimhaut XXXVI, 472, Epithel mit Wimperzelle und Leucocyten 473, rothe Blutzelle 474, Bedeutung als Sauerstoffträger, Zerreissung des Epithels und Bedeutung 477.

— vom Schaf, Pigmentation der Schleimhaut XXXVI,507, Litteratur, Karunkeln, Färbung 510, Beziehung

zum Epithel 511.

Vacuolen im Entoplasma von Trichodina sp. XXXIII, 405.

- amöboider Zellen im Blute der

Mollusken XXXVII, 64,

- im Dotter von Rana temporaria XXXIX, 358.

Vacuolenbildung in den Neuroblasten des Rückenmarkes von Triton XXXIV, 138.

in den Belegzellen der Magendrüsen im Fundus XXXIV, 230.

der Kerne der Becherzellen der Zungenpapillen von Pseudopus Pallasii bei intensiver Secretion XXXVIII, 226.

Vagina von Distomum cylindraceum

Zed. XXXVI, 183.

des Menschen, Entwickelung XXXVII, 620, Litteratur.

von Mermis ingrescens Duj. XL, 508.

Valvula Eustachii des Herzens vom Kaninchen XXXIII, 229.

foraminis ovalis des Herzens Ornithorrhynchus, Echidna bei XXXIII, 360, Myomacophaga tri-dactyla 361.

Thebesii des Herzens vom Ka-

ninchen XXXIII, 329, 332.

— venosa des Herzens vom Kaninchen XXXIII, 305.

Vana, Glandula carotica, Vorkommen XL, 291.

Vanellus cristatus, Spermatozoen XXXII, 441, Kopf 448, Bewegung 455.

Vas deferens, Epithel XL, 494.

bei Distomum cylindraceum Zed. XXXVI, 181.

— bei Phylline Hendorffii, XXXIII, 171.

— efferens bei Phylline Hendorffii, Zelle XXXIII, 171.

Vena cardinalis, Beziehung zur Entwickelung der Urniere des Menschen XXXVI, 151.

hepatica des Kaninchens

XXXIII, 316.

-mesenterica magna, Verhalten zur Arteria mesenterica sup. XL, 461. -omphalomeseraica, Beziehung zum Lebergewebe XXXIII, 315.

Venen der Leber, Beziehung zu den Lymphbahnen der Säuger XXXVI.

209.

der Lunge, Einmündung in das Herz beim Kaninchen XXXIII, 334,

bei Menschen, Nagern 334.

- der Milz, Gefässscheiden XXXVIII, 350, Ableitung der Lymphe 356, Beziehung zu Capillarscheiden 424. des Schwellkörpers der Nasen-

schleimhaut beim Menschen XXXIV,

204.

- des Uterus, Verhalten zur Pla-

centa XXXV, 17, 33.

Venencapillaren im Knochenmarke der Vögel, Bedeutung als endovas-culares Organ XXXV, 435, 462, Methode 439 beim Huhn, Verhalten zum Parenchym 439, Zellen mit Stäbchen 444, mit Körnchen, grossen und kleinen Leucocyten 445, Erweiterung nach Aderlass 450, Vorkommen von Leucocyten und rothen Blutkörperchen 461.

Ventrikel des Herzens, definitive Ausbildung beim Kaninchen XXXIII.

336.

Venus gallina, Blut XXXVII, 81. - verrucosa, Blut XXXVII, 81.

Verbindungsfasern zwischenRingund Längsmuskulatur des Uterus der Katze XXXVIII, 72.

- der Ruderplättchen der Ctenophora XL, 185, Callianira 185, Euchlora, Hormiphora, Beroe 186, Bedeutung 187.

Verdauungsorgan von Argulus foliaceus XXXIII, 22.

Verdauungstractus von Gordius tolosanus Duj., Zellen XXXIV, 258. - von Proteus anguineus XXXIV, 511, Litteratur, Methode 514.

Verhornung des Haares nach Epi-

lation XXXVI, 545.

der Oberhaut des Menschen, Studien XXXIX, 581.

Vermes XXXVIII, 21.

Vertebrata, Aequivalent der Zell-

platten XXXVII, 690.

–, Rückenmarkfasern bei niederen – XXXVIII, 157, bei höheren – 170, Fasern aus dem Seitenstrang zum gekreuzten Vorderstrang 171, Basis der Hinterwurzeln, Anteroposteriores 171.

, Vergleich mit Mesodermbildung von Torpedo ocellata XXXIX, 75.

-, Vergleich mit Lumbricus XXXIX, 128, 133, Beziehung der Haut zu sensiblen Nervenfasern.

-, Urmundspalte XXXIX, 372, Beziehung zur Bildung des Nerven-

systemes.

-, Schwanzund Afterbildung XXXIX, 452.

-, Dotterorgan, Entwickelung XL,

Vespertilio murinus, Papilla foliata XL, 19.

Vesperugo, Uterusmuskulatur XXXVIII, 78.

, Rückenmarkfaserung XXXVIII, 170.

Vestibulum vaginae beim Menschen, Pflasterepithel XXXIX, 41.

Vipera berus, Spermatozoen, Kopf XXXVI, 272, Geissel 274, 279.

Vögel — Aves.

Vorderdarm von Chalicodoma mu-

raria, Anlage XXXV, 155. Vorderhirn der Amphibien, feine-rer Bau XXXV, 380, Körnerschicht 383, keulenförmige Zellen, multipolare Zelle 384, Axencylinderfort-

satz 385.

Vorderhorn des Rückenmarkes der Maus, Myeloidkörner XXXIII, 80, 81.

des Rückenmarkes, Beziehung zur Clarke'schen Säule XXXIV, 169 und den Zellen 170, zur vorderen Commissur 171, zur hinteren Commissur 172.

Vorderkiefersegment von Chalicodoma muraria XXXV, 148, 154.

Vorderkopfsomiten von Anguis fragilis und Kopfhöhlen XXXVI, 603, Litteratur, Methode 607.

Vordersträng des Rückenmarkes der Maus XXXIII, 98.

des Rückenmarkes höherer Vertebraten, Beziehung zum Seitenstrang XXXVIII, 171, zu Hinterwurzeln.

Vorderwurzeln des Rückenmarkes der Maus XXXIII, 94, Vorkommen von Wurzelfasern 96.

- des Rückenmarkes bei Anguis fragilis XXXVIII, 160.

Vorhofsack beimKaninchen XXXIII,

Vorkern bei Befruchtung der Eier von Petromyzon Planeri XXXII, 642, 644.

- männlicher bei Tropidonotus

natrix XXXIX, 250.

- weiblicher bei Anguis fragilis XXXIX, 223, Conjugation mit Spermakern 224.

bei Tropidonotus natrix

XXXIX, 250.

Vorniere, Anlage und Entwickelung bei Crocodilen und Schildkröten, Crocodilus biporcatus XXXVI, 421, Gefässknäuel oder Glomus 421, Anlage 423, Veränderungen 430, Umbildung zu Glomerulus 432, Rück-bildung, Peritonealtrichter 421, 426, 430, Drüsenepithel 424, Epithel des Vornierenganges 425; bei Chelonia midas, Glomus 437, Uebergang zu Glomerulus 437, Drüsenschläuche 437, Peritonealtrichter 438.

Vornierengang bei Crocodilus biporcatus, Epithel XXXVI, 425.

Vorticella XXXVIII, 20.

Wasserfloh - Cladocera. Wasserkäfer - Hydrophilus piceus. Wassermolch - Triton. Weichthiere — Mollusca.
— kopflose — Mollusca acephala.

Weinbergschnecke - Helix pomatia.

Wiederkäuer - Ruminantia.

Wiesenbachstelze - Motacilla

Wimperrinne bei Beroe, Epithelborste XL, 164.

der Ctenophora, Epithelzelle XL, 182, Hormiphora, Beroe.

Wirbellose - Avertebrata.

Wirbelthiere - Vertebrata.

Würger - Lanius.

- rothrückiger - Lanius collurio.

Würmer - Vermes.

Wundernetzbildung des linsenförmigen Gefässkörpers im Auge der Cyprinoiden XL, 429.

Wurzelfasern des Nervus hypoglossus beim Kalb XXXI, 57.

-- der Vorderwurzeln des Rückenmarkes der Maus XXXIII, 96.

Wurzelscheide des Haares, halten der Epithelzelle der Glashaut XXXI, 376.

— äussere des Haares XXXI, 41, Epithel 41, Verhalten zum Bulbus pili 42.

des Haares nach Epilation

XXXVI, 541.

innere des Haares XXXI, 47, Henle'sche Schicht, Bedeutung 48. - des Haares nach Epilation XXXVI, 543, 549.

Xennurus gymmurus, Grosshirn XXXV, 166.

Zahn, Verbindung mit Alveole beim Wachsthum XXXVIII, 146 an schmelzfreien und schmelzbedeckten Stellen 147 bei Nagern 149.

des Menschen, zur Entwickelung XXXVIII, 447, Histiogenese 469. — der Édentata, erwachsen, Bau XL, 149, Cement, Dentin 150.

Back- des Meerschweinchens, Knorpelcement XXXVIII, 150, 153. Anlage bei Lepus cunicu-

lus XXXIX, 542.

Milch- beim Menschen, Ab-

schnüren XXXVIII, 456.

Zahnanlage bei Nagethieren, zur Entwickelung XXXIX, 525 bei Lepus cuniculus 532, Incisivus, Anlage 533, Rudimentärzähnchen im Unterkiefer 534, im Zwischenkiefer 538, Schmelzorgan 536, Zahnleiste im Oberkiefer 539, Epithelleiste 540, Backzahnanlage 542; bei Sciurus 542, Rudimentärzähnchen, Zahn-leiste und Schmelzorgan 544 im Oberkiefer 546; bei Cavia cobaya 547, Rudimentärzähnchen und Zahnleiste; bei Cricetus fumarius, Mus musculus et decumanus, Rudimentärzähnchen 548.

- bei Edentaten XL, 138.

Zahnbein, Beziehung zur Schmelz-membran XXXVIII, 471.

Zahnentwickelung, zur Kenntniss XXXVIII, 142, Wurzelbildung bei Mus musculus, Epithelscheide, Membrana praeformativa 144 beim Menschen in der Jugend, Epithelscheide 145, Verbindung mit Alveolen beim Wachsthum 146 an schmelzfreien und schmelzbedeckten Stellen 147 Nagethieren, Alveolodentalperiost, Bedeutung 149, Verbindung zwischen Alveole und Kroncement 150, Knorpelcement und Knochencement 150, Bau 153 an Backzähnchen des Meerschweinchens, beim Kaninchen, Verhalten des Schmelzepithels 154.

Zahnfurche beim Menschen

XXXVIII, 455, 458.

Zahnleiste beim Menschen XXXVIII,

bei Lepus cuniculus XXXIX, 535, 539, bei Sciurus 544, Cavia cobava 547.

Zahnpapille beim Menschen, Ein-

stülpung XXXVIII, 454.

der Edentata, Epithel XL, 139, inneres 140 und äusseres Schmelzepithel 141, Veränderungen 143, Stratum intermedium 140.

Zahnrinne der Edentata XL, 138. Zapfen der Retina des Menschen

XXXVIII, 319.

- Borgmeister'scher des Opticus und der Retina bei Forellen-embryo XXXIX, 29, Triton taeniatus 30, Ammocoetes 35.
Zelle, Beziehung zur Befruchtung
XXXII, 13, Theilung 51.

-, zur Kenntniss ihrer Lebenser-

scheinungen XXXIII, 125.

-, Beiträge zur Kenntniss und ihrer

Theilung XXXIII, 180.

-, zur Kenntniss der - XXXVII, 684, Methode 685, Aequivalent der Zellplatte bei Vertrebraten, Zwischenkörper, Bedeutung bei Zelltheilung 690, Beziehung zur Structur der Tochterzelle 691, Entstehung 692, Zellkörper, Veränderung während der Mitose 695, Attractionssphären und Centralkörper in thierischen Gewebszellen und Leucocyten 701, in Salamanderzellen 709, Veränderung bei amitotischer Fragmentierung des Kernes mit nachfolgen-der Abschnürung der Zelle 714 in Kiemen, Zelltheilung, zur Me-chanik und über die Entstehung der Kernspindel in Gewebszellen des Salamanders, Litteratur 715, Spindel, erste Anlage und Entwickelung, Längsspaltung der Chromosomen in den Gewebszellen des Salamanders 722, Verhalten der Kernmembran 724 in den Spermatocyten von Salamandra 731, 739, ruhender Kern, Kernsaft, Bedeutung 733, zeitliches Auftreten der Längsspaltung 744. A - der Copepoden, Theilung XXXIX, 376.

— bei Cyclops, heterotypische Theilung XXXIX, 561, Beziehung zum Richtungskörper 574.

- der acinösen Drüse von Cephalolophus pygmaeus XXXI, 518. des Amnios der weissen Ratte

XXXVII, 348.

amöboide im Epithel der Schleimhaut des Rectum vom Ka-

ninchen XXXIII, 218.

—— im Blute der Mollusken XXXVII, 52, Vacuolen, Pseudopodien 64, Plasmahaut, Bedeutung 67, Ursache der Veränderung, Kern 72, Kernhöhle 74, Beziehung zwischen Kern und Zellmembran 75.

des Blutes von Mytilus

edulis XXXVII, 84.

B - bei Cyclops, normale Mitose

XXXIX, 565.

der Bartholinischen Drüse des Menschen XXXIX, 37.

Basal- der Haarpapillen XXXI,

45.

Basalpolster- bei Callianira XL, 183.

— der Ruderplättchen der Ctenophora XL, 185. — Becher- im Epithel des Dünndarmes XXXI, 121 bei Maus und Triton, Einfluss der Ernährung 122, Theka mit Secret 123, Protoplasma und Kern 124, Vergleich mit Cylinderzelle 126, Inhalt der Theka 127 bei Maus und Triton 128, Gerüst 130, Uebergang aus Epithelzelle bei Maus und Triton 132.

der Schleimhaut der Ober-

kieferhöhle XXXII, 223.

– der Rectumdrüse beim Kaninchen, Bildung XXXIII, 224, der Colondrüse 235.

im Magen des Alligator

XXXIV, 5, 10.

der Hornschicht der Epidermis bei Kröte und Salamander XXXIV, 19, Kern, Bedeutung 22 und Neubildung 24.

der Eileiterdrüsen der Am-

phibien XXXIV, 126.

der Mundhöhle von Proteus anguineus XXXIV, 519.

- — des Oesophagus von Proteus anguineus XXXIV, 532.

— des Magens von Proteus anguineus XXXIV, 536.

- -- der Caruncula lacrimalis des Menschen XXXVI, 305, Bedeutung 307.

Mucingehalt XXXVI, 333

im Darmeanal 334.

----der Zungenpapille von Anguis fragilis XXXVIII, 184, Stomata 185, Form 188, Gestalt, Kern 196, Inhalt 197, Verhalten nach Fütterung 199, Netzwerk, Bedeutung 202, 212.

dopus Pallasii XXXVIII, 203, Anordnung, Bau 204, Körnchen 205, Bedeutung, Secretbildung 209, Verhalten zu Netzwerk 212, Veränderung nach intensiverer Secretion 224 unter Anwendung von Pilocarpin, Veränderung des Kernes 226, Vacuolenbildung 229, Zusammenfassung 247.

- der Schleimhaut des Magendarmcanales bei Triton XL, 359.

- becherförmige der Drüsen des Geruchsorganes von Neunaugen XXXVIII, 11 mit Kern 12, 7.

- beerenförmige des Lobus olfactorius von Neunaugen XXXVIII,

Beleg- der Magendrüse, zur Kenntniss XXXIV, 226, des Fundus, Vacuolenbildung 230.

— Bildungs- der Zähne des Menschen XXXVIII, 469.

— des Bildungsgewebes von Torpedo ocellata XXXII, 383.

- Bindegewebs-, Beziehung zu eigenthümlichen Fettzellen bei Cobitis barbatula XXXII, 182.

des Haares, Verhalten nach Epilation XXXVI, 534.

, Beziehung zu Leucocyten XXXVIÍ, 261.

- bei Beroe, typische XL, 215,

bei Cestus 222. fixe, Mitose bei Regeneration des Bindegewebes von Rana

esculenta XXXVII, 446. - Ranvier sche im lockeren

Bindegewebe der weissen Ratte, Bedeutung XXXII, 142.

— bipolare im Verlauf des Ner-

vus olfactorius vom Neunauge XXXVIII, 12.

der inneren Körnerschicht der Retina des Menschen XXXVIII, 330,

mit äusserem und innerem Fortsatz 331.

Blasen- der Urniere beim Huhn XXXVIII, 516.

Blut- von Argulus foliaceus XXXIII, 30.

der embryonalen Leber, Bildung XXXVIII, 576.

- des Krebses, Analogie mit den eosinophilen Zellen des Knochenmarkes des Kaninchens XXXVIII, 617.
- -rothe, Theilung bei Amphibien XXXII, 603, Salamandra maculata 603, Methode 604, ruhender Kern 605, chromatische Substanz 606, enger Knäuel, loser Knäuel 607, Sternfigur, Längsspaltung der Fäden 608, Verhalten der Zellmembran 609, Metakinesis 610.

- im Epithel des Uterus yon Salamandra atra XXXVI, 474,

Bedeutung 477.

Blutkörperchenhaltige in den Mesenterialdrüsen des Hundes XXXIV, 222.

— Chloragogen- bei Stercutus niveus n. sp. XXXI, 487. — Chorda- von Petromyzon Pla-neri XXXV, 487.

- ——, Verhalten bei Regeneration XXXVII, 431, Beziehung zum Epithel 431, Verhalten bei Triton cristatus 437, hyaline Umwandelung 442.
- chromatophile in den Colondrüsen des Kaninchens XXXIII, 236, 240, Beziehung zu hellen Zellen 237.

chromophile der sympathischen Ganglien XL, 379.

chromophobe der sympathi-

schen Ganglien XL, 379.

- der Clarke'schen Säulen, Beziehung zu Vorderhörnern des Rückenmarkes XXXIV, 170.
- Cylinder-, Vergleich mit Becherzellen des Dünndarmepithels XXXI, 126.
- des Müller'schen Ganges bei Entwickelung des Menschen XXXVII, 627.
- der Haut, Protoplasmafaserung XXXIX, 145.
- des Epithels des Ductus Bartholinianus XL, 486, Ductus Whartonianus 487, Ductus Stenonianus 488, des Ausführungsganges der Gallen-

blase 489, Ductus choledochus 492 und Ductus Wirsungianus 493.

- Cylinderepithel- des Wolffschen Ganges beim Menschen XXXVII, 639.

des Darmes von Argulus folia-

ceus XXXIII, 25.

- des Darmepithels von Ascaris mystax XXXI, 295, Fortsätze 296, Kern 297 mit Kernkörperchen, Karvosoma 298.

Decidual- der weissen Ratte

XXXVII, 342.

- Deck- von Hydra fusca XXXV, 328, Theilung 329, Beziehung zu

Nesselzellen 371.

- mit Doppelkern der Mitteldarmdrüse von Carcinus maenas XXXIX, 9, Kernkörperchen 10.

- Dotter- im Enddarm von Petromyzon Planeri XXXV, 483.

der Amphibien, Beziehung zum Dotterentoderm von Torpedo

ocellata XXXIX, 61.

--- des Dotterorganes bei Lacerta in der oberflächlichen Schicht des Dotters XL, 74, 75, 79, im ganzen Dotter 79, in der inneren Dottermasse 80, Herkunft 83.

- im Dotter bei Lacerta XL, 71, Bildung und Beziehung zum

Lecithoderm.

- dotterfreie des Dotterorganes bei Lacerta XL, 77, 82, runde und platte, Kern 78, Bedeutung 84, Herkunft und Beziehung zu Merocyten 85.

- des Dotterorganes der Wirbelthiere, Verhalten bei der Furchung an der Bodenschicht XL, 43, Verhalten des Ectoderm 45.

- bei Lacerta, Verhalten zum

Randwulst XL, 51.

- Drüsen- der Uterindrüsen des Hundes, Beziehung zur Ernährung des Foetus XXXIII, 429, 434.

vom Alligator XXXIV, 3, 7, Kern 9. - der Eileiterdrüse der Am-

phibien XXXIV, 124.

des Entoderm von Hydra fusca XXXV, 354.

von Distomum cylindraceum Zed. XXXVI, 176.

- des Eileiters bei Frosch und Kröte, Mucingehalt XXXVI, 352.
- der Drüsen des Geruchsorganes beim Menschen XXXVI, 390.

----der Stinkdrüsen von Forficula auricularia XXXVI, 568, 569, Vergleich mit der Nesselzelle der Cnidarier 573.

der Mammilla, Verhalten bei der Regeneration XXXVII, 151.

- des Uterus der Katze, Veränderung bei Entwickelung der Placenta XXXVII, 360, 363.

– der Mitteldarmdrüsen von

— der Mitteldarmdrusen von Idotea tricuspidata mit Kern und Kernkörperchen XXXIX, 23.

— der Mitteldarmdrüsen der Amphipoden XXXIX, 25, Kern.

— der Ctenophora XL, 159, 161 bei Beroe, Stadien der Entwickelung 161, Cestus 169, Euchlora 170 im Macar Harmick, Wijn 172, im Magen Hormiphora, Körnchenbildung 173 Eucharis 178.

- Drüsenepithel- der Regio olfactoria des Menschen XXXVII, 646.

--- des Drüsenschlauches der Speicheldrüsen XXXIX, 599.

- Ei- von Alcyonella fungosa, Eindringen der Spermatiden XXXI, 338.

- des Špulwurmes vom Hund XXXIV, 396, Kern und Kernkör-perchen 398, Dotterbildung, Karyosom 399, Bildung der Polarkörperchen 401, 403, Eindringen des Spermatozoids 401, safranophile Körnchen 402, Pronucleus 403, karyo-kinetische Erscheinungen 404.

- einfache, Ursprung mehrerer Anlagen XXXIX, 476.

— Eimutter- von Ascaris megalocephala XXXVI, 52.

Eiweiss- der Speicheldrüsen XXXIX, 602.

Endothel- der Hautkolben von Petromyzon fluviatilis XXXIV, 164.

des Embryonallebens

XXXVIII, 554.

- Entoderm- von Tropidonotus natrix mit Kern XXXVI, 518, bei Lacerta agilis 524.

eosinophile, Vergleich mit Körnchenzellen der Lymphdrüsen

des Hundes XXXIV, 216.

- der Milz XXXVIII, 438, Bedeutung der Granula.

- —, Bedeutung XXXVIII, 597.

- des Knochenmarkes von Kaninchen XXXVIII, 613, Analogie mit Granulationen der Blutzellen des Krebses 617.
- Epithel- der Wurzelscheide des

Haares, Beziehung zur Glashaut

XXXI, 37, Wurzeln 38.

- des Dündarmepithels, Umwandelung zu Becherzellen bei Maus und Triton XXXI, 132, Protoplasma 142.

- der Cornea, Beziehung zu Lymphbahnen XXXII, 600.

der Schleimhaut des Rectum vom Kaninchen XXXIII, 217, Kern 218, des Colon 234.

- der Rectumdrüse beim Kaninchen, Mitose XXXIII, 219, der Colondrüse 236, Mitose.

- des Darmes XXXIII, 258, Kern 259.

des Blinddarmes vom Kaninchen XXXIII, 265, Gehalt an Leucocytcn 266.

- des Auges von Arca Noae

XXXIII, 387.

- des Magens vom Alligator XXXIV, 2.

— — der Drüsen des Magens vom Alligator XXXIV, 2, 7.

der Giftdrüse von Kröte und Salamander XXXIV, 41, Kern

44, indirekte Theilung 45.

der Haut von Petromyzon fluviatilis XXXIV, 109 mit Kern, Fortsatz und Cuticula 110.

- --- des Rückenmarkes der Tritonen XXXIV, 151, Axencylinder.
— der Drüsen des Kropfes der Taube XXXIV, 239.

- der Blase vom Salamander, durchlöcherte Kerne XXXIV, 438,

Zelltheilung 445.

der Mundhöhle von Proteus anguineus XXXIV, 518.

der Lunge von Proteus anguineus XXXIV, 558.

--- von Hydra fusca XXXV, 326, des Entoderms 352.

- des Epithels der Harnblase XXXV, 392, 400, Kern 393, Canäle 394, direkte Theilung 398, Fortsatz

402, 403. der Krause'schen Drüsen

der Caruncula lacrimalis des Menschen XXXVI, 302. - — der Stinkdrüsen bei Forfi-

cula auricularia XXXVI, 568, 569. - — bei Clepsidine Blattarum

mit Sporen XXXVII, 122. ——— des Chorions der Katze XXXVII, 365, 366, 369.
———, Verhalten bei Regeneration

der Schwanzspitzen der Froschlar-

ven XXXVII, 413, indirekte Kern-

theilung 417.

-, Verhalten zur Chordazelle bei Regeneration der Chorda dorsalis XXXVII, 431.

- ---, Beziehung zur Entwickelung der Ganglien beim Huhn

XXXVII, 589.

des Geschlechtsstranges bei Entwickelung des Menschen XXXVII, 634.

- der Zungenpapille bei Anguis fragilis XXXVIII, 182, 192. der Epidermis von Lum-

bricus XXXIX, 104.
— , Protoplasmafaserung XXXIX, 141, Verfahren nach Weigerts Fibrinfärbemethode 142 in der Cylinderzelle der Haut, Basaloder Haftfasern in der Epidermis eines Epithelioms 145, Verhalten bei Mitose des Kernes 148.

- des Ausführungsschlauches der Speicheldrüsen XXXIX, 605.

- des Hauptausführungsganges der Speicheldrüsen XXXIX, 609. - - in den Tonsillen bei Pferd, Schaf, Fischotter XL, 23.

— von Callianira mit Pig-mentflecken XL, 177.

- der Wimperrinne der Ctenophora, Beroe, Hormiphora XL, 181. --- bei Entwickelung des Prae-

putium des Menschen XL, 271.

— der Zotten des Darmes,
Beziehung zu Nerven XL, 407.

- -- vielkernige, gigantische der Harnblase XXXV, 397.

- Epithelmuskel- von Hydra fusca XXXV, 326, Secretion, Kern 327.

des Epithelringes Schmelzorganes der Edentata, Beziehung zur Pulpazelle XL, 153.

- Ersatz- der Haut von Petromyzon fluviatilis XXXIV, 110.

— des Geruchsorganes des Menschen XXXVI, 388.

- der Schleimhaut des Magendarmcanales bei Tritonen XL, 366 mit Bildung subepithelialer Sprossen, Beziehung zur Schleimzelle 368, Mitose 369.

— faserartige des Rückenmar-kes beim Frosch XXXVIII, 279.

- Ferment- der Mitteldarmdrüse von Carcinus maenas, Kern- und Secretblase XXXIX, 7.

- Fett- von eigenthümlicher Form XXXII, 182 bei Cobitis barbatula, Beziehung zu Bindegewebszellen.

des Knochenmarkes, Atrophie XXXIII, 247 in der Tibia des Huhnes 249, bei Säugern 252.

fetthaltige in den Mitteldarmdrüsen von Carcinus maenas mit Kern und Kernkörperchen XXXIX,

- des Fettkörpers von Argu-

lus foliaceus XXXIII, 36.

fixe der Blutbildenden Organe XXXVIII, 530, Kern 538, 542, mitotische Theilung 539, Chromatin 540, Protoplasma 542, Verbreitung und Lagerung 543 in Peyer'schen Plaques, Solitärfollikeln 544, Milz, Knochenmark 545, Beziehung zu Lymphgefässen 546, Neubildung, Beziehung zu Erythroblasten 547, zu Wanderzellen 595.

Flimmer- der Eileiterdrüse der

Amphibien XXXIV, 126.

--- des Geruchsorganes von Neunaugen XXXVIII, 5.

— — der Zungendrüsen von Anguis fragilis XXXVIII, 184.

des Epithels von Beroc XL, 167.

der Ctenophora XL, 182. - Flimmerepithel- des Giraldèschen Organes XXXIII, 454.

- Fluorescenz- bei Cestus, Be-

deutung XL, 169.

- Follikel- im Hoden des Salamanders XXXIV, 91, Nucleus et Nucleolus.

- im Hoden der Maus XXXIV, 432, Veränderung bei Eintritt der Pubertät 434, 435, Kern und Kernkörperchen.

- des Haares, Mitose nach Epilation XXXVI, 533.

- - der Formatio Rolandi des Rückenmarkes der Maus XXXIII,
- Ganglien- des Rückenmarkes bei Triton XXXIV, 134, grosse und kleine 144.
- von Hydra fusca XXXV, 339, Kern, Fortsätze 340, Beziehung zu Muskelzellen 341, Bildungsform 349.
- von Tubularia larynx XXXV. 364.
- der Urniere vom Huhn XXXVIII, 509, 518.

- -- des Bindegewebes der Papilla vallata beim Pferd XL, 13.

105

- grosse von Leptodera hyalina mit Vacuolen XXXVIII, 126.

- sympathische, Bau des Chromatins XL, 375, Methode und Material beim Hund, Form der Chromatinkörner 378 beim Kaninchen, Pferd, Gehalt an Pigmentkörnern beim Menschen nach der Entwickelung 380, Gehalt an gelbem Pigment 381, Zerfall mit dem Alter 384, Unterschied zwischen ruhender und gereizter Zelle 385, Veränderung des Kernes, des Zell-leibes, des Chromatins 388.

- im Pancreas XL, 407. des Ganglion optici beim Menschen XXXVIII, 333 mit Protoplasmafortsatz 334 und Axencylin-

derfortsatz 336.

Genital- bei Cyclops XXXIX, 565.

- Geruchs des Hundes, Verhalten zu Nervenfassern XXXIV, 386. - Geschlechts- beim Menschen XXXIV, 344.

— Geschwulst-, über granuläre Einschlüsse in — XXXIX, 136 bei Carcinom 138, Fettumwandelung 139, bei Adenosarcom, Sarcom 140. Gewebs- des Salamanders, zur Entstehung der Kernspindel XXXVII, 715, Spaltung der Chromosomen 722.

thierische, Attractionssphären und Centralkörper XXXVII, 701 beim Salamander 709.

- Gift- der Giftdrüsen bei Kröte und Salamander XXXIV, 31,° Vergleich mit Schleimzellen.

- von Beroe XL, 168. -Glia-desRückenmarkesXXXVIII, Z72, Verhalten der Fortsätze 273,
Zusammenhang mit Gefässen 276,
mit dem Epithel des Centralcanales
und der Pia 277 beim Frosch 279.

— der Neuroglia des Alveus

XXXIX, 624, der Fascia dentata 625.

- Glocken- des Geruchsorganes beim Menschen XXXVI, 392.

- — der Nasenhöhle des Menschen XXXIX, 641.

- Granulosa- des Eies von Petromyzon Planeri XXXII, 623, 625, Veränderung.

des Eies, Verhalten bei Follikelatresie XXXVII, 203, Ablagerung von Fett 220.

- Greif- der Tentakel der Ctenophora XL, 198, Bedeutung 202.

grosse, lymphoide der Milz der weissen Maus, Theilung XXXI, 548.

- sternförmige der inneren Körnerschicht der Retina beim Menschen XXXVIII, 324 mit äusserem 325, innerem Fortsatz und Axencylinderfortsatz 326.

- Haupt-der Magendrüsen XXXIV,

226, zur Kenntniss.

der Hautgrübchen von Petromyzon fluviatilis XXXIV, 122.

-- helle der Rectumdrüsen des Kaninchen XXXIII, 220, Veränderung 223, 226, Umwandelung zu Becherzellen 224, Beziehung zu Schleimzellen 224, 229.

- Henle'sche bei Spermatogenese der Säuger XXXI, 243, indirekte, mitotische Kerntheilung 258.

Hinter- des Rückenmarkes von

Triton XXXIV, 144, 147.

— Hoden-, Bau XXXIII, 134 mit Kern und Nebenkern, Centrosoma, Bedeutung der Spindelfasern 136 bei Paludina vivipara und Helix pomatia.

von Phylline Hendorffii

XXXIII, 170.

- von Gryllotalpa vulg. Latr., amitotische Theilung XL, 115 mit Kern, Bedeutung.

- der Hornschicht der Epidermis von Kröte und Salamander XXXIV, 16.

indifferente von Hydra fusca

XXXV, 344, 359.

— des Integumentes von Argulus foliaceus XXXIII, 5, Kern. intermediäre bei Hydra, Be-

deutung XXXVI, 635.

- Kanten-, dorsale bei Petromyzon Planeri XXXV, 513.

- Keim-, indifferente bei Salamandra XXXIV, 92, Bedeutung, Umbildung zu Spermatogonien 95.

- Keimepithel- beim Menschen

XXXIV, 274, 305.

- des Kernes des Nervus hypoglossus in der Medulla oblongata beim Kalb XXXI, 57.
- keulenförmige des Vorderhirnes der Amphibien XXXV, 384.
- Kleb- der Tentakel von Sima XXXIII, 399.
- --- kleine, lymphoide der Milz,

Theilung bei der weissen Maus XXXI, 545.

sternförmige der inneren Körnerschicht der Retina des Menschen XXXVIII, 328 mit Kern, äusserem Fortsatz 328, innerem Fortsatz und Axencylinderfortsatz

- Knochenbildungs - bei Ossification des Unterkiefers XXXII, 297, Verhalten zur Grundsubstanz des Meckel'schen Knorpels, Karyokinese 298, Wesen 336, Kern 338.

- Knorpel-, Verhalten an der Ossificationsgrenze XXXII, 214, Methode 216, Karyokinese 217, Zellsäule 218, Kern, Veränderung, provisorische Verkalkung und Gefässbildung 219.

des Unterkiefers XXXII, 321, Schrum-

pfung 323, Schicksal 360.

des Hyalinknorpels, Betheiligung an Bildung der Intercellularsubstanz XXXIV, 421.

Verhalten zu den Saftbahnen des Knorpels XXXVII, 503. Körnchen- des Dünndarmepi-thels XXXI, 177, Einfluss von Reagentien 178, Bedeutung der Körnchen 180, Kern 181, Ursprung und Schicksal beim Menschen 182.

der Lymphdrüsen des Hundes XXXIV, 215, Körnchen, Natur, Vergleich mit eosinophilen Zellen

216.

- mit Körnchen in Venencapillaren des Knochenmarkes der

Vögel XXXV, 445. — Körner- der Haut von Petromyzon fluviatilis XXXIV, 118, Bedeutung, Fortsätze 119.

— Kolben- der Haut von Petromyzon fluviatilis XXXIV, 115.

- kolbenförmige des Auges von Arca Noae XXXIII, 387.

- in der Epithelialschicht der Haut vom Neunauge XXXVIII, 9,

Nervenverlauf 10.

kugelförmige im lockeren Bindegewebe der weissen Ratte XXXII, 123, Wachsthum 124, Beziehung zu Gefässen 129, Atrophie, Bedeutung 145.

Lab- des Magens von Proteus

anguineus XXXIV, 537.

Leber- von Proteus anguineus, Beziehung zu Lymphbahnen XXXIV, 550, 555.

-, Veränderung bei Rückbildung XXXV, 94, Vermehrung der Kerne 95.

Lutein- des menschlichen Eies

XXXI, 409.

Lymph-, Aufnahme durch Tri-chodina sp. XXXIII, 409, Einwau-derung in das Seitencanalsystem 408 und die Epidermis 407.

- der Leber von Proteus an-

guineus XXXIV, 551.

--- der Lymphdrüsen des Hundes XXXIV, 212 mit kleinem und grossem Protoplasma.

-- lymphoide, Verhalten bei Be-fruchtung XXXII, 41.

- — des Rückenmarkes der Tri-

tonen XXXIV, 146.

der Magendrüsen, zur Kennt-niss XXXIV, 225, Einfluss der Ehr-lich-Biondi'schen Flüssigkeit.

der Malpighi'schen Gefässe von Dytiscus marginalis, Theilung XXXII, 146.

Mark - der Haarpapillen XXXI, 46.

- des Unterkiefers, Bildung XXXII, 360.

der Nebenniere beim Huhn

XXXVIII, 519.

- Blutzellenbildenden der Organe XXXVIII, 560, Kern 562 im Knochenmark, Einwirkung von Platinchlorid 563.
- Mast-, Einfluss von Thionin

XXXVI, 357.

- Matrix- der Hüllen des Eierstockes von Argulus foliaceusXXXIII,
- der Membrana Descemetii beim Frosch, indirekte Theilung XXXIII, 159.

- Mesoderm-, Beziehung zur Entwickelung der Ganglien beim Huhn XXXVII, 590.

- bei Beroe, embryonale Beziehung zur Entstehung der Muskelzellen XL, 213.
- der Micronephridien von Megascolides australis XL, 554.
- Monstre- bei Entwickelung der Placenta der weissen Ratte XXXVII, 342.
- Mucinder Speicheldrüsen XXXIX, 602, Kern 603.
- multipolare des Vorderhirnes der Amphibien XXXV, 384, Axencylinderfortsatz 385.

- Muskel- von Gordius tolosanus Duj. XXXIV, 256.

— von Hydra fusca, Beziehung zu Ganglienzellen XXXV, 341, Bildungsformen 349, des Entoderm 352. - bei Petromyzon Planeri,

Bildung XXXV, 502.

bei Beroe, erste Entstehung und Beziehung zu Bindegewebskör-perchen XL, 212 und embryonale Mesodermzelle 213.

— des Darmes, Verbindung mit Nervenfasern XL, 396. — Muskelspindel- bei Entwickelung der Placenta der weissen Ratte XXXVII, 341.

Mutter- des Hodens von Phylline Hendorffii XXXIII, 170.

Nähr- des menschlichen Eies

XXXI, 378.

des Entoderms von Hydra fusca XXXV, 357 mit Nesselkapsel.

— Nagel-, Verhalten bei Follikelatresie des Eies XXXVII, 212.

der Nebenniere beim Huhn, Hauptstränge XXXVIII, 514 bei

der Taube 514, Kern 515.

· Nerven- der Haut von Petromyzon fluviatilis XXXIV, 110.

im Sympathicus der Amphibien, Structur XXXV, 407, Material 407, Methode 408, umstrickendes Nervennetz 409, Spiralfaser, Bedeutung 410, Myelinscheide 412, Verlauf 413, Verbindungsfaden 411, gerade Faser 412, Verlauf 413, Zellennester, Bedeutung 416.

des Herzens beim Frosch XXXVI, 493, Beziehung zu Nerven 494, Structur, Kern 495, Fortsätze 496, Richtung 498 bei Emys cas-

pica, Vertheilung 501.

des Rückenmarkes, Bau und Beziehung zu Nerven XXXVIII, 280, Strichelung 280, Kern, Fortsätze 281, 283.

der Epidermis von Lumbricus XXXIX, 105, 109, Form 110, Fortsatz 111, Bedeutung 113, Nervenfortsatz 115, des Bauchstranges 122.

-des Stratum oriens des Cornu Ammonis XXXIX, 613, des Stratum moleculare 620, Stratum granulosum bei Kaninchen und Schwein 622.

grosse der Spongialblastenschicht der Retina XXXVIII, 338.

- kleine der Spongioblastenschicht der Retina XXXVIII, 339.

- polymorphe des Stratum oriens des Cornu Ammonis XXXIX, 614, der Fascia dentata mit Fortsätzen 621.

solitäre der Hinterhörner des Rückenmarkes der Maus XXXIII.

- subepitheliale der Neuroepithelschicht der Retina des Menschen XXXVIII, 320 mit äusserem und innerem Fortsatz 321.

- der Retina des Men-

schen XL, 37, Verhalten.

- --- sympathische, Beziehung zur Anlage der Urniere beim Huhn XXXVIII, 509.

- Nessel- von Hydra fusca XXXV, 332, Beziehung zu Deckzellen 371. -von Tubularia larynx XXXV,

365.

der Cnidarier, Vergleich mit den Drüsenzellen der Stink-drüsen von Forficula auricularia XXXVI, 578.

— Nesselkapselbildungs- von Hydra fusca XXXV, 345.

des Neuralstranges bei Petromyzon Planeri XXXV, 499.

 Neuroepithel- des Geruchs-organes vom Neunauge XXXVIII, 7, Verbindung mit Nervenfasern, Stäbchen 8.

cylinderförmige im Geruchsorgan Neunauge vom

XXXVIII, 9.

Nieren-der Niere der Schnecken, Beziehung zur Conjugation und Sporenbildung der Gregarinen XXXVII, 124. Borstenbesatz bei Helix nemoralis und hortensis 126.

Nussbaum'sche der Magen-

drüsen XXXIV, 229.

der Ovarien von Phylline

Hendorffii XXXIII, 172.

- des Panereas XXXIII, 182 im Hungerzustande, Bildung der Secrettropfen 183 nach Erschöpfung

-, Beziehung zu Nervenfasern

XL, 406.

Paneth'sche der Duodenal-drüsen der Maus XL, 350, Beziehung zu Schleimzellen 351.

 Paracopulations- der Daphniden, Vergleich mit Metanucleus bei Aequorea Forskalea XL, 256.

der Parenchymmuskeln von Distomum cylindraceum Zed. XXXVI, 175.

- Pigment- des Fächerauges von Arca Noae XXXIII, 382, 387.

der Halsdrüsen des Hundes

XXXIV, 221.

- des Mitteldarmes von Proteus anguineus XXXIV, 542, der Leber 552.

- der Federn, Beziehung zum körnigen Pigment beim Hühnchen. Gallinula chloropus, Scolopax major

XXXV, 70.

XXXV, 275 bei Salamanderlarven, Methode 276, Bau 277, Beziehung zwischen Kern- und Zelltheilung 279, 281.

des Geruchsorganes des

Menschen XXXVI, 390.

— —, über Theilung, speziell der verästelten, intraepithelialen XXXVI, 404 bei Salamandra maculata, Bau 406, Kerntheilung 407, Verhalten des Pigmentes bei Theilung 408.

- Plattenepithel- der Zungenpapillen von Anguis fragilisXXXVIII,

182, 193.

Pol-bei Cyclops, Beziehung zum Gastrulationsprozess XXXIX, 570. - der Prächordalplatte von Anguis fragilis XXXVI, 614.

— Protoplasma- der Rectum-drüse der Maus XL, 325, Proto-plasma 326 beim Hund 331.

der Duodenaldrüse beim Hund XL, 339, der Maus, Kern,

Protoplasma 348.

der Schleimhaut des Magendarmcanales bei Triton XL, 359.

- Pulpa- der Edentata, Beziehung zu den Zellen des Epithelringes des Schmelzorganes XL, 153.

Pylorus - der Magendrüsen

XXXIV, 226.

- Pyramiden- des Hirnbalkens, Vorkommen XXXVII, 11.

----, Schicht der -- des Cornu Ammonis XXXIX, 615, Axencylinder 616, der Fascia dentata 621.

Riech-des Geruchsorganes beim Menschen, Verhalten der Kerne gegen chemische und thermische Einflüsse und Farbstoffe XXXVI, 383, 388.

der Olfactoriusfibrillen XXXIX, 643.

Riesen- des Giraldè'schen Organes XXXIII, 458.

der Giftdrüsen von Kröte

und Salamander XXXIV, 47.

– des Rückenmarkes, Verhal-

ten bei Regeneration bei Froschund Tritonenlarven XXXVII, 425, mitotische Theilung 427, amöboide Bewegung 426.

— runde, Auftreten in den Zun-genpapillen von Pseudopus Pallasii bei intensiver Secretion XXXVIII,

- Samen- der Maus mit Kern und

Nebenkern XXXIV, 79.

- von Salamander und Maus, XXXIV, 87, Ursprung, Beziehung zum Kern, Vergleich mit Centro-

soma 88, Schicksal 89.

— Köllikers, Bedeutung XXXI, 243, Copulation mit Serto-

lischen Zellen 270, 279.

samenbildende bei Gordius

tolosanus Duj. XXXIV, 263.

— Samenmutter- von Ascaris megalocephala, Kern XXXVI, 18, Veränderung 21, Vorstadien der I. Theilung bei univalens, Kern, Chromatin 23, Nucleolus 28, Pol-körperchen 29 bei bivalens 30, 33; Verhalten des Kernes bei der I. Theilung bei univalens 37, 39 und bivalens, Theilung 40, II. Theilung 43.

— bei Spermatogenese von Gryllotalpa vulg. Latr., Wortbedeutung XL, 105, Periode der Ruhe und des Wachsthumes 109, der Reifung und letzten Theilung, Verhalten der Chromosomen 110, Re-

ductionstheilung 112.

- Samentochter-bei Spermatogenese von Gryllotalpa vulg. Latr.,

Bedeutung XL, 105.

secernierende des Epithels des Dünndarmes XXXI, 113, Objecte, Methode 113, Metachromasie 114, Safranin 121.

- --- des Oesophagus von Proteus anguineus XXXIV, 533.

Secret- von Hydra fusca XXXV,

330.

- der Segmentalorgane von Pachydrilus sphagnetorum Vejdovsky var. glandulosus XXXI, 491.

Seh- des Fächerauges von Arca Noae XXXIII, 382, Cuticula mit Kern.

- der Retina des Menschen, Schicht der - XXXVIII, 319.

der serösen Membran bei Entwickelung der Placenta weissen Ratte XXXVII, 347.

--- Sertolische, Litteratur und Bedeutung XXXI, 240, Beziehung

zum Spermatoblast 244, Kern 254, Fettaufnahme 268, Copulation mit Samenzellen 270, 279, Veränderung des Kernes 272.

— Scxual- des Menschen, männlich XXXIV, 305, weiblich 310.
— Sinnes- des Ectoderm von Hydra fusca XXXV, 373, des Entoderm 356.

Sperma-von Hydra fuscaXXXV,

343, Bildungsform 350.

— Spinalganglien- bei Säuge-thieren, zur Kenntniss XXXI, 223 beim Pferd, unipolarer Faserknäuel 225, 228, Ursprungsfasern, Methode 225, Grösse, Form und Färbung 226, Kapsel, Endothel, Beziehung zur Henle'schen Scheide 227, Verhalten der Ausläufer bei Zellen mit einfachem und zusammengesetztem Ausläufer 228.

Spindel- der Giftdrüsen von Kröte und Salamander XXXIV, 38, Beziehung zu contractilen Fasern

des Hodens von Gordius

tolosanus Duj. XXXIV, 262. — spindelförmige der Retina von Pecten XXXIII, 395.

- — der Fascia dentata Cornu

Ammonis XXXIX, 622. der Subcuticularschicht

bei Distomum cylindraceum Zed. XXXVI, 175.

subepitheliale von Hydra fusca XXXV, 339, des Entoderm

der Substantia gelatinosa des Rückenmarkes XXXIV, 191.

– Schleim- der Rectumdrüse beim Kaninchen XXXIII, 220, Beziehung zu hellen Zellen 229, der Colondrüsen 240.

- der Schleimdrüsen von Kröte und Salamander XXXIV, 31, 50,

Vergleich mit Giftzellen.

- des Magens von Proteus anguineus XXXIV, 537.

— der Federn der Vögel, Beziehung zur Blaufärbung XXXV, 71, Luftgehalt, Bedeutung 74.

- der Bartholinischen Drüsen

des Menschen XXXIX, 37. - der Cowper'schen Drüsen

des Menschen, Umwandelung aus Epithel XXXIX, 48.

der Epidermis von Lumbricus XXXIX, 105, Beziehung zur Cuticula 108.

der Rectumdrüse der Maus. XL, 327, Verhalten des Schleimes 328 beim Hund, Mitose 334.

— der Duodenaldrüse beim Hund, Kern XL, 341 bei der Maus 349, Verhalten des Schleimes 350 Beziehung zur Paneth'schen Zelle

- der Schleimhaut des Magendarmeanales der Tritonen, Verhalten des Schleimes XL, 361, Mitose der Kerne 365, Beziehung zu Ersatz-zellen 368.

- der Schleimschicht der Epidermis bei Kröte und Salamander XXXIV, 14 mit Fortsätzen 15.

schmale des Dünndarmepithels, Bedeutung XXXI, 133.

Stäbchen- der Retina von Pec-

ten XXXIII, 393.

mit Stäbchen in Venencapillaren des Knochenmarkes der Vögel XXXV, 444.

- Stamm- von Cyclops XXXIX,559. - Stern- der Capillarscheiden in der Leber der Säuger XXXVI, 216, Beziehung zum Leberstroma 217.

-- bei Zahnbildung des Menschen XXXVIII, 456, Verhalten zur

Pulpa 472.

sternförmige der Capillarscheiden der Leber bei Katzen XXXVI, 213 mit Kern 214.

— Stöhr'sche der Magendrüsen, zur Kenntniss XXXIV, 228.

- Stroma- der Keimdrüse beim Huhn, Beziehung zum Peritoneal-epithel XXXVIII, 506.
— Stütz- des Fächerauges von Arca Noae XXXIII, 385.

- des Geruchsorganes des Menschen, Verhalten der Kerne gegen chemische und thermische Einflüsse und Farbstoffe XXXVI, 383. - des Geruchsorganes vom

Neunauge XXVIII, 6. der Epidermis von Lum-

bricus XXXIX, 105.

- Tochter- des Hodens von Phylline Hendorffii XXXIII, 170.

der tubulösen Drüsen von Cephalolophus pygmaeus XXXI,516. Uebergangs- der Urniere beim Huhn XXXVIII, 518.

Urogenital-Cyclops

XXXIX, 565.

- Urmesoderm- bei Cyclops, I. Theilung XXXIX, 557, primäre 565, und secundare 567.

Ursamen- vom Salamander XXXIV, 95.

Beziehung zum Primordial-

ei XXXIV, 331.

- - der Hodenröhre von Ascaris megalocephala, Verhalten der Kerne XXXVI, 12, Unterschied zwi-schen bivalens und univalens.

bei Spermatogenese von Gryllotalpa vulg. Latr., Wortbedeutung XL. 105, I. Periode der Theilung 106, Verhalten des Chromatin 107. - mit vacuolärem Kern bei Ent-

wickelung der Mammilla XXXVII,

- vacuolenhaltige bei Cestus, Bedeutung XL, 171.

- des Vas efferens von Phylline Hendorffii XXXIII, 171.

- verästelte des Epithels von Beroe mit Kern XL, 160.

- des Verdauungstractus von Gordius tolosanus Duj. XXXIV, 258. - Wand- der Capillaren, zur Theilung XXXV, 275, 282, Beziehung zwischen Kern- und Zelltheilung

bei Salamanderlarven.

Wander- im Dünndarmepithel bei Maus und Triton XXXI, 142. - — in der Submucosa des Magens vom Alligator XXXIV, 5.

- - der Mundhöhle von Proteus anguineus mit Einschlüssen XXXIV, 523, 525.

im Epithel des Mitteldarmes von Proteus anguineus XXXIV, 540 mit Einschlüssen 541.

Verhalten bei Regeneration der Schwanzspitze von Froschlarven XXXVII, 421.

Zerfall bei Regeneration des Rückenmarkes bei Frosch- und Tritonenlarven XXXVII, 426.

-, Beziehung zu fixen Zellen

XXXVIII, 595.

— der Wandschicht bei Spermatogenese der Säuger XXXI, 242, indirekte, mitotische Kerntheilung 258, direkte, amitotische Kerntheilung 266.

Wimper- des Epithels des Ute-

rus von Salamandra atra XXXVI,473. der Zellballen der Glandula carotica beim Menschen XL, 303, Verhalten zu Capillaren, Bau 306, reticuläres Zwischengewebe 308, Beziehung zu Zellen 309, 313, Protoplasma, Kern 312, Zellgrenze 313

bei Katzen 314.

- Zwillings- der Rectumdrüsen beim Hund XL, 334.

- der Zwischenstränge der Urniere beim Huhn XXXVIII, 517.

-- Zwischensubstanz- beim Menschen bei Entwickelung des Urogenitalsystems XXXIV, 312, 330.

Zellballen der Glandula carotica mit Zellen, Verhalten zu Capillaren XL, 303. Bau der Zellen 306, reticuläres Zwischengewebe, Beziehung zu Zellen 309, 313.

Zellbrücken glatter Muskelfasern XXXVIII, 38, Methode 39 in dem Darm der Katze 43.

Zellkörper von Gordius tolosanus

Duj. XXXIV, 257.

von Mermis crassa XXXIV, 395. Zellmembran der rothen Blutzellen von Salamandra maculata, Verhalten bei Theilung XXXII, 609.

amöboider Zellen im Blute der Mollusken, Beziehung zur Kernmembran XXXVII, 75.

Zellennester im Sympathicus der

Amphibien XXXV, 416.

Zellenschicht, subepitheliale des Hirnbalkens beim Menschen XXXVII, 7.

Zellenstränge der subepithelialen Höhle des Dotterorganes bei Schlan-

gen XL, 61, Schildkröten 62. Zellplatte, Aequivalent bei Verte-braten XXXVII, 690.

Zellsäulen ander Ossificationsgrenze

XXXII, 218. — der Hodenröhre von Ascaris me-

galocephala XXXVI, 11. Zelltheilung im Endothel der entzündeten Hornhaut XXXI, 426.

- in der Milz XXXI, 541 bei der weissen Maus.

bei Befruchtung XXXII, 51.
zur Kenntniss XXXIII, 125.
in der Zwitterdrüse von Limax

agrestis XXXIII, 125, Methode 126, Nebenkern, Verhalten 127.

- und Samenbildung bei Paludina vivipara und Helix pomatia XXXIII, 134, Hodenzelle, Bau 134 mit Kern, Nebenkern und Centrosomen, Bedeutung der Spindelfasern 136, Spermatocyten, letzte Theilung 139, Nebenkern, Bedeutung 140 und Beziehung zu Spindelfasern bei kleinen Spermatosomen 141, bei grossen 143, Centrosoma, Kopf 142.

-, zur Kenntniss XXXIII, 180.

im Hoden der Lepidoptera XXXIII, 192

- im Epithel der Blase von Sala-

mandra XXXIV, 445.

der Wanderzellen der Capillaren bei Salamanderlarven XXXV, 375.

— der Pigmentzellen beim Salamander XXXV, 281, 279.

—, zur Mechanik und über die Ent-

stehung der Kernspindel in Gewebs-

zellen des Salamanders XXXVII, 715. Zellvermehrung der Urniere beim Huhn XXXVIII, 515.

Ziegenmelker - Caprimulgus europaeus.

Zitterroche - Torpedo.

Zoarces viviparus, Spermatozoen, Geissel XXXVI, 243, Kopf 244.

Zona fusca des Haares nach Epilation XXXVI, 548.

lucida des Haares nach Epilation XXXVI, 545.

- pellucida des menschlichen Eies XXXI, 400.

von Pecten

des Auges XXXIII, 391, Epithel.

- reticularis Honeggers, Beziehung zum Stratum granulosum des Cornu Ammonis XXXIX, 624.

- subglanduläre der Placenta der weissen Ratte XXXVII, 353. Zotten des Dünndarmes, Verhalten zur Muscularis mucosae XXXI, 19.

— des Dünndarmes, Vergleich des Epithels mit den Lieberkühn'schen Crypten XXXI, 173.

-der Placenta, Epithel, XXXV, 34,41. Zunge von Proteus anguineus XXXIV,

Zungengrund, Drüsen des - XL, 22, Verhalten der Ausführungsgänge 22 bei Reptilien, Alligator, Pferd, Beziehung zwischen Papilla vallata und foliata 23, bei Iltis 26.

Zungenpapille bei Anguis fragilis, Epithel XXXVIII, 182.

bei Pseudopus Pallasii XXXVIII, Zwiebelmuschel – Anomia. [203. Zwischengewebe, reticuläres der Glandula carotica beim Menschen, Beziehung zu Zellen XL, 309, 313.

Zwischenkörperchen der Eierstocksröhre von Ascaris megalocephala XXXVI, 53, bei univalens.

Zwischensubstanz, interfibräre der Muskelfasern der Cephalopoden XXXIX, 303.

Zwitterbildung, innere bei Astacus fluviatilis XXXIX, 504.

Universitäts-Buchdruckerei von Carl Georgi in Bonn.







